

الجمهورية الجزائرية الديمقراطية الشعبية  
REPUBLIQUE ALGERIENNE DEMOCRATIQUE ET POPULAIRE

16/84

Ministère de l'Enseignement et de la Recherche Scientifique

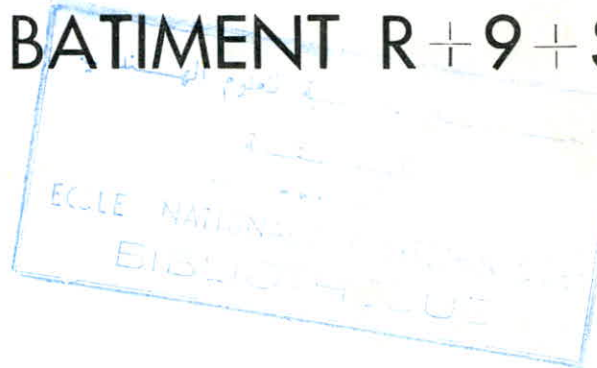
ECOLE NATIONALE POLYTECHNIQUE

Lex

DEPARTEMENT GENIE CIVIL

# THESE DE FIN D'ETUDES

BATIMENT R+9+SS



Promoteurs : GHORGHUI (C.T.C.)

KORDJANI (E.N.P.A.)

Soutenu par : BOUDJERADA A.

MOUSSA J.

TOUILEB B.N.

الجمهورية الجزائرية الديمقراطية الشعبية  
REPUBLIQUE ALGERIENNE DEMOCRATIQUE ET POPULAIRE

Ministère de l'Enseignement et de la Recherche Scientifique

ECOLE NATIONALE POLYTECHNIQUE

DEPARTEMENT GENIE CIVIL

# THESE DE FIN D'ETUDES

## BATIMENT R+9+SS

Promoteurs : GHORGHUI (C.T.C.)  
KORDJANI (E.N.P.A.)

Soutenu par : BOUDJERADA A.  
MOUSSA J.  
TOUILEB B.N.

// REMERCIMENTS  
-o-o-o-o-o-o-

Que Messieurs KORDJANI et GHERHUI trouvent ici notre profonde gratitude pour l'aide de l'interet constants qu'il nous ont apporté.

Nous tenons à remercier également tout le Personnel du C.T.C. en particulier le service technique de Mr SLIMANI, Mr SALHI et M.M. AMAROUCHÉ ; DERMOUCHÉ et CHEFFAI.

Pour les soucis de mise en forme nous remercions vivement Mr Roudjerada. M. pour sa permanante présence.



F I S) EDICACES  
-o-o-o-o-o-o-o-o-

Nous dédions ce travail à chacun des membres de nos familles et à tous nos amis. B Brahim, B. Mohamed, B. Hilali, K. Amar, J. Karim et B. Akréne ... et à la grande famille d'el - arkam.

Nous espérons que cette fin constituera un nouveau début dans le sens de l'approfondissement de nos élémentaires connaissances et un renouveau de bien-être.

\_\_\_\_/ / - / / \_\_\_\_

// )) // )) ESSIEURS

- BOUDJERADA  
- MOUSSA  
- TOUILIB.  
-

# SOMMAIRE

—○—○—○—○—

CHAP. 1 : INTRODUCTION

CHAP. 2 : DESCENTE DE CHARGES

CHAP. 3 : CALCUL DE L'INERTIE EQUIVALENTE DANS LE CAS  
D'UNE CHARGE TRIANGULAIRE.

CHAP. 4 : ETUDE DYNAMIQUE

CHAP. 5 : ETUDE SISMIQUE - R.P.A .81.

CHAP. 6 : ETUDE AU VENT

CHAP. 7 : ETUDE DU CONTREVENEMENT.

- Distribution des efforts
- Ferrailage des voiles et linteaux.
- Voile Périphérique.

CHAP. 8 : CALCUL DES ELEMENTS.

- Planchers
- Poutres noyées
- Escaliers
- Acrotère.

CHAP. 9 : FONDATION

- radier
- Joint Parasismique.

CHAP:1

INTRODUCTION

## 1/ Présentation du projet

La présente étude consiste à calculer les éléments résistants d'un assemblage de deux tours à usage d'habitation. Du fait de leur similitude, l'étude sera limitée à une seule tour composée d'un pous. pol, un rez-de-chaussée et neuf étages.

### 2/ Caractéristiques de la tour:

Hauteur d'étage . . . . .	2,80m.
Hauteur totale . . . . .	28 m .
Largeur . . . . .	18,795m.
Longueur . . . . .	20,47 m.
Profondeur du sous-sol . . . . .	- 2,80m.

### 3/ Lieu d'implantation: Bouira.

La wilaya de Bouira (10) est classée "zone II" dans le règlement parasismique algérien (RPA 81). En matière de vent elle ne présente pas des caractères exceptionnels.

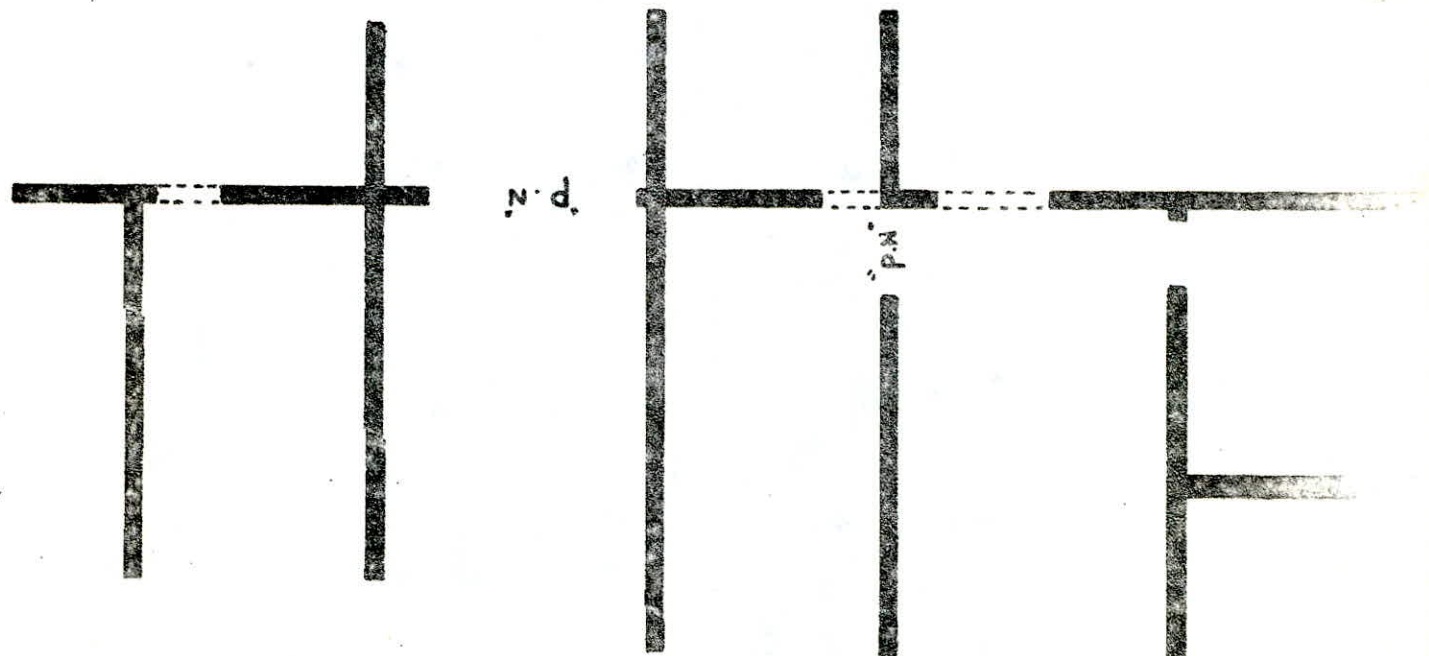
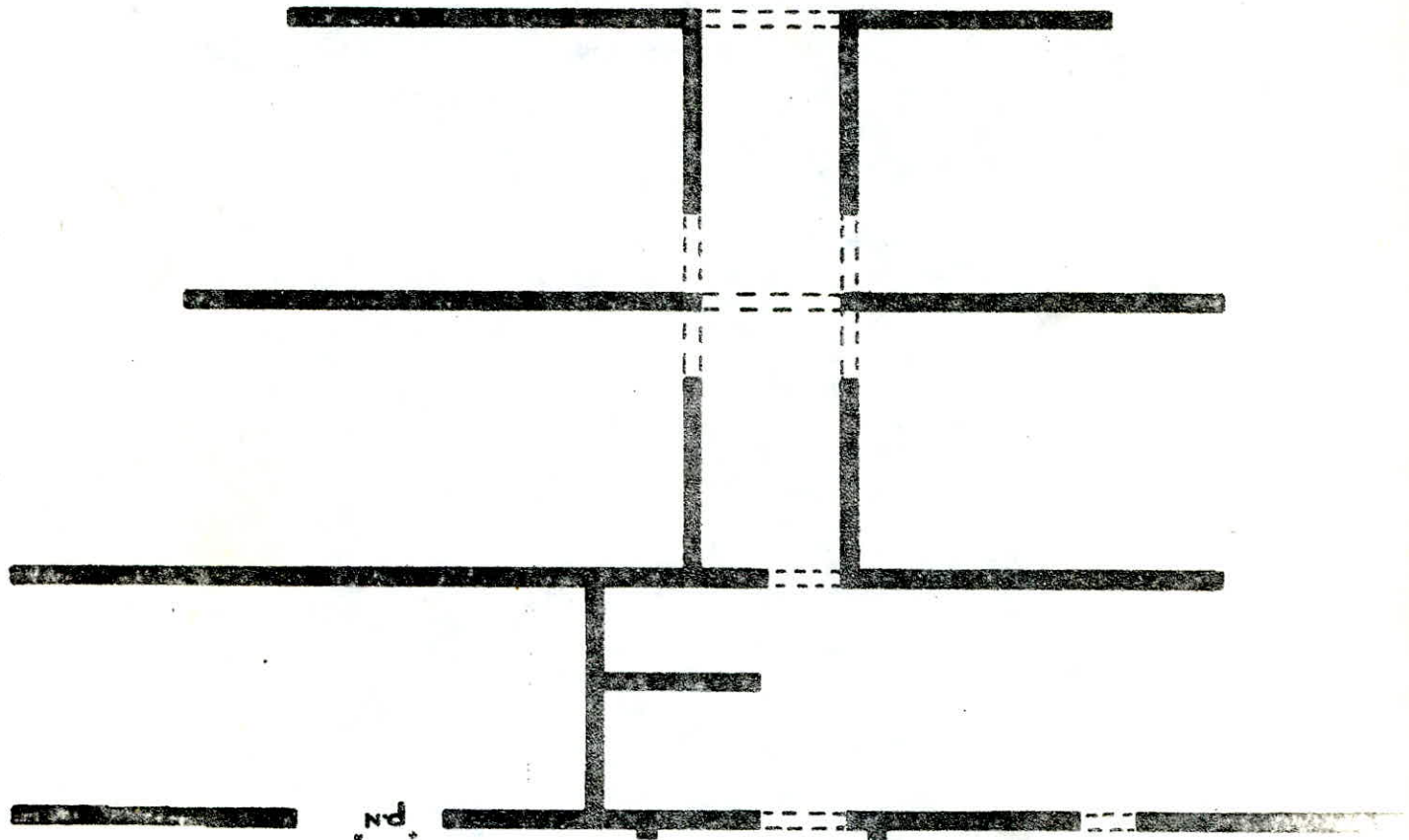
### 4/ Type de contreventement:

Le bâtiment sera contreventé uniquement par des voiles.

### 5/ Nature du sol :

Les différents sondages effectuées ont donné un taux moyen de travail du sol : 1,8 bars.

2/ Représentation des voiles



## Détermination de La Composition du béton.

Les dernières recommandations du C.T.C exigent un calcul adéquat de la composition granulométrique du béton selon les agrégats disponibles.  
On peut utiliser la formule empirique de BOLOMEY.

- Données :
- Béton dosé à 350 kg de CPA 325 par m<sup>3</sup> de béton.
  - Les granulats sont classés en 3 classes selon le diamètre (mm) : (0.5) ; (5.10) ; (10.25).
  - On suppose que les granulats utilisés se présentent sous les deux formes (roulés et concassés).

Formule empirique de BOLOMEY :  $P = A + (100-A) \cdot \sqrt{\frac{d}{Cg}}$ .

P : pourcentage en poids des grains qui passent au tamis de diamètre d en mm.

Cg : diamètre maximal des grains utilisés. Cg = 25 mm.

A : Coefficient variant de 10 à 14 selon que les grains soient roulés ou concassés. On prend Moyen = A = 12.

La formule devient :  $P = 12 + (100-12) \cdot \sqrt{\frac{d}{25}}$ .

$$P = 12 + 88 \sqrt{\frac{d}{25}}$$

### Tamisage :

Tamis d=5 : éléments admis : (0.5)  $P = 12 + 88 \sqrt{\frac{5}{25}} = 51$ .

Tamis d=10 : éléments admis : (0.10)  $P = 12 + 88 \sqrt{\frac{10}{25}} = 68$ .

Tamis d=25 : éléments admis : (0.25)  $P = 12 + 88 \sqrt{\frac{25}{25}} = 100$ .

### Pourcentages en poids :

éléments 0.5	...	51
éléments 5.10	...	68 - 51 = 17
éléments 10.25	...	100 - 68 = 32

Vérification :  $\Sigma = 100$

### Remarque :

Dans les éléments (0.5) est inclus aussi le CPA 325 (poudre). Supposons qu'un m<sup>3</sup> de béton pèse 2400 kg et qu'il contient enviro 150 l d'eau. Le béton étant dosé à 350 kg de CPA 325 par m<sup>3</sup> de béton frais, le poids des granulats par m<sup>3</sup> de béton est :

$2400 - 350 - 150 = 1900$  kg.

Pour 100 kg de matière pâche nous avons :

$$\frac{350 \times 100}{(1900 + 350)} = 15,5 \text{ kg de ciment CPA 325.}$$

Composition en poids de 100 kg de granulats.

$$\text{éléments 0.5 (Sable)} \dots \dots (51-15,5) \cdot \frac{100}{100-15,5} = 42 \text{ kg.}$$

$$\text{éléments 5-10 (Gravillons (1))} \dots \dots 17 \cdot \frac{100}{100-15,5} = 20,1 \text{ kg.}$$

$$\text{éléments 10-25 (Gravillons (2))} \dots \dots 32 \cdot \frac{100}{100-15,5} = 37,9 \text{ kg.}$$

Soit  $\rho_g = 1400 \text{ kg/m}^3$  la densité des gravillons et  $\rho_s = 1600 \text{ kg/m}^3$  celle du sable.

La composition volumétrique des matériaux nécessaire pour  $1 \text{ m}^3$  de béton est :

$$\text{Sable (éléments 0.5)} \quad \frac{42 \times 1900}{100 \times 1,6} = 498,75 \text{ l} \dots \dots 500 \text{ l/m}^3 \text{ béton}$$

$$\text{Gravillons (éléments 5-10)} \quad \frac{20,1 \times 1900}{100 \times 1,4} = 272,78 \text{ l} \dots \dots 275 \text{ l/m}^3 \text{ béton}$$

$$\text{Gravillons (2) (éléments 10-25)} \quad \frac{37,9 \times 1900}{100 \times 1,4} = 514,357 \text{ l} \dots \dots 515 \text{ l/m}^3 \text{ béton}$$

Quantité d'eau pour  $1 \text{ m}^3$  de béton.

En première approximation l'eau représente  $(8 \div 9)\%$  du poids des matières pâches (Sable, gravillons, CPA).

Le poids des matières pâches est :

$$(350) + (1,6 \times 500) + (1,4 \times 275) + (1,4 \times 515) = 2256 \text{ kg/m}^3 \text{ béton.}$$

$$\text{D'où } E = (8 \div 9)\% \times 2256 = (180,5 \div 203,05) \text{ l.}$$

L'excès d'eau favorisant la formation de pores, donc la diminution de la compacité.

On prend :  $E = 180 \text{ l}$  d'eau par  $\text{m}^3$  de béton.

Sable (0.5)	500 l.
Gravillons (5-10)	275 l.
Gravillons (10-25)	515 l.
C.P.A 325	350 kg.
Eau	180 l.

## A. Caractéristiques du Béton:

### Contraintes admissibles.

a- Sollicitations du premier genre:  $\bar{\sigma}_b' = \alpha B \delta \epsilon \cdot \sigma_{28}'$ ;  $\sigma_{28}' = 270$  bars.

-  $\alpha$  dépend de la classe du Ciment:  $\alpha = 1$  pour CPA 325.

-  $B$  dépend du Contrôle du Béton:  $B = 5/6$  pour un Contrôle supposé atteint.  
-  $\delta$  dépend des dimensions relatives de la pécion et du plus gros agrégat:  
Dans le cas de refends dont l'épaisseur minimale est 15cm on a:

$$\frac{h_m}{A \cdot C_g} = \frac{15}{4 \cdot 2,5} = 1,5 > 1 \quad \text{d'où: } \delta = 1.$$

-  $\delta$  dépend de la nature de la sollicitation:

.) Compression Simple:  $\delta = 0,3$ .

.) Flexion Simple ou Composée avec traction:  $\delta = 0,6$ .

.) Flexion Composée avec Compression:

$$\delta = \min \left\{ \begin{array}{l} 0,3 \left( 1 + \frac{e_0}{3e_1} \right) \\ 0,6 \end{array} \right\} \quad \text{avec } e_0 = \frac{M}{N} \text{ et } e_1 \approx \frac{h_t}{6}.$$

-  $E$  dépend de la forme de la pécion et de la sollicitation:

.) Compression Simple:  $E = 1$  Pour toute forme de pécion.

.) Flexion Simple ou Composée avec traction et pour une pécion rectangulaire.  $E = 1$

.) Autres cas:  $E$  découle de  $\frac{F'_B}{B'} \leq \bar{\sigma}_b'$  et  $E \leq 1$ .

Pour notre cas de pécions rectangulaires:

i) Compression Simple:  $\bar{\sigma}_b' = 1 \cdot \frac{5}{6} \cdot 1 \cdot 0,3 \cdot 1 \cdot 270 = 67,5$  b.  $\bar{\sigma}_b' = 68,85$  kg/cm<sup>2</sup>

ii) Flexion Simple ou Composée avec traction:

$$\bar{\sigma}_b' = 1 \cdot \frac{5}{6} \cdot 1 \cdot 0,6 \cdot 1 \cdot 270 = 135$$
 b.  $\bar{\sigma}_b' = 137,5$  kg/cm<sup>2</sup>

\* Contrainte de traction de référence:  $\bar{\sigma}_b = K B \delta \cdot \theta \cdot \sigma_{28}'$ .

$\alpha, B, \delta$  déjà déterminés;  $\theta = 0,018 + \frac{2,1}{\sigma_{28}' (b)}$

$$\theta = 0,018 + \frac{2,1}{270} = 0,025.$$

$$\text{D'où: } \bar{\sigma}_b = 1 \cdot \frac{5}{6} \cdot 1 \cdot 0,025 \cdot 270 = 5,8$$
 b.

$$\bar{\sigma}_b = 5,9$$
 kg/cm<sup>2</sup>

## a. Sollicitations du deuxième genre:

Le règlement stipule une majoration de 50% des contraintes admissibles du premier genre du béton.

$$\bar{\sigma}_{b_2} = 1,5 \cdot 68,85 = 103,27 \text{ kg/cm}^2.$$

$$\bar{\sigma}'_{b_2} = 1,5 \cdot 137,5 = 206,25 \text{ kg/cm}^2.$$

$$\bar{\sigma}_b = 1,5 \cdot 5,9 = 8,85 \text{ kg/cm}^2.$$

## B. Caractéristiques des Aciers:

### 1. Armatures Longitudinales.

#### a. Barres à haute adhérence H.T : FeE 40.

$$\sigma_{en} = 4200 \text{ kg/cm}^2 \text{ si } \phi \leq 20 \text{ mm.}$$

$$\sigma_{en} = 4000 \text{ kg/cm}^2 \text{ si } \phi > 20 \text{ mm.}$$

#### b. Aciers ronds lisses : FeE 24.

$$\sigma_{en} = 2400 \text{ kg/cm}^2.$$

## Contraintes admissibles:

### a. Barres à haute adhérence: FeE 40.

i/ Sollicitations du premier genre:  $\bar{\sigma}'_a = \bar{\sigma}_a = \frac{2}{3} \sigma_{en} = \begin{cases} 2800 \text{ kg/cm}^2 (\phi \leq 20), \\ 2667 \text{ kg/cm}^2 (\phi > 20). \end{cases}$

ii/ Sollicitations du deuxième genre:  $\bar{\sigma}'_a = \bar{\sigma}_a = \sigma_{en} = \begin{cases} 4200 \text{ kg/cm}^2 (\phi \leq 20), \\ 4000 \text{ kg/cm}^2 (\phi > 20). \end{cases}$

### b. Aciers ronds lisses: FeE 24.

i/ Sollicitations du premier genre:  $\bar{\sigma}'_a = \frac{2}{3} \sigma_{en} = 1600 \text{ kg/cm}^2.$

ii/ Sollicitations du deuxième genre:  $\bar{\sigma}'_a = \sigma_{en} = 2400 \text{ kg/cm}^2.$

## 2. Armatures transversales:

La Contrainte admissible est donnée par:

$$i) \bar{\sigma}_{at} = \text{fén. } \sup \left\{ \frac{(1 - \frac{\sigma_a}{\sigma_b})}{2/3} \right\} \text{ S'il n'y a pas de reprise de bétonnage.}$$

$$ii) \bar{\sigma}_{at} = \text{fén. } 2/3. \text{ S'il y a reprise de bétonnage.}$$

En supposant des reprises de bétonnage on a:

$$a- \text{Aciers ronds lisses: } \bar{\sigma}_{at} = 2/3 \cdot 2400 = 1467 \text{ kg/cm}^2.$$

$$b- \text{Aciers haute adhérence: } \bar{\sigma}_{at} = \frac{2}{3} \cdot 4200 = 2800 \text{ kg/cm}^2 (\phi \leq 20 \text{ mm}).$$

## 3. Limites imposées par les conditions de fissuration du béton:

Ces contraintes de fissuration  $\sigma_1$  et  $\sigma_2$  imposent, mise à part la contrainte admissible déterminée par les conditions mécaniques des armatures longitudinales  $\bar{\sigma}_{at}$ , une seconde limite qui est la plus grande des valeurs  $\sigma_1$  ou  $\sigma_2$  définies par:

$$\sigma_1 = K \cdot \frac{\gamma}{\phi} \cdot \frac{W_f}{1 + 10 W_f} ; \quad \sigma_2 = 2,4 \sqrt{\frac{\gamma K \bar{\sigma}_b}{\phi}}.$$

$\sigma_1$  = Contrainte de fissuration systématique. (bars)

$\sigma_2$  = Contrainte de fissuration accidentelle. (bars)

$\phi$  = Diamètre de la plus importante barre. (mm).

$\gamma$  = Coefficient de fissuration :  $\begin{cases} 1 & \text{ronds lisses.} \\ 1,6 & \text{Haute adhérence.} \end{cases}$

$K$  = Coefficient dépendant des conséquences de la fissuration.

$$K = \begin{cases} 1,5 \cdot 10^6 & \text{peu nuisible (éléments intérieurs de bâtiment).} \\ 10^6 & \text{préjudiciable (éléments exposés à l'eau).} \\ 0,5 \cdot 10^6 & \text{très préjudiciable (réservoirs d'eau).} \end{cases}$$

$W_f$  : pourcentage de fissuration.  $W_f = \frac{A}{B_f}$ ;  $B_f$  : aire de béton dont le C.G coïncide avec celui des aciers.

CHAP:2

DESCENTE  
DE  
CHARGES

## - Charges et Surcharges -

### A. charges permanentes:

## 1. Plancher Terrasse:

Gravillons 5cm  
Etanchéité multicouche  
chape en béton 3cm  
Isolation thermique (Liège) 4cm  
forme de pente 10cm  
Dalle pleine en béton armé 16cm  
Enduit, plâtre 1,5 cm

$$\begin{aligned}
 0,05 \times 1800 &= 90 \\
 &= 20 \\
 0,03 \times 2000 &= 60 \\
 0,04 \times 250 &= 10 \\
 0,1 \times 2000 &= 200 \\
 0,16 \times 2500 &= 400 \\
 0,015 \times 1400 &= 21
 \end{aligned}$$

$$g = 801 \text{ kg/m}^3$$

## 2. Plancher Courant:

Carrelage 1,5 cm  
Mortier de pose 2 cm  
Sable 2 cm  
Dalle en béton armé 16 cm  
Enduit, plâtre 1,5 cm

$$\begin{aligned}
 1,5 \times 2200 &= 33 \\
 0,02 \times 2000 &= 40 \\
 0,02 \times 1700 &= 34 \\
 0,16 \times 2500 &= 400 \\
 0,015 \times 1400 &= 21
 \end{aligned}$$

$$g = 528 \text{ kg/m}^2$$

### 3. Plancher RDC:

C'est un plancher courant dont l'épaisseur de la dalle en béton armé est 20cm.

$$g = 628 \text{ kg/cm}^2.$$

#### 4. Volée:

$$\text{Poids propre de la paillasse en béton armé: } \frac{(0,15 \cdot 2500)}{0,8035} = 466,708$$

## Poids propre des marches

Mortier de pose 2cm.

Revêtement 3 cm

## Garde Corps

•  $\frac{1}{2}$

$$\therefore 0.02 \times 2000 = 44$$

$$\begin{aligned} : 0,02 \times 2000 &= 44 \\ : 0,03 \times 2200 &= 66 \end{aligned}$$

$$: 0,03 \times 2200 = 66$$

100

$$g_v = 869,20 \text{ kg/m}^2$$

## 5. Paliers:

Carrelage 1,5cm  
Mortier de pose 2cm  
Sable 3cm  
Dalte en Béton armé 16cm

0,015 x 2200	= 33
0,02 x 2000	= 40
0,03 x 1700	= 34
0,16 x 2500	<u>= 400</u>

$$g_p = 524 \text{ kg/m}^2.$$

## 6. Façades en briques:

$g = 588 \text{ kg/ml}$  en élévation pur un niveau.

## 7. Garde Corps en béton armé:

$$g = 500 \text{ kg/ml}.$$

## 8. Garde Corps en acier:

$$g = 100 \text{ kg/ml}.$$

## 9. Acrotère (55x15) :

$$g = 206 \text{ kg/ml}.$$

## B. Surcharges d'exploitations dynamiques:

Plancher terrasse (non accessible) :	100 kg/m <sup>2</sup> .
Plancher Courant (habitation) :	175 kg/m <sup>2</sup> .
Plancher R.D.C (Commerce) :	400 kg/m <sup>2</sup> .
plancher Sous. Sol (Commerce, dépôt):	400 kg/m <sup>2</sup> .
Loggia, Sechoir :	300 kg/m <sup>2</sup> .
Escaliers :	300 kg/m <sup>2</sup> .
Acrotère (main-courante) :	100 kg/ml

## C. Surcharges d'exploitation fixes:

choissons : 75 kg/m<sup>2</sup>. Pour les planchers courants, R.D.C, Sous.Sol).

Terrasse - (Niveau 10)

Charges Permanentes.

A. Voiles transversaux.

$V_{T_1}$ :	plancher acrotère	$4,57 \times 0,801 = 3,66$
		$7,66 \times 0,206 = 1,578$
$V_{T_2}$ :	plancher acrotère	$15,89 \times 0,801 = 12,728$
		$3,75 \times 0,206 = 0,77$
$V_{T_3}$ :	plancher acrotère	$8,94 \times 0,801 = 7,161$
		$3,48 \times 0,206 = 0,717$
$V_{T_4}$ :	plancher acrotère machinerie	$47,97 \times 0,801 = 38,42$
		$9,02 \times 0,206 = 1,858$
		$1,36 \times 3 = 4,08$
$V_{T_5}$ :	plancher acrotère	$44,11 \times 0,801 = 35,33$
		$9,93 \times 0,206 = 2,045$
$V_{T_6}$ :	plancher acrotère	$31,62 \times 0,801 = 25,328$
		$10,3 \times 0,206 = 2,122$
$V_{T_7}$ :	plancher acrotère	$13,45 \times 0,801 = 10,773$
		$14,6 \times 0,206 = 3,006$
$V_{T_8}$ :	plancher machinerie	$1,76 \times 0,801 = 1,410$
		$1,36 \times 3 = 4,08$
	Total	154,305 <sup>t</sup>

B. Voiles longitudinaux.

$V_{L_1}$ :	plancher acrotère	$6,38 \times 0,801 = 5,11$
		$6,72 \times 0,206 = 1,385$
$V_{L_2}$ :	plancher acrotère	$23,67 \times 0,801 = 18,96$
		$3,45 \times 0,206 = 0,71$
$V_{L_3}$ :	plancher machinerie	$2,63 \times 0,801 = 2,106$
		$0,64 \times 0,206 = 1,92$
$V_{L_4}$ :	plancher acrotère	$27,26 \times 0,801 = 21,835$
		$3,45 \times 0,206 = 0,71$

$V_{L_5}$ :	plancher	$11,13 \times 0,801 = 8,915$
$V_{L_6}$ :	plancher	$11,13 \times 0,801 = 8,915$
$V_{L_7}$ :	plancher acrotère	$25,31 \times 0,801 = 20,27$ $3,45 \times 0,206 = 0,71$
$V_{L_8}$ :	plancher acrotère	$12,14 \times 0,801 = 9,724$ $4,12 \times 0,206 = 0,85$
Total		$= 102,125 t$

### Surcharges d'exploitation.

#### A. Voiles transversaux.

Voile	$S(m^2)$	$P(t)$
$V_{T_1}$	4,57	0,457
$V_{T_2}$	15,89	1,589
$V_{T_3}$	8,94	0,894
$V_{T_4}$	47,97	4,797
$V_{T_5}$	44,11	4,411
$V_{T_6}$	31,62	3,162
$V_{T_7}$	13,45	1,345
$V_{T_8}$	1,76	0,176
Total		$= 13,647 t$

#### B. Voiles longitudinaux.

Voile	$S(m^2)$	$P(t)$
$V_{L_1}$	6,38	0,638
$V_{L_2}$	23,27	2,327
$V_{L_3}$	2,63	0,263
$V_{L_4}$	27,26	2,726
$V_{L_5}$	11,13	1,113
$V_{L_6}$	11,13	1,113
$V_{L_7}$	25,31	2,531
$V_{L_8}$	12,14	1,214
Total		$= 18,553 t$

$$P_{\text{total}} = 32,20 t.$$

#### Niveau Terrasse :

$$G = 102,125 + 154,305 = 256,43 t.$$

$$P = 32,20 t.$$

B. Voiles transversaux.

$V_{T_1}$	plancher façade	$4,57 \times 0,528$ $1,875 \times 0,588$	= 2,413 = 1,103
$V_{T_2}$	plancher façade	$15,85 \times 0,528$ $3,75 \times 0,588$	= 8,369 = 2,205
$V_{T_3}$	plancher façade	$8,92 \times 0,528$ $1,875 \times 0,588$	= 4,709 = 1,103
$V_{T_4}$	plancher façade gaine garde. corps	$46,61 \times 0,528$ $6,90 \times 0,588$ 1,5 $\frac{1}{2} \cdot 3,15 (0,500 + 0,100)$	= 24,61 = 4,057 = 1,5 = 0,945
$V_{T_5}$	plancher façade gaine garde. Corps	$43,05 \times 0,528$ $6,90 \times 0,588$ $2 \times 1 + \frac{1}{3} \times 3,5$ $\frac{3,15 \cdot 0,5}{2} + \frac{2 \times 3,75 + 3,15}{2} \cdot 0,100$	= 22,73 = 4,057 = 2,83 = 1,32
$V_{T_6}$	plancher façade garde. corps	$31,62 \times 0,528$ $7,50 \times 0,588$ $(\frac{1}{2} \cdot 3,75) \cdot 1 \times 0,100$	= 16,695 = 4,41 = 0,75
$V_{T_7}$	plancher façade garde. corps	$13,45 \times 0,528$ $3,75 \times 0,588$ $\frac{1}{2} \cdot 3,75 \times 0,100$	= 7,102 = 2,205 = 0,187
$V_{T_8}$	plancher gaine	$1,12 \times 0,528$ $\frac{1}{3} \cdot 2,5$	= 0,591 = 0,83
Total . . . . .			114,59 t.

## Surcharges d'exploitation

Voile	$S(m^2)$	$p(t)$
$V_{L_1}$	6,38	2,21
$V_{L_2}$	23,67	7,28
$V_{L_3}$	2,63	0,655
$V_{L_4}$	27,24	8,175
$V_{L_5}$	11,13	2,78
$V_{L_6}$	11,13	2,78
$V_{L_7}$	25,3	6,32
$V_{L_8}$	12,14	3,03
$V_{T_1}$	4,57	11,42
$V_{T_2}$	15,85	3,96
$V_{T_3}$	8,92	2,23
$V_{T_4}$	46,61	17,14
$V_{T_5}$	43,05	16,24
$V_{T_6}$	31,62	8,65
$V_{T_7}$	13,44	4,114
$V_{T_8}$	1,12	0,28

$$P_{\text{total}} = 86,86 \text{ t.}$$

Rez-de-chaussé - Niveau 0

Charges Permanentes

Pour ce niveau les voiles continuent à reprendre les mêmes surfaces qu'aux niveaux courants. Seule la dalle en béton aura une épaisseur de 20 cm au lieu de 16 cm. Pour un voile reprenant une surface S ceci correspond à une augmentation de :  $(0,20 - 0,16)S \times 2,5 = (0,1S) \text{ tonnes, avec } S \text{ m}^2$

A. Voiles longitudinaux.

voile	G (t)
V <sub>L1</sub>	9,85
V <sub>L2</sub>	23,06
V <sub>L3</sub>	6,265
V <sub>L4</sub>	27,267
V <sub>L5</sub>	13,79
V <sub>L6</sub>	13,96
V <sub>L7</sub>	24,20
V <sub>L8</sub>	13,674

$$G_{\text{total}} = 314,43 \text{ t}$$

B. Voiles transversaux.

voile	G(t)
V <sub>T1</sub>	6,82
V <sub>T2</sub>	17,284
V <sub>T3</sub>	10,255
V <sub>T4</sub>	47,47
V <sub>T5</sub>	45,03
V <sub>T6</sub>	34,22
V <sub>T7</sub>	20,754
V <sub>T8</sub>	3,23

Surcharges d'exploitation

Voile	P(t)
V <sub>L1</sub>	2,552
V <sub>L2</sub>	9,47
V <sub>L3</sub>	1,05
V <sub>L4</sub>	10,90
V <sub>L5</sub>	4,452
V <sub>L6</sub>	4,452
V <sub>L7</sub>	10,12
V <sub>L8</sub>	4,856

$$P_{\text{total}} = 113,92 \text{ t}$$

voile	P(t)
V <sub>T1</sub>	1,824
V <sub>T2</sub>	6,34
V <sub>T3</sub>	3,568
V <sub>T4</sub>	18,64
V <sub>T5</sub>	17,22
V <sub>T6</sub>	12,65
V <sub>T7</sub>	5,376
V <sub>T8</sub>	0,45

Poids des voiles par niveau.

Superstructure

Voile	b(cm)	L(m)	G <sub>b</sub> (t)
V <sub>L1</sub>	20	5,27	7,378
V <sub>L2</sub>	15	9,05	8,185
V <sub>L3</sub>	20	3,325	4,655
V <sub>L4</sub>	15	9,87	9,576
V <sub>L5</sub>	15	7,65	6,381
V <sub>L6</sub>	"	"	6,615
V <sub>L7</sub>	"	9,87	8,001
V <sub>L8</sub>	"	6,095	5,691
V <sub>T1</sub>	20	3,465	4,851
V <sub>T2</sub>	"	10,475	12,582
V <sub>T3</sub>	"	5,38	6,587
V <sub>T4</sub>	"	18,795	22,543
V <sub>T5</sub>	15	16,825	16,879
V <sub>T6</sub>	"	13,795	13,091
V <sub>T7</sub>	"	10,845	9,993
V <sub>T8</sub>	"	2,30	2,415
Total : 145,432 t			

Infrastructure

Voile	b(cm)	L(m)	G <sub>b</sub> (t)
V <sub>L1</sub>	25	5,27	9,22
V <sub>L2</sub>	20	9,05	10,91
V <sub>L3</sub>	25	3,325	5,818
V <sub>L4</sub>	20	9,87	12,768
V <sub>L5</sub>	20	7,65	8,508
V <sub>L6</sub>	"	"	8,82
V <sub>L7</sub>	"	9,87	10,668
V <sub>L8</sub>	"	6,095	7,59
V <sub>T1</sub>	25	3,465	6,064
V <sub>T2</sub>	"	10,475	15,728
V <sub>T3</sub>	"	5,38	8,234
V <sub>T4</sub>	"	18,795	28,18
V <sub>T5</sub>	20	16,825	22,505
V <sub>T6</sub>	"	13,795	17,454
V <sub>T7</sub>	"	10,845	13,324
V <sub>T8</sub>	"	2,30	3,22
Total : 189,011 t			

Le calcul a été fait en déduisant les ouvertures éventuelles.

## Efforts totaux verticaux ( $G + 1,2P$ ) au niveau R.D.C pour les refends.

On doit tenir compte du poids propre des refends pour la charge permanente. Pour les surcharges d'exploitation on tiendra compte du fait qu'elles ne peuvent pas à chaque niveau, exister simultanément et dans leur intégralité ; Pour cela on effectuera une dégression de celles-ci dont la loi de réduction se présente comme suit :

Terrasse - niveau ( $n+1$ ) . . . réduction de 0% ; reste  $P_{n+1}$   
 - niveau ( $n$ ) . . . réduction de 0% ; reste  $P_n$   
 - niveau ( $n-1$ ) . . . réduction de 10% ; reste  $0,9 P_{n-1}$   
 - niveau ( $n-2$ ) . . . " 20% ; "  $0,8 P_{n-2}$   
 - niveau ( $n-3$ ) . . . " 30% ; "  $0,7 P_{n-3}$   
 - niveau ( $n-4$ ) . . . " 40% ; "  $0,6 P_{n-4}$   
 - niveau ( $n-5$ ) . . . " 50% ; "  $0,5 P_{n-5}$   
 - niveaux inférieurs. On conserve la même réduction

Niveau RDC	Voiles Longitudinaux							
Voile	$V_{L1}$	$V_{L2}$	$V_{L3}$	$V_{L4}$	$V_{L5}$	$V_{L6}$	$V_{L7}$	$V_{L8}$
$G(t)$	122,61	244,43	72,99	302,12	128,18	128,18	218,58	134,94
$P(t)$	13,60	50,92	4,79	50,39	20,70	20,70	64,52	26,35
$G + 1,2P$ ( $t$ )	138,93	305,53	78,02	362,59	153,02	153,02	444,46	165,56

Niveau RDC	Voiles transversaux							
Voile	$V_{T1}$	$V_{T2}$	$V_{T3}$	$V_{T4}$	$V_{T5}$	$V_{T6}$	$V_{T7}$	$V_{T8}$
$G(t)$	89,69	290,11	152,29	489,6	444,67	359,35	199,75	40,32
$P(t)$	10,01	42,63	22,12	68,52	77,22	66,13	26,82	2,12
$G + 1,2P$ ( $t$ )	101,70	341,27	178,84	571,83	537,34	438,70	231,94	42,86

## Efforts totaux verticaux ( $G + 1,2P$ ) au niveau R.D.C pour les refends.

On doit tenir compte du poids propre des refends pour la charge permanente. Pour les surcharges d'exploitation on tiendra compte du fait qu'elles ne peuvent pas à chaque niveau, exister simultanément et dans leur intégralité; Pour cela on effectuera une dégression de celles-ci dont la loi de réduction se présente comme suit:

Terrasse - niveau ( $n+1$ ) . . . réduction de 0% ; reste  $P_{n+1}$   
 - niveau ( $n$ ) . . . réduction de 0% ; reste  $P_n$   
 - niveau ( $n-1$ ) . . . réduction de 10% ; reste  $0,9 P_{n-1}$   
 - niveau ( $n-2$ ) . . . " 20% ; "  $0,8 P_{n-2}$   
 - niveau ( $n-3$ ) . . . " 30% ; "  $0,7 P_{n-3}$   
 - niveau ( $n-4$ ) . . . " 40% ; "  $0,6 P_{n-4}$   
 - niveau ( $n-5$ ) . . . " 50% ; "  $0,5 P_{n-5}$   
 - niveaux inférieurs. On conserve la même réduction.

Niveau RDC	Voiles Longitudinaux							
Voile	$V_{L_1}$	$V_{L_2}$	$V_{L_3}$	$V_{L_4}$	$V_{L_5}$	$V_{L_6}$	$V_{L_7}$	$V_{L_8}$
$G(t)$	122,61	244,43	72,99	302,12	128,18	128,18	218,58	134,94
$P(t)$	13,60	50,92	4,79	50,39	20,70	20,70	64,82	26,35
$G + 1,2P$ ( $t$ )	138,93	305,53	78,02	362,59	153,02	153,02	244,46	166,56

Niveau RDC	Voiles transversaux							
Voile	$V_{T_1}$	$V_{T_2}$	$V_{T_3}$	$V_{T_4}$	$V_{T_5}$	$V_{T_6}$	$V_{T_7}$	$V_{T_8}$
$G(t)$	89,69	290,11	152,29	489,6	444,67	359,35	199,75	40,32
$P(t)$	10,01	42,63	22,12	68,52	77,22	66,13	26,82	2,12
$G + 1,2P$ ( $t$ )	101,70	341,27	178,84	571,83	537,34	438,70	231,94	42,86

CHAP: 3

calcul de:

INERTIE EQUIVALENTE

dans le cas d'une

charge triangulaire

## Extension de la théorie de M.M ALBICES et GOULET aux charges triangulaires

### Calcul des efforts et de l'inertie équivalente

#### Définition :

L'inertie équivalente „ $I_e$ “ d'un refend avec ouvertures est égale à l'inertie d'un refend linéaire plein fictif qui, soumis au même effort horizontal réparti par la hauteur du bâtiment présenterait la même flèche au pommet que celle du refend avec ouvertures.

#### Objet :

Etant donné que les différentes règles parasismiques (RPA81.PS6) conduisent à des efforts tranchants par niveau dont la variation est assimilable à une charge triangulaire répartie sur toute la hauteur du bâtiment. Nous nous proposons de déterminer l'inertie équivalente pour une telle charge, et pour cela il est nécessaire de déterminer :

- Les efforts tranchants dans les linteaux ( $T$ ).
- Les moments fléchissants ( $M$ ) et les efforts normaux ( $N$ ) dans les éléments de refend.

#### Hypothèses :

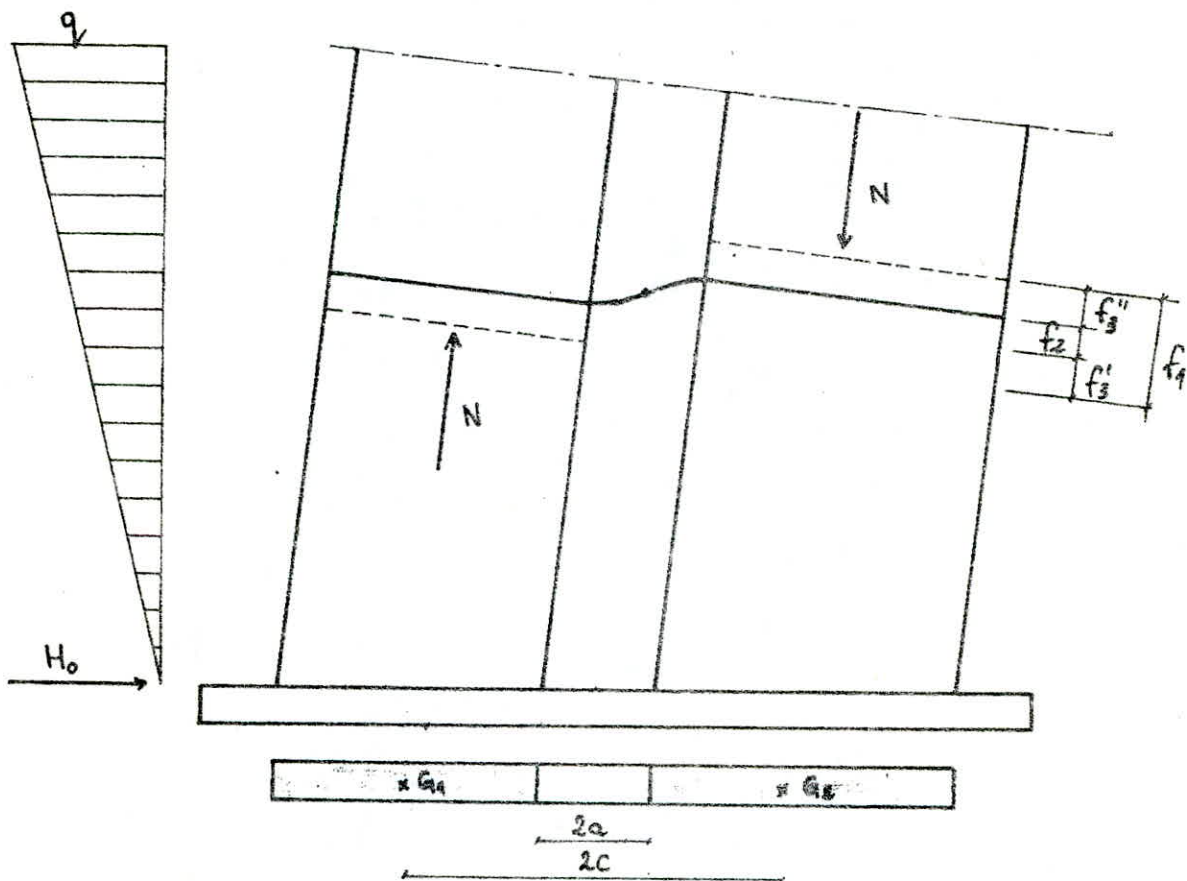
1. Chaque élément de refend a une grande raideur.
2. Le nombre des linteaux est assez grand pour que leurs efforts soient répartis.
3. Les déformations des linteaux dues aux efforts normaux sont négligées.
4. Les linteaux ont une inertie transversale faible vis-à-vis de chacun des éléments de refend.
5. Les éléments de refend subissent le même déplacement au niveau de chaque étage.
6. Les efforts transmis par les linteaux passent par la fibre moyenne de chaque élément de refend.

## I.-Refends à une file d'ouverture.

### Introduction:

La première hypothèse du principe de Saint-Venant, auxiliaire indispensable pour le passage de la théorie d'élasticité à la résistance des matériaux et précisément à la théorie des poutres, stipule que la longueur des pièces considérées (prismatiques ou cylindriques, rectilignes et de section constante) doivent avoir une longueur très grande par rapport aux dimensions transversales de la section droite.

Donc, considérer les éléments de refend comme des poteaux d'une ossature dont les linteaux seraient les traverses (poutres) serait inexact du fait de l'écart important entre les dimensions de ces deux éléments.



$y(x)$ : déformée de la ligne moyenne par la hauteur du bâtiment.

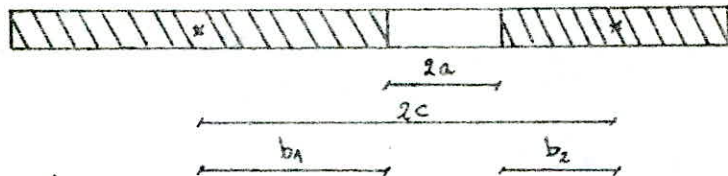
$f_2$ : distance des sections droites compte tenu des déformations d'effort tranchant  $N$ .  
 $f_3 = (f_3' + f_3'')$ : somme des déformations verticales.

$f_1 = f_2 + f_3$ : distance des sections droites pour tenir compte des déformations verticales dues à  $N$ .

Notations.

$(I_1, A_1)$

$(I_2, A_2)$



$m$  = moment statique de la pection par rapport au Centre de gravité.

$$m = \frac{2c}{\frac{1}{A_1} + \frac{1}{A_2}} ; \quad A_1, A_2 : \text{Aires des Sections planes pleines.}$$

$l$  = hauteur d'étage (ou  $h_e$ ).

$T_1, T_2$  : efforts tranchants au niveau „ $x$ “ dans, respectivement, l'élément de refend „1“ et „2“ résultant de la distribution d'un effort tranchant  $T$  à ce même niveau.

$T$  : effort tranchant du à la charge horizontale extérieure  $q_f$ .

$\Pi$  : effort tranchant dans le linteau.

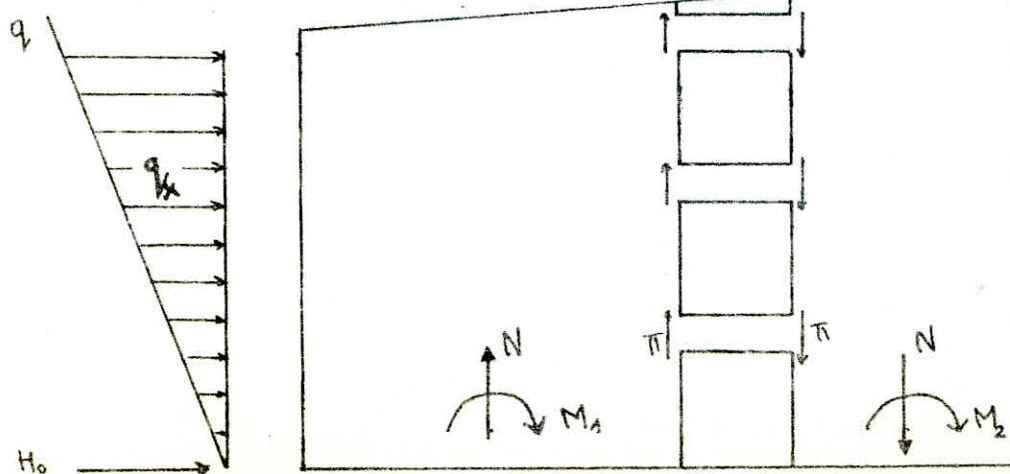
$M$  : Moment fléchissant du à la charge horizontale extérieure  $q_f$ .

$M_1, M_2$  : moments fléchissants résultant de la distribution.

$I, E'$  : inertie du linteau ; module longitudinal d'élasticité du linteau.

$I$  : moment d'inertie de la pection :  $I = I_1 + I_2 + m.(2c)$ .

$Z$  : Hauteur totale du Bâtiment.



$$f_1 = (2C)y'$$

$$f_2 = \frac{2}{3} \frac{\pi a^3}{EI} \quad (\text{poutre encastrée aux deux extrémités sous un effort tranchant } \Pi).$$

$$f_3 = f'_3 + f''_3 = \int_0^x \left( \frac{N}{EI_{L1}} + \frac{N}{EI_{L2}} \right) dx.$$

$$f_1 = f_2 + f_3 = \frac{2}{3} \frac{\pi a^3}{EI} + \frac{1}{E} \left( \frac{1}{I_{L1}} + \frac{1}{I_{L2}} \right) \cdot \int_0^x N dx = 2C y'.$$

$$\text{d'où : } 2C y''' = \frac{2}{3} \frac{\pi'' a^3}{EI} + \frac{1}{E} \left( \frac{1}{I_{L1}} + \frac{1}{I_{L2}} \right) \cdot \frac{dN}{dx};$$

$$\text{D'après l'hypothèse (2) : } \frac{dN}{dx} = - \frac{\Pi}{l}$$

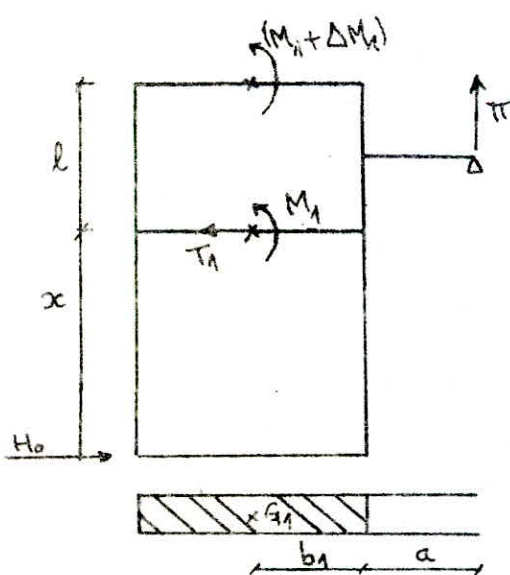
$$2C y''' = \frac{2}{3} \frac{\pi'' a^3}{EI} - \frac{1}{E} \left( \frac{1}{I_{L1}} + \frac{1}{I_{L2}} \right) \cdot \frac{\Pi}{l};$$

L'hypothèse d'égalité des déplacements des éléments de refend conduit à :

$$y''. EI_1 = M_1; \quad y''. EI_2 = M_2; \quad y''. E(I_1 + I_2) = M_1 + M_2.$$

$$\text{d'où : } y'''. EI_1 = \frac{dM_1}{dx}; \quad y'''. EI_2 = \frac{dM_2}{dx}; \quad y'''. E(I_1 + I_2) = \frac{dM_1}{dx} + \frac{dM_2}{dx}.$$

L'équilibre de l'élément de refend s'écrit :



$$\Pi(a+b_1) - T_1 \cdot l = (M_1 + \Delta M_1) - (M_1)$$

$$\text{d'où : } \begin{cases} \Delta M_1 = -T_1 \cdot l + \Pi(a+b_1) \text{ et de même :} \\ \Delta M_2 = -T_2 \cdot l + \Pi(a+b_2) \end{cases}$$

$$\Delta M_2 + \Delta M_1 = -(T_1 + T_2)l + \Pi(2a + b_1 + b_2)$$

$$\Delta M_1 + \Delta M_2 = -T \cdot l + \Pi(2a + c).$$

D'après l'hypothèse (2) :

$$\frac{dM_1}{dx} + \frac{dM_2}{dx} = -T + \frac{2\Pi c}{l}.$$

$$\text{or}, \frac{dM_1}{dx} + \frac{dM_2}{dx} = y'' E(I_1+I_2) \quad (6)$$

$$\text{d'où : } y'' E(I_1+I_2) = -T + \pi \cdot \frac{2c}{l}. \quad (9)$$

Et (5) donnent :

$$\pi - \frac{3E'I}{2a^3 l E} \left[ \frac{1}{I_1} + \frac{1}{I_2} + \frac{(2c)^2}{(I_1+I_2)} \right] \pi = - \frac{3E'I}{2a^3 E} \cdot \frac{2c}{(I_1+I_2)} \cdot T ;$$

$$\text{or ; } \frac{1}{I_1} + \frac{1}{I_2} = \frac{2c}{m} \text{ et } I_1 + I_2 + 2mc = I.$$

$$\therefore \text{on note : } \omega^2 = \frac{3E'I}{a^3 E} \cdot \frac{c}{(I_1+I_2)} \cdot \frac{I}{ml} = \frac{3E'I}{E(I_1+I_2)} \cdot \frac{c}{a^3} \cdot \frac{I}{ml} ;$$

$$\omega^2 = \frac{3E'I}{E(I_1+I_2)} \cdot \frac{c}{a^3} \cdot \frac{I}{ml}$$

trouve l'équation d'équilibre du refend :

$$\pi'' - \omega^2 \cdot \pi = -\omega^2 \cdot \frac{ml}{I} \cdot T ; \quad \pi = \pi(x) .$$

On définit le degré de monolithisme  $\alpha$  comme :

$$\alpha = \omega \cdot Z ; \quad Z : \text{hauteur total du refend.}$$

Le Coefficient  $\alpha$  exprime le désordre créé par l'existence des ouvertures dans le refend.

### Résultat

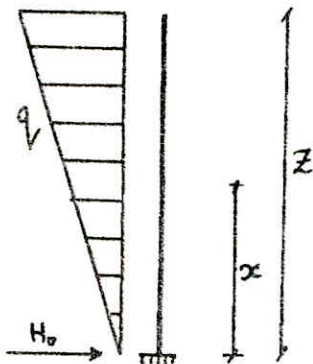
$$\boxed{\pi'' - \omega^2 \cdot \pi(x) = -\omega^2 \cdot \frac{ml}{I} \cdot T(x) ;}$$

$\pi(x)$  : effort tranchant au niveau  $x$  provoqué par la charge extérieure répartie sur toute la hauteur du bâtiment  $Z$ .

## B. Calcul de l'effort tranchant $\Pi$ dans les linteaux:

Pour cela il faut résoudre l'équation différentielle traduisant la stabilité du refend:  $\Pi'' - \omega^2 \Pi = -\omega^2 \frac{ml}{I} T$ . (1)

### a. Calcul de $T$ :



$$T(x) = \left(\frac{1}{2}qz\right) \cdot \left(1 - \left(\frac{x}{z}\right)^2\right) = H_0 \cdot \left(1 - \left(\frac{x}{z}\right)^2\right).$$

### b. Résolution de l'équation (1):

$$\text{D'où (1) devient: } \Pi'' - \omega^2 \Pi = -\omega^2 \cdot \frac{ml}{I} \cdot H_0 \left(1 - \left(\frac{x}{z}\right)^2\right). \quad (1)'$$

C'est une équation différentielle du second ordre avec second membre dont une solution particulière est:

$$f(x) = \frac{ml}{I} H_0 \cdot \left(1 - \frac{2}{(\omega z)^2} - \left(\frac{x}{z}\right)^2\right).$$

et la solution générale:

$$\Pi(x) = C_1 e^{wx} + C_2 e^{-wx} + f(x). \quad (2)$$

$$\text{notons: } \frac{ml}{I} H_0 = F_0.$$

$$\omega z = \alpha \quad \text{et} \left(\frac{x}{z}\right) = \frac{\alpha}{2} \quad \text{d'où: } wx = \alpha \frac{\alpha}{2}.$$

$$(2) s'écrit: \quad \Pi(x) = C_1 e^{wx} + C_2 e^{-wx} + F_0 \left(1 - \frac{2}{(\omega z)^2} - \left(\frac{x}{z}\right)^2\right). \quad (2)'.$$

$$\text{ou: } \Pi(\frac{\alpha}{2}) = C_1 e^{\alpha \frac{\alpha}{2}} + C_2 e^{-\alpha \frac{\alpha}{2}} + F_0 \left(1 - \frac{2}{\alpha^2} - \frac{\alpha^2}{4}\right). \quad (2)''.$$

### Conditions limites:

$$\therefore x=0 \Rightarrow \Pi(0)=0.$$

$$\text{d'où: } C_1 + C_2 + F_0 \left(1 - \frac{2}{\alpha^2}\right) = 0. \quad (3)$$

$$\therefore x=z \Rightarrow \Pi'(z)=0.$$

$$\Pi'(x=z) = C_1 w e^{\alpha} - C_2 w e^{-\alpha} - F_0 \left(\frac{2}{z}\right) = 0. \quad (4)$$

$$(3) \text{ et } (4) \text{ donnent : } \begin{cases} C_2 = -\frac{F_0}{2 \operatorname{ch} \alpha} \left( \frac{\alpha^2 - 2}{\alpha^2} \cdot e^\alpha + \frac{2}{\alpha} \right), \\ (5) \quad C_1 = - \left[ C_2 + F_0 \left( 1 - \frac{2}{\alpha^2} \right) \right] \end{cases}$$

D'où (2) devient :

$$\Pi(\xi) = C_1 e^{\alpha \xi} + C_2 e^{-\alpha \xi} + F_0 \left( 1 - \frac{2}{\alpha^2} - \xi^2 \right)$$

$$\Pi(\xi) = -C_2 \left( e^{\alpha \xi} - e^{-\alpha \xi} \right) - F_0 \left( 1 - \frac{2}{\alpha^2} \right) \cdot e^{\alpha \xi} + F_0 \left( 1 - \frac{2}{\alpha^2} - \xi^2 \right).$$

$$\Pi(\xi) = \frac{F_0}{2 \operatorname{ch} \alpha} \cdot \left( \frac{\alpha^2 - 2}{\alpha^2} \cdot e^\alpha + \frac{2}{\alpha^2} \right) \cdot 2 \operatorname{sh}(\alpha \xi) - F_0 \left( 1 - \frac{2}{\alpha^2} \right) \cdot e^{\alpha \xi} + F_0 \left( 1 - \frac{2}{\alpha^2} - \xi^2 \right).$$

$$\Pi(\xi) = F_0 \left[ 1 - \xi^2 - \frac{2}{\alpha^2} + \frac{2}{\alpha} \cdot \frac{\operatorname{sh}(\alpha \xi)}{\operatorname{ch} \alpha} - e^{\alpha \xi} \cdot \left( 1 - \frac{2}{\alpha^2} \right) + \frac{\alpha^2 - 2}{\alpha^2} \cdot e^\alpha \cdot \frac{\operatorname{sh}(\alpha \xi)}{\operatorname{ch} \alpha} \right].$$

on note :

$$\Phi(\alpha, \xi) = 1 - \xi^2 - \frac{2}{\alpha^2} + \frac{2}{\alpha} \cdot \frac{\operatorname{sh}(\alpha \xi)}{\operatorname{ch} \alpha} - e^\alpha \cdot \left( 1 - \frac{2}{\alpha^2} \right) + \frac{\alpha^2 - 2}{\alpha^2} \cdot e^\alpha \cdot \frac{\operatorname{sh}(\alpha \xi)}{\operatorname{ch} \alpha}. \quad (*)$$

d'où :

$$\Pi(x) = F_0 \cdot \Phi(\alpha, \xi) \quad \text{ou bien: } \Pi(x) = H_0 \cdot \frac{m l}{I} \cdot \Phi(\alpha, \xi). \quad (6)$$

### C.- Calcul des efforts dans les éléments de refend :

L'hypothèse d'égalité des déplacements dans les éléments de refend à chaque niveau p'écrit:

$$y''_1 = -\frac{M_1}{EI_1}; \quad y''_2 = -\frac{M_2}{EI_2}; \quad y'' = -\frac{M_1 + M_2}{I_1 + I_2};$$

$$\text{Donc: } \frac{M_1}{EI_1} = \frac{M_2}{EI_2} = \frac{M_1 + M_2}{I_1 + I_2} \text{ (7) car: } y''_1 = y''_2 = y'' \text{ résultant de: } y_1 = y_2 = y.$$

D'après le schéma de la page , le moment global de renversement à chaque niveau p'écrit:  $M = M_1 + M_2 + 2N.c$  (8)

$$(7) \text{ et } (8) \text{ donnent: } M_1(x) = \frac{M(x) - 2c \cdot N(x)}{(I_1 + I_2)}.$$

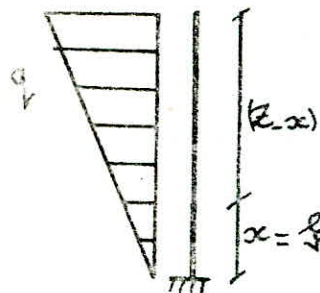
or, l'hypothèse (2) traduisant la répartition des efforts  $\Pi$  conduit à:

$$N(x) = \int_x^z \frac{\Pi(x) \cdot dx}{l};$$

$$\text{D'où: } M_1(x) = \frac{I_1}{(I_2 + I_1)} \left[ M(x) - 2c \int_x^z \frac{\Pi(x) \cdot dx}{l} \right] \quad (9).$$

$$(*) : \text{On peut réduire les deux derniers termes: } -e^{\alpha \xi} \left( 1 - \frac{2}{\alpha^2} \right) + \frac{\alpha^2 - 2}{\alpha^2} \cdot e^\alpha \cdot \frac{\operatorname{sh}(\alpha \xi)}{\operatorname{ch} \alpha} = -\frac{\alpha^2 - 2}{\alpha^2} \cdot \frac{e^\alpha (\operatorname{ch}(\alpha \xi))}{\operatorname{ch} \alpha}.$$

Le moment  $M = M(x)$  de renversement est le moment fléchissant à la côte "x" sous la charge triangulaire  $q$ :



$$M(x) = q \cdot \frac{x}{Z} \cdot \frac{(Z-x)^2}{2} + q \left(1 - \frac{x}{Z}\right) \cdot \frac{(Z-x)^2}{3}$$

ou bien:

$$x = \frac{f}{L} \cdot Z \quad M(\xi) = H_0 Z \cdot \frac{(2-3\xi+\xi^3)}{3}$$

D'autre part :

$$N(x) = \int_x^Z \frac{\pi(x) \cdot dx}{l} = \int_{\xi}^1 \frac{\pi(\xi)}{l} \cdot Z d\xi = \int_{\xi}^1 \frac{Z}{l} \cdot \frac{m}{I} \cdot H_0 \Phi(x, \xi) \cdot d\xi$$

$$\text{donc : } N(\xi) = H_0 \cdot \frac{mZ}{I} \int_{\xi}^1 \Phi(x, \xi) \cdot d\xi.$$

Calcul de l'intégrale :  $\mathcal{J} = \int_{\xi}^1 \Phi(x, \xi) \cdot d\xi$ ;  $\alpha$  étant constant pour un même refend.

$$\mathcal{J} = \int_{\xi}^1 \Phi(x, \xi) \cdot d\xi = \int_{\xi}^1 \left[ 1 - \xi^2 - \frac{2}{\alpha^2} + \frac{2}{\alpha} \cdot \frac{\sinh(\alpha(1-\xi))}{\cosh(\alpha)} - \frac{\alpha^2 - 2}{\alpha^2} \cdot \frac{\cosh(\alpha(1-\xi))}{\cosh(\alpha)} \right] d\xi.$$

Après intégration on trouve :

$$\mathcal{J} = \frac{2-3\xi+\xi^3}{3} + \frac{2\xi}{\alpha^2} - \frac{\alpha^2-2}{\alpha^3} \cdot \frac{\sinh(\alpha(1-\xi))}{\cosh(\alpha)} - \frac{2}{\alpha^2} \cdot \frac{\cosh(\alpha\xi)}{\cosh(\alpha)}$$

Comparativement à la théorie citée, dont les résultats pour le cas d'une charge uniformément répartie sont exposés dans le manuel de M. Diver. On notera la fonction  $\mathcal{J}$  obtenue comme suit :

$$\int \Phi(x, \xi) \cdot d\xi = \Psi(x, \xi).$$

$$\Psi(x, \xi) = \frac{2-3\xi+\xi^3}{3} + \frac{2\xi}{\alpha^2} - \frac{\alpha^2-2}{\alpha^3} \cdot \frac{\sinh(\alpha(1-\xi))}{\cosh(\alpha)} - \frac{2}{\alpha^2} \cdot \frac{\cosh(\alpha\xi)}{\cosh(\alpha)}$$

Le moment ( $g$ ) devient :

$$(1) \quad \begin{cases} M_1(\xi) = \frac{I_1}{I_1 + I_2} H_0 Z \left[ \frac{2-3\xi+\xi^3}{3} - \frac{2mc}{I} \cdot \Psi(x, \xi) \right]. \end{cases}$$

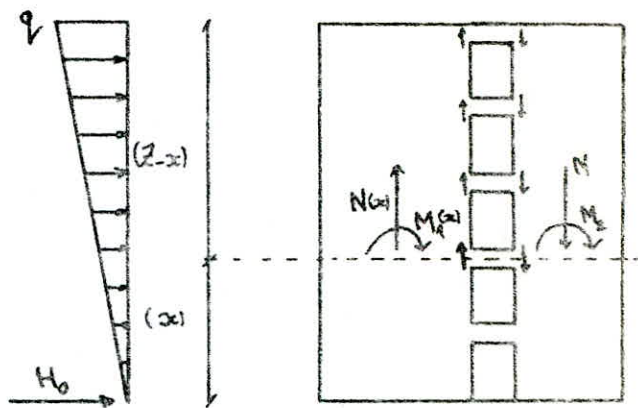
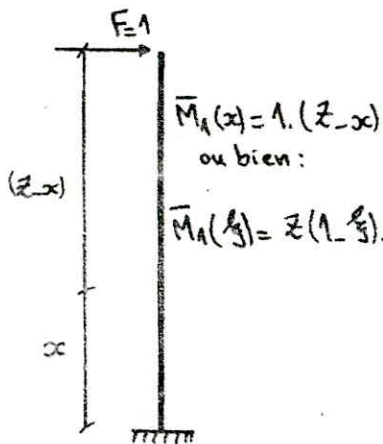
$$(2) \quad \begin{cases} M_2(\xi) = \frac{I_2}{I_1 + I_2} H_0 Z \left[ \frac{2-3\xi+\xi^3}{3} - \frac{2mc}{I} \cdot \Psi(x, \xi) \right]. \end{cases}$$

## D. Détermination de la flèche au Sommet:

L'hypothèse d'égalité des déplacements à chaque niveau dans les éléments de refend permet de confondre la flèche au sommet du refend avec, par exemple, la flèche au sommet de l'élément de refend d'inertie  $I_1$ .

La flèche peut être calculée à l'aide de l'intégrale de Mohr et ce, en appliquant une force unitaire  $F=1$  au sommet de l'élément de refend (1).

$$f = \int_0^Z \frac{M_1(x) \cdot \bar{M}_1(x)}{EI_1} dx.$$



$$\text{Si on note: } A_\xi = \frac{2-3\xi+\xi^3}{3}$$

$$M_1(\xi) = \frac{I_1}{I_1+I_2} H_0 Z \left( \frac{2-3\xi+\xi^3}{3} - \frac{2mc}{I} \Psi_\xi \right).$$

$$f = \int_0^1 \frac{I_1}{I_1+I_2} H_0 Z \cdot \left( A_\xi - \frac{2mc}{I} \Psi_\xi \right) \cdot \frac{Z(1-\xi)}{EI_1} \cdot Z d\xi$$

$$f = \frac{H_0 Z^3}{E(I_1+I_2)} \cdot \left[ \int_0^1 (1-\xi) \cdot A_\xi \cdot d\xi - \frac{2mc}{I} \int_0^1 (1-\xi) \cdot \Psi_\xi \cdot d\xi \right]. \quad (1)$$

### - Calcul des intégrales:

$$\therefore J_1 = \int_0^1 (1-\xi) \cdot A_\xi d\xi = \int_0^1 (1-\xi) \cdot \frac{2-3\xi+\xi^3}{3} d\xi = \int_0^1 (1-\xi)^3 \cdot \frac{(2+\xi)}{3} d\xi = \frac{11}{60}$$

$$\therefore J_2 = \int_0^1 (1-\xi) \cdot \Psi_\xi d\xi.$$

$$J_2 = \int_0^1 (1-\xi) \cdot \frac{(2-3\xi+\xi^3)}{3} d\xi + \int_0^1 \frac{(1-\xi)}{\alpha^2} \cdot 2\xi \cdot d\xi - \int_0^1 \frac{(1-\xi)}{\alpha^3} \cdot (\alpha^2 - 2) \cdot \frac{\sin(\alpha(1-\xi))}{\cosh \alpha} d\xi \\ - \int_0^1 \frac{2}{\alpha^2} \cdot \frac{\cosh(\alpha\xi)}{\cosh \alpha} (1-\xi) d\xi; \text{ on note } J_2 = J_3 + J_4 - J_5 - J_6 \text{ dans le même ordre.}$$

$$\begin{aligned} \text{I}_3 &= \text{I}_1 = \frac{11}{60}, \\ \text{I}_4 &= \int_0^1 \frac{2}{\alpha^2} \cdot \xi(1-\xi) d\xi = \frac{1}{3\alpha^2}, \\ \text{I}_5 &= \int_0^1 \frac{\alpha^2 - 2}{\alpha^3} \cdot (1-\xi) \cdot \sinh(\alpha(1-\xi)) d\xi = \frac{\alpha^2 - 2}{\alpha^3 \cosh \alpha} \cdot \left( \frac{\cosh \alpha - 1}{\alpha} - \frac{\sinh \alpha}{\alpha^2} \right), \\ \text{I}_6 &= \int_0^1 \frac{2}{\alpha^2 \cosh \alpha} \cdot (1-\xi) \cdot \cosh(\alpha \xi) d\xi = \frac{2}{\alpha^2 \cosh \alpha} \cdot \frac{(\cosh \alpha - 1)}{\alpha^2}. \end{aligned}$$

D'où:

$$\text{I}_2 = \text{I}_3 + \text{I}_4 - \text{I}_5 - \text{I}_6 = \frac{11}{60} + \frac{1}{\alpha^2} \left[ - \left( \frac{2}{3} - \frac{\alpha^2 - 2}{\alpha^3} \cdot \frac{\sinh \alpha}{\cosh \alpha} - \frac{2}{\alpha^2 \cosh \alpha} \right) \right]$$

$$\text{or } \Psi(d; \xi=0) = \Psi_0 = \frac{2}{3} - \frac{\alpha^2 - 2}{\alpha^3} \cdot \frac{\sinh \alpha}{\cosh \alpha} - \frac{2}{\alpha^2 \cosh \alpha}.$$

$$\text{done: } \text{I}_2 = \frac{11}{60} - \frac{\Psi_0}{\alpha^2}.$$

La flèche (11) devient:

$$f = \frac{H_0 Z^3}{E(I_1 + I_2)} \cdot \left( \frac{11}{60} - \frac{2mc}{I} \left( \frac{\Psi_0}{\alpha^2} + \frac{11}{60} \right) \right).$$

$$\text{En remarquant que: } I_1 + I_2 = I - 2mc \text{ et que: } \left(1 - \frac{2mc}{I}\right) = \frac{I_1 + I_2}{I}.$$

$$f = \frac{H_0 Z^3}{E(I_1 + I_2)} \cdot \left[ \frac{11}{60} \left( 1 - \frac{2mc}{I} \right) + \frac{2mc}{I} \cdot \frac{\Psi_0}{\alpha^2} \right]$$

$$f = \frac{H_0 Z^3}{E(I_1 + I_2)} \left[ \frac{11}{60} \cdot \frac{I_1 + I_2}{I} + \frac{2mc}{I} \cdot \frac{\Psi_0}{\alpha^2} \right]$$

Enfin la flèche au sommet du refend est:

$$f = H_0 Z^3 \left( \frac{11}{60EI} + \frac{2mc}{I} \cdot \frac{\Psi_0}{\alpha^2} \cdot \frac{1}{E(I_1 + I_2)} \right)$$

### E. Inertie équivalente pour charge triangulaire répartie:

La flèche  $f_0$  au pommet du refend linéaire plein fictif d'inertie  $I_e$  est :

$$f_0 = \frac{11}{60} \frac{H_0 Z^3}{E I_e}$$

Par définition il faut écrire :  $f = f_0$ .

$$f = H_0 Z^3 \left( \frac{11}{60 E I} + \frac{2mc}{I} \cdot \frac{\Psi_0}{\alpha^2} \cdot \frac{1}{E(I_1+I_2)} \right)$$

$$f_0 = H_0 Z^3 \frac{11}{60 E I_e}$$

$$\text{D'où : } \frac{11}{60 E I} + \frac{2mc}{I} \cdot \frac{\Psi_0}{\alpha^2} \cdot \frac{1}{E(I_1+I_2)} = \frac{11}{60 E I_e}$$

$$I_e = \frac{\frac{11}{60}}{\frac{11}{60 I} + \frac{2mc}{I} \cdot \frac{\Psi_0}{\alpha^2} \cdot \frac{1}{(I_1+I_2)}}$$

$$I_e = \frac{I}{\frac{60}{11} \cdot \frac{2mc}{(I_1+I_2)} \cdot \frac{\Psi_0}{\alpha^2} + 1}$$

### III. Refends à plusieurs files d'ouvertures.

Une flèche approchée au pommet du refend avec plusieurs files d'ouvertures est :

$$f = H_0 Z^3 \left( \frac{11}{60 E I} + \frac{\Psi_0}{\alpha^2} \cdot \frac{1}{E(I_1+I_2+\dots+I_n)} \right)$$

En écrivant  $f = f_0$  on a :

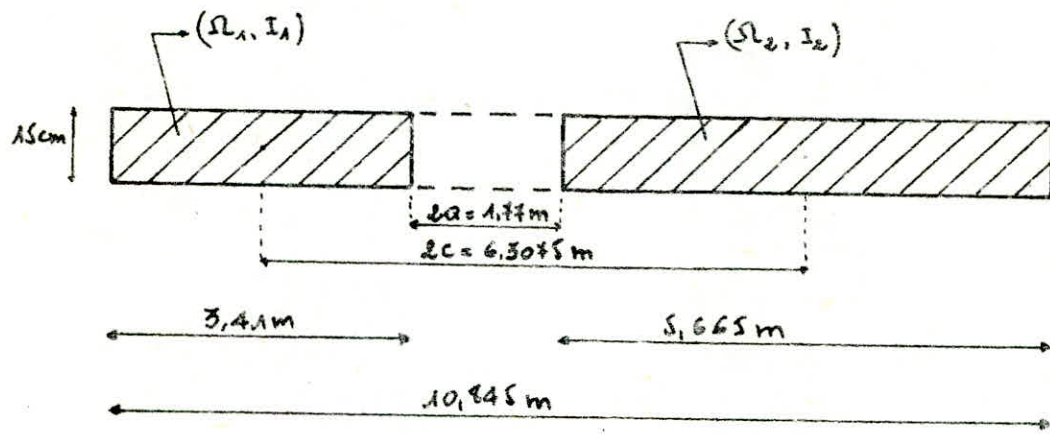
$$\text{avec } f_0 = \frac{11}{60} \frac{H_0 Z^3}{E I_e}$$

$$I_e = \frac{I}{\frac{60}{11} \cdot \frac{I}{\sum_i (I_i)} \cdot \frac{\Psi_0}{\alpha^2} + 1}$$

Dans ce cas de refends à plusieurs files d'ouvertures, on néglige les déformations dues à l'effort normal ( $N$ ) dans les éléments de refend.

\* EXEMPLE DE CALCUL D'INERTIE EQUIVALENTE POUR LES REFENDS A UNE FILE D'OUVERTURE

- Exemple du voile  $V_{T_7}$ :



$$I_A = \frac{0.15 \times 3.41^3}{42} = 0.4956 \text{ m}^4, I_B = \frac{0.15 \times 5.665^3}{42} = 2.2726 \text{ m}^4$$

$$\sum_{i=1}^2 I_i = I_A + I_B = 2.7682 \text{ m}^4$$

$$S_A = 0.15 \times 3.41$$

$$S_B = 0.15 \times 5.665$$

$$* M = \text{moment statique} = \frac{2c}{\frac{1}{I_A} + \frac{1}{I_B}} = 2.014$$

$$* I_e = I_A + I_B + 2mc = 15.47 \text{ m}^4$$

$$i = \text{inertie du linteau} = \frac{0.15 \times 0.17^3}{42} = 4.310^3 \text{ m}^4 \quad h_f = \text{hauteur du linteau} \\ h_f = 70 \text{ cm}$$

- Degré monolithique: w

$$* w^2 = \frac{3i}{\sum I_i} \cdot \frac{I}{m} \cdot \frac{c}{a^3 h_f} = 0.058 \Rightarrow w = 0.8409$$

avec  $h_f$  = hauteur d'étage = 2.8m.

- Degré de concordance: d

$$* d = w \cdot Z = 6.17 \quad \text{avec } Z = 28 \text{ m.}$$

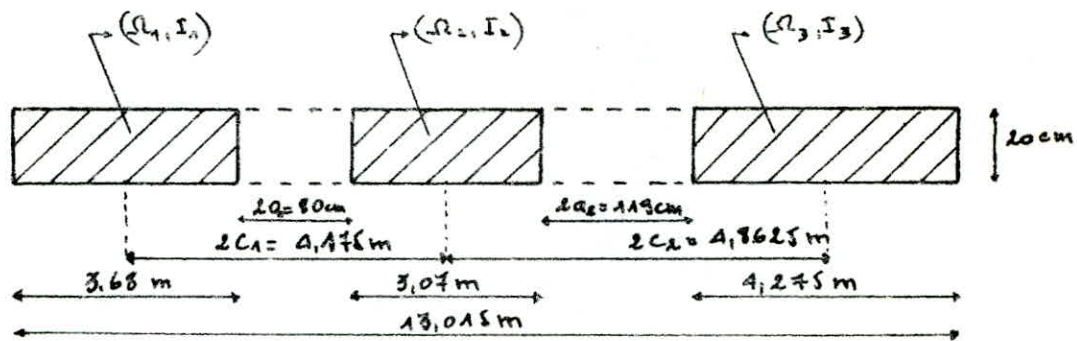
$d < 10$  donc voile à grande ouverture.

$$* \text{où } \Psi_0 = 0.525 \Rightarrow I_e = \frac{I}{\frac{60 \cdot 2mc}{11} \cdot \frac{\Psi_0}{I_i} + 1}$$

$$I_e = 16.01 \text{ m}^4$$

Exemple de calcul d'inertie équivalente pour les resouds à deux files d'ouvertures :

. Exemple du voile  $V_{T4(1)}$



$$I_A = \frac{0.2 \times 3.68^3}{12} = 0.7306 \text{ m}^4; I_2 = \frac{0.2 \times 3.07^3}{12} = 0.4814 \text{ m}^4; I_3 = \frac{0.2 \times 4.275^3}{12} = 1.3082 \text{ m}^4$$

$$\sum_{i=1}^3 I_i = I_A + I_2 + I_3 = 2.615 \text{ m}^4$$

$$\Omega_1 = 0.2 \times 3.68 = 0.736 \text{ m}^2; \Omega_2 = 0.2 \times 3.07 = 0.614 \text{ m}^2; \Omega_3 = 0.2 \times 4.275 = 0.855 \text{ m}^2$$

calculation des moments statiques.

$$\begin{cases} m_i = m_{i-1} + \Omega_i (D - \sum_{j=1}^{i-1} 2C_j) \\ m_A = \Omega_A \cdot D \end{cases} \quad \text{avec } D = \frac{\sum \Omega_i \cdot x_i}{\sum \Omega_i} = \frac{\sum_{i=1}^n \Omega_i (\sum_{j=1}^{i-1} 2C_j)}{\sum \Omega_i}$$

$$\sum_{i=1}^3 \Omega_i \left( \sum_{j=1}^{i-1} 2C_j \right) = (\Omega_2 \times 2C_1) + \Omega_3 (2C_1 + 2C_2) = (0.614 \times 4.176) + 0.855 (4.176 + 4.8625) \\ = 10.2905 \text{ m}^3$$

$$\sum_{i=1}^3 \Omega_i = 0.736 + 0.614 + 0.855 = 2.205 \text{ m}^2$$

$$\Rightarrow D = 4.6663 \text{ m.}$$

$$m_A = \Omega_A \cdot D = 3.4348 \text{ m}^3$$

$$m_2 = \Omega_1 \cdot D + \Omega_2 (D - 2C_1) = 3.7368 \text{ m}^3$$

$$m_3 = m_2 + \Omega_3 (D - 2C_1 - 2C_2) = -0.0001 \text{ m}^3$$

Calcul de l'inertie totale du refend avec plusieurs fil d'ouvertures.

$$I = \sum_{i=1}^k I_i + \sum_{i=1}^{n-1} \ell m_i c_i$$

$$I = I_1 + I_2 + I_3 + 2m_1 c_1 + 2m_2 c_2$$

$$I = 2,615 + 4,175 \times 3,4348 + 3,7368 \times 4,8625$$

$$I = 32,1886 \text{ m}^4$$

Degré monolithique: "w"

$$\omega^2 = \frac{G}{h_e I_e} \sum_{i=1}^{n-1} \frac{i_i c_i^2}{\alpha_i^2}$$

Inertie du Linteau  $h_e = 70 \text{ cm.}$  (hauteur du Linteau)

$$\text{On a } i_1 = i_2 = \frac{0,2 \times 0,1^3}{12} = 0,0286 \text{ m}^4$$

$$\Rightarrow \omega^2 = \frac{G}{2,8 \times 2,615} \times 0,0286 \times 2 \left( \frac{4,175^2}{0,8^2} + \frac{4,8625^2}{1,19^2} \right) = 0,4408$$

$$\Rightarrow \omega = 0,6639$$

Degré de concordance: "d"

$$d = \omega \cdot Z \quad \text{avec } Z = 28 \text{ m}$$

$$d = 18,59 > 10 \quad \text{d'où } \psi_0 = 0,6132$$

Inertie équivalente: "I<sub>e</sub>"

$$I_e = \frac{I}{\frac{\psi_0}{11} \sum I_i + \frac{\psi_0}{d^2} + 1}$$

$$I_e = 28,762 \text{ m}^4$$



CHAP: 4

ETUDE  
DYNAMIQUE

## Etude dynamique

L'étude dynamique s'impose à chaque fois qu'un ouvrage ne vérifie l'une des conditions suivantes.

- a. Le bâtiment ou bloc étudié a une hauteur au plus égale à 45m en zones I et II et 30m en zone III.
- b. La forme en plan du bâtiment ou bloc étudié est simple, symétrique, proche d'un rectangle avec des parties en paille ou en retrait (décrochements) ne dépassant pas 25% des dimensions globales conformément à l'article 2.3.1.1 du RPA 81-version 83.
- c. Dans le cas de décrochements en élévation, la variation des dimensions dans les deux directions, ne dépasse pas 25% entre deux niveaux adjacents et ne s'effectue que dans le sens d'une réduction à hauteur croissante.
- d. La distance entre le centre de masse et le centre de torsion ne dépasse pas 20% de la largeur effective du bâtiment ou bloc mesurée perpendiculairement à la direction de l'action physique considérée.
- e. Le rapport masse sur rigidité de deux niveaux successifs ne doit pas varier de plus de 25% dans chaque direction.
- f. Le bâtiment ou bloc étudié présente un degré d'amortissement voisin à tous les niveaux. En particulier, dans le cas des ossatures autostables avec remplissage en maçonnerie, les remplissages insérés entre les poteaux dossatures ont, à tous les niveaux, une densité du même ordre.
- g. La structure ne présente pas plusieurs degrés de liberté dans un même plan horizontal pour chacune des directions étudiées.
- h. La rigidité de deux niveaux successifs ne doit pas varier de plus de 25% dans chaque direction.

Ces conditions sont données par le RPA 81-article 3.2.1.1.

### Généralités :

Lorsqu'une structure est soumise à une sollicitation rapidement variable dans le temps, donc à caractère dynamique, elle effectue tout d'abord tant que dure l'excitation une série d'oscillations forcées régies par des lois en général complexes. Il leur succède, dès que l'excitation disparaît, des oscillations libres qui obéissent à des lois plus simples et qui finissent par s'amortir plus ou moins rapidement. Pour nous le problème fondamental de la dynamique des structures réside dans la détermination de la réponse de la structure à une excitation donnée c'est à dire la description de ses oscillations en terme de cinématique.

## Méthodes de Calcul :

L'étude des oscillations partant de Considerations théoriques et mathématiques nécessite la définition d'un "modèle mathématique" rationnel traduisant au mieux les capacités réelles du bâtiment.

Pour notre bâtiment à usage d'habitation de hauteur d'étage moyenne et de hauteur totale assez importante, il est rationnel de Concentrer les masses en élévation (voiles) dans la masse du plancher duquel elles sont les plus proches. On obtient ainsi une Console encastrée à la base constituée de plusieurs masses concentrées au niveau des planchers soutenues par un élément élastique, de rigidité égale à celle des éléments résistants et de masse négligeable. Nous accepterons que pendant le processus oscillatoire la déformée du système reste plane, que les déformations élastiques sont infiniment petites et que par conséquent chaque masse a un seul degré de liberté.

Pour le Calcul dynamique proprement dit, il existe une méthode exacte et des méthodes approximatives. L'analyse dynamique exacte des systèmes à plusieurs degrés de liberté est laborieuse car elle nécessite énormément de calculs et beaucoup de temps qu'ils sont effectués manuellement.

Avec une précision satisfaisante, les méthodes approchées permettent la détermination des caractéristiques dynamiques de vibration moyennant un calcul itératif.

Les méthodes approchées usuelles sont :

- Méthode de Rayleigh (1<sup>er</sup> mode).
- Méthode de Vianello-Stodola (1<sup>er</sup>, 2<sup>e</sup> et 3<sup>e</sup> modes).
- Méthode de Holzer.

Ces méthodes approximatives se limitent en principe à déterminer les formes et les pulsations propres par une série d'opérations itératives à partir d'une déformée arbitrairement choisie.

## Méthode de Rayleigh (aperçu).

C'est une méthode basée sur le principe de Conservation d'énergie; elle n'est, par<sup>o</sup>, applicable qu'aux systèmes conservatifs. Cependant l'influence négligeable de l'amortissement sur les valeurs des formes et pulsations propres (démontré par la méthode exacte), elle peut être utilisée pour la détermination des caractéristiques dynamiques des structures.

Le principe de Conservation de l'énergie totale pour un système élastique en mouvement sans amortissement s'écrit:

$$W_{\text{tot.}} = W_c + W_p = \text{Constante}; \quad W_p(t): \text{Energie Potentielle.}$$

$W_c(t): \text{Energie Cinétique.}$

Parmi les méthodes de Rayleigh on utilisera celle qui a l'avantage d'éliminer le choix arbitraire de la ligne déformée et qui est appelée: "Méthode de la déformée statique".

La déformée statique est déterminée à partir des déplacements statiques  $\delta_{st,j}$  résultant de la sollicitation d'un système à plusieurs degrés de liberté, par des forces  $P_j = M_j \cdot g$  agissant statiquement dans la direction du degré de liberté.

### Etapes du Calcul:

- On calcule les déplacements unitaires:  $\delta_{ij}$ .  
 $\delta_{ij}$ : déplacement en "j" résultant d'une force statique unitaire appliquée en "i";
- On détermine les déplacements statiques par la relation:  $\delta_{st,j} = \sum_{i=1}^n p_i \cdot \delta_{ij}$  ;  
 On écrit que:  $\delta_{st,j} = x_{0j}$ ; d'où on peut tracer notre déformée statique.

La précision des résultats obtenus avec la méthode de Rayleigh dépend du choix de la ligne élastique. Cette précision peut être accrue en utilisant un procédé itératif de correction de la forme choisie.

### Procédé itératif:

- On calcule le coefficient adimensionnel  $\beta$  tel que:  
 $\beta_{ij} = \frac{x_{0j}}{x_{0i}}$ ; ( $x_{0i}$ : flèche au sommet de la console);
- La première correction consiste à calculer une nouvelle force  $F$  telle que:  
 $F_{ij} = \beta_{ij} \cdot P_j$ ; indice "1" pour 1<sup>re</sup> correction.  
 indice "j" pour laquelle  $F$  ou  $\beta$  sont exprimés.  
 côté

c. Avec les nouvelles forces on calcule les déplacements  $x_{1j}$  tels que:

$$x_{1j} = \sum_{i=1}^n F_{ij} \cdot \delta_{ij} ;$$

- On calcule ensuite le coefficient adimensionnel  $\beta$  de la deuxième correction:  
 $\beta_{2j} = \frac{x_{1j}}{x_{0j}}$ ;
- La deuxième correction consiste à calculer les forces:  $F_{2j} = \beta_{2j} \cdot P_j$ .

c'. Avec les nouvelles forces on calcule les déplacements "corrígés"  $\bar{x}_{2j}$  tels que:

$$\bar{x}_{2j} = \sum_{i=1}^n F_{2ij} \cdot S_{ij} ;$$

Le processus itératif est rapidement convergent et le nombre d'itérations est d'autant plus important que la précision recherchée est importante. Le processus est arrêté lorsque l'égalité suivante est satisfait approximativement:  $S_{mj} \approx S_{(m-1)j} -$

### Determination de la pulsation propre:

Pour un système à "n" masses concentrées les énergies sont:

$$W_p = \frac{1}{2} \sum_{j=1}^n P_j \cdot \delta_{stj} ; \quad W_c = \frac{1}{2g} \omega^2 \sum_{j=1}^n P_j \delta_{stj}^2 .$$

Mais en choisissant une ligne élastique qui ne coïncide pas avec le mode propre de vibration le système sera soumis par des forces d'inertie  $F_{mj}$  qui représentent une approximation des forces réelles d'inerties et qui produisent les déplacements  $x_{mj}$ .

$$\text{D'où: } W_p^{\max} = \frac{1}{2} \sum_{j=1}^n F_{mj} x_{mj} \text{ et } W_c^{\max} = \frac{1}{2} \frac{\omega^2}{g} \sum_{j=1}^n P_j x_{mj}^2 ;$$

En écrivant  $W_p^{\max} = W_c^{\max}$  on obtient:

$$\omega^2 = g \cdot \frac{\sum F_{mj} x_{mj}}{\sum_{j=1}^n P_j x_{mj}^2} \quad \text{or, } F_{mj} = P_{mj} P_j \text{ et } x_{mj} = S_{mj} x_{mn} ;$$

$$\text{D'où } \omega^2 = g \cdot \frac{\sum_{j=1}^n (P_j S_{mj} x_{mn})}{\sum_{j=1}^n (P_j S_{mj}^2 x_{mn})} \text{ soit: } \omega^2 = \frac{g}{x_{mn}} ;$$

La période du mode fondamental est donc:

$$T = 2\pi \sqrt{\frac{x_{mn}}{g}} ;$$

## Méthode de Vianello-Stodola (aperçu).

Cette méthode est basée sur les observations suivantes:

- Pour un oscillateur multiple à "n" masses concentrées les ordonnées de la ligne élastique qui correspond au mode "j" sont proportionnelles aux forces d'inertie des masses dans le mode considéré
- Le travail des forces d'inertie correspondant à un mode de vibration quelconque avec les déplacements d'un autre mode est nul.

La méthode de Vianello-Stodola permet de calculer le mode fondamental (période propre et déformé) ainsi que, successivement les modes supérieurs en utilisant un procédé d'élimination dont la convergence est malheureusement assez lente. Cependant, compte tenu du caractère répétitif des opérations, cette méthode peut être programmée sur ordinateurs de faible capacité.

- La première observation peut être démontrée comme suit:

Soit un système à "n" masses concentrées ( $M_j$ ) chacune ayant un degré de liberté exprimé par son déplacement  $x_j(t)$  dans la direction de vibration.

Les forces d'inertie correspondantes sont:

$$F_{(i)j} = -M_j \cdot \frac{d^2x_j}{dt^2};$$

Le principe de D'ALEMBERT nous permet de calculer les déplacements des masses produites par les forces  $F_{(i)j}$ :

$$(1) \left\{ \begin{array}{l} x_1(t) = - \sum_{k=1}^n M_k \cdot \frac{d^2x_k}{dt^2} \cdot \delta_{1k} ; \\ \vdots \\ x_j(t) = - \sum_{k=1}^n M_k \cdot \frac{d^2x_k}{dt^2} \cdot \delta_{jk} ; \\ \vdots \\ x_n(t) = - \sum_{k=1}^n M_k \cdot \frac{d^2x_k}{dt^2} \cdot \delta_{nk} ; \end{array} \right.$$

Le terme  $-M_k \cdot \frac{d^2x_k}{dt^2} \delta_{jk}$  représente la flèche en "j" produite par la force d'inertie appliquée en "k";

Nous acceptons l'hypothèse selon laquelle les oscillations sont harmoniques:

$$x_k(t) = x_{0k} \cdot \sin(\omega t + \varphi).$$

Donc (1) devient:

$$(2) \left\{ \begin{array}{l} x_{0j}(t) = \omega^2 \sum_{k=1}^n M_k x_{0k} \delta_{jk} ; \text{ car } \frac{d^2x_k}{dt^2} = -\omega^2 x_{0k} \sin(\omega t + \varphi) \end{array} \right.$$

- La deuxième observation représente la propriété d'orthogonalité des formes propres:

$$\sum_{f=1}^n M_f x_{fi} x_{fk} = 0. \text{ pour } i \neq j.$$

Dans le cas où l'on connaît la forme exacte d'un mode de vibration les relations (2) donneront la valeur exacte de  $\omega_1^2$ ; peuvent cette forme n'est pas connue et il faut choisir une forme arbitraire qui, par la suite, sera corrigée afin de donner avec une précision satisfaisante, la forme du mode respectif. Il faut noter toutefois, que la méthode est applicable chaque fois pour le mode ayant la plus petite pulsation propre.

Pour obtenir le mode immédiatement supérieur une opération d'élimination des modes inférieurs est nécessaire.

### Etapes du Calcul:

#### A. mode fondamental :

1. On calcule les déplacements  $x_{1j}$  du système dus à l'action des forces  $M_j = \frac{P_j}{g}$  appliquées aux niveaux  $z = z_j$  dans la direction de la vibration. Le déplacement  $\ddot{x}_{1j}$  est

$$\ddot{x}_{1j} = \sum_{k=1}^n M_k \delta_{jk} = \frac{1}{g} \sum_{k=1}^n P_k \delta_{jk};$$

$\delta_{jk}$ : Coefficient d'influence ou déplacement unitaire en "j" lorsque  $P_k = 1$ .

$$\text{Soit } \alpha_{Pk} = \frac{P_k}{P_n}; \text{ alors: } \ddot{x}_{1j} = \frac{P_n}{g} \sum_{k=1}^n \alpha_{Pk} \delta_{jk}$$

2. On détermine les coefficients adimensionnels de la première déformée :

$$f_{1j} = \frac{\ddot{x}_{1j}}{x_{1n}} \text{ où } x_{1n} \text{ est la flèche au pommet.}$$

3. On applique au système les forces "Corrigées".  $M_{1j}^{(1)} = M_j \ddot{x}_{1j} = \frac{P_j}{g} \ddot{x}_{1j}$ ;

$$\text{ou bien: } M_{1j}^{(1)} = \frac{P_n \cdot x_{1n}}{g} \cdot \alpha_{Pj} f_j$$

4. La déformée du système sous l'action des forces  $M_{1j}^{(1)}$  est:

$$x_{1j}^{(1)} = \sum_{k=1}^n M_{1j}^{(1)} \delta_{jk} = \frac{P_n \cdot x_{1n}}{g} \cdot \sum_{k=1}^n \alpha_{P_k} P_k \delta_{jk}.$$

5. La première propriété (a) permet d'écrire:

$$\bar{\omega}_1^2 = \frac{x_{1j}}{x_{1n}^{(1)}} = \frac{1}{\frac{x_{1n}}{\sum_{k=1}^n \alpha_{P_k} P_k \delta_{nk}}} \quad (3)$$

Cette expression de la pulsation (3) devient plus simple si on décide de Comparer les flèches au pommet; on aura:

$$\bar{\omega}_1^2 = \frac{x_{1n}}{x_{1n}^{(1)}} = \frac{1}{\frac{x_{1n}}{\sum_{k=1}^n \alpha_{P_k} P_k \delta_{nk}}} = \frac{\sum_{k=1}^n \alpha_{P_k} P_k \delta_{nk}}{\sum_{k=1}^n \alpha_{P_k} P_k \delta_{nk}};$$

$$\text{Et Comme } x_{1n} = \frac{P_n}{g} \cdot \sum_{k=1}^n \alpha_{P_k} \delta_{nk}$$

alors:

$$\bar{\omega}_1^2 = \frac{g}{P_n \sum_{k=1}^n \alpha_{P_k} P_k \delta_{nk}} \quad \text{et} \quad T_1 = 2\pi \sqrt{\frac{g}{\bar{\omega}_1^2}} = \frac{2\pi}{\bar{\omega}_1} \sqrt{P_n \sum_{k=1}^n \alpha_{P_k} P_k \delta_{nk}}.$$

$$\text{ou bien: } T_1 = 2\pi \sqrt{\frac{g}{\sum_{k=1}^n (\alpha_{P_k} P_k \delta_{nk})}}.$$

Cette formule donne pour  $\bar{\omega}_1^2$  pour approximation par défaut.

Cette méthode propose une deuxième valeur pour  $\omega_1^2$ , celle-ci par excès.

$$\bar{\omega}_1^2 = \frac{\sum_{j=1}^n x_{1j}}{\sum_{j=1}^n x_{1j}^{(1)}} = \frac{\sum_{j=1}^n \left( \sum_{k=1}^n \alpha_{P_k} \delta_{jk} \right)}{\sum_{j=1}^n \left( \sum_{k=1}^n \alpha_{P_k} p_k^{(1)} \delta_{jk} \right)} \cdot \frac{1}{x_{1n}} ;$$

On retiendra la valeur  $\omega_1^2$  bornée comme suit:  $\bar{\omega}_1^2 \leq \omega^2 \leq \bar{\omega}_1^2$  ;

On peut poursuivre le processus itératif si on veut une meilleure précision.

6. On calcule:

$$p_j^{(1)} = \frac{x_{1j}^{(1)}}{x_{1n}^{(1)}} ;$$

les forces de troisième approximation sont:

$$M_{1j}^{(2)} = M_j \cdot x_{1j}^{(1)} = \frac{P_n \cdot x_{1n}^{(1)}}{g} \cdot \alpha_{P_j} p_j^{(1)} ;$$

7. La déformée sera alors:

$$x_{1j}^{(2)} = \sum_{k=1}^n M_{1j}^{(2)} \delta_{jk} = \frac{P_n \cdot x_{1n}^{(1)}}{g} \cdot \sum_{k=1}^n \alpha_{P_k} p_k^{(1)} \delta_{jk} ;$$

Nous avons donc:

$$\bar{\omega}_1^2 = \frac{x_{1j}^{(1)}}{x_{1j}^{(2)}} = \frac{x_{1n}}{\frac{x_{1j}^{(2)}}{x_{1n}^{(1)}} \cdot \frac{\sum_{k=1}^n \alpha_{P_k} p_k^{(1)} \delta_{jk}}{\sum_{k=1}^n \alpha_{P_k} p_k^{(1)} \delta_{nk}}} ;$$

Et si on veut comparer les flèches au sommet:

$$x_{1n}^{(1)} = \frac{P_n x_{1n}}{g} \cdot \sum_{k=1}^n \alpha_{P_k} p_k^{(1)} \delta_{nk}$$

$$x_{1n}^{(2)} = \frac{P_n x_{1n}^{(1)}}{g} \cdot \sum_{k=1}^n \alpha_{P_k} p_k^{(1)} \delta_{nk} = \left( \frac{P_n}{g} \right)^2 \cdot \left( \sum_{k=1}^n \alpha_{P_k} p_k^{(1)} \delta_{nk} \right) \cdot \left( \sum_{k=1}^n \alpha_{P_k} p_k^{(1)} \delta_{nk} \right) ;$$

D'où la pulsation propre:

$$\omega_1^2 = \frac{x_{1n}^{(1)}}{x_{1n}^{(2)}} = \frac{g}{P_n} \cdot \frac{1}{\sum_{k=1}^n \alpha_{P_k} p_k^{(1)} \delta_{nk}} ;$$

Après  $n$  itérations nous pouvons écrire:

$$\omega_1^2 = \frac{g}{P_n} \cdot \frac{1}{\sum_{k=1}^n \alpha_{P_k} p_k^{(n-1)} \delta_{nk}} ;$$

On remarque que l'expression  $P_n \sum_{k=1}^n \alpha_{P_k} p_k^{(n-1)} \delta_{nk} = \sum_{k=1}^n (P_k p_k^{(n-1)}) \delta_{nk}$  représente la flèche au sommet due aux forces  $(P_k p_k^{(n-1)})$ ,  $k=1, \dots, n$ ; Cette flèche notée  $x_{1n}^{(n-1)}$ , on aura:

$$\omega_1 = \sqrt{\frac{g}{x_{1n}^{(n-1)}}} ;$$

## B. Deuxième mode de vibration:

- On connaît le premier mode vibration (mode fondamental).
- Soit  $\tilde{x}_{2j}$  une expression approximative pour le 2<sup>e</sup> mode. Elle peut être écrite comme une simple combinaison linéaire de la forme exacte  $x_{1j}$  du 2<sup>e</sup> mode et de la forme exacte  $x_{1j}$  du premier mode:  $\tilde{x}_{2j} = x_{2j} + \alpha_1 x_{1j}$ ; (1)
- On multiplie (1) par  $P_j x_{1j}$  et on fait la somme des produits obtenus.

$$\sum_{j=1}^n P_j x_{2j} \cdot x_{1j} = \sum_{j=1}^n P_j x_{2j} x_{1j} + \alpha_1 \sum_{j=1}^n P_j x_{2j}^2$$

La propriété d'orthogonalité donne:

$$\text{D'où } \alpha_1 = \frac{\sum_{j=1}^n P_j x_{1j} \tilde{x}_{2j}}{\sum_{j=1}^n P_j x_{1j}^2}$$

$$\sum_{j=1}^n P_j x_{1j} x_{2j} = 0 \text{ (appliquée au modes 1 et 2).}$$

- On calcule ensuite les ordonnées du 2<sup>e</sup> mode.

$$\tilde{x}_{2j}^{(1)} = x_{2j}^{(0)} - \alpha_1 x_{1j}$$

$$\text{et après ça les "forces": } M_{2j}^{(1)} = M_j \tilde{x}_{2j}^{(1)}$$

- On détermine les déplacements:  $\tilde{x}_{2j}^{(2)}$

$$5. \text{ Nous avons: } \bar{\omega}_2^2 = \frac{\tilde{x}_{2j}^{(1)}}{\tilde{x}_{2j}^{(2)}}$$

$$\text{Ou encore: } \bar{\omega}_2^2 = \frac{\sum_{j=1}^n \tilde{x}_{2j}^{(1)}}{\sum_{j=1}^n \tilde{x}_{2j}^{(2)}}$$

$$\text{et: } \bar{\omega}_2^2 \leq \omega_2^2 \leq \tilde{\omega}_2^2$$

### Calcul des déplacements unitaires:

Une force unitaire placée au niveau  $h_i$  provoque au niveau  $h_j$  un déplacement élastique  $\delta_{ij}$  tel que:

$$\delta_{ij} = \frac{h_j^2}{2EI} \cdot \left( h_i - \frac{h_j}{3} \right); \quad i > j \quad (\text{R.D.M})$$

Si les masses sont concentrées le long de la hauteur à écarts constants he hauteur d'étage alors:

$$\begin{aligned} h_j &= j \cdot he; & \delta_{ij} &= \frac{j^2 \cdot he^2}{2EI} \cdot he \left( i - \frac{j}{3} \right) \text{ ou bien} \\ h_i &= i \cdot he; \end{aligned}$$

$$\delta_{ij} = \frac{he^3}{6EI} \cdot j^2 \left( i - \frac{j}{3} \right).$$

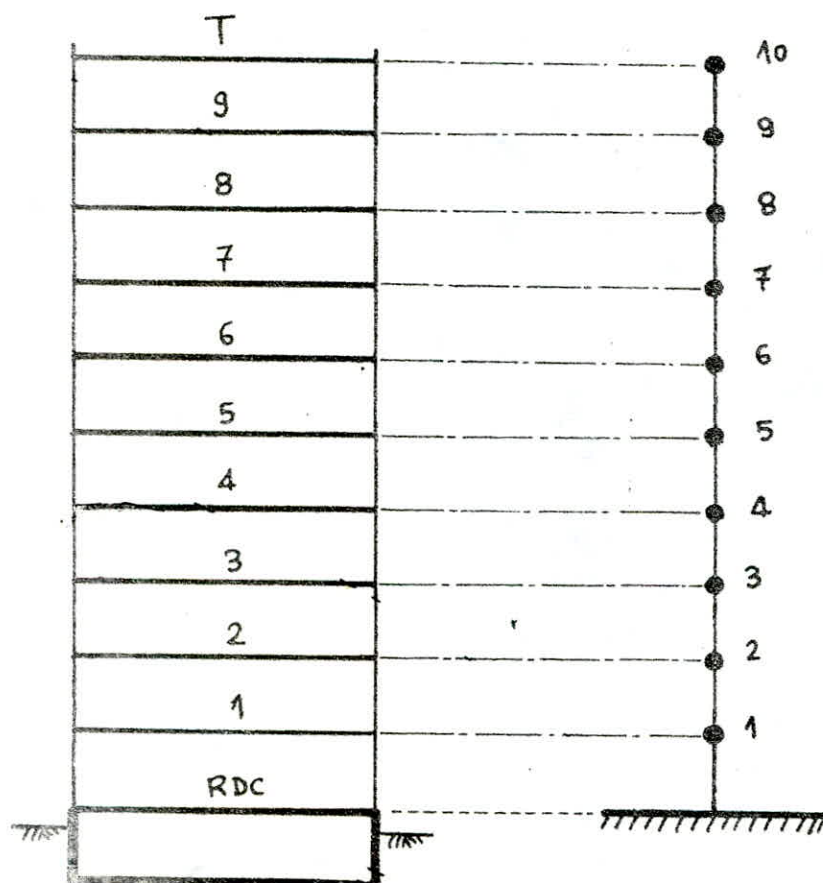
$$\text{Si } K = \frac{he^3}{6EI} \text{ alors . . . . } \delta_{ij} = K \cdot j^2 \left( i - \frac{j}{3} \right).$$

## Détermination de la période du mode fondamental de vibration.

### Modèle mathématique :

L'existence de voiles périphériques au niveau du pous.-pol forment avec le plancher de rez-de-chaussée, considéré infiniment rigide, et les fondations une boîte rigide capable d'assurer l'encaissement de la superstructure élastique au niveau du rez-de-chaussé.

Le modèle mathématique est obtenu en concentrant la masse de chaque étage au niveau du plancher correspondant. On obtient ainsi une console encastrée à sa base et dont la hauteur est celle du bâtiment soit 28m.



### Calcul de la période propre du premier mode :

Pour cela, n'ayant pas la distribution des efforts  $F_x$  horizontaux qui permet d'obtenir la force minimale  $V$  citée par le règlement RPA 81, on imagine la structure retournée de  $90^\circ$  dans le champ de pesanteur ; les masses  $M_i$  concentrées seront alors sollicitées par leur propre poids.

L'intérêt du calcul de la période propre du premier mode de vibration réside dans le calcul du coefficient d'amplification dynamique  $D$ , et d'autre part permet de constater la participation des modes supérieurs.

### Méthode de Calcul :

- a. La période du mode fondamental sera déterminée par la méthode approximative de Rayleigh avec un processus itératif comme déjà indiqué.  
Cette méthode nécessite les données suivantes:
- Déplacements statiques  $\delta_{st,j}$ .
  - Les forces  $P_j = M_j \cdot g$  dues à chaque masse.
  - Les masses  $M_j$  soumises à l'action sismique.

- b. La période du deuxième mode sera déterminée à l'aide de la méthode de Vianello-Stodola.

### Masses soumises à l'action sismique.

niveau j	$M_j = G_j + \frac{P_j}{g}$ (t)
1	337,216
2	"
3	"
4	"
5	"
6	"
7	"
8	"
9	"
10	259,986

$$\text{Fonction des déplacements unitaires } \underline{\mathbf{K}} \underline{\mathbf{S}}_{ij} \quad (\mathbf{K} = \mathbf{E}^i) \quad \underline{\mathbf{S}}_{ij} = \underline{\mathbf{S}}_{ji} \text{ (MAXWELL)}$$

displacements statiques

$F_{0j} = W_{0j}$	$Kx_{0j} = Kx_{0j}$	$e_{0j} = \frac{x_{0j}}{x_{0,10}}$
337,216	50.028,810	0,01839
+	187.272,736	0,06884
"	393.985,494	0,14483
+	654.444,096	0,24053
+	954.948,850	0,35104
"	1.283.823,360	0,44194
"	1.631.414,526	0,59932
"	1.990.092,544	0,73157
"	2.354.250,906	0,86544
259,986	2.720.306,400	1

1<sup>o</sup> iteration

$F_{1j} = W_{1j}$	$Kx_{1j}$	$e_{1j} = \frac{x_{1j}}{x_{1,10}}$
6,2014	30.690,5073	0,01654
23,2139	116.737,5818	0,06305
48,839	249.719,4712	0,13490
81,1274	421.322,3192	0,22755
118,3763	623.241,9668	0,33661
159,1457	847.905,9799	0,45795
202,2352	1.088.395,703	0,58783
246,6971	1.338.749,674	0,72304
291,9409	1.594.221,215	0,86102
259,986	1.851.544,513	1

2<sup>o</sup> iteration

$F_{2j} = W_{2j}$	$Kx_{2j}$	$e_{2j} = \frac{x_{2j}}{x_{2,10}}$
5,5776	30.200,9526	0,01649
21,2613	115.171,8840	0,06292
45,4904	246.505,5527	0,13467
76,7335	415.931,0112	0,22423
113,5103	615.457,1486	0,33623
154,2271	837.564,3959	0,45757
198,8257	1.075.396,078	0,58751
243,8207	1.323.086,321	0,72282
290,3497	1.575.637,692	0,86090
259,986	1.830.444,321	1

3<sup>rd</sup> iteration

$F_{3j} = W_{3j}$	$K X_{3j}$	$e_{A_j} = \frac{x_{3j}}{x_{3,10}}$
5,5634	30.190,0686	0,01649
21,2177	115.131,1814	0,06292
45,4128	246.420,3888	0,13466
76,6254	415.790,7217	0,22722
113,3834	615.259,1683	0,33622
154,3013	837.288,8216	0,45756
198,1162	1.075.056,696	0,58750
243,7472	1.322.618,647	0,72280
290,3107	1.575.326,175	0,86090
259,986	1.829.893,661	1

4<sup>th</sup> iteration

$F_{4j} = W_{4j}$	$K X_{4j}$	$e_{S_j} = \frac{x_{4j}}{x_{4,10}}$
5,5634	30.189,6204	0,01649
21,2177	115.129,4888	0,06292
45,4112	246.417,4401	0,13466
76,6226	415.782,7685	0,22722
113,3801	615.239,4580	0,33622
154,2970	837.244,7274	0,45756
198,1180	1.075.047,868	0,58750
243,74	1.322.629,104	0,72280
290,3075	1.575.333,973	0,86090
259,986	1.829.868,741	1

5<sup>th</sup> iteration

$F_{5j} = W_{5j}$	$K X_{5j}$	$e_{S_j} = \frac{x_{5j}}{x_{5,10}}$
5,5634	30.189,6204	0,01649
21,2177	115.129,4888	0,06292
45,4112		
76,6226		
113,3801		
154,2970		
198,1180		
243,74		
290,3075		
259,986	1.829.868,741	1

. On constate que  $F_{4j} = F_{5j}$  et  $e_{S_j} = e_{A_j}$  donc on arrête le processus itératif car on pense qu'on a une assez bonne précision.

## Determination des déplacements.

$$\text{on a } \Sigma I_{ex} = 137,578 \text{ m}^4$$

$$E = 3450000 \text{ t/m}^2$$

$$\Sigma I_{ey} = 24,829 \text{ m}^4$$

### 1/ Déplacements longitudinaux

$$x_j = \frac{k x_{5j}}{E \Sigma I_{ex}} \quad \text{avec } E \Sigma I_{ex} = 4,746 \cdot 10^8 \text{ t.m}^2$$

### 2/ Déplacements transversaux

$$x_j = \frac{k x_{5j}}{E \Sigma I_{ey}} \quad \text{avec } E \Sigma I_{ey} = 0,8566 \cdot 10^8 \text{ t.m}^2$$

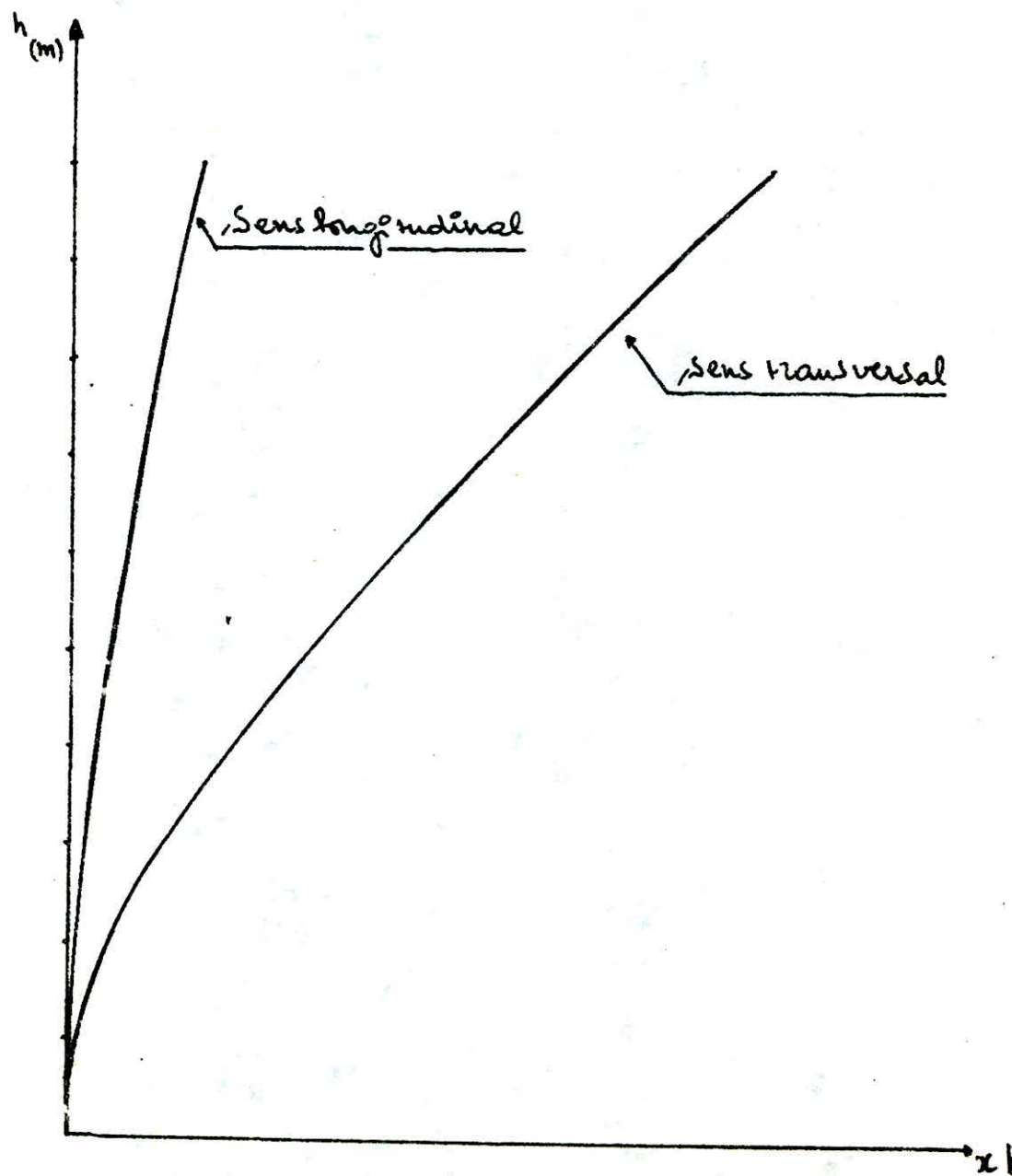
$\delta$ (m)	Déplacements long. (m)	Déplacements trans. (m)
2,8	0,0001	0,0004
5,6	0,0002	0,0013
8,4	0,0005	0,0029
11,2	0,0009	0,0049
14,0	0,0013	0,0072
16,8	0,0018	0,0098
19,6	0,0023	0,0126
22,4	0,0028	0,0154
25,2	0,0033	0,0184
28,0	0,0033	0,0214

$$m g = 9,81 \text{ m/s}^2$$

calcul des périodes

$$\Rightarrow \left\{ \begin{array}{l} T_x = 2\pi \sqrt{\frac{x_{50z}}{g}} = 0,13 \text{ s} \\ T_y = 2\pi \sqrt{\frac{x_{50z}}{g}} = 0,30 \text{ s} \end{array} \right.$$

## Déformés du 1<sup>e</sup> mode



$Z/h$	$X_{2j}^0$	$P_j$	$X_{1j}$	$P_j \cdot X_{1j} \cdot X_{2j}^0$	$P_j X_{1j}^2$	$X_{2j}^{(1)}$	$M_{2j}^{(1)}$	$K X_{2j}^{(2)}$
1	-1,0000	259,986	1	-259,986	259,986	-0,5432	-14,396	-4615,5052
0,9	-0,8910	337,216	0,86098	-258,664	249,927	-0,4977	-17,108	-2268,7464
0,8	-0,5878	"	0,72280	-143,270	176,175	-0,2576	-8,8549	-25,4716
0,7	-0,1564	"	0,58750	-30,985	116,392	0,1120	3,850	1933,5493
0,6	0,3090	"	0,45756	47,678	70,600	0,5180	17,806	3378,8648
0,5	0,7071	"	0,33622	80,170	38,120	0,9607	29,586	4108,3805
0,4	0,9511	"	0,22722	72,875	17,410	1,0549	36,262	4012,6590
0,3	0,9877	"	0,13466	44,851	6,115	1,0492	36,066	3172,6719
0,2	0,8090	"	0,06292	17,165	1,335	0,8367	28,761	1968,0968
0,1	0,4540	"	0,01649	2,5246	0,032	0,4615	15,864	590,8943
$\Sigma = -427,6434 \quad 936,152 \quad 3,8945$								

$$\alpha = \frac{\sum_{j=1}^9 P_j \cdot X_{1j} \cdot X_{2j}^0}{\sum_{j=1}^9 P_j X_{1j}^2} = \frac{-427,6434}{936,152} = -0,4568$$

## Determination des déplacements:

### 1) déplacements longitudinaux:

$$x_{zj}^{(1)} = \frac{k x_{zj}^{(0)}}{K} \quad K = E \sum I_{ex} = 4,746 \cdot 10^8 \text{ t.m}^2$$

### 2) déplacements transversaux:

$$x_{zj}^{(2)} = \frac{k x_{zj}^{(0)}}{K} \quad K = E \sum I_{ey} = 0,8566 \cdot 10^6 \text{ t.m}^2$$

$h \text{ (m)}$	Déplacements long	Déplacements trans
2,8	$1,25 \cdot 10^{-6}$	$6,91 \cdot 10^{-6}$
5,6	$3,94 \cdot 10^{-6}$	$2,181 \cdot 10^{-5}$
8,4	$6,685 \cdot 10^{-6}$	$3,704 \cdot 10^{-5}$
11,2	$8,455 \cdot 10^{-6}$	$4,684 \cdot 10^{-5}$
14,0	$8,65 \cdot 10^{-6}$	$4,493 \cdot 10^{-5}$
16,8	$7,113 \cdot 10^{-6}$	$3,945 \cdot 10^{-5}$
19,6	$4,074 \cdot 10^{-6}$	$2,257 \cdot 10^{-5}$
22,4	$-5,367 \cdot 10^{-6}$	$-0,297 \cdot 10^{-5}$
25,2	$-4,78 \cdot 10^{-6}$	$-2,65 \cdot 10^{-5}$
28,0	$-9,725 \cdot 10^{-6}$	$-0,0001$

### calcul des périodes $T_x$ et $T_y$ :

Tout d'abord on calcule les périodes de l'oscillations:

1/ l'une donne une pulsation dont l'approximation est la défaut. ( $\bar{\omega}_2^2$ )

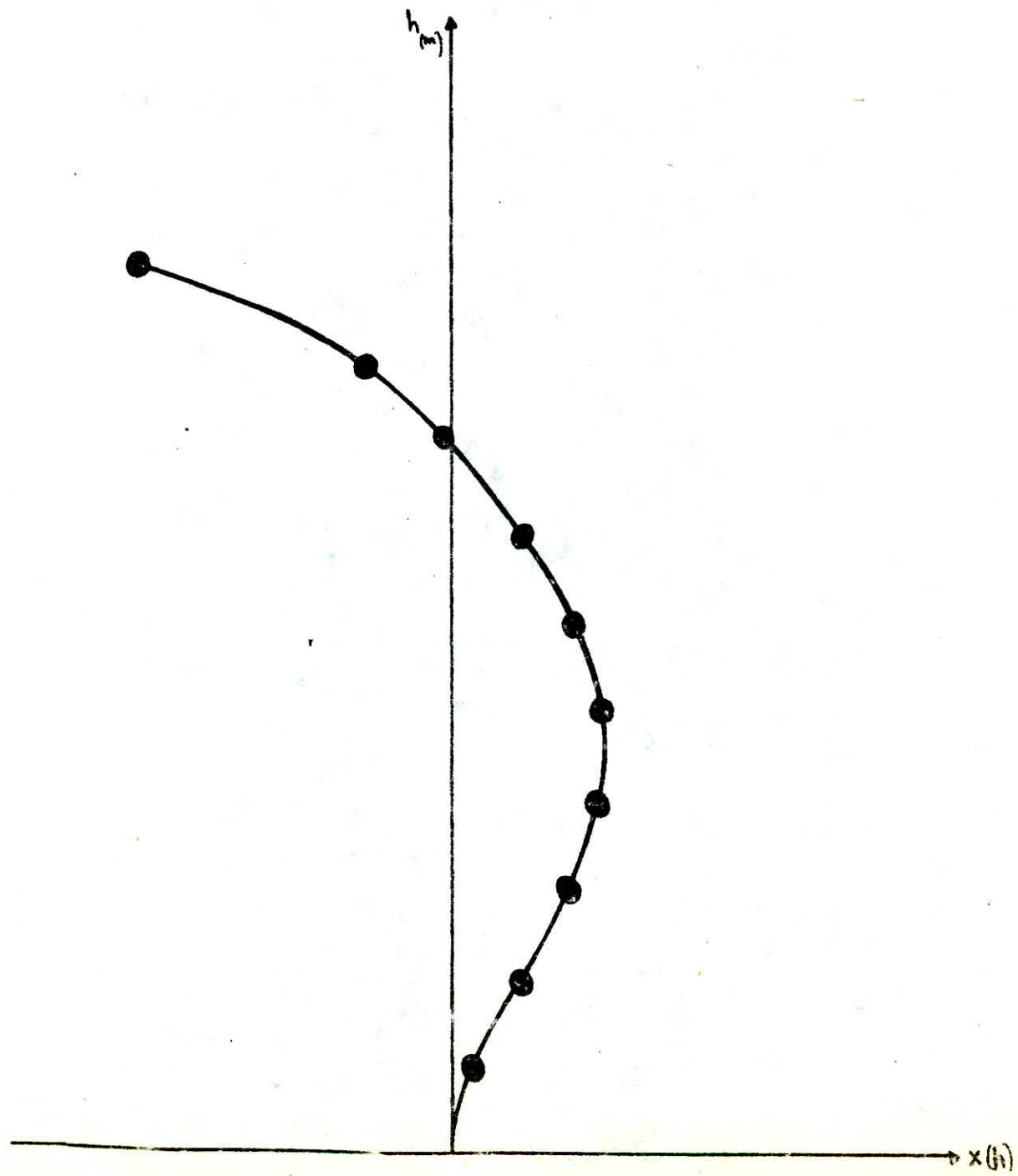
2/ l'autre donne une pulsation dont l'approximation est la réelle. ( $\tilde{\omega}_2^2$ )

$$\begin{aligned} \bar{\omega}_2^2 &= \frac{x_{zj}^{(1)}}{x_{zj}^{(0)}} \\ \tilde{\omega}_2^2 &= \frac{\sum_{j=1}^{n-1} x_{zj}^{(1)}}{\sum_{j=1}^{n-1} x_{zj}^{(0)}} \end{aligned} \quad \left\{ \Rightarrow \bar{\omega}_2^2 \leq \omega_2 \leq \tilde{\omega}_2^2 \right.$$

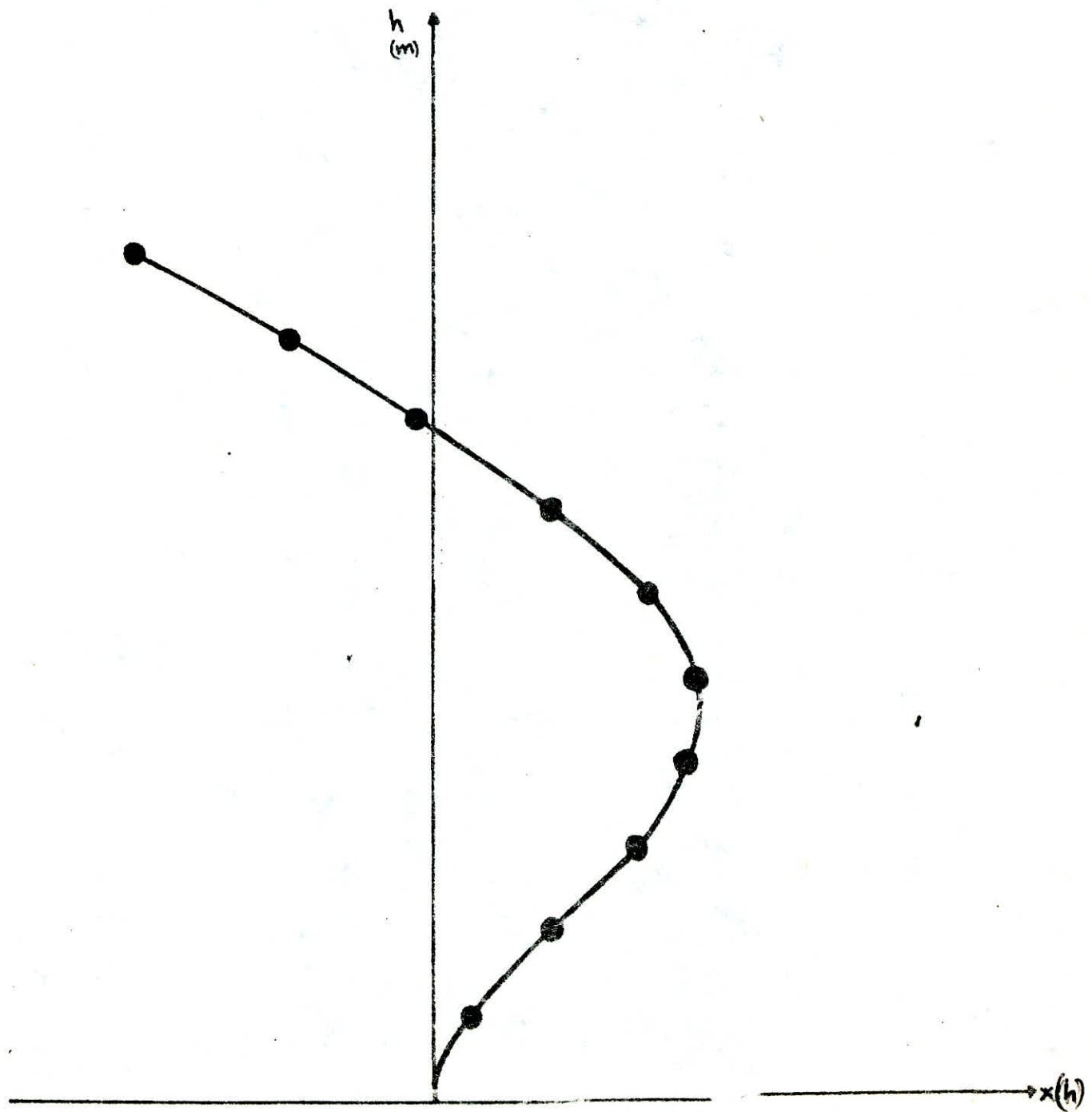
$$\begin{aligned} \text{on considère que } \omega_2 &= \bar{\omega}_2 \\ \Rightarrow T &= \frac{2\pi L}{\omega_2} \end{aligned}$$

$$\begin{aligned} \text{donc } \left\{ \begin{array}{l} T_x = 0,0171 \\ T_y = 0,0324 \end{array} \right. \end{aligned}$$

Déformé du 2<sup>e</sup> mode Sens transversal



Déflection du 2<sup>e</sup> mode "Sens longitudinal"



CHAP: 5

ETUDE  
SISMIQUE

## . Etude Sismique.

### I. Aperçu sur le règlement RPA 81.

#### Domaine d'application.

Le règlement RPA 81 s'applique à toutes les catégories de construction courantes de configuration simple et régulière. Pour les tours de grande hauteur, ponts, barrages et piliers le présent règlement n'est pas directement applicable.

#### Composition du RPA 81.

Le règlement RPA issu de Constatations in Situ procure une meilleure sécurité adaptée particulièrement aux zones de forte sismicité. D'autre part, il présente différentes dispositions constructives de ferrailage.

#### Conditions d'application :

Le RPA présente une méthode statique équivalente applicable à chaque fois que les conditions indiquées dans l'article 3.2.11 sont toutes vérifiées.

#### Remarque:

Les forces sismiques équivalentes données par la méthode statique sont inférieures aux forces réelles qui se produiraient dans la structure élastique sous l'action du séisme extrême. Cette différence apparaît non sécuritaire est considérée implicitement par l'application rigoureuse des dispositions constructives garantissant à la structure :

- une ductilité suffisante.
- La capacité de dissiper l'énergie induite par le mouvement du sol.
- La propriété de Ductilité est l'aptitude d'un élément de la structure ou de la structure dans son ensemble à se déformer au-delà de la limite élastique sans risque de rupture soudaine ou fragile.

## II. Force Sismique minimum (Formule de base du RPA81).

Le bâtiment sera conçu et calculé de manière à résister aux forces sismiques horizontales totales agissant non simultanément dans la direction de chacun des axes principaux de la structure conformément à la formule de base :

$$\underline{V = ABDQ \cdot W.}$$

### I. A : Coefficient d'accélération de zone.

Il dépend du groupe d'usage du bâtiment et de la zone sismique.

Un bâtiment à usage d'habitation fait partie du groupe d'usage "2".

Le lieu d'implantation (Bouira) est classé zone sismique II.

Le tableau (1.p.16) donne dans ce cas courant :

$$\boxed{A = 0,15.}$$

### II. B : facteur de Comportement de la structure.

Il dépend du type et de la nature du contreventement.

Structure voiles porteurs. La sollicitation horizontale est entièrement reprise par ces voiles.

Le tableau (2.p.22) donne dans ce cas :

(rectificatif RPA81 de Septembre 83).

$$\boxed{B = \frac{1}{4}.}$$

### III. D : facteur d'amplification dynamique moyen.

Il dépend de la période du mode fondamental  $T$  et de la nature du sol de fondation. Le RPA considère un amortissement égal à 10% et donne dans la figure 4 :

Sol meuble.

$$\begin{array}{l} \text{Sens transversal : } T_x = 0,13 \text{ s} \longrightarrow D_x = 2. \\ \text{Sens longitudinal : } T_y = 0,30 \text{ s} \longrightarrow D_y = 2. \end{array}$$

### IV. Q : facteur de qualité.

Il est fonction de l'hyperstatilité et de la surabondance du système de contreventement, des symétries en plan, de la régularité en élévation, et de la qualité du contrôle pendant la construction, et chaque qualité non observée constitue une pénalité  $P_Q$ .

$$Q = 1 + \sum_{q=1}^6 P_q;$$

$P_Q$ : pénalité valant 0,11 qui dépend de l'observation ou non du critère de qualité  $q$ .

N.B: Pratiquement on souhaite que  $Q$  reste inférieur à 1,3.

#### - critère 1: Conditions minimales des files porteuses.

Ce critère est observé car il existe un trumeau dans chacune des deux directions dont la longueur dépasse  $L_0$  telle que :

$$L_0 = \frac{h_a}{0,67} = \frac{2,80}{0,67} = 4,18 \text{ m.}$$

Pour le sens transversal : Le refend  $V_{T_3}$  possède un trumeau de largeur :  $10,45m > L_c$ .  
Pour le sens longitudinal : Le refend  $V_{L_4}$  possède une largeur de  $8,52m > L_c$ .

Pour les deux directions :  $P_{q_{y_1}} = 0$ .

#### Critère 2: Surabondance en plan.

Ce critère n'est pas observé car l'existence de plus de quatre files de voiles porteurs dans la direction des forces latérales ne justifie pas le rapport des dimensions des portées de ces files. D'autre part, la symétrie de ces files de Contreventement ne peut être qualifiée de raisonnable.

Pour les deux directions :  $P_{q_{y_2}} = 0,1$ .

#### Critère 3: Symétrie en plan.

Ce critère traduit la qualité de la conception c'est à dire du système de Contreventement. En avant projet nous avons remarqué que le centre de torsion de ce système se déplace toujours vers les refends ou vers les files de plus grands moments d'inertie. Pour réaliser ce critère nous avons créé des ouvertures dans le voile  $V_{T_2}$  et nous avons donné plus de longueur donc, plus de rigidité, aux voiles opposés à  $V_{T_2}$  qui sont  $V_{T_1}$  et  $V_{T_3}$ . On trouve ainsi une excentricité  $e_x = 1,69m = 8,25\% l_x$  et  $e_y = 1,41m = 7,5\% l_y$ .

Ce critère est observé car les rapports ne dépassent pas 15% dans chaque direction

Pour les deux directions :  $P_{q_{y_3}} = 0$

#### Critère 4: Régularité en élévation.

Ce critère est observé, car le système de Contreventement reste invariant pour chaque étage.

Pour les deux directions :  $P_{q_{y_4}} = 0$ .

#### Critère 5: Contrôle de la qualité des matériaux.

Ce critère est pris observé d'après, et si toutes les recommandations du CTC sont respectées: Essais systématiques sur les matériaux utilisés et veiller à la propreté des granulats. Dosage du béton bien calculé.

Pour les deux directions :  $P_{q_{y_5}} = 0$ .

#### Critère 6: Contrôle de la qualité de la construction.

Ce critère est pris observé si il existe un ingénieur assurant la mission d'inspection des travaux d'inspection. Pour un tel bâtiment cette mission peut être nécessaire.

Pour les deux directions :  $P_{q_{y_6}} = 0$ .

## - W. Poids de la structure.

Ce poids comprend toute la charge (masse) de la superstructure pourvue de l'action sismique. Elle ne comprend donc que la partie définie élastique.

$$V = ABDQ \cdot W = (0,15 \times \frac{1}{4} \times 2 \times 1,1) \cdot W = (0,0825) \cdot W.$$

$$W = \sum W_i = 3457,718 t.$$

$$V = (0,0825) \times 3457,718 = 285,26 t.$$

## III. Distribution des forces latérales

La force latérale  $V$  doit être distribuée sur la hauteur de la structure selon les formules suivantes :

$$V = F_t + \sum_{i=1}^n F_k ;$$

La force concentrée  $F_t$  au sommet de la structure doit être déterminé par :

$$F_t = 0,07 T \cdot V \quad \text{avec } T \text{ en sec.}$$

Le terme  $(0,07 T)$  doit dans tous les cas rester inférieur à  $0,25$ . Si  $T \leq 0,7$  sec. alors le terme  $0,07 T$  devient égal à  $0,049$  et devient négligeable.

Donc si  $T \leq 0,7$  s :  $F_t = 0$ . (notre cas).

La partie restante de l'effort horizontal total  $V$  doit être distribuée sur la hauteur de la structure comme suit:

$$F_k = \frac{(V - F_t) W_k h_k}{\sum_{i=1}^n (W_i \cdot h_i)} ; \quad F_k : \text{effort horizontal au niveau } k.$$

Cette force  $F_k$  devra être distribuée aux refends au prorata de leurs inerties.

Dans notre cas de masses concentrées d'écart constant "he" on peut réduire la formule comme suit:

$$F_k = \frac{(V - F_t) \cdot W_k \cdot k}{\sum_{i=1}^n (W_i \cdot i)} \quad \text{ou bien: } F_k = \frac{V \cdot W_k \cdot k}{\sum_{i=1}^n (W_i \cdot i)} ; \quad (F_t = 0)$$

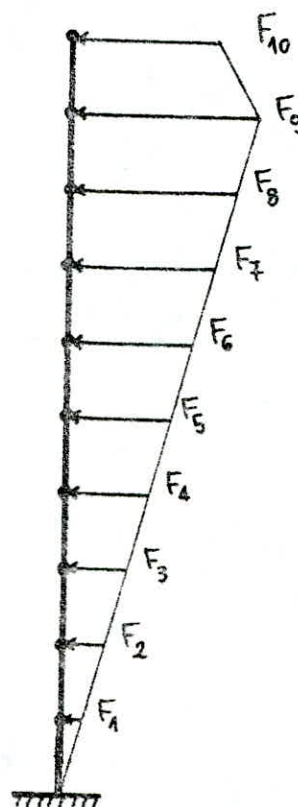
$$\sum_{i=1}^n (W_i \cdot i) = W_1 \cdot 1 + W_2 \cdot 2 + \dots + W_9 \cdot 9 + W_{10} \cdot 10 = 45 \cdot W_c + W_{10} \cdot 10$$

avec  $W_c = W_1 = W_2 = \dots = W_9$ .

$$\sum_{i=1}^n (W_i \cdot i) = 45 \times 10 + 10 \times 10 = 18620,72.$$

$$\begin{cases} F_{10} = 40,815^k & ; (k=10) \\ F_k = 5,432k. & ; (k=1; 2; \dots; 9). \end{cases}$$

Niveau k	$F_k$ (t)	$H_k$ (t)	$M_k$ (tm)
10	40,815	40,815	0
9	48,888	89,703	114,282
8	43,456	113,159	365,45
7	38,024	171,183	738,295
6	32,592	203,775	1217,607
5	27,16	230,935	1788,177
4	21,728	252,563	2434,795
3	16,296	268,959	3142,252
2	10,864	279,823	3895,337
1	5,432	285,26	4678,84
Roc 0	0	285,26	5477,568



### Vérification de l'article 3.3.1.2.2.

La valeur du facteur  $D_a$  obtenu pour la valeur de  $T_a$  calculée par la formule (3.7) analytique ou bien par les méthodes approximatives (Rayleigh, Vianello-Stodola) ne devra pas être inférieure à 80% de celle  $D_e$  obtenue en utilisant les formules empiriques (3.3A).

- i. Par les formules analytiques nous avons obtenu  $D_a = 2$  dans les deux directions.
- ii. La formule empirique donnée par le RPA 81 est :

$$T = \frac{0,09 \cdot H}{\sqrt{L}}. \quad (3.3A).$$

Sens transversal:  $T_x = \frac{0,09 \times 28}{\sqrt{18,795}} = 0,58 \text{ s} \longrightarrow D_e = 1,85.$

Sens longitudinal:  $T_y = \frac{0,09 \times 28}{\sqrt{20,47}} = 0,57 \text{ s} \longrightarrow D_e = 1,85.$

Vérifié car

$$2 = D_a > 80\% D_e.$$

Centre de masse :

Pour déterminer le Centre des masses nous avons pris en compte les masses

- des planchers.
- des façades.
- des voiles.

Pour chaque type nous avons déterminé Le centre de masse que l'on a ensuite composé avec les autres pour obtenir Le centre de masse de l'ensemble du niveau.

a/ Calcul du centre de masse des planchers:

on a.

$$x_{Cp} = \frac{\sum M_i x_i}{\sum M_i} = 11,651 \text{ m}$$

$$y_{Cp} = \frac{\sum M_i y_i}{\sum M_i} = 9,363 \text{ m}$$

Section	$x_i$ (m)	$y_i$ (m)	$S_i$ (m²)	$M_i$ (t)	$M_i \cdot x_i$ (t.m)	$M_i \cdot y_i$ (t.m)
1	3,35	16,76	14,94	9,009	30,45	141,982
2	4,83	16,62	16,71	10,076	49,298	167,463
3	11,32	15,07	23,19	13,984	158,299	210,74
4	14,78	13,18	24,73	14,912	220,25	196,54
5	5,26	12,31	31,29	18,868	99,246	232,265
6	11,32	4,29	2,3145	1,2142	13,745	5,21
		6,01	V=2,1924	1,9056	21,571	11,453
7	18,52	12,48	19,17	11,879	220,0	148,25
8	18,52	8,67	6,17	37,205	689,037	322,567
9	14,78	8,67	6,17	37,205	549,518	322,567
10	17,52	5,82	12,15	7,326	135,68	12,637
11	14,78	5,12	17,18	10,359	153,002	53,038
12	4,83	9,86	28,51	17,191	83,032	152,312
13	2,96	5,41	21,00	12,663	37,482	68,507
14	4,83	3,59	25,81	15,563	122,481	55,871
15	4,12	1,72	12,35	7,447	30,692	412,603
16	11,32	7,92	5,77	3,479	39,382	21,55
17	12,2	9,91	2,68	1,58	19,276	15,705
18	14,78	2,72	2,19	2,527	28,606	7,126

b/ Calcul du centre de masse des voiles

voiles	x (m)	y (m)	M <sub>i</sub> (t)	M <sub>i</sub> .x <sub>i</sub>	M <sub>i</sub> .y <sub>i</sub>
V <sub>L1</sub>	3,485	17,215	4,378	25,7123	127,0123
V <sub>L2</sub>	5,3725	14,04	8,185	43,9739	114,9174
V <sub>L3</sub>	11,4075	10,94	4,655	53,1019	50,9257
V <sub>L4</sub>	4,935	10,29	9,576	45,2576	98,537
V <sub>L5</sub>	16,72	9,485	6,381	106,6903	60,5238
V <sub>L6</sub>	16,72	7,565	6,615	110,6028	50,0425
V <sub>L7(1)</sub>	2,36	7,14	5,061	11,944	36,1355
V <sub>L7(2)</sub>	7,22	7,14	2,94	21,2268	20,9916
V <sub>L8</sub>	3,0475	3,39	5,691	17,3433	19,2925
V <sub>T1</sub>	2,215	1,7325	4,851	10,8883	8,4026
V <sub>T2</sub>	5,995	5,2375	12,582	75,4291	65,8982
V <sub>T3</sub>	5,995	15,925	6,587	39,4891	104,8919
V <sub>T4(1)</sub>	9,745	6,507	18,221	177,5636	118,564
V <sub>T4(2)</sub>	9,745	16,78	4,322	42,1179	72,5232
V <sub>T5</sub>	12,895	10,3825	16,879	217,6547	175,2462
V <sub>T6</sub>	16,645	9,5775	13,091	214,8997	125,379
V <sub>T7</sub>	20,395	9,6525	9,993	203,8072	96,4674
V <sub>T8</sub>	11,32	10,645	2,415	27,8209	25,7077
	$\Sigma$	145,432	1439,4941	1372,9286	

Centre de masse des voiles

$$x_{G_M} = \frac{\sum M_i \cdot x_i}{\sum M_i} = 9,890 \text{ m} \quad y_{G_M} = \frac{\sum M_i \cdot y_i}{\sum M_i} = 9,440 \text{ m.}$$

69.

c/ Calcul du centre de masse des façades

	$x_i$ (m)	$y_i$ (m)	$M_i$ (t)	$M_i \cdot x_i$ (t.m)	$M_i \cdot y_i$ (t.m)
$F_1$	2,25	13,89	3,969	8,9303	55,1251
$F_2$	1,4	6,99	3,969	5,5566	27,7433
$F_3$	5,995	-0,075	4,1982	26,9667	-0,3374
$F_4$	11,32	3,425	1,764	19,9685	6,077
$F_5$	16,645	4,23	4,3159	71,8385	18,2563
$F_6$	18,52	13,67	2,1168	39,231	28,
$F'_6$	14,72	15,07	2,1168	31,2651	31,9002
$F'_4$	11,32	17,265	1,764	19,9685	30,4555
$F_7$	7,81	18,945	2,205	17,3534	41,7737

$$x_{G_F} = \frac{\sum M_i \cdot x_i}{\sum M_i}$$

$$\Rightarrow x_{G_F} = 9,013 \text{ m}$$

$$y_{G_F} = \frac{\sum M_i \cdot y_i}{\sum M_i}$$

$$\Rightarrow y_{G_F} = 8,97 \text{ m}$$

d// Calcul du centre de masse de l'étage courant.

	$x_i$ (m)	$y_i$ (m)	$M_i$ (t)	$M_i \cdot x_i$ (t.m)	$M_i \cdot y_i$ (t.m)
plancher	11,651	9,363	234,313	2730,913	2194,623
voiles	9,89	9,44	145,432	1435,494	1372,923
façade	9,013	8,97	26,1487	241,0786	239,9307

Les coordonnées du centre de masse sont :

$$x_A = \frac{\sum M_i \cdot x_i}{\sum M_i} = 10,8525 \text{ m} \quad y_A = \frac{\sum M_i \cdot y_i}{\sum M_i} = 9,3666 \text{ m.}$$

## Centre de torsion.

Définition: C'est le point de passage de la résultante des réactions développées par les refends sous des forces pismiques latérales. Il est aussi caractérisé par les propriétés suivantes :

- Une force dont la ligne d'action passe par le Centre de torsion (dit aussi centre des rigidités ou Centre élastique ou Centre de gravité des moments d'inerties) engendre uniquement une translation des refends parallèles à la direction de la force.
- Un moment dont l'axe vertical passe par le centre de torsion engendre une rotation des refends.

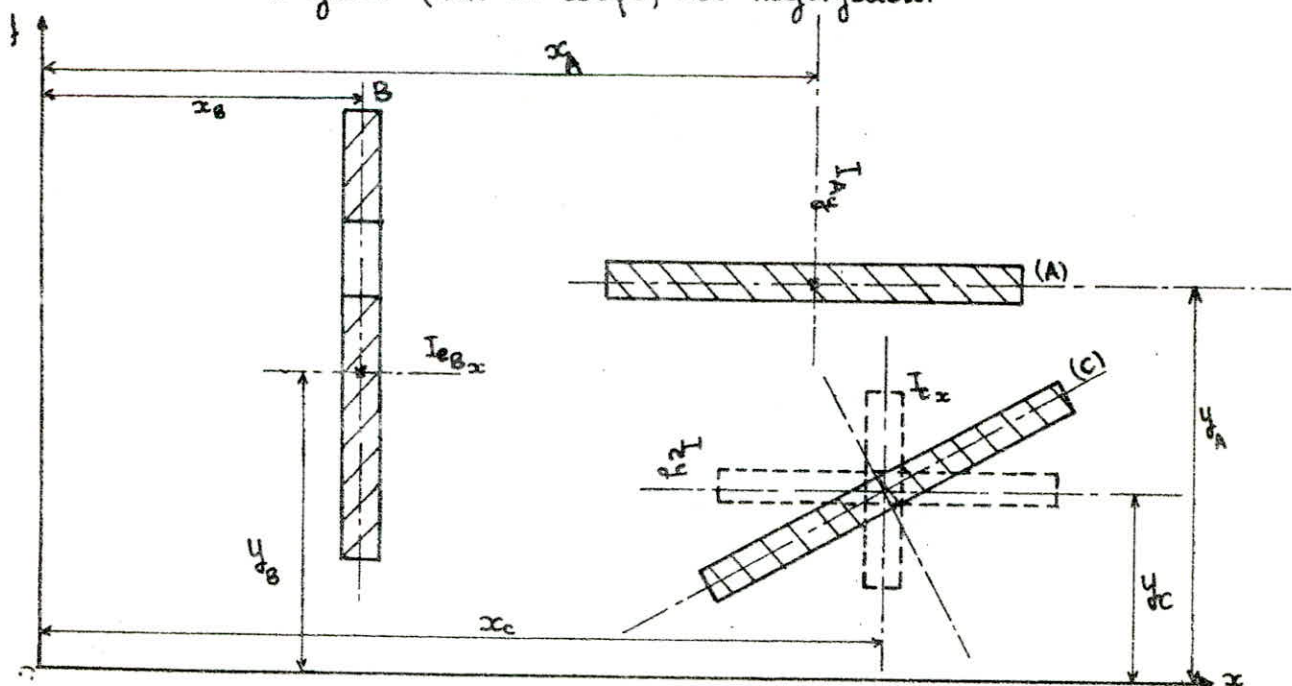
## Coordonnées du Centre de torsion :

Si le plan du niveau est lié au repère  $(0, x, y)$  alors :

$$x_t = \frac{\sum (I_{ex} \cdot x)}{\sum (I_{ex})} \quad y_t = \frac{\sum (I_{ey} \cdot y)}{\sum (I_{ey})}$$

## Simplification admise:

L'inertie propre d'un refend par rapport à l'axe parallèle à sa longueur (vue en coupe) est négligeable.



Exemple:

$$x_t = \frac{I_{exB} \cdot x_B + I_{exC} \cdot x_C}{I_{exB} + I_{exC}} ; \quad y_t = \frac{I_{eyA} \cdot y_A + I_{eyC} \cdot y_C}{I_{eyA} + I_{eyC}}$$

VOILES TRANS.	$I_{ex}$ ( $m^4$ )	$x$ (m)	$I_{ex} \cdot x$ ( $m^5$ )	$X$ (m)	$\Sigma I_{ex} x^2$ ( $m^6$ )		VOILES LONG.	$I_{ey}$ ( $m^4$ )	$y$ (m)	$I_{ey} \cdot y$ ( $m^5$ )	$Y$ (m)	$I_{ey} y^2$ ( $m^6$ )
$V_{T_1}$	0,693	2,245	1,56	-10,30	73,52		$V_{L_1}$	2,44	17,215	42,01	6,44	101,20
$V_{T_2}$	15,863	5,995	98,24	-6,55	667,26		$V_{L_2}$	5,263	14,04	73,89	3,26	86,93
$V_{T_3}$	2,46	5,935	14,78	-6,55	105,54		$V_{L_3}$	0,613	10,94	6,71	0,16	0,02
$V_{T_{4(1)}}$	23,762	9,745	280,89	-2,8	826,49		$V_{L_4}$	7,73	10,29	79,54	-0,49	1,96
$V_{T_{4(2)}}$	0,865	9,745	8,43	-2,8	6,78		$V_{L_5}$	2,91	9,485	27,6	-1,29	4,84
$V_{T_5}$	53,36	12,895	678,06	0,35	5,46		$V_{L_6}$	2,91	7,565	22,01	-3,61	29,98
$V_{T_6}$	23,36	16,645	388,83	4,1	392,68		$V_{L_7(1)}$	1,294	7,14	9,24	-3,64	12,15
$V_{T_7}$	18,01	20,395	844,94	7,85	740,09		$V_{L_7(2)}$	0,239	7,14	1,71	-3,64	3,17
$V_{T_8}$	0,512	11,32	5,80	-1,23	0,78		$V_{L_8}$	1,43	3,39	4,85	-7,39	78,10
( $\Sigma$ )	137,576		1726,32		2218,68			24,929		267,86		292,25

$$J = \sum I_{ex} \cdot x^2 + \sum I_{ey} \cdot y^2 = 2510,93 \text{ m}^6$$

$$x_T = \frac{\sum I_{ex} \cdot x}{\sum I_{ex}} = 12,546 \text{ m}$$

$$x_a = 10,8525 \text{ m}$$

$$\left\{ \begin{array}{l} ex = 1,69 \text{ m} = 8,25\% L_x \\ ey = 1,41 \text{ m} = 7,5\% Ly \end{array} \right.$$

$$y_T = \frac{\sum I_{ey} \cdot y}{\sum I_{ey}} = 10,776 \text{ m}$$

$$y_a = 9,3667 \text{ m}$$

$$\left\{ \begin{array}{l} ex = 1,69 \text{ m} = 8,25\% L_x \\ ey = 1,41 \text{ m} = 7,5\% Ly \end{array} \right.$$

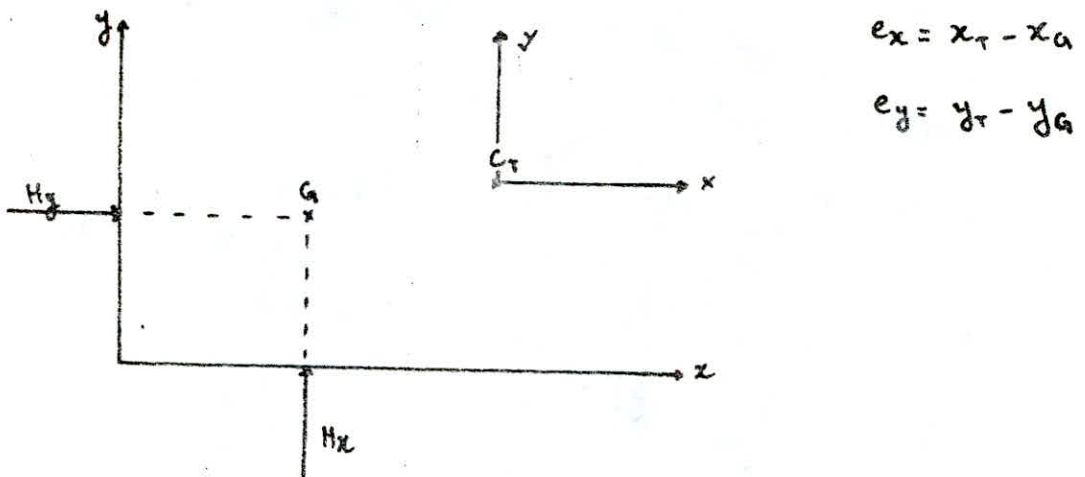
## DISTRIBUTION DES FORCES

- On considère une force horizontale de  $100t$  dans chacune des deux directions du bâtiment, et le résultat trouve pour un refend sera directement le pourcentage de la force extérieure réelle qui lui reviendra.

- d'où on aura deux cas :

1% cas :  $H_x = 100t$  et  $H_y = 0$

2% cas :  $H_x = 0$  et  $H_y = 100t$



### Forces de Translation :

$$H'_x = H_x \cdot \frac{I_{ex}}{\Sigma I_{ex}}$$

$$H'_y = H_y \cdot \frac{I_{ey}}{\Sigma I_{ey}}$$

### Forces de rotation :

$$\therefore H''_x = H_x \cdot e_x \cdot x \cdot \frac{I_{ex}}{J}$$

$$\therefore H''_y = H_y \cdot e_y \cdot y \cdot \frac{I_{ey}}{J}$$

$$H''_x = H_x \cdot e_y \cdot x \cdot \frac{I_{ex}}{J} \text{ dû à } H_y$$

$$H''_y = H_y \cdot e_x \cdot y \cdot \frac{I_{ey}}{J} \text{ dû à } H_x$$

### Forces totales

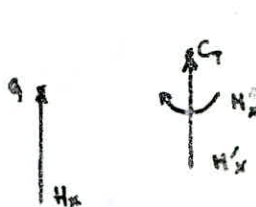
$$\therefore H_x = H'_x + H''_x \quad \therefore H_x = H''_x \text{ dû à } H_y$$

$$\therefore H_y = H'_y + H''_y \quad \therefore H_y = H''_y \text{ dû à } H_x$$

$H_y$  pour voiles longitudinaux

$H_x$  pour voiles transversaux

1<sup>er</sup> cas :  $H_x = 100t$  et  $H_y = 0$  :

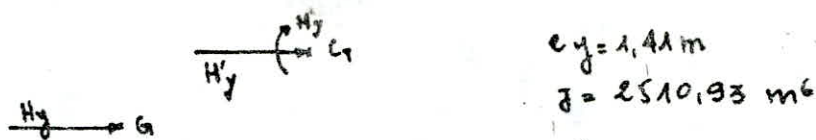


$$C_x = 1,69 \text{ m}$$

$$J = 2510,93 \text{ m}^6$$

voiles	$I_e$ ( $\text{m}^4$ )	$x$ (m)	$y$ (m)	$x$ (m)	$y$ (m)	Forces de Translation		Forces de rotation		Forces Totales	
						$H'_x\%$	$H'_y\%$	$H''_x\%$	$H''_y\%$	$H_x\%$	$H_y\%$
$V_{T_1}$	0,693	2,245	0	-10,30	0	0,5	0	0,48	0	0,98	0
$V_{T_2}$	18,553	5,995	+	-6,55	+	11,3	+	6,86	+	18,16	+
$V_{T_3}$	2,46	5,995	+	-6,55	"	1,79	+	1,08	0	2,81	+
$V_{T_4}$ (1)	28,762	9,748	+	-2,8	0	20,9	+	5,42	0	26,32	+
$V_{T_4}$ (2)	0,865	9,748	+	-2,8	"	0,63	+	0,16	+	0,79	+
$V_{T_5}$	53,36	12,895	"	0,35	+	38,79	0	-1,26	"	39,79	+
$V_{T_6}$	23,36	16,645	"	4,1	"	16,98	+	-6,45	0	16,98	0
$V_{T_7}$	12,01	20,395	"	7,85	"	8,3	+	-6,35	"	8,73	+
$V_{T_8}$	0,512	11,32	0	-1,23	"	0,38	0	0,06	0	0,44	0

2% cas :  $H_x = 0$  et  $H_y = 100t$



VOILES	$I_c$ (m <sup>4</sup> )	X (m)	Y (m)	X (m)	Y (m)	Forces de traîne		Forces de rotat.		Forces totales	
						$H_x \%$	$H_y \%$	$H_x \%$	$H_y \%$	$H_x \%$	$H_y \%$
V <sub>L1</sub>	2,44	0	17,215	0	6,44	0	9,83	0	0,88	0	10,71
V <sub>L2</sub>	5,263	"	18,04	"	3,86	+	21,2	"	0,96	"	22,16
V <sub>L3</sub>	0,613	"	10,94	"	0,16	0	2,47	+	0,006	"	2,476
V <sub>L4</sub>	4,73	0	10,29	"	-0,49	0	31,13	+	-0,21	"	31,13
V <sub>L5</sub>	2,91	"	9,485	"	-1,29	+	11,72	"	-0,21	"	11,72
V <sub>L6</sub>	2,91	0	7,565	"	-3,21	+	11,72	+	-0,52	"	11,72
V <sub>L7(1)</sub>	1,294	+	7,12	+	-3,64	0	5,24	"	-0,26	+	5,24
V <sub>L7(2)</sub>	0,294	"	7,12	+	-3,64	+	0,96	+	-0,056	0	0,96
V <sub>L8</sub>	1,43	0	3,39	"	-7,39	0	5,76	+	-0,89	0	5,76

/  $H''_x$  due à  $H_x = 100t$  et  $H_{x=0}$

Voiles	$I_e$ (m <sup>4</sup> )	$x$ (m)	$y_0$ (m)	$x$ (m)	$y$ (m)	forces de trans.		forces de rotat.		forces totales	
						$H'_x\%$	$H'_y\%$	$H''_x\%$	$H''_y\%$	$H_x\%$	$H_y\%$
$V_{T_1}$	0,693	2,225	0	-10,30	0	0	0	0,4	0	0,4	0
$V_{T_2}$	15,553	5,995	"	-6,55	"	"	"	5,72	"	5,72	0
$V_{T_3}$	2,46	5,995	"	-6,55	"	"	"	0,9	"	0,9	"
$V_{T_4(1)}$	28,762	9,745	"	-2,8	"	"	"	4,52	"	4,52	"
$V_{T_4(2)}$	0,865	9,745	"	-2,8	"	"	"	0,14	"	0,14	"
$V_{T_5}$	53,36	12,795	"	0,35	"	"	"	-1,05	"	-1,05	"
$V_{T_6}$	23,36	16,645	"	4,1	"	"	"	-3,08	"	-3,08	"
$V_{T_7}$	12,01	20,395	"	7,85	"	"	"	-5,29	"	-5,29	"
$V_{T_8}$	0,512	11,32	"	-4,23	"	"	"	0,04	"	0,04	"

/  $H''_y$  due à  $H_x = 100t$  et  $H_{y=0}$

Voiles	$I_e$ (m <sup>4</sup> )	$x$ (m)	$y_0$ (m)	$x$ (m)	$y$ (m)	forces de trans.		forces de rotat.		forces totales	
						$H'_x\%$	$H'_y\%$	$H''_x\%$	$H''_y\%$	$H_x\%$	$H_y\%$
$V_{L_1}$	2,44	0	12,215	0	6,44	0	0	0	1,06	0	1,06
$V_{L_2}$	5,263	"	14,104	"	3,26	0	0	0	1,15	"	1,15
$V_{L_3}$	0,613	"	10,94	"	0,16	0	0	"	0,0066	"	0,0066
$V_{L_4}$	7,73	"	10,29	"	-0,49	"	"	"	-0,25	"	-0,25
$V_{L_5}$	2,91	"	9,485	"	-1,29	"	"	"	-0,25	"	-0,25
$V_{L_6}$	2,91	"	7,565	"	-3,81	"	"	"	-0,63	"	-0,63
$V_{L_7(1)}$	1,234	"	7,118	"	-3,64	"	"	"	-0,32	"	-0,32
$V_{L_7(2)}$	0,239	"	7,14	"	-3,64	"	"	"	-0,06	"	-0,06
$V_{L_8}$	1,43	"	3,39	"	-2,39	"	"	"	-0,71	"	-0,71

	values	L (m)	w	a	z	m <sub>z</sub>	2 C <sub>u</sub>	$\sum 3 \cdot 6 u^2$	I (m <sup>4</sup> )	I <sub>x</sub> (m <sup>4</sup> )	x (m)	y (m)	X (m)	Y (m)	H <sub>x</sub> %	H <sub>y</sub> %	H <sub>x</sub> %	H <sub>y</sub> %	H <sub>x</sub> %	H <sub>y</sub> %	
0	V <sub>T<sub>1</sub></sub>	3,465	-	-	-	-	-	-	0,693	2,245		-10,30		0,5	0,48		0,98		0,4		
2	V <sub>T<sub>2</sub></sub>	10,475	0,4141	11,59	0,5817	$m_1 = 2,3735$ $m_2 = 2,1338$	$2C_u = 4,2325$ $2C_u = 2,33$	2,9254	17,8775	15,553	5,995		-6,55		11,3	6,86		18,16		5,42	
1	V <sub>T<sub>3</sub></sub>	5,38	0,9512	26,03	0,6292	0,6534	3,14	0,4449	2,5154	2,46	5,995		-655		1,79	1,08		2,87		0,9	
2	V <sub>T<sub>4</sub></sub>	13,015	0,6633	18,59	0,6132	$m_1 = 3,1348$ $m_2 = 3,1328$	$2C_u = 4,175$ $2C_u = 4,1625$	2,615	32,1986	28,762	9,145		-2,8		20,9	5,42		26,32		4,52	
0	V <sub>T<sub>5</sub></sub>	3,73	-	-	-	-	-	-	0,865	9,745		-2,8		0,63	0,16		0,79		0,14		
1	V <sub>T<sub>6</sub></sub>	16,925	0,3567	10	0,5687	4,8642	8,9125	15,3689	58,7209	53,36	12,895		0,35		38,79	-1,26		38,79		-1,05	
1	V <sub>T<sub>7</sub></sub>	13,755	0,20	5,6	0,499	3,4019	7,7825	5,9333	32,4084	23,36	16,645		4,1		16,98	-6,45		16,98		-3,08	
1	V <sub>T<sub>8</sub></sub>	10,745	0,2403	6,75	0,525	2,014	6,3075	2,7682	15,47	12,01	20,395		7,35		9,73	-6,35		8,73		-6,29	
0	V <sub>T<sub>9</sub></sub>	2,3	-	-	-	-	-	-	0,512	11,32		-1,23		0,38	0,06		0,44		0,04		

0	V <sub>L<sub>1</sub></sub>	5,27	-	-	-	-	-	-	2,44	17,215	5,44		1,06		3,83	0,88		10,71		5,00	
0	V <sub>L<sub>2</sub></sub>	7,495	-	-	-	-	-	-	5,263	14,04	3,26		1,45		21,2	0,96		22,16		5,77	
0	V <sub>L<sub>3</sub></sub>	3,325	-	-	-	-	-	-	0,613	10,94	0,16		0,0066		2,47	0,006		2,476		5,11	
0	V <sub>L<sub>4</sub></sub>	8,52	-	-	-	-	-	-	7,73	10,29	-0,49		-0,25		31,43	-0,21		31,43		5,02	
1	V <sub>L<sub>5</sub></sub>	7,65	0,2972	9,32	0,5499	1,0024	4,95	0,492	5,4539	2,91	9,475	-1,29		-0,25		11,72	-0,21		11,72		5,02
1	V <sub>L<sub>6</sub></sub>	7,65	0,2972	9,32	0,5499	1,0024	4,95	0,492	5,4539	2,91	7,565	-3,21		-0,63		11,72	-0,52		11,72		5,02
0	V <sub>L<sub>7</sub></sub>	4,695	-	-	-	-	-	-	1,294	7,14	-3,64		-0,38		5,21	-0,26		5,21		5,21	
0	V <sub>L<sub>8</sub></sub>	2,675	-	-	-	-	-	-	0,239	7,14	-3,64		-0,06		0,96	-0,056		0,96		0,96	
0	V <sub>L<sub>9</sub></sub>	4,845	-	-	-	-	-	-	1,43	3,39	-7,39		-0,71		5,76	-0,59		5,76		5,76	

CHAP:6

ETUDE      AU  
VENT

## Etude au Vent

### 1. Introduction:

Parfois, pour les bâtiments de grande hauteur, l'action du vent peut s'avérer plus défavorable que l'action sismique.

Les forces dues au vent dépendent principalement du pôle, de l'existence ou non d'obstacles (effet de masque), de l'élancement du bâtiment, de sa forme de toiture, de la rugosité des parois, de sa perméabilité (aire des ouvertures rapportée à l'aire totale) et de sa période propre.

L'action dynamique du vent induit 3 types d'efforts.

- Une action parallèle à l'action du vent :  $T = \text{Trainée}$ .
- Une action perpendiculaire à l'action du vent :  $L = \text{Dérive}$ .
- Une action verticale de poulement :  $H = \text{Portance}$ .

Notre bâtiment sera considéré comme un corps prismatique à base rectangulaire de dimensions :

$$\text{Longueur} : a = 20,47 \text{ m.}$$

$$\text{Largeur} : b = 18,795 \text{ m.}$$

$$\text{Hauteur} : h = 28,0 \text{ m.}$$

### 2. Détermination de l'effort de Trainée $T$ .

Il s'agit d'un ouvrage prismatique à base supposée, assez légitimement, rectangulaire.

$$\text{Grand Côté} : a = 20,47 \text{ m.}$$

$$\text{Petit Côté} : b = 18,795 \text{ m.}$$

$$\text{Hauteur totale offerte au vent} : h = 28 \text{ m.}$$

Les dimensions du bâtiment doivent vérifier les conditions suivantes :

- $\frac{h}{a} > 0,25$  :  $\frac{h}{a} = \frac{28}{20,47} = 1,37 > 0,25$ . (vérifié)
- $\frac{h}{a} \leq 2,5$  et  $(\frac{b}{a} \leq 0,4 \text{ et } \frac{h}{b} > 2,5)$  :
  - )  $\frac{h}{a} = \frac{28}{20,47} = 1,37 < 2,5$
  - ..)  $\frac{b}{a} = \frac{18,795}{20,47} = 0,92$  mais La condition  $\frac{h}{b} > 2,5$  n'est pas réalisée car:  $\frac{h}{b} = \frac{28}{18,795} = 1,5 < 2,5$ . (vérifié)

Ces conditions étant réalisées les formules simplifiées sont applicables.

effort de traînée :  $T = C_t \cdot B \cdot S \cdot q \cdot d$  ;

### 2.1: Coefficient de traînée $C_t$ .

$C_t$  est liée aux effets aérodynamiques provoqués par la forme de la section transversale ou longitudinale, il dépend de celle-ci et de l'élancement de l'ouvrage.

Dans le cas présent d'un ouvrage prismatique à base rectangulaire avec toiture terrasse  $C_t$  est fixé comme :  $C_t = 1,3 \gamma_0$  (NV65-III-2,161-1)

$\gamma_0$  est un coefficient dépendant des rapports de dimensions, sa valeur est donnée par le diagramme R.III.5 ds NV65.

— Pour un vent perpendiculaire à la face a.

$$\left. \begin{array}{l} \frac{b}{a} = \frac{18,795}{20,47} = 0,918 \\ \lambda_a = \frac{h}{a} = \frac{28}{20,47} = 1,37 \end{array} \right\} \longrightarrow \gamma_0 = 1 \quad \text{d'où } C_t = 1,3 \times 1 = 1,3.$$

— Pour un vent perpendiculaire à la face b.

$$\left. \begin{array}{l} \frac{b}{a} = \frac{18,795}{20,47} = 0,918 \\ \lambda_b = \frac{h}{b} = \frac{28}{18,795} = 1,5 \end{array} \right\} \longrightarrow \gamma_0 = 1 \quad \text{d'où } C_t = 1,3 \times 1 = 1,3.$$

### 2.2: Coefficient de majoration dynamique :

Ce coefficient est lié aux effets de résonnance provoqué par les oscillations de l'ouvrage. Il dépend de la période propre de vibration de la construction et du niveau considéré. Il est donné par la formule :

$$\beta = \theta (1 + \xi^2) ; \quad \beta \geq 1 \quad (\text{NV65-III-1,511}).$$

Pour un bâtiment d'habitation, la période propre de vibration peut être exprimée dans notre cas de contreventement par voile en béton armé, par :

$$T_{x,y} = 0,08 \frac{h}{\sqrt{l_{x,y}}} \cdot \sqrt{\frac{h}{l_{x,y} + h}}$$

N.B.: Il faut noter que pour l'étude au vent on a toujours intérêt à considérer des formules forfaitaires donnant  $T$  par excès et ce contrairement à l'étude aérodynamique pour laquelle on préfère, de manière sécuritaire, avoir  $T$  exacte ou bien légèrement par défaut.

a - Vent longitudinal parallèle à  $l_x$ :

$$T_x = 0,08 \frac{28}{\sqrt{20,47}} \cdot \sqrt{\frac{28}{20,47 + 28}} = 0,38 \text{ p.}$$

b. Vent transversal parallèle à  $l_y$ :

$$T_y = 0,08 \cdot \frac{28}{\sqrt{18,795}} \cdot \sqrt{\frac{28}{18,795+28}} = 0,40 p.$$

— Le coefficient de réponse  $\xi$  est donné en fonction de la période (R.III.3 - NVG5).

Bâtiment à densité normale de parois en béton armé

$$\left. \begin{array}{l} \xi_x = 0,25 \\ \xi_y = 0,25 \end{array} \right\} \longrightarrow$$

— Le Coefficient de pulsation  $\zeta$  est fonction de la hauteur  $H$  du niveau Considéré; il est donné par l'échelle fonctionnelle de la figure R.III.4 du NVG5.

Pour les ouvrages dont la hauteur n'excède pas 10m ( $0 \leq H \leq 10m$ ) on a:  $\zeta = c^{\frac{H}{10}} = 0,36$ .  
On s'intéressera aux niveaux : 0 ; 4 ; 6 ; 8 et 10 car les variations des facteurs sont faibles si on voulait étudier chaque niveau.

Niveau	0	4	6	8	10
$H$ (m)	0	11,2	16,8	22,4	28
$\zeta$	0,36	0,358	0,348	0,342	0,332

— Le Coefficient global  $\Theta$  dépend du type de Construction. Pour un bâtiment d'habitation il dépend de la Cote  $H_s$  du sommet (NVG5- III 1.511).

$$\Theta = 0,7 + 0,01 \cdot (H_s - 30) = \begin{cases} 0,7 \text{ pour } H < 30m. \\ 1 \text{ pour } H > 60m. \end{cases}$$

Dans notre cas  $H_s = h = 28m$ : d'où,  $\Theta = 0,7$

### 2.3: Coefficient de dimension $\delta$ .

Ce coefficient tient compte de l'effet de dimension de l'ouvrage.  $\delta$  est fonction du niveau considéré par le diagramme de la figure R.III.2 des règles NVG5.

La plus grande dimension de toutes les surfaces au vent est:  
 $H = 28m$  d'où  $\delta = 0,725$ .

### 2.4: Pression du vent $q$ :

La pression normale du vent dépend de la région où est implanté l'ouvrage du pôle et de la hauteur au dessus du sol au niveau Considéré:  $q_p = K_s \cdot K_m \cdot q_{V_H}$

— effet de pôle ( $K_s$ ).

En zone normale les règles donnent  $K_s = 1,00$ .

— effet de masque ( $K_m$ ).

La pression dynamique  $q$  agissant au niveau  $H$  au dessus du sol peut être lue sur le tableau de la figure C.III.4 des règles NV 65.

$$\left. \begin{array}{l} \text{Region II} \\ H=28\text{m} \end{array} \right\} q_{v_H} = 91 \text{ kg/m}^2 : \text{pression normale.}$$

$$\text{Donc } q = K_s \cdot K_m \cdot q_{v_H} = 1 \times 1 \times 91 = 91 \text{ kg/cm}^2.$$

N.B: La valeur du produit ( $\delta q$ ) doit demeurer comprise entre 30 et 170 ;

$$30 < (\delta q) = 0,725 \times 91 = 66 \text{ kgf/cm}^2 < 170 : \text{vérifié.}$$

## 2.5: Largeur du maître - Couple $d$ .

$d$  est la dimension en plan du bâtiment suivant la direction du vent.

- Vent transversal :  $d = a = 20,47\text{m.}$
- Vent longitudinal :  $d = b = 18,795\text{m.}$

Tous les coefficients étant déterminés on peut calculer l'effort de traînée  $T$ :

$$T = C_t \cdot \beta \cdot \delta \cdot q \cdot d \quad \text{à chaque niveau } H.$$

exemple de calcul : Niveau  $H = h = 28\text{m.}$

### - Vent transversal:

$$C_t = 1,3$$

$$\xi = 0,25 ; \zeta = 0,36 ; \theta = 0,7 ; \dots \quad \beta = \theta(1 + \xi \zeta) = 0,763 < 1 \text{ d'où } \beta = 1.$$

$$\delta = 0,725.$$

$$q = 91 \text{ kg/m}^2.$$

$$d = a = 20,47\text{m.}$$

$$T = 1,3 \times 1 \times 0,725 \times 91 \times 20,47 = 1755,66 \text{ kgf/m.}$$

### - Vent longitudinal:

$$C_t = 1,3$$

$$\xi = 0,25 ; \zeta = 0,36 ; \theta = 0,7 ; \dots \quad \beta = \theta(1 + \xi \zeta) = 0,763 < 1, \text{ d'où } \beta = 1.$$

$$\delta = 0,725$$

$$q = 91 \text{ kg/m}^2$$

$$d = b = 18,795 \text{ m}$$

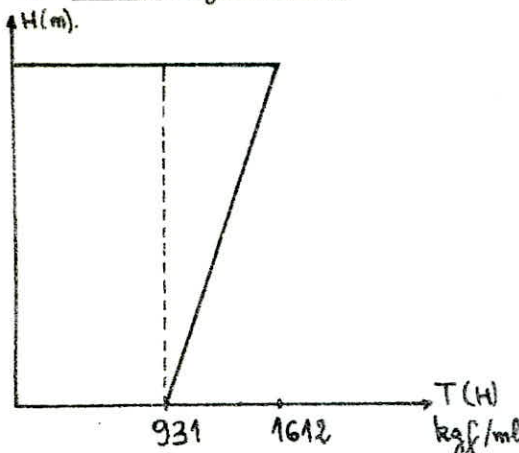
$$T = 1,3 \times 1 \times 0,725 \times 91 \times 18,795 = 1612,00 \text{ kgf/m.}$$

H(m)	Z	$1 + \frac{g}{f} Z = \Delta$	$\beta = 0, \Delta; \geq 1$	Vent transversal		$T = C_t \cdot B \cdot S \cdot q_f \cdot d$	$-Vérification-$ $30 < f_q < 170$	Vent longitudinal	
				d (m)	$q_{v_H} (\text{kg/m}^2)$			d (m)	$T = C_t \cdot B \cdot S \cdot q_f \cdot d$
0	0,36	1,09	1	52,5	20,47	1014 kgf/m	38,1	18,795	931 kgf/m
5	0,36	1,09	1	62,0	"	1195	44,9	"	1097
10	0,36	1,09	1	70,0	"	1349	50,7	"	1239
15	0,358	1,089	1	77,5	"	1495	56,2	"	1373
20	0,345	1,086	1	83,0	"	1602	60,2	"	1471
25	0,337	1,084	1	88,5	"	1708	64,2	"	1569
28	0,332	1,083		91,0	"	1756	66,0	"	1612

Constantes bivalentes pour les deux cas :  $C_t = 1,3$ .  
 $\delta = 0,25$ .  
 $\delta = 0,725$ .  
 $K_s = 1$ .  
 $K_m = 1$ .

## Réduction des efforts de trainée

### a. Vent longitudinal :



— effort tranchant à la base:

$$H_0 = \frac{1612 + 931}{2} \times 28 = 35,6 \cdot 10^3 \text{ kgf}$$

— moment de renversement:

$$M_{01} = (931 \times 28) \frac{28}{2} = 364,952 \cdot 10^3 \text{ kgf.m} ;$$

$$M_{02} = \left( \frac{1612 - 931}{2} \times 28 \right) \frac{2}{3} \times 28 = 177,968 \cdot 10^3 \text{ kgf.m} ;$$

$$M_0 = M_{01} + M_{02} = 542,92 \text{ t.m}$$

— Cas du vent extrême:

la pression de base  $q_n(H=10\text{m}) = 70 \text{ daN/m}^2$  sera majorée du coefficient "7/4".

D'où pour le vent extrême :  $q_e(H=10\text{m}) = \frac{7}{4} \times 70 = 122,5 \text{ daN/m}^2$

— Coefficient de majoration dynamique:

vent normal :  $\beta = 1$ .

vent extrême :  $(0,5 + \frac{\theta}{2}) \cdot \beta = (0,5 + \frac{0,7}{2}) \cdot \beta = 0,85 < 1$  on prend 1 pour majoration dynamique.

Les réductions des efforts dans le cas de vent extrême s'obtiennent par majoration directe de (7/4) des efforts "normaux".

— vent normal

$$H_0 = 35,6 \text{ t.}$$

$$M_0 = 542,92 \text{ t.m.}$$

— Vent extrême

$$H_{0e} = \frac{7}{4} \cdot 35,6 = 62,3 \text{ t.}$$

$$M_{0e} = \frac{7}{4} \cdot 542,92 = 950,1 \text{ t.m.}$$

b. Vent transversal :

De la même façon :

— vent normal

$$H_0 = 49,2 \text{ t.}$$

$$M_0 = 785,3 \text{ t.m.}$$

— Vent extrême

$$H_{0e} = 86,1 \text{ t.}$$

$$M_{0e} = 1374,3 \text{ t.m.}$$

c. Détermination de l'effort de dérive L : NV 65-8.3.

L'effort de dérive est une action perpendiculaire à l'action du vent, de type vibratoire et ayant lieu pour des vitesses faibles. On a admis arbitrairement qu'à partir d'une vitesse de 25 m/s et plus la mise en résonance diminue et devient quasiment impossible avec l'augmentation de la vitesse du vent. Cette action a été matérialisée par la théorie de Karman qui donne la période des tourbillons comme :

$V$ : vitesse du vent.

$d$ : largeur du mât/couple

$S$ : nombre de Strouhal

$$T_k = \frac{d}{S \cdot V}$$

(pour les tubes circulaires).

Si on étend cette formule à notre cas de corps prismatique alors il y a aura résonnance lorsque la période du mode fondamental de l'ouvrage est confondue avec la période  $T_K$  des tourbillons de Karman :

$$T_K = \frac{d}{S \cdot V_{cr.}} = T \quad V_{cr.} = \frac{d}{S \cdot T} : \text{vitesse critique}$$

a- Vent Longitudinal:  $T = 0,38 \text{ s}$ .  
 $d = 18,795 \text{ m}$ .

N.B.: Le nombre de Strouahl  $S$  varie entre 0,25 et 0,30 ; il dépend de la rugosité des surfaces. On prend  $S = 0,30$  (plus défavorable).

$$V_{cr.} = \frac{d}{S \cdot T} = \frac{18,795}{0,30 \times 0,38} = 164,87 \text{ m/s} > 25 \text{ m/s.}$$

b- Vent Transversal:  $T = 0,40 \text{ s}$ .  
 $d = 20,47 \text{ m}$ .

$$V_{cr.} = \frac{d}{S \cdot T} = \frac{20,47}{0,30 \times 0,40} = 170,58 \text{ m/s} > 25 \text{ m/s.}$$

Les vitesses critiques  $V_{cr}$  qui aurait pu créer la résonnance sont situées à l'extérieur de la fourchette  $0 \div 25 \text{ s}$ ; La mise en résonnance est impossible et le calcul de la résonnance est inutile.

N.B.: Généralement seuls les ouvrages de très grande hauteur, donc de période propre importante  $> 1,5 \text{ s}$ , nécessitent un calcul à la résonnance.

N.B.: Les forces équivalentes statique de la traînée sont nettement plus faibles (6 fois moins) que celles dues aux forces équivalentes statiques d'origine prismatiques.

#### D - Détermination de l'effort de portance $U$ .

C'est une action verticale perpendiculaire à la poussée du vent. C'est un effort de poulement p'écrivant:

$$U = C_u \cdot S \cdot g \cdot S_u ;$$

##### i- Coefficient de portance $C_u$ .

Il s'écrit:  $C_u = C_i - C_e$ ;  $C_i$  étant le coefficient de surpression interne sur le plancher terrasse.

Pour une construction fermée (notre cas) et dont les parois ont une perméabilité  $\mu \leq 5$ , le coefficient de surpression interne p'écrit:

$$C_i = +0,6 \cdot (1,8 - 1,3 \times 0).$$

$$C_i = +0,6 \cdot (1,8 - 1,3 \times 1) = +0,3.$$

$$(NV. 65 2,141)$$

Le coefficient de dépression extérieure fonction de l'inclinaison  $\alpha$  de la toiture et du Coefficient de Correction  $\delta_0$  est pur le diagramme R. III 6.

$$\left. \begin{array}{l} \alpha = 0^\circ \text{ (plancher terrasse plan)} \\ \delta_0 = 1 \end{array} \right\} \rightarrow C_d = -0,5.$$

D'où Le Coefficient de portance :  $C_u = C_i - C_d$   
 $C_u = 0,3 - (-0,5) = 0,8$ .

ii. Coefficient de dimension  $\delta$  : (NV.G5 III - 1,244).

$$\left. \begin{array}{l} \text{La plus grande dimension de la toiture est } l = 20,47 \text{ m.} \\ \text{La hauteur du bâtiment est } H = 28 \text{ m.} \end{array} \right\} \rightarrow \delta = 0,725.$$

iii. Pression du vent  $q$ :

La pression de base est  $q_{v10} = 70 \text{ daN/m}^2$

$$\text{Pour } H = 28 \text{ m: } q_{vH} = q_{v10} \cdot \left( 2,5 \cdot \frac{H+18}{H+60} \right) = 91 \text{ daN/m}^2$$

Pour un pôle normal :  $K_s = 1$ .

$$\text{Donc: } q = K_s \cdot q_{vH} = 91 \text{ daN/m}^2$$

iv. Aire de la toiture terrasse  $S_u$ :

Dans notre cas elle est évaluée à  $S_u = 297,95 \text{ m}^2$ .

— L'effort de poulement p'écrit:

$$U = C_u \cdot \delta \cdot q \cdot S_u = 0,8 \times 0,725 \times 91 \times 297,95 = 15726 \text{ daN; pour un vent normal.}$$

$$\text{Et } U_e = \frac{7}{4} \cdot U = 1,75 \cdot U = 1,75 \times 15726 = 27520,5 \text{ daN.}$$

Vérification: Il faut vérifier que le poids mort du bâtiment ou bien les charges permanentes  $G$  dépassent l'effort de portance soit:  $G > U_e$ .

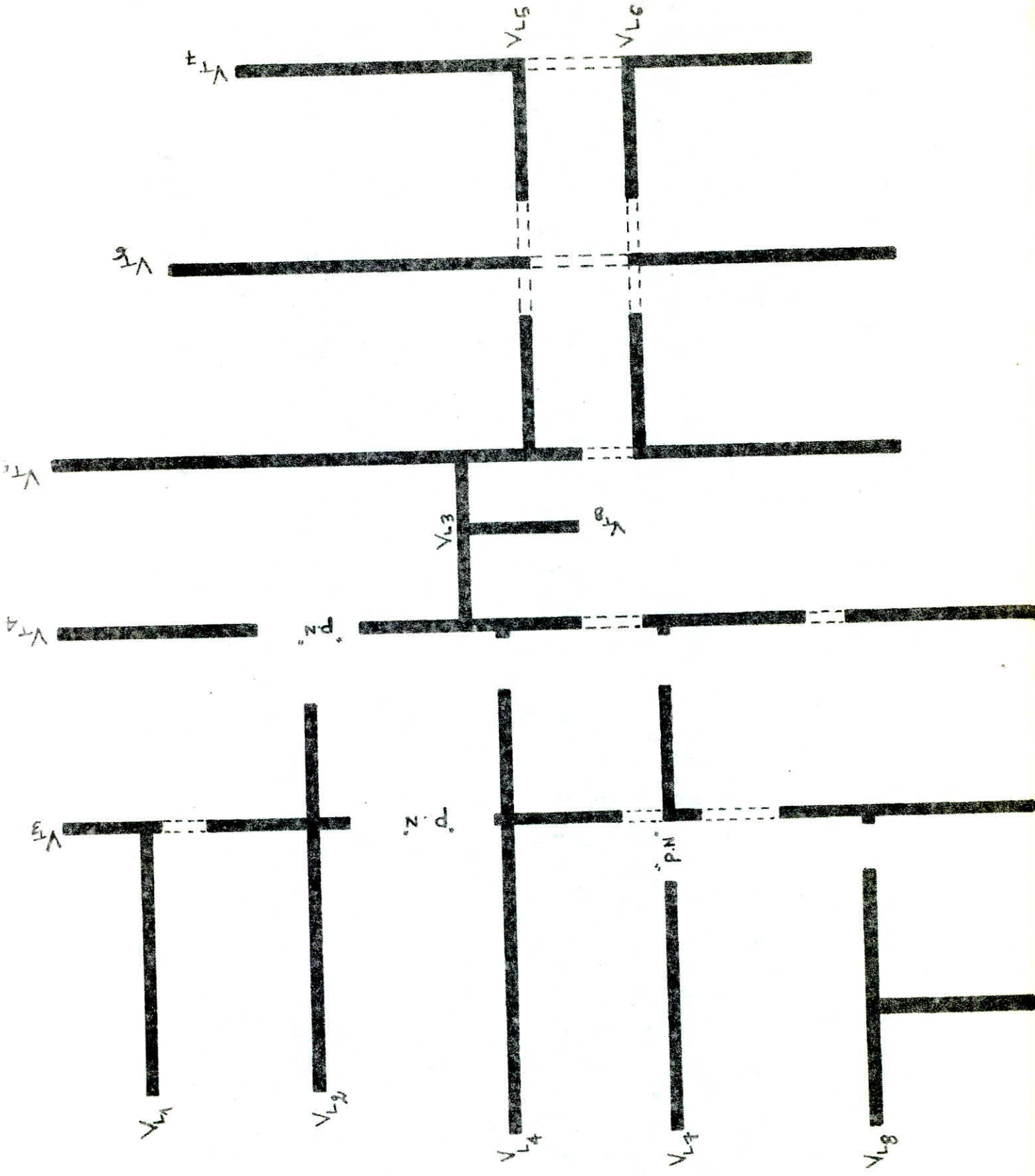
$$G = 3904,20 \cdot 10^3 \text{ daN} > U_e = 27520,5 \text{ daN.}$$

(Vérifié).

CHAP:7

ETUDE            DU  
CONTREVENTEMENT

## 2/ Représentation des voies



## Calcul pratique des refends à une file d'ouvertures.

Le cas général déjà étudié montre qu'il existe deux fonctions  $\Phi(\alpha, \xi)$  et  $\Psi(\alpha, \xi)$  génératrices respectivement des efforts tranchants  $T$  dans les linteaux et des moments  $M$  dans les trumeaux. Pour le calcul pratique on remarque qu'il est possible de simplifier les expressions dans certains cas limites tenant compte des caractéristiques géométriques du refend par l'intermédiaire du degré de monolithisme qui dans ce cas est "inversement proportionnel" à l'augmentation de la largeur des ouvertures.

### A. Effort tranchant:

A chaque niveau  $\xi$  il s'écrit :  $T_x(\xi) = \frac{H_0 m l}{I} \Phi(\alpha, \xi)$  ;

$$\text{avec } \Phi(\alpha, \xi) = 1 - \xi^2 - \frac{2}{\alpha^2} + \frac{2}{\alpha} \cdot \frac{\operatorname{sh}(\alpha \xi)}{\operatorname{ch}(\alpha)} - \frac{\alpha^2 \cdot 2}{\alpha^2} \cdot \frac{\operatorname{ch}(\alpha(1-\xi))}{\operatorname{ch}(\alpha)} ; \quad (\text{M. Diver B.23.a})$$

$\alpha$	0	10	$\infty$
$\Phi(\alpha, \xi)$	0	$\approx (1 - \xi^2)$	$(1 - \xi^2)$

Pratiquement :

$$\alpha < 1 : \quad T(\xi) = 0 . \quad (\text{Grandes Ouvertures}).$$

$$\alpha > 10 : \quad T(\xi) = \frac{H_0 m l}{I} \cdot (1 - \xi^2) : \quad (\text{Petites Ouvertures}).$$

### B. Moment fléchissant:

A chaque niveau  $\xi$ , pour chacun des deux trumeaux il s'écrit :

$$M_i(\xi) = \frac{I_1}{I_1 + I_2} \cdot H_0 Z \left( \frac{2 - 3\xi + \xi^3}{3} - \frac{2 \text{c.m.}}{I} \cdot \Psi(\alpha, \xi) \right).$$

$$M_2(\xi) = \frac{I_2}{I_1 + I_2} H_0 Z \left( \frac{2 - 3\xi + \xi^3}{3} - \frac{2 \text{c.m.}}{I} \cdot \Psi(\alpha, \xi) \right).$$

$$\text{avec } \Psi(\alpha, \xi) = \frac{2 - 3\xi + \xi^3}{3} + \frac{2\xi}{\alpha^2} - \frac{\alpha^2 \cdot 2}{\alpha^3} \cdot \frac{\operatorname{sh}(\alpha(1-\xi))}{\operatorname{ch}(\alpha)} - \frac{2}{\alpha^2} \cdot \frac{\operatorname{ch}(\alpha \xi)}{\operatorname{ch}(\alpha)} ; \quad (\text{Diver B.3})$$

$\alpha$	0	10	$\infty$
$\Psi(\alpha, \xi)$	0	$\approx \frac{2 - 3\xi + \xi^3}{3}$	$\frac{2 - 3\xi + \xi^3}{3}$

Pratiquement :

$$\alpha < 1 : \quad M_i = \frac{I_i}{I_1 + I_2} \cdot H_0 Z \left( \frac{2 - 3\xi + \xi^3}{3} \right) : \quad (\text{Grandes Ouvertures}).$$

$$\alpha > 10 : \quad M_i = 0 ; \quad i = 1, 2 . \quad (\text{Petites Ouvertures}).$$

### C- Effort normal :

A chaque niveau  $\xi$  il n'écrit  $N = \sum \Pi$ , dans le cas général.

Pratiquement :

$$\alpha < 1 : N = 0.$$

$$\alpha > 10 : N = \frac{M}{2c} = \sum \Pi.$$

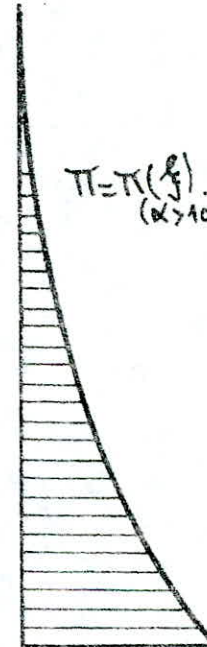
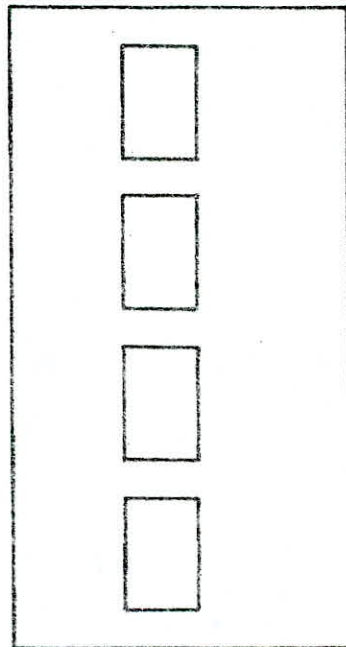

---

— Petites Ouvertures:  
 $(\alpha > 10)$

$$\Pi(\xi) = H_0 \frac{m \xi}{I} \cdot (1 - \xi^2).$$

$$N(\xi) = \sum \Pi = \frac{M}{2c}.$$

$$M_{q2}(\xi) = 0.$$

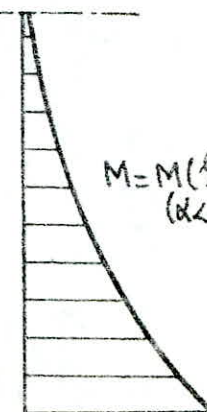
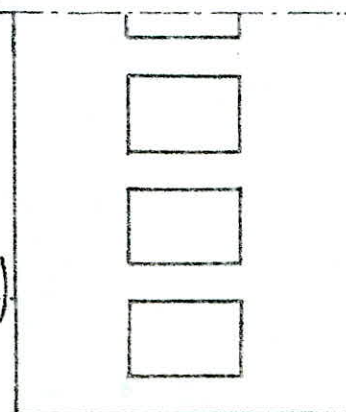


— Grandes Ouvertures:  
 $(\alpha < 1)$

$$\Pi(\xi) = 0.$$

$$N(\xi) = 0.$$

$$M(\xi) = \frac{I_{q1,2}}{42} H_0 z \cdot \left( \frac{2 - 3\xi + \xi^3}{3} \right).$$



## Calcul pratique des refends à plusieurs files d'ouvertures.

Dans ce cas on néglige les déformations dues à l'effort normal dans les éléments de refend dans le but d'arriver à une expression du degré de monolithisme simple. A partir de la première étude détaillée (refend à une file d'ouvertures) on peut généraliser le problème en décomposant le refend à files multiples d'ouvertures en plusieurs refends à une seule file d'ouverture. Cette approche qui désolidarise partiellement le grand refend conduit à des résultats par défaut relativement aux valeurs réelles.

Degré de monolithisme:

$$\omega^2 = \frac{6E'}{E(I_1 + I_2 + I_3 + \dots)l} \cdot \left( \frac{i_1 C_1^2}{a_1^3} + \frac{i_2 C_2^2}{a_2^3} + \dots \right).$$

$$K = \omega \cdot Z ;$$

Dans notre cas les ouvertures comportent toutes des portes donc la hauteur du linteau reste égale à 70 cm. Pour un même refend à inertie constante on peut écrire:

$$\boxed{\omega^2 = \frac{6i}{h_e \sum_i I_i} \cdot \sum_{i=1}^{n+1} \left( \frac{C_i^2}{a_i^3} \right)}.$$

avec:  $h_e = l$   
et  $E' = E$ .

A. Effort tranchant:

Au niveau  $\xi$  pour  $\Pi_A(\xi) = H_o \cdot l$ .  
Le linteau d'inertie  $i_1$ :

$$\frac{i_1 C_1}{2 a_1^3 \left( \frac{i_1 C_1^2}{a_1^3} + \frac{i_2 C_2^2}{a_2^3} + \dots \right)} \phi(\xi) ;$$

Dans notre cas  $i_1 = i_2 = \dots = i_{n+1}$ .

$$\Pi_A(\xi) = \left( \frac{i_1 C_1}{a_1^3} \right) \cdot \frac{H_o \cdot h_e}{2 \sum_{i=1}^{n+1} \left( \frac{i_i C_i^2}{a_i^3} \right)} \cdot \phi(\xi) ;$$

On notera:

$$\frac{i_1 C_1}{a_1^3} = K_1 \quad \text{et} \quad \frac{H_o \cdot h_e}{\sum_{i=1}^{n+1} \left( \frac{i_i C_i^2}{a_i^3} \right)} = C_1$$

D'où:  $\Pi_1(\xi) = K_1 \cdot C_1 \cdot \phi(\xi)$ .

$$\Pi_2(\xi) = K_2 \cdot C_2 \cdot \phi(\xi), \text{ etc...}$$

$K_1$ : constante du linteau "f" ;  $C_1$ : constante du refend.

### B. Moment fléchissant :

Au niveau  $\xi$  :

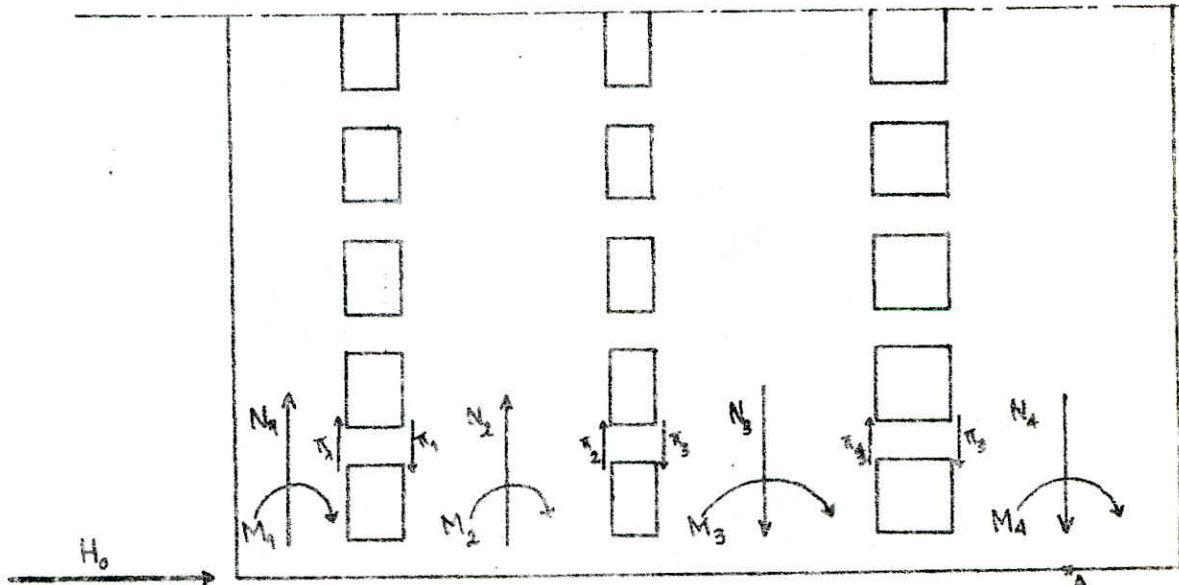
$$M_i(\xi) = \frac{I_i}{I_1 + I_2 + I_3 + \dots} \cdot H_0 Z \left( \frac{2-3\xi+\xi^3}{3} - \Psi(\xi) \right).$$

$$M_n(\xi) = \frac{I_n}{\sum(I_i)} \cdot H_0 Z \left( \frac{2-3\xi+\xi^3}{3} - \Psi(\xi) \right).$$

On notera :

$$K_{M_i} = \frac{I_i}{\sum(I_i)} H_0 Z; \quad K_{M_i} : \text{constante de l'élément de refend (trame)}$$

### C. Effort normal :



$$N_1 = \sum \pi_1; \quad N_2 = \sum \pi_2 - \sum \pi_1; \quad N_3 = \sum \pi_3 - \sum \pi_2; \quad N_4 = \sum \pi_4.$$

#### Vérification :

A chaque niveau il faut vérifier que la somme des moments intérieurs reste égale au moment extérieur.

Sur l'exemple de la figure il faut vérifier par rapport au point A.

$$M(\xi) = M_1 + M_2 + M_3 + M_4 + N_1(2C_1 + 2C_2 + 2C_3) + N_2(2C_2 + 2C_3) + N_3(2C_3).$$

N.B.: Au niveau pour lequel point représente, dans ce sens, les efforts  $M$  et  $N$ , on aura  $N_3 < 0$ .

$$\therefore M_{ext.}(\xi) = H_0 Z \left( \frac{2-3\xi+\xi^3}{3} \right);$$

Voile V <sub>L1</sub>	L = 1,24 m	b = 20 cm	% AO,44.
Niv	♀	M	
T	1,0	0	
9	0,9	12,24	
8	0,8	39,14	
7	0,7	79,04	
6	0,6	130,94	
5	0,5	191,51	
4	0,4	260,71	
3	0,3	336,54	
2	0,2	419,17	
1	0,1	501,10	
RDC	0,0	586,65	

Voile V <sub>L2</sub>	L = 1,495 m	b = 15 cm	% 22,16
Niv	♀	M	
T	1,0	0	
9	0,9	25,32	
8	0,8	70,98	
7	0,7	163,61	
6	0,6	269,92	
5	0,5	396,26	
4	0,4	539,55	
3	0,3	696,32	
2	0,2	863,21	
1	0,1	1036,93	
RDC	0,0	1213,83	

Voile V <sub>L3</sub>	L = 3,325 m	b = 10 cm	% 2,446
Niv	♀	M	
T	1,0	0	
9	0,9	2,83	
8	0,8	9,05	
7	0,7	18,28	
6	0,6	30,15	
5	0,5	44,28	
4	0,4	60,29	
3	0,3	77,80	
2	0,2	96,45	
1	0,1	115,85	
RDC	0,0	135,62	

Voile V <sub>L4</sub>	L = 3,52 m	b = 15 cm	% 31,43
Niv	♀	M	
T	1,0	0	
9	0,9	36,28	
8	0,8	113,78	
7	0,7	229,88	
6	0,6	379,08	
5	0,5	556,71	
4	0,4	758,02	
3	0,3	938,28	
2	0,2	1212,73	
1	0,1	1456,66	
RDC	0,0	1708,33	

	NIV	♀	M	
V <sub>L7(1)</sub>	b = 4,695 m	b = 15 cm	% 5,21	
T	1,0	0		
9	0,9	5,95		
8	0,8	19,04		
7	0,7	38,47		
6	0,6	63,44		
5	0,5	93,16		
4	0,4	126,85		
3	0,3	163,75		
2	0,2	202,99		
1	0,1	243,77		
RDC	0,0	285,38		

	NIV	♀	M	
V <sub>L7(2)</sub>	b = 2,675 m	b = 15 cm	% 5,46	
T	1,0	0		
9	0,9	1,10		
8	0,8	3,51		
7	0,7	7,09		
6	0,6	11,69		
5	0,5	17,17		
4	0,4	23,57		
3	0,3	30,17		
2	0,2	37,40		
1	0,1	44,92		
RDC	0,0	52,58		

	NIV	♀	M	
V <sub>L8</sub>	b = 4,845 m	b = 15 cm	% 5,46	
T	1,0	0		
9	0,9	6,58		
8	0,8	21,05		
7	0,7	42,53		
6	0,6	70,13		
5	0,5	103,00		
4	0,4	140,24		
3	0,3	180,99		
2	0,2	224,37		
1	0,1	269,50		
RDC	0,0	315,51		

	NIV	♀	M	
V <sub>T<sub>1</sub></sub>	b = 3,465 m	b = 20 cm	% 0,93	
T	1,0	0		
9	0,9	1,12		
8	0,8	3,58		
7	0,7	7,24		
6	0,6	11,93		
5	0,5	17,52		
4	0,4	23,85		
3	0,3	30,79		
2	0,2	38,16		
1	0,1	45,85		
RDC	0,0	53,68		

VOILE  $V_{T_4}$  L = 3,73m b = 20cm % 0,79

Niv	T	M	Niv	T	M
7	1,0	0	7	1,0	0
8	0,9	0,90	8	0,8	1,61
9	0,8	2,89	9	0,9	0,50
10	0,7	5,83	10	0,7	3,25
11	0,6	9,62	11	0,6	5,36
12	0,5	14,13	12	0,5	7,87
13	0,4	19,25	13	0,4	10,71
14	0,3	24,72	14	0,3	13,83
15	0,2	30,47	15	0,2	17,14
16	0,1	36,96	16	0,1	20,59
17	0,0	43,24	17	0,0	24,10

VOILE  $V_{T_8}$  L = 2,3m b = 15cm % 0,44

Niv	T	M	Niv	T	M
7	0,5	7,87	7	0,5	7,87
8	0,4	10,71	8	0,4	10,71
9	0,3	13,83	9	0,3	13,83
10	0,2	17,14	10	0,2	17,14
11	0,1	20,59	11	0,1	20,59
12	0,0	24,10	12	0,0	24,10

NIV	$\gamma$	$A\gamma$	$\Psi\gamma$	$\Phi\gamma$	$\Pi_{(t)}$	$N_{(t)}$	$M_1$ (t.m)	$M_2$ (t.m)	$A\gamma - \frac{2mc}{I}\Psi\gamma$
T	1,0	0	0	0,2128	3,66	3,66	0	0	0
9	0,9	0,0097	0,02	0,2641	4,54	8,20	-3,98	-3,98	-0,0085
8	0,9	0,0373	0,055	0,3667	6,31	14,51	-5,94	-5,94	-0,0187
7	0,7	0,091	0,105	0,50	8,60	23,11	-6,79	-6,79	-0,0145
6	0,6	0,1386	0,155	0,61	10,5	33,61	-1,12	-1,12	-0,0024
5	0,5	0,2083	0,22	0,705	12,13	45,74	3,79	3,79	0,0081
4	0,4	0,288	0,3	0,7705	13,26	59,00	7,07	7,07	0,0151
3	0,3	0,3756	0,34	0,7897	13,59	72,59	18,25	18,25	0,0390
2	0,2	0,4693	0,45	0,7256	12,48	85,07	28,04	28,04	0,0599
1	0,1	0,567	0,52	0,5256	9,04	94,11	43,95	43,95	0,0939
RDC	0,0	0,666	0,55	0,0	0,0	94,11	77,52	77,52	0,1656



\* vérification de l'équilibre extérieur à la base:

$$\text{à la base du voile: } M_1 + M_2 + 2NC = 620,88 \text{ t.m}$$

et

$$\text{le moment ext} = M_{ext} = 641,97 \text{ t.m}$$

\* évaluation de l'erreur relative:

elle est de 3,3% par défaut.

NIV	$\xi$	$(1-\xi)^2$	$\pi(t)$	$N(t)$	$M(t \cdot m)$
T	1,0	0	0	0	0
9	0,9	0,19	1,14	1,04	3,28
8	0,8	0,36	2,16	3,34	10,49
7	0,7	0,51	3,07	6,76	21,19
6	0,6	0,64	3,85	11,13	31,94
5	0,5	0,75	4,51	16,34	51,32
4	0,4	0,84	5,05	22,25	69,88
3	0,3	0,91	5,47	28,72	90,18
2	0,2	0,96	5,77	38,6	111,79
1	0,1	0,99	5,95	42,76	134,28
RDC	0,0	1	6,01	50,06	157,21

$$\pi = \frac{H_0 \cdot m \cdot l}{I} \cdot (1 - \xi^2)$$

$$N = \frac{M}{2C}$$

Niv	%	$\Psi_F$	$A_F$	$\Phi_F$	$\pi$	N	$M_1$	$M_2$	$A_F - \frac{2mc}{3} \Psi_F$
							$M_1$	$M_2$	$A_F - \frac{2mc}{3} \Psi_F$
Voile $V_{T5}$ $L = A_F, 925 \text{ cm}$ $b = 15 \text{ cm}$ $\% 39,49$	10	1,0	0	0	0,18	4,6197	4,62	0	0,0
	9	0,9	0,02	0,0097	0,24	6,160	10,78	-2,34	-13,46
	8	0,8	0,0575	0,0373	0,3667	9,411	20,19	-2,39	-13,72
	7	0,7	0,1075	0,081	0,5	12,832	33,02	0,74	4,22
	6	0,6	0,145	0,1386	0,6333	16,252	49,28	14,52	83,39
	5	0,5	0,2225	0,2083	0,7267	18,651	67,93	20,21	116,11
	4	0,4	0,3	0,288	0,8	20,532	89,46	39,55	178,49
	3	0,3	0,3725	0,3756	0,89	21,558	110,02	46,21	265,47
	2	0,2	0,46	0,4693	0,8	20,532	130,55	59,58	342,27
	1	0,1	0,5321	0,567	0,6	15,399	145,95	80,02	459,70
	RDC	0,0	0,5677	0,666	0	0	145,95	113,05	649,43
									0,2461

- vérification de l'équilibre extérieur à la base :

$$M_1 + M_2 + 2NC = 2063,26 \text{ t.m}$$

et

$$M_{ext} = 2164,44 \text{ t.m}$$

- évaluation de l'erreur relative :  
elle est de 2,9% par défaut.

Voile V <sub>TG</sub> L = 13,495 m b = 16,988 %	Niv	T	A <sub>S</sub>	A <sub>T</sub>	$\Phi_T$	$\pi_{(t)}$	N (t)	M <sub>1</sub> (t.m)	M <sub>2</sub> (t.m)	$A_S - \frac{2\pi}{I} A_T$
	T	1,0	0	0	0,2967	4,08	4,08	0	0	0
	9	0,9	0,0093	0,015	0,32	4,56	8,64	-0,91	-2,62	-0,0026
	8	0,8	0,0383	0,045	0,398	5,67	14,31	0,17	0,50	0,0005
	7	0,7	0,091	0,0925	0,4933	7,02	21,33	4,74	13,7	0,0136
	6	0,6	0,1386	0,150	0,58	9,26	29,59	5,61	16,22	0,0161
	5	0,5	0,2086	0,215	0,6467	9,21	38,8	11,51	33,25	0,0330
	4	0,4	0,288	0,3	0,68	9,68	48,48	14,96	43,23	0,0429
	3	0,3	0,3756	0,3605	0,6733	9,58	58,06	28,28	81,72	0,0811
	2	0,2	0,4693	0,4225	0,5774	8,22	66,28	43,27	125,04	0,1221
RDC	0,0	0,666	0,499	0	0	71,78	63,11	182,37	0,1810	

- vérification de l'équilibre entre la base :

$$M_1 + M_2 + 2N_c = 309,08 \text{ t.m}$$

et

$$M_{ent} = 309,09 \text{ t.m}$$

- évaluation de l'erreur relative :  
elle est de 2,66% par défaut.

NIV	$\gamma$	$A\gamma$	$\gamma\gamma$	$\Phi\gamma$	$\pi(t)$	$N(t)$	$M_1$	$M_2$	$A_T - \frac{2NC}{L}$
							(t.m)	(t.m)	(t.m)
Voile	T	1,0	0	0	0,253	2,30	2,3	0	0
	9	0,9	0,0091	0,025	0,3	2,72	5,02	-1,35	-6,20
	8	0,8	0,0373	0,0575	0,3741	3,40	8,42	-1,24	-5,68
	7	0,7	0,081	0,10	0,5	4,54	12,96	-0,14	-0,63
	6	0,6	0,1396	0,1875	0,6	5,45	18,21	1,16	5,33
	5	0,5	0,2083	0,2228	0,68	6,17	22,58	3,20	14,68
	4	0,4	0,287	0,30	0,7333	6,66	33,24	5,21	23,92
	3	0,3	0,3756	0,365	0,7533	6,94	40,08	9,48	43,84
	2	0,2	0,4693	0,44	0,6667	6,06	46,13	13,48	61,98
	1	0,1	0,567	0,4925	0,4533	4,12	50,28	20,3	93,21
RDC		0,0	0,666	0,825	0	0	50,25	29,32	132,74
									0,2349

\* vérification de l'équilibre à la base :

$$M_1 + M_2 + 2NC = 481,02 \text{ t.m}$$

et

$$H_{ext} = 478,19 \text{ t.m}$$

\* évaluation de l'erreur relative :

elle est de 0,5% par excess

	NIV	$\xi$	$A\xi$	$\Psi\xi$	$\Phi\xi$	$(A-\xi^2)$	$T_{11}$ (t)	$T_{12}$ (t)	$T_{13}$ (t)	$N_{21}$ (t)	$N_{31}$ (t)	$M_1$ (t.m)	$M_2$ (t.m)	$M_3$ (t.m)	$A\xi - \frac{1}{4}\xi^3$
L = A3,015 t.m V <sub>T4W</sub> V <sub>LE</sub>	T	1,0	0	0	0	0	0	0	0	0	0	0	0	0	0
	9	0,9	0,0092	0,02	0,2267	0,19	3,65	3,11	3,65	-0,54	3,11	-6,98	-3,99	-10,78	-0,0103
	8	0,8	0,0373	0,058	0,3667	0,36	6,34	5,49	9,99	-1,33	9,60	-8,48	-4,92	-13,23	-0,0127
	7	0,7	0,0840	0,11	0,5	0,51	8,8	7,65	18,79	-2,54	16,25	-19,36	-11,24	-30,36	-0,0290
	6	0,6	0,1396	0,1625	0,6333	0,64	11,1	9,64	29,89	-4,00	25,89	-18,96	-9,26	-25,02	-0,0239
	5	0,5	0,2086	0,225	0,74	0,75	12,98	11,29	42,87	-5,69	37,18	-10,95	-6,36	-17,17	-0,0164
	4	0,4	0,288	0,3	0,82	0,84	14,46	12,58	57,33	-7,57	49,76	-8,01	-4,65	-12,56	-0,0120
	3	0,3	0,376	0,375	0,88	0,91	15,59	13,58	72,92	-9,58	63,39	0,4	0,23	0,63	0,0006
	2	0,2	0,4693	0,4625	0,9333	0,96	16,49	14,36	89,44	-11,71	77,7	4,54	2,64	7,12	0,0068
	1	0,1	0,567	0,555	0,9667	0,99	17,04	14,93	106,45	-13,92	92,53	9,01	4,65	12,56	0,0120
RDC	0,0	0,666	0,6196	1,0	1,0	17,43	15,13	123,88	-16,22	107,66	30,98	17,99	48,57	0,0164	

L <sub>1</sub>	L <sub>2</sub>
m <sub>1</sub>	3,1328
K <sub>12</sub>	2,89

	T <sub>1</sub>	T <sub>2</sub>	T <sub>3</sub>
K <sub>11</sub>	667,74	387,65	1046,78
I <sub>12</sub>	0,8306	0,4822	1,3021

$$C_R = \frac{H_0 \cdot l}{\sum \left[ \frac{(2C_i)^2}{(2C_i)^3} \right]} = 4,37$$

\* vérification de l'équilibre à la base :  
 $M_1 + M_2 + M_3 + 2N_1 C_1 - 2N_2 C_2 = 1295,935 \text{ t.m}$

et

$$M_{ext} = 1404,4 \text{ t.m}$$

\* évaluation de l'erreur relative :  
 elle est de 7,5% par défaut

NIV	$\Psi$	$A_\Psi$	$\Psi_\Psi$	$\Phi_\Psi$	$(\lambda - \Psi^2)$	$T_1$ (t)	$T_2$ (t)	$N_1$ (t)	$N_2$ (t)	$N_3$ (t)	$M_1$ (t.m)	$M_2$ (t.m)	$M_3$ (t.m)	$A_\Psi - 4_\Psi$	
$b = 20$ $b = 10,475$ $b = 10,475$	T	1,0	0	0	0	0	0	0	0	0	0	0	0	0	
	9	0,9	0,0037	0,026	0,226	0,19	3,63	3,76	3,63	0,13	3,76	-20,45	-0,03	-1,72	-0,0153
	8	0,8	0,0373	0,06	0,366	0,36	6,38	6,54	10,01	0,29	10,30	-30,33	-0,04	-2,55	-0,0227
	7	0,7	0,0840	0,11	0,5	0,51	9,89	9,10	18,9	0,5	19,4	-38,75	-0,06	-3,66	-0,0290
	6	0,6	0,1386	0,1625	0,633	0,64	11,2	11,46	30,1	0,76	30,86	-31,94	-0,04	-2,68	-0,0239
	5	0,5	0,2086	0,225	0,74	0,75	13,12	13,42	43,22	1,06	42,28	-21,92	-0,03	-1,84	-0,0164
	4	0,4	0,288	0,30	0,82	0,84	14,62	14,95	54,84	1,39	59,23	-16,04	-0,02	-1,35	-0,0120
	3	0,3	0,3756	0,375	0,880	0,91	15,77	16,11	73,61	1,73	75,34	0,80	0,001	0,07	0,0006
	2	0,2	0,4693	0,465	0,930	0,96	16,65	17,02	90,26	2,1	92,36	5,75	0,008	0,48	0,0043
	1	0,1	0,567	0,555	0,966	0,99	17,23	17,61	107,49	2,48	109,97	16,04	0,02	1,35	0,0120
RBC	0,0	0,666	0,5862	1,0	1,0	17,63	18,02	125,02	2,97	127,99	106,69	0,15	8,96	0,0798	

$L_1$	$L_2$
$m_i$	3,3795
$k_{L_i}$	2,167

	$T_1$	$T_2$	$T_3$
$K_{T_i}$	1336,31	1,9692	112,31
$I_i$	2,5737	0,0036	0,2163

$$C_L = \frac{H_0 \cdot l}{\sum \left[ \frac{(c_{L_i})^2}{(c_{A_i})^2} \right]} = 7,33$$

- verification de l'équilibre à la base:  
 $M_1 + M_2 + M_3 + 2N_1 C_1 - 2N_2 C_2 = 323,27 t.m$
- et  
 $H_{ext} = 334,73 t.m$
- évaluation de l'erreur relative:  
 elle est de 6,58% par défaut.

## PRESCRIPTIONS RELATIVES AUX ELEMENTS DE CONTREVENTEMENT

### I. Principe de calcul:

- . Art 4.3.2.1: la vérification de la résistance aux sollicitations normales de flexion composé les plus défavorables doit être effectuée avec la contrainte admissible béton du premier genre majorée au plus de 50% et la contrainte de traction des aciers au plus égale à  $\sigma_{en}$ .
- . Art 4.3.2.2: la vérification de la résistance aux sollicitations d'effort tranchant doit être effectuée avec:

$T = 1,4$  fois l'effort tranchant de calcul

$N=0$

$$\tilde{\tau}_b = 0,12 \sigma_{28}'$$

$$\tilde{\sigma}_{st} = \sigma_{en}$$

### II. Disposition des armatures :

- . Art 4.3.3.1: les armatures de la section transversale resistante à l'effort tranchant doivent être calculées avec la formule:

$$\tilde{w}_t = \frac{\tau - \theta}{\sigma_{en}} \cdot 100 \quad \text{avec } \tau = \frac{1,4T}{b \cdot z}$$

$\tilde{w}_t$  pourcentage calculé par rapport à la section totale brute du béton, il doit être supérieur à la valeur minimale indiquée ci-dessous:

$$\begin{aligned} & \tau_b \leq 0,025 \sigma_{28}' \Rightarrow 0,18\% \\ & 0,025 \leq \tau_b \leq 0,12 \sigma_{28}' \Rightarrow 0,28\% \end{aligned} \quad \left. \right\} \text{dans chaque direction}$$

- . Art 4.3.3.2: le pourcentage minimum des armatures verticales sur toute la zone tendue d'un voile est de 0,5%, et il est possible de concentrer des armatures de traction à l'extrémité du voile ou du trumeau la section totale d'armatures verticales de la zone tendue devant rester au moins égale à 0,5% de la section horizontale du béton tendue.

- . Art 4.3.3.4: l'espacement des barres verticales doit être inférieur à la plus petite des deux valeurs suivantes:

$$\left\{ \begin{array}{l} e \leq 1,5b \\ \text{ou} \\ e \leq 30 \text{cm} \end{array} \right.$$

- . Art 4.3.3.5: les deux nappes d'armatures doivent être reliées avec au moins 4 épingle par  $m^2$ . les barres horizontales doivent être disposées vers l'extérieur

Art 4.3.3.6: le diamètre des barres verticales et horizontales des voiles ne devrait pas dépasser  $\frac{1}{10}$  de l'épaisseur du voile

Art 4.3.3.7: l'espacement des barres doit être réduit de moitié, sur  $\frac{1}{10}$  de la largeur du voile et ce à chaque extrémité du voile.

Art. 4.3.3.9: les longueurs de recouvrement doivent être égales à :

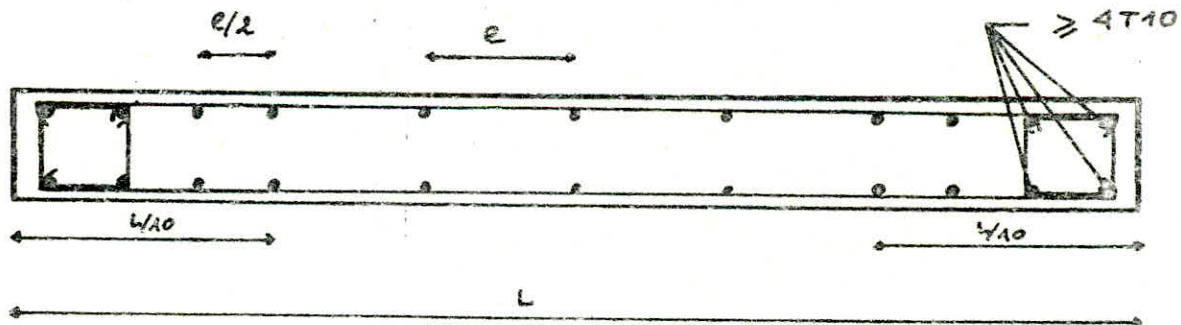
-  $50\%$  pour les barres situées dans les zones où le renversement des signes des efforts est possible.

-  $20\%$  pour les barres situées dans les zones comprimées sous l'action de toutes les combinaisons possibles de charges

Art.4.3.3.12: L'effort tranchant doit être pris par les aciers de couture dont l'section doit être calculée avec la formule suivante:

$$A_{Vf} = 1,1 \frac{T}{C_{en}}$$

figure:



### III Ferrailage des voiles:

. Les refends seront calculés sous la sollicitation la plus défavorable.

$$\begin{array}{l} \text{G} + 1,2P \\ \text{G} - 0,8G - E \\ \text{G} + 0,8G + E \\ \text{G} + P + E \end{array}$$

La combinaison la plus défavorable est:  $\text{G} + P + E$  qui donne un effort normal très important

Or le moment à la base de chaque refend est important donc on prendra l'effort normal le plus petit qui est donné par la sollicitation  $0,8G - E$  car dans ce cas on peut avoir un effort de traction.

d'où la sollicitation est:

$$0,8G - E \Rightarrow \begin{cases} N \text{ min} \\ M \text{ max} \end{cases}$$

. le mode de la sollicitation : flexion composée .

. Vérification des contraintes : La vérification se fera sous la sollicitation  $G + P + E$

on doit vérifier: (Méthode. P. CHARON)

- pour les sections partiellement comprimées:

$$+ \sigma'_b = K y_1 \leq \bar{\sigma}'_b$$

$$+ \sigma'_a = n K (y_1 - d') \leq \bar{\sigma}'_a \quad (n=15)$$

$$+ \sigma_a = n K (h_t - d - y_1) \leq \bar{\sigma}'_a \quad (n=15)$$

- Pour les sections entièrement comprimées

$$+ \sigma'_{b_1} = \frac{N'}{B'_0} + \frac{M a \cdot J_2}{I} \leq \bar{\sigma}'_b$$

$$+ \sigma'_{b_2} = \frac{N'}{B'_0} - \frac{M a \cdot J_2}{I} \leq \bar{\sigma}'_b$$

$$+ \sigma'_{a_{1,2}} = n \left( \frac{N'}{B'_0} \pm \frac{M a}{I} (v - d) \right) \leq \bar{\sigma}'_a$$

NIV	G <sub>i</sub> (t)	P <sub>i</sub> (t)	P <sub>i</sub> (0)(t)	G <sub>i</sub> (0)	P <sub>i</sub> (t)	0,866	E M	60,86-EI		60,86+EI		at 0.0001	
								60,86-EI	60,86+EI	at 0.0001	at 0.0001	at 0.0001	at 0.0001
V <sub>L1</sub> L=5,27 m b=20 cm	T	10,62	0,64	0,64	10,62	0,64	9,58	0	9,50	8,50	11,26	11,39	
	9	11,59	1,91	1,91	22,21	3,55	11,77	12,24	17,77	17,77	24,76	25,27	
	8	"	"	1,72	33,18	4,24	27,04	39,14	27,04	27,04	38,07	38,92	
	7	"	"	1,53	45,39	5,8	36,31	79,07	36,31	36,31	51,19	52,35	
	6	"	"	1,34	56,98	7,14	45,58	130,41	45,58	45,58	64,12	65,55	
	5	"	"	1,15	68,57	8,29	54,86	191,51	54,86	54,86	76,86	78,52	
	4	"	"	0,95	80,16	9,24	64,13	260,77	64,13	64,13	89,4	91,25	
	3	"	"	"	91,75	10,19	73,40	336,54	73,40	73,40	101,94	103,98	
	2	"	"	"	103,34	11,14	82,67	217,19	82,67	82,67	114,18	116,71	
	1	"	"	"	114,93	12,09	91,94	501,10	91,94	91,94	127,02	129,44	
V <sub>L2</sub> L=7,495 m b=15 cm	RDC	7,68	3,03	1,51	122,61	13,6	98,09	586,65	98,09	98,09	136,21	138,93	
	T	24,57	2,70	2,7	24,57	2,7	19,66	0	19,66	19,66	27,27	27,91	
	9	22,34	7,1	7,1	46,91	9,8	37,53	25,32	37,53	37,53	56,71	58,64	
	8	"	"	6,39	69,25	16,19	55,4	80,98	55,4	55,4	85,44	88,68	
	7	"	"	5,69	91,59	21,87	73,27	163,61	73,27	73,27	113,46	117,83	
	6	"	"	4,97	113,93	26,94	91,14	269,82	91,14	91,14	140,47	146,14	
	5	"	"	4,26	136,27	31,1	109,01	396,26	109,01	109,01	167,37	173,59	
	4	"	"	3,55	158,61	34,65	126,89	539,55	126,89	126,89	193,26	200,19	
	3	"	"	"	180,95	38,2	144,76	696,32	144,76	144,76	219,15	226,79	
	2	"	"	"	203,29	41,75	162,63	863,21	162,63	162,63	245,04	253,39	
V <sub>L3</sub> L=7,495 m b=15 cm	1	"	"	"	225,63	45,3	180,50	1036,83	180,50	180,50	270,93	279,99	
	RDC	18,8	11,24	5,62	244,43	50,92	195,54	1213,83	195,54	195,54	295,85	305,53	

NIV	G <sub>0,8</sub>	P <sub>0,8</sub>	P <sub>0,16</sub> (L)	G <sub>1,6</sub>	P <sub>1,6</sub>	E	b = 20 cm			
							M	10,84-E9	G <sub>1+P<sub>1+L</sub></sub>	
T	6,35	0,21	0,21	6,35	0,21	0	6,09	6,56	6,60	
9	6,87	0,66	0,66	13,22	0,87	2,83	10,58	14,09	14,26	
8	"	"	0,59	20,09	1,46	9,05	16,07	21,55	21,84	
7	"	"	0,53	26,96	1,99	18,28	21,57	29,95	29,35	
6	"	"	0,46	33,83	2,45	30,15	27,06	36,28	36,77	
5	"	"	0,40	40,7	2,85	44,28	32,56	43,55	44,12	
4	"	"	0,33	47,57	3,18	60,29	38,06	50,75	51,39	
3	"	"	"	54,44	3,51	77,80	43,55	57,95	58,65	
2	"	"	"	61,31	3,84	96,45	49,05	65,15	65,92	
1	"	"	"	68,18	4,17	115,85	54,54	72,35	73,18	
RDC	4,91	1,25	0,62	72,99	4,49	135,62	58,39	77,78	78,02	
VOLLE VLA L = 8,52 m b = 15 cm	T	23,20	3,07	3,07	23,20	3,07	0	18,56	26,27	26,98
	9	28,93	6,81	6,81	51,55	9,88	35,28	41,24	61,43	63,41
	8	"	"	6,13	79,9	16,01	113,78	63,92	95,91	95,11
	7	"	"	5,45	108,28	21,46	229,85	86,6	129,71	134,02
	6	"	"	4,77	136,6	26,23	379,08	109,28	162,93	168,08
	5	"	"	4,09	164,95	30,32	556,71	131,96	195,24	201,33
	4	"	"	3,4	193,30	33,72	758,02	154,64	227,02	233,76
	3	"	"	"	221,65	37,12	978,28	177,32	258,74	266,19
	2	"	"	"	250	40,52	1242,73	200	290,52	298,62
	1	"	"	"	278,36	43,92	1456,66	222,68	322,21	331,05
RDC	23,77	12,94	6,47	302,12	50,39	1705,33	241,70	352,51	362,59	

NIV	G <sub>0</sub> (6)	P <sub>0</sub> (6)	P <sub>0,61</sub> (6)	G <sub>1</sub> (6)	P <sub>1</sub> (6)	E M	0,96-E	G+P+E	G+A,2P	
V <sub>2</sub> P(1)	T	16,02	1,82	1,82	16,02	1,82	0	12,82	17,84	18,2
	9	14,72	3,71	3,71	30,74	5,53	5,95	24,59	36,27	37,38
	8	"	"	3,34	45,26	8,87	19,04	36,37	54,33	56,10
	7	"	"	234	60,18	11,84	38,43	48,14	72,02	74,39
	6	"	"	2,60	74,9	10,44	63,44	59,92	89,34	92,23
	5	"	"	2,23	89,62	16,67	93,16	71,70	106,29	103,62
	4	"	"	1,85	104,34	18,52	126,85	83,47	122,86	126,56
	3	"	"	"	119,06	20,37	163,75	95,25	139,43	143,50
	2	"	"	"	133,78	22,22	202,99	107,02	156,00	160,44
	1	"	"	"	148,5	24,07	247,77	118,8	172,57	177,38
V <sub>2</sub> S(1)	RDC	11,8	7,06	3,53	160,3	27,6	285,38	128,24	187,9	193,42
	T	5,31	0,49	0,49	5,31	0,49	0	4,25	5,8	5,9
	9	5,39	1,22	1,22	10,7	1,71	1,10	8,56	12,41	12,75
	8	"	"	1,10	16,09	2,81	3,51	12,87	18,9	19,46
	7	"	"	0,98	21,48	3,79	7,09	17,18	25,27	26,03
	6	"	"	0,85	26,87	4,64	11,69	21,50	31,51	32,44
	5	"	"	0,73	32,26	5,37	17,17	25,81	37,63	38,70
	4	"	"	0,61	37,65	5,98	23,37	30,12	43,63	44,93
	3	"	"	"	43,04	6,59	30,17	34,03	49,63	50,95
	2	"	"	"	48,43	7,20	37,40	38,74	55,63	57,07
V <sub>2</sub> E(2)	1	"	"	"	53,82	7,81	44,92	43,06	61,63	63,19
	RDC	4,46	2,32	1,16	58,28	8,97	52,58	46,62	67,25	69,04

NIV	G <sub>1</sub> (t)	g <sub>1</sub> (t)	g <sub>2</sub> (t)	G <sub>1</sub> (t)	g <sub>3</sub> (t)	E M	D = 15 cm			
							G <sub>1</sub> +P+E 6	G <sub>2</sub> +P+E 6	G <sub>3</sub> +P+E 6	
T	11,2	1,63	1,63	11,2	1,63	0	8,96	12,83	13,16	
9	12,56	3,64	3,64	23,76	5,27	6,58	19,01	29,03	30,08	
8	"	"	3,28	36,32	8,55	21,05	6,84	44,77	46,58	
7	"	"	2,81	48,88	11,46	12,53	39,10	60,34	62,63	
6	"	"	2,55	61,44	14,01	70,13	49,15	75,45	78,25	
5	"	"	2,18	74,0	16,19	103,00	59,2	90,19	93,43	
4	"	"	1,82	86,56	18,01	140,24	69,25	104,57	108,17	
3	"	"	"	99,12	19,83	180,99	79,30	118,95	122,92	
2	"	"	"	111,68	21,65	224,37	89,34	138,33	137,66	
1	"	"	"	124,24	23,47	269,50	99,39	147,71	152,40	
RDC	10,70	5,77	2,88	134,94	26,35	315,51	107,95	161,29	166,56	
VOILE VTA L = 3,465 m b=20 cm	T	8,18	1,00	1,00	9,18	1,00	0	6,54	9,18	9,38
	9	9,30	1,14	1,14	16,48	2,14	1,12	13,18	18,62	19,05
	8	"	"	1,03	24,71	3,17	3,58	19,82	27,95	28,58
	7	"	"	0,91	33,08	4,08	7,24	26,46	37,16	37,98
	6	"	"	0,80	41,38	4,88	11,93	33,10	46,26	47,24
	5	"	"	0,69	49,68	5,56	17,52	39,74	55,24	56,35
	4	"	"	0,59	57,98	6,13	23,85	46,38	64,11	65,34
	3	"	"	"	66,68	6,7	30,79	53,02	72,98	74,72
	2	"	"	"	74,58	7,27	38,16	59,66	81,85	83,30
	1	"	"	"	82,98	7,94	45,85	66,30	90,42	92,29
	RDC	5,81	2,17	1,08	89,69	10,01	53,68	70,95	98,7	101,70

NIV	$G_i(t)$	$P_a(t)$	$E_i(t)$ (t)	$G_i(t)$ 6	$\varphi(t)$ 1	$E$ M	$a_{\text{SE}} - E$			$a + P + E$		$a + I, 2P$	
							b	b	b	b	b	b	
T	14,13	1,45	1,45	14,23	1,45	0	14,38	15,68	15,97				
9	13,09	2,95	2,95	27,32	4,4	0,90	21,86	31,72	32,6				
8	"	"	2,65	40,41	7,05	2,89	32,33	47,46	47,87				
7	"	"	2,36	53,5	3,41	3,83	42,8	62,91	64,79				
6	"	"	2,06	66,59	11,47	3,62	53,27	78,06	80,35				
5	"	"	1,77	79,68	13,21	12,13	63,74	92,91	95,57				
4	"	"	1,47	92,77	14,41	13,25	74,21	107,48	110,62				
3	"	"	"	105,86	16,18	24,82	84,69	122,04	125,28				
2	"	"	"	118,95	17,65	30,77	95,12	136,6	140,13				
1	"	"	"	132,04	19,12	36,96	105,63	151,56	154,98				
RDC	10,65	5,36	2,68	142,69	21,8	43,27	112,15	164,49	168,85				
VOLE V <sub>TB</sub> L = 15 cm b = 2,3 m	T	3,02	0,13	0,13	8,02	0,19	0	2,42	3,20	3,24			
	9	3,84	0,23	0,23	6,86	0,46	0,50	5,49	7,32	7,41			
	8	"	"	0,25	10,7	0,71	1,61	9,56	11,21	11,55			
	7	"	"	0,22	12,54	0,93	3,25	11,63	15,47	15,66			
	6	"	"	0,20	18,38	1,13	5,36	12,7	19,51	19,74			
	5	"	"	0,17	22,22	1,30	7,87	17,78	23,52	23,78			
	4	"	"	0,14	26,06	1,44	10,71	20,85	27,50	27,79			
	3	"	"	"	29,9	1,58	13,83	23,92	31,48	31,80			
	2	"	"	"	33,74	1,72	17,14	26,93	35,46	35,8			
	1	"	"	"	37,58	1,86	20,59	30,06	39,44	39,81			
RDC	2,74	0,53	0,26	40,32	2,12	24,10	32,26	42,44	42,86				

NIV	G <sub>a</sub> (t)	P <sub>a</sub> (t)	P <sub>a(t)</sub> (t)	G <sub>b</sub>	P <sub>b</sub>	0,8G <sub>b</sub>	1G+P <sub>b</sub>	+ E	60,74-E <sub>1</sub>		60,74+E <sub>1</sub>		6G+P+E <sub>2</sub>		6G+1,2P <sub>b</sub>	
									N <sub>b</sub>	N <sub>b</sub>	N	M	N <sub>1</sub>	N <sub>1</sub>	N <sub>2</sub>	N <sub>2</sub>
T	6,128	0,564	0,56	6,13	0,56	4,90	6,69	3,66	0	1,24	9,56	6,69	6,81			
5	5,30	1,41	1,41	12,03	1,97	3,62	12,0	8,80	-3,98	1,42	13,92	22,2	12,39			
8	"	"	1,27	17,93	3,24	11,34	21,17	14,51	-5,94	-0,17	28,75	35,68	21,72			
7	"	"	1,13	23,93	4,37	19,06	28,2	23,11	-6,79	-9,14	42,12	51,31	29,07			
6	"	"	0,99	29,73	5,36	23,78	35,09	33,61	-1,12	-9,83	57,39	68,7	36,16			
5	"	"	0,85	35,63	6,21	28,60	41,14	45,74	3,73	-17,80	74,34	83,58	43,08			
4	"	"	0,70	41,53	6,91	33,22	41,44	59,00	7,07	-25,73	92,22	103,44	49,82			
3	"	"	"	47,43	7,61	37,94	56,04	72,59	18,23	-34,68	110,53	127,63	56,56			
2	"	"	"	53,33	8,31	42,66	61,64	85,07	28,04	-42,41	127,73	146,71	63,31			
1	"	"	"	59,23	9,01	47,39	68,24	94,41	43,95	-46,73	141,49	162,35	70,04			
EDC	4,956	3,68	1,34	64,09	10,35	51,27	74,44	94,41	77,52	-42,94	148,38	168,55	76,51			

NIV	$G_i(t)$	$\bar{g}_i(t)$	$\hat{g}_i(t)$	$G_i(t)$	$\bar{P}_i(t)$	$\hat{P}_i(t)$	G_i(t)		G_i(t) + P_i(t)		+ E		G_i(t) - E		G_i(t) + E		G_i(t) + P_i(t) + E		G_i(t) + P_i(t) + E	
							N	N	N	N	N	N	N	N	N	N	N	N	N	
T	8.05	0.741	0.741	9.05	0.741	0.741	6.44	9.79	0	6.22	6.44	8.79	9.94							
9	7.99	1.852	1.852	16.04	2.593	12.93	18.63	1.04	11.79	13.87	19.67	19.15								
8	"	"	1.667	24.03	4.26	19.22	28.29	3.34	15.88	22.56	31.63	29.14								
7	"	"	1.482	32.02	5.742	25.62	37.76	6.75	18.87	32.37	44.51	38.91								
6	"	"	1.296	40.01	7.032	32.01	47.03	11.13	20.88	43.14	58.18	48.46								
5	"	"	1.144	48.0	9.189	38.10	56.13	16.32	22.06	54.74	72.19	57.78								
4	"	"	0.921	55.99	9.075	49.93	68.07	24.25	22.56	67.06	87.32	66.88								
3	"	"	"	63.94	10.001	51.18	73.98	28.72	22.46	79.90	102.19	75.98								
2	"	"	"	71.74	10.922	54.55	82.90	35.6	21.98	93.72	118.5	85.08								
1	"	"	"	79.96	11.753	63.93	91.81	32.46	21.21	106.73	130.57	94.18								
RDC	6.61	3.82	1.16	96.57	13.613	69.26	102.17	50.06	19.60	119.32	150.23	102.91								

NIV	$G_i(t)$	$\bar{g}_i(t)$	$\hat{g}_i(t)$	$G_i(t)$	$\bar{P}_i(t)$	$\hat{P}_i(t)$	G_i(t)		G_i(t) + P_i(t)		+ E		G_i(t) - E		G_i(t) + E		G_i(t) + P_i(t) + E		G_i(t) + P_i(t) + E	
							N	N	N	N	N	N	N	N	N	N	N	N	N	
T	6.156	0.79	0.73	6.156	0.79	0.79	4.93	6.95	0	4.92	4.92	6.95	7.10							
9	6.116	1.111	1.111	12.272	1.901	3.82	12.17	1.04	8.78	10.86	15.21	14.55								
8	"	"	0.999	19.388	2.9	16.71	21.29	3.34	11.37	19.05	24.63	21.87								
7	"	"	0.888	29.503	3.783	19.60	28.29	6.75	12.85	26.35	35.04	29.05								
6	"	"	0.777	39.620	4.565	24.80	31.19	11.13	13.37	35.63	42.32	36.11								
5	"	"	0.666	36.736	5.231	29.39	41.93	16.34	13.05	45.73	58.31	43.01								
4	"	"	0.555	42.852	5.786	34.28	48.64	22.25	12.03	56.53	70.89	49.91								
3	"	"	"	46.958	6.341	43.17	55.31	28.72	10.45	62.89	84.03	56.58								
2	"	"	"	56.069	6.896	45.07	54.95	35.60	9.42	75.63	97.58	61.47								
1	"	"	"	65.12	7.451	55.97	65.65	42.76	6.2	91.32	111.01	70.16								
RDC	4.82	2.441	1.086	65.32	8.607	52.58	74.27	30.06	2.52	102.62	122.29	45.93								

NIV	$G_i(t)$	$P_i(t)$	$P_i(t)G_i(t)$	$\int G_i(t)$	$\int P_i(t)$	$0.8G_i$	$1G_i + P_i$	+E		$10.8G - E_f$	$10.8G + E_f$	$G_i + P_i + E_f$	$G_i + 1.2P_i$
								$N_L$	$N_R$	$N$	M	$N_R$	$N_L$
TRUMEAU 1 T	17,12	2,06	2,06	17,12	2,06	13,7	19,18	1,62	0	9,08	18,32	23,8	19,59
	16,10	4,43	4,43	33,22	6,49	26,58	39,71	10,78	-2,34	15,80	37,36	50,49	21,01
	"	"	3,99	49,32	10,48	39,46	59,80	20,19	-2,39	19,27	59,65	79,99	61,90
	"	"	3,54	65,42	14,02	52,39	79,44	33,02	0,74	19,32	85,36	112,46	82,24
	"	"	3,10	84,52	17,12	65,22	98,64	49,28	14,52	15,94	112,50	127,92	102,06
	"	"	2,66	97,62	19,48	78,10	117,40	67,93	20,21	10,17	146,03	185,33	121,36
	"	"	2,22	113,72	21,99	99,88	135,71	88,46	30,55	2,52	173,44	224,47	140,11
	"	"	"	129,82	24,21	103,86	154,03	110,02	26,21	-6,16	213,88	264,05	158,87
	"	"	"	145,92	26,42	116,74	172,34	130,55	59,58	-13,81	247,29	302,89	173,62
	"	"	"	162,02	28,64	129,62	190,66	145,95	80,02	-16,33	275,57	336,61	196,39
RDC	15,49	6,89	3,45	174,51	32,09	142,01	203,60	145,95	113,05	-3,94	283,96	355,55	216,02
TRUMEAU 2 T	25,31	2,91	2,91	25,31	2,91	20,25	28,22	4,62	0	15,63	24,87	32,84	28,80
	24,43	6,12	6,12	49,74	9,03	39,79	58,74	10,78	-13,26	29,01	50,57	63,55	60,58
	"	"	5,51	44,17	14,54	59,34	88,71	20,19	-13,72	39,15	70,53	108,90	91,92
	"	"	4,90	98,60	19,44	78,88	118,04	33,02	4,22	45,86	111,90	151,06	124,93
	"	"	4,28	123,03	23,72	98,42	146,75	49,28	83,59	49,14	147,30	196,03	151,49
	"	"	3,67	147,46	27,39	147,92	174,85	67,93	116,11	50,04	185,90	242,78	180,33
	"	"	3,06	171,89	30,45	137,51	202,34	88,46	175,49	49,05	225,97	290,80	208,03
	"	"	"	196,32	33,51	157,06	229,83	110,02	265,47	47,04	267,08	339,85	236,53
	"	"	"	220,75	36,57	176,60	257,32	130,55	342,27	46,05	307,15	377,87	261,63
	"	"	"	245,18	39,63	196,14	284,81	145,95	459,70	50,19	342,09	430,76	294,74
RDC	21,98	11,0	5,5	267,16	45,13	213,73	312,29	145,95	649,43	67,48	359,68	459,24	321,32

L = 13,495 m b = 15 cm

VTE 6

## TRUMEAU 2 R = 7,065 m

## TRUMEAU 1 R = 4,965 m

NIV	G <sub>i</sub> (t)	P <sub>i</sub> (t)	P <sub>i</sub> (d)(t)	G <sub>b</sub> (t)	P <sub>b</sub> (t)	0,8G <sub>b</sub>	G <sub>b</sub> +P <sub>b</sub>	+E	10,8G-E†	10,8G+E†	G <sub>b</sub> +P <sub>b</sub> E†	G <sub>b</sub> +G <sub>b</sub> P <sub>b</sub>	
						N†	N†	N	M	N†	N†	N†	
T	14,09	1,582	1,582	14,09	1,582	11,27	15,67	4,08	0	7,19	15,35	19,75	15,99
9	13,43	3,17	2,17	26,86	4,752	21,49	31,61	8,64	-0,91	12,85	30,13	40,25	32,56
7	"	"	2,853	20,29	7,605	32,23	47,90	14,31	0,17	17,92	46,54	62,21	49,42
6	"	"	2,536	53,72	10,101	22,98	63,87	21,33	1,74	21,65	64,31	85,20	65,89
5	"	"	2,219	67,15	12,36	53,72	73,51	29,59	5,61	21,13	83,31	109,10	81,98
4	"	"	1,902	80,58	14,26	62,46	94,84	38,18	11,51	25,66	107,26	133,64	97,69
3	"	"	1,585	94,01	15,847	75,21	109,86	48,48	14,96	26,73	123,69	158,34	113,03
2	"	"	"	107,00	17,432	85,95	124,84	58,06	28,28	27,89	144,04	182,93	128,36
1	"	"	"	120,87	19,017	96,70	139,89	66,28	43,27	30,42	162,98	206,17	143,69
RDC	12,39	5,733	2,867	146,69	23,069	117,35	170,16	71,78	90,09	45,57	189,13	241,94	174,86

NIV	G <sub>i</sub> (t)	P <sub>i</sub> (t)	P <sub>i</sub> (d)(t)	G <sub>b</sub> (t)	P <sub>b</sub> (t)	0,8G <sub>b</sub>	G <sub>b</sub> +P <sub>b</sub>	+E	10,8G-E†	10,8G+E†	G <sub>b</sub> +P <sub>b</sub> E†	G <sub>b</sub> +G <sub>b</sub> P <sub>b</sub>	
						N‡	N‡	N	M	N†	N†	N†	
T	21,471	2,508	2,508	21,471	2,508	17,18	23,98	4,08	0	13,11	21,26	28,06	22,49
9	19,196	5,903	5,903	40,667	8,011	32,53	49,08	8,64	-2,62	23,89	41,17	57,72	50,76
7	"	"	5,313	59,763	13,721	47,89	73,89	14,31	0,50	33,58	62,20	97,90	76,33
6	"	"	4,722	79,059	18,046	63,25	97,51	21,33	13,20	21,92	74,58	118,84	102,13
5	"	"	4,132	98,255	22,578	78,60	120,83	29,59	16,22	43,01	108,19	150,42	125,35
4	"	"	3,542	117,451	26,42	93,96	143,57	38,8	33,25	55,16	132,76	182,37	148,81
3	"	"	2,952	136,647	29,072	109,32	165,42	49,48	43,23	60,84	157,80	214,20	171,53
2	"	"	"	155,843	32,024	121,67	197,87	58,06	91,72	66,61	182,73	245,93	194,27
1	"	"	"	175,039	34,976	140,03	210,02	66,28	125,04	73,75	206,31	246,30	217,01
RDC	18,425	9,461	4,731	212,66	42,659	170,13	255,32	71,78	260,36	98,35	241,91	324,10	263,85

Niv	G <sub>i</sub> (t)	P <sub>i</sub> (t)	P <sub>i(d)</sub> (t)	G <sub>b</sub> (t)	P <sub>b</sub> (t)	0,8 G <sub>b</sub>	G <sub>b</sub> +P <sub>b</sub>	+ E		10,84-E <sub>1</sub>	10,84+E <sub>1</sub>	G <sub>b</sub> +P <sub>b</sub> E <sub>1</sub>	G <sub>b</sub> +P <sub>b</sub> E <sub>2</sub>
								N <sub>b</sub>	N <sub>b</sub>	N	M	N <sub>b</sub>	N <sub>b</sub>
T	7,54	1,09	1,08	7,54	1,08	6,03	8,62	23	0	3,73	6,03	10,92	8,84
9	7,32	1,16	1,16	14,76	2,24	11,89	17,1	5,02	-1,35	6,87	16,91	22,12	17,58
8	"	"	1,04	22,19	3,28	17,74	25,46	9,42	-1,24	9,32	26,16	33,78	26,12
7	"	"	0,93	29,5	4,21	23,6	33,71	12,96	-0,14	10,64	36,56	46,67	34,55
6	"	"	0,81	36,82	5,02	29,46	41,84	18,41	1,16	11,05	47,87	60,25	42,74
5	"	"	0,70	44,14	5,12	35,31	49,86	24,58	3,20	10,73	59,89	74,44	51,04
4	"	"	0,58	51,46	6,3	41,17	57,76	33,24	5,21	7,93	74,41	91,0	59,02
3	"	"	"	58,78	6,89	47,02	65,66	40,08	9,48	6,94	87,1	105,74	67,04
2	"	"	"	66,1	7,46	52,98	73,56	46,13	13,47	6,75	99,01	119,69	75,05
1	"	"	"	73,42	8,04	58,74	81,46	50,25	20,3	8,49	108,99	131,71	83,07
RDC	5,23	2,20	1,10	79,65	9,14	62,92	97,79	50,25	29,32	12,67	113,17	138,04	99,62

Niv	G <sub>i</sub> (t)	P <sub>i</sub> (t)	P <sub>i(d)</sub> (t)	G <sub>b</sub> (t)	P <sub>b</sub> (t)	0,8 G <sub>b</sub>	G <sub>b</sub> +P <sub>b</sub>	+ E		10,84-E <sub>1</sub>	10,84+E <sub>1</sub>	G <sub>b</sub> +P <sub>b</sub> E <sub>1</sub>	G <sub>b</sub> +P <sub>b</sub> E <sub>2</sub>
								N <sub>b</sub>	N <sub>b</sub>	N	M	N <sub>b</sub>	N <sub>b</sub>
T	12,05	1,70	1,70	12,05	1,70	9,64	13,75	23	0	7,34	11,94	16,05	14,09
9	11,12	2,32	2,32	23,14	4,02	18,54	27,49	5,02	-6,20	13,52	23,56	32,21	27,99
8	"	"	2,09	34,29	6,11	27,23	40,4	9,42	-5,68	19,01	35,85	48,82	41,62
7	"	"	1,86	45,41	7,97	36,33	53,38	12,96	-0,63	23,37	49,29	66,34	54,97
6	"	"	1,62	56,53	9,59	45,82	66,12	18,1A	5,33	26,81	63,63	94,53	68,04
5	"	"	1,39	67,65	10,38	54,12	78,63	24,58	14,68	29,54	78,70	103,21	80,83
4	"	"	1,16	78,77	12,14	63,01	90,91	33,24	23,92	29,77	96,25	124,15	93,34
3	"	"	"	89,89	13,3	71,91	103,19	40,08	43,54	31,83	111,93	143,27	105,85
2	"	"	"	101,01	14,46	80,81	115,47	46,13	61,95	34,68	126,94	161,60	119,36
1	"	"	"	112,13	15,62	89,40	127,77	50,25	93,27	39,45	139,95	178,00	130,87
RDC	8,97	4,13	2,06	121,10	17,68	96,88	138,48	50,25	137,74	46,63	147,13	189,03	142,32

NIV	G <sub>i</sub>	P <sub>i</sub>	P <sub>i</sub> (d)	G <sub>b</sub>	P <sub>b</sub>	↓G+P <sub>b</sub>		+ E		↓G-E <sub>b</sub>		↓G+E <sub>b</sub>		↓G+P <sub>b</sub> +E <sub>b</sub>	
						N <sub>b</sub>	N <sub>b</sub>	N	M	N <sub>b</sub>	N <sub>b</sub>	N <sub>b</sub>	N <sub>b</sub>	N <sub>b</sub>	N <sub>b</sub>
T	19,14	2,03	2,03	19,14	2,03	15,31	21,17	0	0	15,31	15,31	21,47	21,58		
9	18,69	4,18	4,18	33,73	6,18	30,26	48,04	3,63	-20,45	26,63	33,89	47,64	45,28		
7	"	"	3,73	19,52	9,91	47,62	69,93	10,01	-30,33	33,61	57,63	79,44	71,41		
4	"	"	3,32	15,21	13,23	60,17	88,44	18,19	-38,75	41,27	79,07	107,34	91,09		
6	"	"	2,90	93,9	16,13	75,12	110,03	30,1	-31,94	45,02	105,22	140,13	113,26		
5	"	"	2,49	142,59	18,62	30,07	131,21	43,22	-21,92	46,85	133,23	174,43	134,93		
4	"	"	2,07	131,18	20,69	105,02	181,91	57,94	-16,04	47,18	162,76	209,84	156,11		
3	"	"	"	149,91	22,46	119,98	172,73	73,61	0,80	46,37	193,59	246,37	147,26		
2	"	"	"	168,46	24,83	134,93	193,49	90,26	5,75	44,67	226,19	293,78	198,46		
1	"	"	"	189,36	26,30	149,88	214,25	107,49	16,04	42,59	254,37	324,74	219,63		
RDC	15,24	7,88	3,94	202,62	30,74	178,31	233,46	125,02	106,64	53,29	303,33	358,48	239,63		

NIV	G <sub>i</sub>	P <sub>i</sub>	P <sub>i</sub> (d)	G <sub>b</sub>	P <sub>b</sub>	↓G+P <sub>b</sub>		+ E		↓G-E <sub>b</sub>		↓G+E <sub>b</sub>		↓G+P <sub>b</sub> +E <sub>b</sub>	
						N <sub>b</sub>	N <sub>b</sub>	N	M	N <sub>b</sub>	N <sub>b</sub>	N <sub>b</sub>	N <sub>b</sub>	N <sub>b</sub>	N <sub>b</sub>
T	2,80	0,25	0,25	2,8	0,25	2,24	3,05	0	0	2,24	2,24	3,05	3,1		
9	2,53	0,63	0,63	5,33	0,88	4,26	6,21	0,13	-0,03	4,13	4,39	6,34	6,39		
7	"	"	0,57	7,86	1,48	6,29	9,31	0,29	-0,04	6,00	6,59	9,6	9,60		
6	"	"	0,44	12,92	2,39	10,34	15,31	0,76	-0,04	9,58	11,10	16,07	16,79		
5	"	"	0,38	15,45	2,77	12,36	18,22	1,06	-0,03	11,30	13,42	19,28	19,34		
4	"	"	0,32	17,97	3,09	14,38	21,07	1,39	-0,02	12,99	15,77	22,46	21,69		
3	"	"	"	29,51	3,41	16,41	23,32	1,73	0,001	14,68	18,14	25,65	24,6		
2	"	"	"	23,04	3,73	18,43	26,77	2,1	0,008	16,33	20,53	28,87	26,52		
1	"	"	"	26,57	4,05	20,46	29,62	2,48	0,02	17,98	22,94	32,10	30,63		
RDC	2,00	1,20	0,16	27,57	4,66	22,06	32,22	2,97	0,15	19,09	25,03	35,19	33,15		

NIV	G <sub>i</sub>	P <sub>i</sub>	P <sub>i</sub> (d)	G <sub>b</sub>	P <sub>b</sub>	↓G+P <sub>b</sub>		+ E		↓G-E <sub>b</sub>		↓G+E <sub>b</sub>		↓G+P <sub>b</sub> +E <sub>b</sub>	
						N <sub>b</sub>	N <sub>b</sub>	N	M	N <sub>b</sub>	N <sub>b</sub>	N <sub>b</sub>	N <sub>b</sub>	N <sub>b</sub>	N <sub>b</sub>
T	4,39	0,39	0,39	4,39	0,39	3,39	5,38	0	0	3,39	3,39	5,38	5,46		
9	5,64	0,94	0,94	10,63	1,36	8,5	11,99	3,76	-1,72	4,74	12,26	15,75	12,26		
7	"	"	0,87	16,27	2,83	13,02	18,5	10,30	-2,56	2,72	23,32	28,8	18,95		
6	"	"	0,77	21,91	3,04	17,53	24,92	19,4	-3,26	-1,87	36,93	44,32	35,52		
5	"	"	0,69	23,55	3,69	22,04	31,24	30,86	-2,58	-8,82	52,90	62,10	31,98		
4	"	"	0,59	33,19	4,27	26,55	37,46	44,28	-1,84	-17,73	70,83	81,74	39,31		
3	"	"	"	44,47	5,24	35,58	49,71	75,34	0,02	-39,76	110,92	125,05	50,76		
2	"	"	"	50,11	5,73	40,09	55,94	92,36	0,48	-52,27	132,45	148,20	56,99		
1	"	"	"	55,75	6,21	44,16	61,96	109,97	1,35	-61,37	152,57	171,93	63,20		
RDC	4,17	1,85	0,96	59,92	7,44	47,94	67,06	127,99	8,196	-80,05	176,93	195,05	68,89		

NIV	Gi	Pi	P <sub>101</sub>	G <sub>b</sub>	P <sub>b</sub>	0,8G <sub>b</sub>	1G <sub>b</sub> +P <sub>b</sub>	+ E				10,8G-E9	10,8G+E9	G <sub>b</sub> +P <sub>b</sub> +E9	1G+1,2P
								N <sub>b</sub>	N <sub>b</sub>	N	M				
								N <sub>b</sub>	N <sub>b</sub>	N <sub>b</sub>	N <sub>b</sub>				
T	11,25	1,38	1,38	11,25	1,38	9,0	12,63	0	0	9	9	12,63	12,91		
9	11,07	2,17	2,17	22,32	3,65	17,86	25,87	3,65	-6,78	14,21	21,81	29,52	26,57		
8	"	"	"	1,95	33,39	5,5	26,71	38,89	9,99	-8,48	16,72	36,6	48,88	39,99	
7	"	"	"	1,74	44,46	7,24	35,57	51,70	19,49	-19,36	16,78	54,36	70,49	58,16	
6	"	"	"	1,52	55,53	9,76	44,42	64,29	28,89	-15,96	14,83	74,31	94,48	66,04	
5	"	"	"	1,30	66,6	10,06	53,28	76,66	42,87	-10,98	10,41	96,45	119,53	78,67	
4	"	"	"	1,08	77,67	11,14	62,14	98,81	57,33	-8,01	4,81	119,47	116,44	91,04	
3	"	"	"	99,74	12,22	20,99	100,96	72,92	0,4	-1,93	143,31	173,88	103,40		
2	"	"	"	99,71	13,3	29,85	113,11	99,41	4,54	-3,56	169,26	202,52	115,77		
1	"	"	"	110,88	14,38	98,70	126,26	106,45	9,01	-17,75	195,15	231,71	128,44		
RDC	9,84	4,00	2,00	119,42	16,53	95,54	135,80	123,98	30,98	-28,31	819,42	259,68	139,08		

NIV	Gi	Pi	P <sub>101</sub>	G <sub>b</sub>	P <sub>b</sub>	0,8G <sub>b</sub>	1G <sub>b</sub> +P <sub>b</sub>	+ E				10,8G-E9	10,8G+E9	G <sub>b</sub> +P <sub>b</sub> +E9	1G+1,2P
								N <sub>b</sub>	N <sub>b</sub>	N	M				
								N <sub>b</sub>	N <sub>b</sub>	N <sub>b</sub>	N <sub>b</sub>				
T	10,62	1,01	1,01	10,62	1,01	8,50	11,63	0	0	9,50	9,50	11,63	11,73		
9	11,24	2,89	2,89	21,86	3,9	17,19	25,72	-0,54	-3,99	18,03	16,95	25,22	26,86		
8	"	"	"	2,60	33,1	6,5	26,48	39,6	-1,39	-4,92	21,87	25,09	38,21	40,9	
7	"	"	"	2,31	44,32	9,81	35,67	53,15	-2,54	-11,24	39,01	32,93	50,61	54,91	
6	"	"	"	2,02	55,58	10,73	44,46	66,41	-4,00	-9,26	48,46	40,46	62,41	68,58	
5	"	"	"	1,73	66,82	12,56	53,46	73,38	-5,69	-6,36	53,15	44,77	73,69	81,99	
4	"	"	"	1,44	78,06	14,0	62,45	92,06	-7,57	-8,65	70,12	54,88	84,49	94,86	
3	"	"	"	99,3	15,44	71,04	104,74	-9,58	0,23	81,02	61,86	95,16	107,83		
2	"	"	"	100,54	16,88	80,43	117,42	-11,41	2,64	92,14	68,72	105,71	120,81		
1	"	"	"	111,78	17,82	83,42	130,10	-13,92	4,65	103,34	75,5	116,18	133,76		
RDC	9,99	4,85	2,42	120,67	29,76	96,54	121,41	-16,22	13,99	112,76	80,38	125,19	145,56		

NIV	Gi	Pi	P <sub>101</sub>	G <sub>b</sub>	P <sub>b</sub>	0,8G <sub>b</sub>	1G <sub>b</sub> +P <sub>b</sub>	+ E				10,8G-E9	10,8G+E9	G <sub>b</sub> +P <sub>b</sub> +E9	1G+1,2P
								N <sub>b</sub>	N <sub>b</sub>	N	M				
								N <sub>b</sub>	N <sub>b</sub>	N <sub>b</sub>	N <sub>b</sub>				
T	9,99	"	1,01	9,99	1,01	7,19	10,06	0	0	7,19	7,19	10,06	10,27		
9	10,42	"	1,23	19,41	2,3	15,29	21,61	3,11	-10,78	12,18	18,4	24,52	24,87		
8	"	"	"	1,11	29,28	3,41	23,38	32,64	8,6	-13,29	14,78	31,98	41,24	33,32	
7	"	"	"	0,98	39,35	4,89	31,48	43,74	16,25	-30,36	15,23	47,73	59,99	44,62	
6	"	"	"	0,86	49,47	5,25	39,58	54,72	25,83	-25,02	13,69	65,47	80,61	55,71	
5	"	"	"	0,74	59,59	5,99	47,67	65,78	37,18	-17,17	10,49	84,85	102,76	66,78	
4	"	"	"	0,61	69,74	6,6	55,77	76,31	49,76	-12,56	6,01	105,53	126,07	77,63	
3	"	"	"	79,73	7,21	63,86	87,04	63,34	0,63	0,52	127,80	150,38	88,48		
2	"	"	"	99,5	7,82	71,96	97,44	77,7	7,12	-6,14	149,26	175,47	92,73		
1	"	"	"	100,07	8,02	80,06	108,54	92,53	12,56	-12,47	172,59	201,07	110,23		
RDC	6,75	2,34	1,17	106,82	9,6	95,46	116,82	107,66	48,57	-22,2	193,42	224,07	118,34		

- 105 -

Distribution des efforts tranchants dans les voiles

$$H_0 = 285,26 \text{ t}$$

Sens	voiles	%	N: RDC T <sub>i</sub> (t)
VOILES TRANSVERSAUX	V <sub>T1</sub>	0,98	2,8
	V <sub>T2</sub>	18,16	51,803
	V <sub>T3</sub>	2,87	8,19
	V <sub>T4(1)</sub>	26,32	75,08
	V <sub>T4(2)</sub>	0,49	2,25
	V <sub>T5</sub>	38,79	110,65
	V <sub>T6</sub>	16,98	48,437
	V <sub>T7</sub>	8,73	23,876
VOILES LONGITUDINAUX	V <sub>T8</sub>	0,44	1,26
	V <sub>L1</sub>	10,71	30,55
	V <sub>L2</sub>	22,16	63,214
	V <sub>L3</sub>	2,476	7,06
	V <sub>L4</sub>	31,13	88,80
	V <sub>L5</sub>	11,72	33,432
	V <sub>L6</sub>	11,72	33,432
	V <sub>L7(1)</sub>	5,21	14,86
	V <sub>L7(2)</sub>	0,96	2,74
	V <sub>L8</sub>	5,76	16,43

#### A/ VOILE V<sub>T2</sub>: a/ Trumeau 1

la sollicitation 0,8G<sub>1</sub>-E nous donne

$$N_{\min} = 53,29 \text{ t}$$

$$M_{\max} = 106,64 \text{ t.m}$$

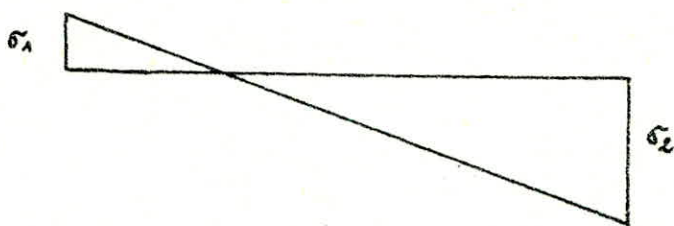
#### 1/ calcul des contraintes :

$$\sigma_1 = \frac{N}{S} - \frac{M}{W} = \frac{53,29 \cdot 10^3}{20 \times 536,5} - \frac{106,64 \cdot 10^5 \times 6}{20 \times (536,5)^2} = -6,14 \text{ kg/cm}^2$$

$$\sigma_2 = \frac{N}{S} + \frac{M}{W} = " + " = 16,08 \text{ kg/cm}^2$$

donc section partiellement comprimée.

#### 2/ diagramme des contraintes



#### 3/ Longueur de la zone tendue :

$$y = \frac{\sigma_1}{\sigma_1 + \sigma_2} \times l = \frac{6,14}{6,14 + 16,08} \times 8,365 = 1,48 \text{ m.}$$

#### 4/ Calcul de la force moyenne de la zone tendue :

$$F = \sigma_1 \times \frac{2}{3} y \times b = 6,14 \cdot \frac{2}{3} \cdot 148 \times 20 = 12116,27 \text{ kg.}$$

on applique alors cette force dans le potelet et on trouve la section d'aciéries :

$$A = \frac{F}{\sigma_2} = 2,88 \text{ cm}^2$$

le ferrailage minimum dans le potelet donne une section qui est :

$$A_{\min} = 1/100 \cdot 30 \times 20 = 6 \text{ cm}^2$$

on constate que  $A_{\min} > A_{\text{cal}}$  donc on adoptera pour le potelet qui est allié zone 1 . AT14.

donc on aura de part et d'autre du trumeau :

$$\text{zone 1} = \text{zone } 1' \quad A = 4T14$$

Si pour la zone 2 qui n'est rien d'autre que la partie courante le ferrailage se fait comme suit :

on calcule :

$$T_b = \frac{1,14 T}{b \cdot \delta} \quad \text{avec} \quad T = 26,53 \text{ t}$$

$$\delta = 20 \text{ cm}$$

$$\delta = \frac{3}{8}(t - d) = \frac{3}{8}(536,5 - 25)$$

$$\text{d'où} \quad T_b = \frac{1,14 \cdot 26,53 \cdot 10^3}{20 \times \frac{3}{8}(536,5 - 25)} = 4,14 \text{ kg/cm}^2$$

on a  $T_b < 6,75 \text{ kg/cm}^2 = 0,025 \text{ S}_{\text{eff}}$  donc on prendra 0,15% dans chaque direction.

$$A = 0,15 \times 20 = 3 \text{ cm}^2 \Rightarrow \text{ST10 parmetre par face}$$

on adoptera pour la zone 2 ST10 parmetre par face.  
avec un espacement  $e = 20 \text{ cm}$  ce dernier sera reduit de moitié à  $\frac{1}{10}$  à partir de chaque extrémité du trumeau.

### 6/ vérification des contraintes:

On vérifiera nos contraintes sous G+P+E avec  
 $N = 358,28 \text{ t}$  et  $M = 106,64 \text{ t.m.}$

$$\text{on a } A = A' = 6,16 \text{ cm}^2 \quad d = d' = 25 \text{ cm} \quad b = 20 \text{ cm} \quad h_t = 536,5 \text{ cm}$$

$$y_1 = y_2 + c \quad \text{et} \quad c = \frac{h_t}{2} - \frac{M}{N}$$

$$\text{on a } e_0 = \frac{M}{N \cdot e} = 29,75 \text{ cm} < e_1 = \frac{h_t}{2} = 89,42 \text{ cm} \Rightarrow \text{S.E.C.}$$

où on doit calculer  $\sigma'_b$ , et  $\sigma'_{b_2}$

$$6.1/ \quad \bar{\sigma}'_b = 1,6 \sigma'_b (1 + e_0 / e_1) = 1,6 \cdot 68,5 (1 + 29,75 / 89,42) = 114,145 \text{ kg/cm}^2.$$

$$\bar{\sigma}_a = \bar{\sigma}'_a = 4200 \text{ kg/cm}^2.$$

$$6.2/ \quad \bar{\sigma}_a = \bar{\sigma}_2 = \frac{h_t}{e} = 268,25 \text{ cm.} \quad w'_1 = w'_2 = w = \frac{A}{b \cdot h_t} = 6 \cdot 10^{-4}$$

$$d' = 8h_t \Rightarrow s = \frac{d'}{h_t} = 0,028$$

$$B'_0 = b \cdot h_t (1 + 30 \times w) = 10923,14 \text{ cm}^2$$

$$I = \frac{b \cdot h_t^3}{12} + 30 \cdot w \cdot b \cdot h_t (\frac{h_t}{2} - 8h_t)^2 = 257.418.912 \text{ cm}^4$$

6.3/

$$\sigma'_b = \frac{358,48 \cdot 10^3}{10923,14} \pm \frac{106,64 \cdot 10^5}{257.418.912} \times 268,25 \begin{cases} \sigma'_{b_1} = 43,93 \text{ kg/cm}^2 < \bar{\sigma}_b \\ \sigma'_{b_2} = 21,41 \text{ kg/cm}^2 < \bar{\sigma}_b \end{cases}$$

$$\sigma'_a = 15 \left( \frac{N}{B_b} \pm \frac{M_a}{I} (w - d') \right) \begin{cases} \sigma'_{a_1} = 650 \text{ kg/cm}^2 < \bar{\sigma}_a \\ \sigma'_{a_2} = 335 \text{ kg/cm}^2 < \bar{\sigma}_a \end{cases}$$

## b/ TRUMEAU 2

on a  $0,86 \text{ t-E}$  qui nous donne

$$N_{\min} = 19,09 \text{ t.}$$

$$M_{\max} = 0,15 \text{ t.m.}$$

## 1/ calcul des contraintes

$$\sigma_1 = \frac{N}{S} - \frac{M}{W} = \frac{19,09 \cdot 10^3}{20 \times 60} - \frac{0,15 \cdot 10^3}{20 \times 60^2} \times 6 = 14,66 \text{ kg/cm}^2$$

$$\sigma_2 = \frac{N}{S} + \frac{M}{W} = " + " = 17,16 \text{ kg/cm}^2$$

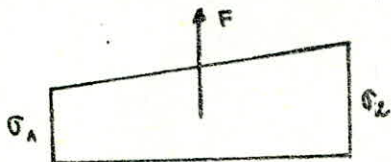
on a une section entièrement comprimée

le ferrailage de ce trumeau se fera comme le ferrailage d'un poteau et ce du fait que les dimensions de ce trumeau sont réduites ( $20 \times 60$ ).

d'où on utilisera le ferrailage minimum d'un poteau pour le comparer au ferrailage trouvé.

$$A_{\min} = \frac{1}{100} \cdot b \cdot h_t = \frac{1}{100} \times 20 \times 60 = 12 \text{ cm}^2$$

## 2/ calcul de la force.



$$F = \frac{\sigma_1 + \sigma_2}{2} \times l \times b = \frac{14,66 + 17,16}{2} \times 60 \times 20$$

$$F = 19092 \text{ kg.}$$

$$\Rightarrow A = \frac{F}{\sigma_a} = 1,646 \text{ cm}^2$$

donc  $A_{\min} > A_{\text{cal}}$  d'où la section à prendre en compte est de :

BT12 avec un espacement  $e = 18 \text{ cm.}$

## 3/ vérification des contraintes

$$G+P+E \Rightarrow \begin{cases} N' = 35,19 \text{ t} \\ M = 0,15 \text{ t.m.} \end{cases} \quad e_0 = 0,426 \text{ cm} < \frac{h_t}{6} = e_i = 10 \text{ cm} \quad S.E.$$

$$\bar{\sigma}'_b = 104,23 \text{ kg/cm}^2 \quad \bar{\sigma}'_a = \bar{\sigma}_a = 4200 \text{ kg/cm}^2$$

$$3.1 / \quad \sigma'_1 = \sigma'_2 = 30 \text{ cm} \quad \bar{\omega}'_1 = \bar{\omega}'_2 = w = \frac{A}{b \cdot h_t} = 0,0075 \quad \delta = \frac{d'}{h_t} = 0,05$$

$$B'_0 = 1470 \text{ cm}^2 \quad I = 556.830 \text{ cm}^4$$

$$3.2 / \quad \sigma'_b = \frac{N'}{B'_0} \pm \frac{M a}{I} \quad \left\{ \begin{array}{l} \sigma'_{b_1} = 24,75 \text{ kg/cm}^2 < \bar{\sigma}'_b \\ \sigma'_{b_2} = 23,13 \text{ kg/cm}^2 < \bar{\sigma}'_b \end{array} \right.$$

$$\sigma'_a = 18 \left( \frac{N'}{B'_0} \pm \frac{M a}{I} (v' \cdot d) \right) \quad \left\{ \begin{array}{l} \sigma'_{a_1} = 370 \text{ kg/cm}^2 < \bar{\sigma}'_a \\ \sigma'_{a_2} = 348,2 \text{ kg/cm}^2 < \bar{\sigma}'_a \end{array} \right.$$

TRUMEAU 3

on a  $0,8G-E$  nous donne

$$N_{\min} = -80,056$$

$$M_{max} 8,96 \text{ t.m}$$

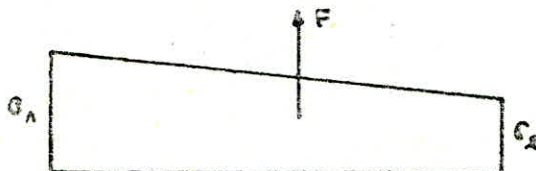
1/ calcul des contraintes.

$$\sigma_1 = \frac{N}{A} + \frac{M}{W} = \frac{-80,056 \cdot 10^3}{20 \times 246} - \frac{8,96 \cdot 10^5}{20 \times 246^2} \times 6 = -20,41 \text{ kg/cm}^2$$

$$\sigma_2 = \frac{N}{S} + \frac{M}{W} = " + " = -11,83 \text{ kg/cm}^2$$

donc on est dans un cas où la section est entièrement tendue

2/ calcul de la force: F



$$F = \frac{\sigma_1 + \sigma_2}{2} \times b \cdot h = 80048,4$$

$$\text{donc } A = \frac{F}{\sigma_1} = 19,06 \text{ cm}^2$$

$$\text{or } A_{\min} = 0,8 / 100 \times 20 \times l = 24,8 \text{ cm}^2$$

d'où  $A_{\min} > A_{\text{cal}}$

on disposera alors :

zone 1 = zone 1' : 4T12

et

zone 2 : 20T10

avec un espacement de 20cm qui se réduit de moitié à  $\frac{l}{10}$ .

3/ vérification des contraintes

$$G+P+E \rightarrow \left\{ \begin{array}{l} N' = 198,06 \text{ t.} \\ M = 8,96 \text{ t.m} \end{array} \right. \quad e_0 = 4,89 \text{ cm} \quad \epsilon_{e_1} = \frac{h_1}{6} = 41 \text{ cm} \quad S.E.C$$

$$3,1 / \bar{\sigma}_b = 106,58 \text{ kg/cm}^2 \quad \bar{\sigma}'_a = \bar{\sigma}_a = 4200 \text{ kg/cm}^2$$

$$3,2 / \bar{\sigma}'_a = \bar{\sigma}_a = 123 \text{ cm} \quad \tilde{w}'_a = \tilde{w}_a = w = \frac{A}{b \cdot h} = 0,0003 \quad \delta = \frac{\bar{\sigma}'}{E_0} = 0,76$$

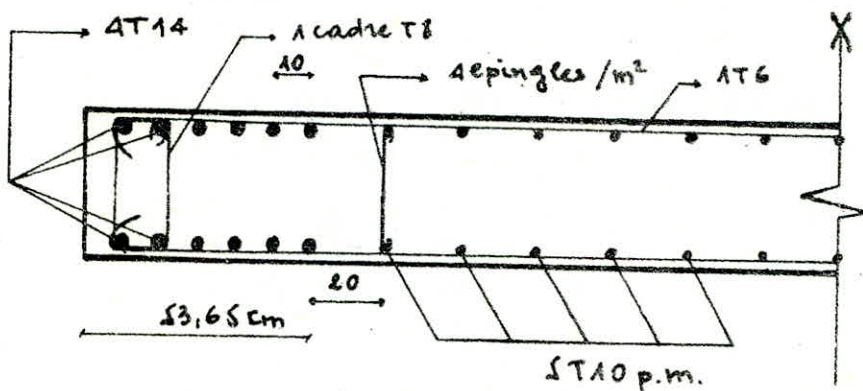
$$B'_0 = 5,052,84 \text{ cm}^2 \quad I = 26,439,446,45$$

3.3/

$$\sigma'_b = \frac{N'}{B'_0} + \frac{M g_A}{I} \cdot r' \quad \left\{ \begin{array}{l} \sigma'_{b_1} = 42,47 \text{ kg/cm}^2 < \bar{\sigma}'_b \\ \sigma'_{b_2} = 34,43 \text{ kg/cm}^2 < \bar{\sigma}'_b \end{array} \right.$$

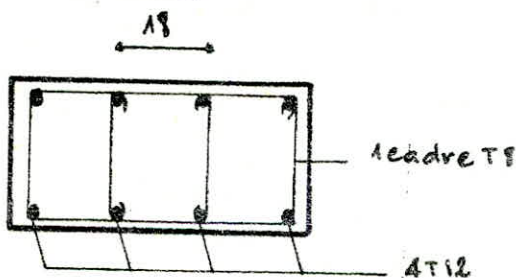
$$\bar{\sigma}'_a = 15 \left( \frac{N'}{B'_0} + \frac{M g_a}{I} (r' + d) \right) \quad \left\{ \begin{array}{l} \sigma'_{a_1} = 635,3 \text{ kg/cm}^2 < \bar{\sigma}'_a \\ \sigma'_{a_2} = 523 \text{ kg/cm}^2 < \bar{\sigma}'_a \end{array} \right.$$

a/ TRUMEAU 1

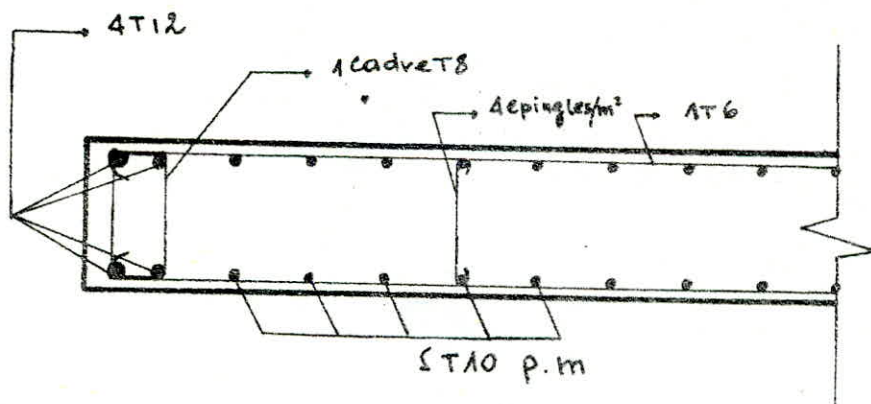


ferraillage symétrique.

b/ TRUMEAU 2



c/ TRUMEAU 3.



-111-

## B/Voile VT<sub>A</sub> (voile plein)

ferraillage à la base du voile.

$$08G-E \rightarrow \begin{cases} N_{\min} = 70,95 t \\ M_{\max} = 53,68 t.m. \end{cases}$$

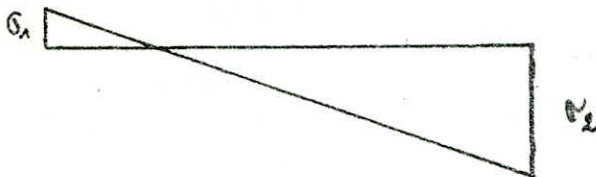
### 1/ Calcul des contraintes:

$$\sigma_1 = \frac{N}{S} - \frac{M}{W} = \frac{70,95 \cdot 10^3}{20 \times 346,5} - \frac{53,68 \cdot 10^5}{20 \times (346,5)^2} \times 6 = -3,17 \text{ kg/cm}^2$$

$$\sigma_2 = \frac{N}{S} + \frac{M}{W} = " + " = 23,65 \text{ kg/cm}^2$$

$\Rightarrow S.P.C.$

### 2/ Diagramme des contraintes



### 3/ Longueur de la zone tendue

$$y = \frac{\sigma_2}{\sigma_1 + \sigma_2} \times l = 0,41 \text{ m.}$$

### 4/ Calcul de la force moyenne de la zone tendue :

$$F = \sigma_1 \times \delta / g \cdot y \cdot b = 1732,93 \text{ kg.}$$

- cette force sera appliquée dans le potelet et on trouve une section d'accès:

$$A = \frac{F}{\sigma_{\text{t}} \cdot g} = 0,42 \text{ cm}^2$$

pour  $A_{\min} = 1/100 \times 30 \times 20 = 6 \text{ cm}^2$  donc on disposera 4T14 dans le potelet  
potelet : zone 1 = zone 1'  $\rightarrow$  4T14.

- en zone 2 on procédera de la manière suivante:

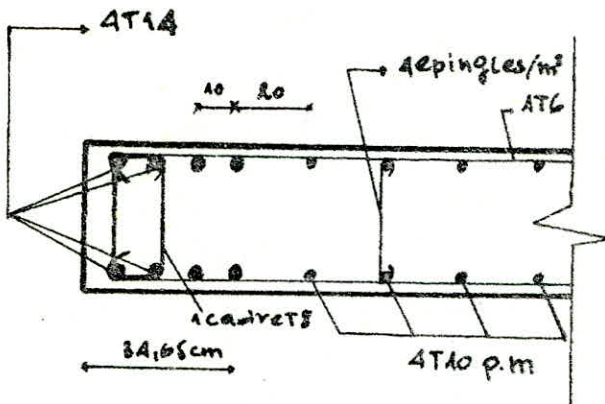
$$\tau_b = \frac{1,4 T}{b \cdot z} = 0,68 \text{ kg/cm}^2 < 6,75 \text{ kg/cm}^2$$

donc on prendra 0,15% dans chaque direction

-112-

donc  $A = 0,16 \times 20 = 3 \text{ cm}^2 \Rightarrow 4\text{T10 p.m. et par face}$

on adoptera alors pour la zone 2 4T10 p.m. avec un espace de  $e = 20 \text{ cm}$  ce dernier sera réduit de moitié à  $\frac{1}{2}e$  et ce à partir de chaque extrémité du voile.



### S/ vérification des contraintes:

$$q + P + E \rightarrow \begin{cases} N = 98,8 \text{ t} \\ M = 53,68 \text{ t.m} \end{cases} \quad e_a = \frac{M}{N} = 54,8 \text{ cm} < e_A = \frac{16}{2} = 87,75 \text{ cm}$$

S.1/  $\bar{\sigma}_b' = 135,01 \text{ kg/cm}^2 \quad \bar{\sigma}_a' = \bar{\sigma}_a = 4200 \text{ kg/cm}^2$  S.E.C.

S.2/  $v_1' = v_2' = 173,25 \text{ cm} \quad \tilde{\omega}_1' = \tilde{\omega}_2' = w = \frac{A}{b \cdot h_f} = 0,00003 \quad \delta = 0,05$   
 $B'_0 = 7117,11 \text{ cm}^2 \quad I = 73.885.081,02 \text{ cm}^4$

S.3/

$$\sigma_b' = \frac{N'}{B'_0} \pm \frac{M q \cdot v'}{I} \quad \begin{array}{l} \sigma_{b_1}' = 26,46 \text{ kg/cm}^2 < \bar{\sigma}_b' \\ \sigma_{b_2}' = 1,28 \text{ kg/cm}^2 < \bar{\sigma}_b' \end{array}$$

$$\sigma_a' = 15 \left( \frac{N'}{B'_0} \pm \frac{M q \cdot (v' - d)}{I} \right) \quad \begin{array}{l} \sigma_{a_1}' = 377,95 \text{ kg/cm}^2 < \bar{\sigma}_a' \\ \sigma_{a_2}' = 40 \text{ kg/cm}^2 < \bar{\sigma}_a' \end{array}$$

Tableau resumant le ferrailage des voiles pleins

voiles	refends	W	nature	A(zones et t)	A zones chaînes	e(en)	Aadapt (horiz)
V <sub>L1</sub>		20	S.P.C	2.ATAA	2ATA0	20	6T6/m
V <sub>L2</sub>	"	0	"	2.AT12	4ATA0	20	7T6/m
V <sub>L3</sub>	"	0	"	"	16TA0	4	6T6/m
V <sub>L4</sub>	"	0	"	"	16TA0	0	7T6/m
V <sub>L5(1)</sub>	"	0	"	"	26TA0	22	6T6/m
V <sub>L5(2)</sub>	"	0	"	"	14TA0	0	"
V <sub>L6</sub>	"	0	"	"	26TA0	0	"
V <sub>T1</sub>	"	0	"	"	24T8	0	"
V <sub>T2(1)</sub>	"	S.E.C	"	"	28TA0	20	"
V <sub>T3</sub>	"	0	0	"	18TA0	0	"

Tableau resumant le ferrailage des voiles à une file  
d'ouverture.

V <sub>L5</sub>	I		S.P.C	0	10TA0	22	"
"	II		"	0	4	"	0
V <sub>L6</sub>	I		SEC	0	28TA0	18	0
	II		"	0	28TA0	0	"
V <sub>T3</sub>	I		S.E.C	0	2ATA0	20	7T6/m
	II		"	0	48TA0	0	"
V <sub>T5</sub>	I		S.P.C	0	2ATA0	20	7T6/m
	II		"	0	48TA0	0	"
V <sub>T6</sub>	I		0	0	30TA0	4	6T6/m
	II		"	0	32TA0	0	"
V <sub>T7</sub>	I		0	0	18TA0	4	0
	II		"	0	30TA0	0	0

Tableau résumant le ferrailage des voiles à deux files d'ouvertures

voiles	refends	$\tilde{w}$	nature	$k$ (zone 1)	$k$ (zone 2)	$e$ (cm)	Adapt (m²/m)
$V_{T_2}$	I	20	S.P.C	2.ATA4	36TA0	20	6T6/m
	II	"	S.E.C	2.AT12	-	18	-
	III	"	S.E.T	-	20TA0	20	6T6/m
$V_{T_4(4)}$	I	"	S.P.C	"	2ATA0	22	"
	II	"	S.E.C	"	30TA0	18	"
	III	"	S.P.C	"	3ATA0	22	"

## PRESCRIPTIONS RELATIVES AUX FERRAILLAGE DES LINTEAUX

### "RPA 81"

#### Art. 4.3.2.4:

- les linteaux doivent être conçus de façon à éviter leur rupture fragile. Ils doivent être capables de prendre l'effort tranchant et le moment fléchissant dont les sens d'action peuvent alterner.

#### Art. 4.3.2.5:

- La vérification de la résistance des linteaux aux sollicitations d'effort tranchant les plus défavorables doit être effectuée avec :

- \*  $T = 1,4$  fois l'effort tranchant de calcul
- \*  $M$  calculé à partir de la valeur ci-dessus de  $T$
- \*  $\bar{\epsilon}_b = 0,12 \cdot \bar{\epsilon}_{28}$
- \*  $\bar{\epsilon}_b' = 0,75 \cdot \bar{\epsilon}_{28}$
- \*  $\bar{\epsilon}_a = \bar{\epsilon}_{at} = \bar{\epsilon}_{en}$

#### Art. 4.3.3.1:

- Les armatures de la section transversale résistant à l'effort tranchant doivent être calculées avec la formule

$$\bar{w}_t = \frac{\bar{\epsilon} - \bar{\epsilon}_b}{\bar{\epsilon}_{en}} \cdot 100$$

avec  $\bar{\epsilon} = 1,4 \frac{T}{b \cdot z}$

où :  $\bar{\epsilon}$  est la contrainte de cisaillement et  $\bar{\epsilon}_{en}$  est la limite élastique des aciers (en bars). Le pourcentage  $\bar{w}_t$  (en %) est calculé par rapport à la section totale brute du béton ; il doit être supérieur à la valeur minimale indiquée dans l'article 4.3.3.2.

#### Art. 4.3.3.2:

- pour  $\bar{\epsilon}_b \leq 0,025 \bar{\epsilon}_{28}$  : 0,15% } dans chaque
- pour  $0,025 \bar{\epsilon}_{28} \leq \bar{\epsilon}_b \leq 0,12 \bar{\epsilon}_{28}$  : 0,25% } direction.

#### Art. 4.3.3.3:

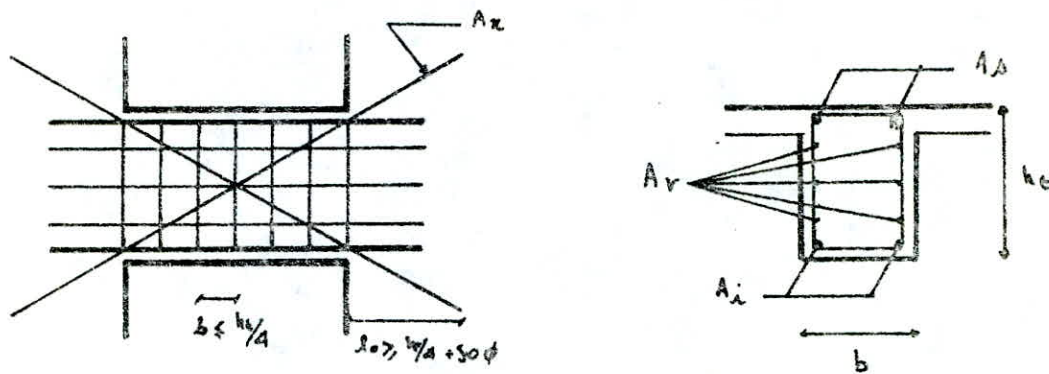
- les armatures doivent être disposées et ancrées dans les trumeaux suivant la figure ci-après

#### Art. 4.3.3.14:

- Pour  $\bar{\epsilon} > 0,06 \bar{\epsilon}_{28}$ , des armatures supplémentaires doivent être disposées dans les angles suivant la figure ci-après

-  $\bar{\epsilon}_c$  : contrainte de cisaillement dans le linteau =  $1,4 \frac{T}{b \cdot z}$

figure :

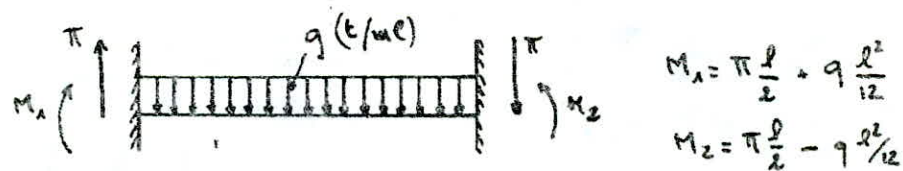


$$A_x \geq 0,0018 h_c b, \\ \text{Si } \gamma_f \geq 0,066 \frac{1}{2} g$$

$$A_z, A_y \geq 0,0018 b \cdot h_c \\ A_y \geq 0,0020 b \cdot h_c \\ A_z \geq 0,0028 b \cdot \gamma_f$$

Méthode de calcul :

Les linteaux seront calculés comme des poutres encastrées à ses deux extrémités.



On ferreraillera nos linteaux avec  $M_{\max} = M_1$  et ce du fait que le séisme agit aussi bien dans un sens que dans l'autre.

Superposition des effets sollicitant les éléments des voiles à 1 file d'ouverture.

Niv	$\pi$ (t)	$m = \pi \cdot a$ (t.m)	$G_1$ (kg/m)	$P$ (kg/m)	$0,9 G_1 + q_1$ (kg/m)	$G_1 + q = q_1$ (kg/m)	$T = q_1 \frac{q}{2} + T$ (t)	$M = -(q_1 \frac{q}{2})$
$b = 20\text{ cm}$	T	0	0	1657,78	163,33	1326,22	1821,11	0,8195
	9	1,14	0,513	1211,11	407,78	968,89	1618,89	1,9685
	8	2,16	0,972	"	"	"	"	2,8885
	7	3,07	1,382	"	"	"	"	3,7985
	6	3,85	1,733	"	"	"	"	4,5785
	5	4,51	2,030	"	"	"	"	5,2385
	4	5,05	2,273	"	"	"	"	5,7785
	3	5,47	2,462	"	"	"	"	6,1985
	2	5,77	2,597	"	"	"	"	6,4985
	1	5,95	2,678	"	"	"	"	6,6785
$b = 0,9\text{ m}$	RDC	6,010	2,705	1025,55	653,33	820,44	1676,89	6,7655
	T	4,620	2,31	1808	193	1446,4	2001	5,620
	9	6,160	3,08	1276	557	1020,8	1833	7,076
	8	9,411	4,706	"	"	"	"	10,327
	7	12,832	6,416	"	"	"	"	13,748
	6	16,254	8,127	"	"	"	"	17,170
	5	18,651	9,326	"	"	"	"	19,567
	4	20,532	10,266	"	"	"	"	21,448
	3	21,558	10,739	"	"	"	"	22,474
	2	20,532	10,266	"	"	"	"	21,448
$b = 1,00\text{ m}$	1	15,399	7,700	"	"	"	"	16,315
	RDC	0	0	1212	772	963,6	1984	0,992
$b = 15\text{ cm}$	T	4,620	2,31	1808	193	1446,4	2001	5,620
	9	6,160	3,08	1276	557	1020,8	1833	7,076
	8	9,411	4,706	"	"	"	"	10,327
	7	12,832	6,416	"	"	"	"	13,748
	6	16,254	8,127	"	"	"	"	17,170
	5	18,651	9,326	"	"	"	"	19,567
	4	20,532	10,266	"	"	"	"	21,448
	3	21,558	10,739	"	"	"	"	22,474
	2	20,532	10,266	"	"	"	"	21,448
	1	15,399	7,700	"	"	"	"	16,315
$b = 15\text{ cm}$	RDC	0	0	1212	772	963,6	1984	0,992
	T	0	0	1212	772	963,6	1984	0,992

NIV	$\pi$ (t)	$m = \pi \cdot a$ (t.m)	G (kg/m)	P (kg/m)	$0,8G = g_s$ (kg/m)	$G + P = g_a$ (kg/m)	$T = g_a \cdot l_s + \pi$ (t)	$M = -(g_a \cdot l_s + m)$ (t.m)
$b = 15\text{ cm}$ $h_e = 0,7\text{ m}$ $l = 1,37\text{ m}$	T	4,08	3,611	971,19	88,70	716,95	1059,89	5,018
	9	4,56	4,036	729,94	220,91	583,95	950,85	5,402
	8	5,67	5,018	"	"	"	6,512	5,266
	7	7,02	6,213	"	"	"	7,862	6,461
	6	8,26	7,310	"	"	"	9,102	7,558
	5	9,21	8,151	"	"	"	10,082	8,399
	4	9,68	8,563	"	"	"	10,522	8,815
	3	9,58	8,478	"	"	"	10,422	8,726
	2	8,22	7,275	"	"	"	9,062	7,523
	1	5,50	4,868	"	"	"	6,342	5,116
$b = 15\text{ cm}$ $h_e = 0,7\text{ m}$ $l = 1,37\text{ m}$	RDC	0	0	555,36	353,68	444,29	909,04	0,805
	T	2,3	2,035	834,29	44,07	669,83	881,36	3,08
	9	2,72	2,407	936,73	110,73	749,38	1047,46	3,647
	8	3,40	3,009	"	"	"	4,327	3,282
	7	4,54	4,018	"	"	"	5,467	4,291
	6	5,45	4,823	"	"	"	6,377	5,096
	5	6,17	5,460	"	"	"	7,097	5,733
	4	6,66	5,934	"	"	"	7,587	6,167
	3	6,94	6,053	"	"	"	7,767	6,330
	2	6,05	5,354	"	"	"	6,977	5,627
$b = 15\text{ cm}$ $h_e = 0,7\text{ m}$ $l = 1,37\text{ m}$	1	4,12	3,646	"	"	"	5,047	3,919
	RDC	0	0	498,30	176,84	398,64	675,14	0,598

NIV	$\pi C(t)$	$m = \pi \cdot a$ (t.m)	$G_1$ (kg/m)	$P$ (kg/m)	$0,86 \cdot q_2$ (kg/m)	$G_1 + P = q_1$ (kg/m)	$T = q_1 \frac{t}{2} + \pi$ (t)	$M = -\frac{(q_1 t^2 + m)}{(t-w)^2}$
L <sub>L5</sub> = L <sub>L6</sub> h = 2,25 m h <sub>c</sub> = 0,7 m b = 15 cm	T	3,66	4,118	774,45	59,77	619,56	834,82	4,599
	9	4,54	5,108	612,23	148,66	489,78	760,89	5,396
	8	6,31	7,099	"	"	"	"	7,166
	7	8,60	9,675	"	"	"	"	9,456
	6	10,5	11,813	"	"	"	"	11,356
	5	12,13	13,646	"	"	"	"	12,986
	4	13,26	14,918	"	"	"	"	14,116
	3	13,59	15,289	"	"	"	"	14,446
	2	12,48	14,040	"	"	"	"	13,336
	1	9,04	10,110	"	"	"	"	9,896
RDC	0	0	374,45	238,99	299,56	612,44	0,689	0,258

(4)

Superposition des efforts sollicitant les linteaux des voiles à 2 files d'ouvertures.

NIV	$\pi (t)$	$m = \pi \cdot a$ (t.m)	G (kg/m)	P (kg/m)	$0,8 G + q_1$ (kg/m)	$G + P = q_2$ (kg/m)	$T = q_1 \frac{L}{2} + \pi$ (t)	$M = - (q_1 \frac{L^2}{12} + m)$ (t.m)
$b = 20 \text{ cm}$	T	0	1779,0	178,6	1423,2	1957,6	1,224	0,255
	9	3,63	2,269	1292,0	445,6	1033,6	1,716	2,495
	8	6,38	3,987	"	"	"	7,466	4,213
	7	8,89	5,556	"	"	"	9,976	5,782
	6	11,2	7,000	"	"	"	12,286	7,226
	5	13,12	8,200	"	"	"	14,206	8,426
	4	14,62	9,137	"	"	"	15,706	9,363
	3	15,77	9,856	"	"	"	16,856	10,082
	2	16,65	10,406	"	"	"	17,736	10,632
	1	17,23	10,769	"	"	"	18,316	10,995
RDC	17,53	10,956	1120,0	713,6	896	1833,6	18,676	11,195
$b = 20 \text{ cm}$	T	0	1551,25	150,0	1244,0	1701,25	0,681	0,091
	9	3,76	1,504	1142,5	375,0	914,0	1517,5	4,367
	8	6,54	2,616	"	"	"	7,147	2,697
	7	9,10	3,640	"	"	"	9,707	3,721
	6	11,46	4,584	"	"	"	12,067	4,665
	5	13,42	5,368	"	"	"	14,087	5,443
	4	14,95	5,980	"	"	"	15,557	6,061
	3	16,11	6,444	"	"	"	16,717	6,525
	2	17,02	6,808	"	"	"	17,627	6,889
	1	17,61	7,044	"	"	"	18,217	7,125
RDC	19,19	7,208	942,5	600,0	754,0	1542,5	18,637	7,290

NIV	$\pi(t)$	$m = \pi \cdot a$ (t.m)	$G_1$ (kg/m)	$P$ (kg/m)	$0,8G_1 = g_2$ (kg/m)	$G_1 + P = g_1$ (kg/m)	$T = g_1 \frac{L}{2} + \pi$ (t)	$M = -\left(\frac{g_1 L^2}{12} \cdot m\right)$ (t.m)
$L = 0,7m$ $b = 0,7m$ $L_1 = T_4(a)$	T	0	2963,75	326,25	2371,0	3290	1,316	0,175
	9	3,65	1,460	2072,5	890,0	1658,0	2962,5	4,835
	8	6,34	2,536	"	"	"	7,525	2,694
	7	8,80	3,520	"	"	"	9,985	3,678
	6	11,10	4,440	"	"	"	12,285	4,598
	5	12,98	5,192	"	"	"	14,165	5,350
	4	14,46	5,784	"	"	"	15,645	5,942
	3	15,59	6,236	"	"	"	16,775	6,394
	2	16,49	6,596	"	"	"	17,675	6,754
	1	17,04	6,816	"	"	"	18,225	6,974
	RDC	17,43	6,972	2048,75	1305,0	1639,0	3353,75	7,151
$L = 1,4m$ $b = 0,7m$ $L_2 = T_4(a)$	T	0	2142,02	223,5	1713,6	2365,52	1,403	0,279
	9	3,11	1,851	1527,73	633,6	1222,2	2164,3	4,396
	8	5,49	3,267	"	"	"	6,776	3,522
	7	7,65	4,552	"	"	"	8,936	4,807
	6	9,64	5,736	"	"	"	10,926	5,991
	5	11,29	6,718	"	"	"	12,576	6,973
	4	12,58	7,485	"	"	"	13,866	7,740
	3	13,58	8,080	"	"	"	14,866	8,335
	2	14,36	8,544	"	"	"	15,646	8,799
	1	14,83	8,824	"	"	"	16,116	9,079
	RDC	15,13	9,002	1399,13	894,99	1119,3	2294,12	16,495

(5)

## FERRAILLAGE DES LINTEAUX

Les linteaux seront étudiés comme des poutres encastrées à leurs extrémités. Ils seront ferrailleés sous les sollicitations les plus défavorables.

### A/ L'intérieur du voile $V_{L5} = V_{L6}$

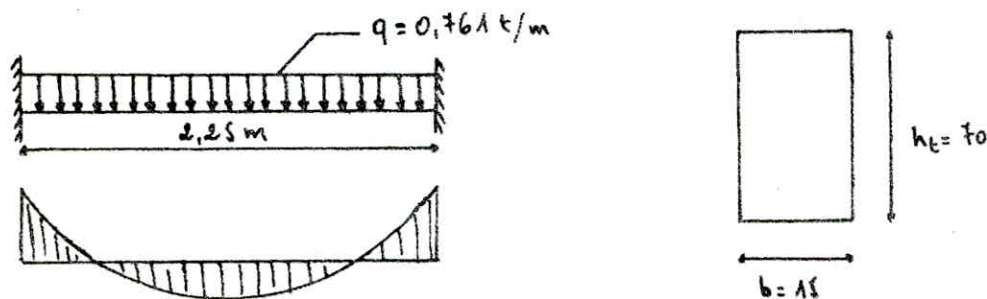
on ferraille sous SP2, car les sollicitations du second genre sont supérieures de plus de 50% à celles du premier genre, avec les contraintes adm suivantes:

$$\bar{\sigma}_b = 8,85 \text{ kg/cm}^2$$

$$\bar{\sigma}'_b = 202,5 \text{ kg/cm}^2$$

$$\bar{\sigma}_a = 4200 \text{ kg/cm}^2$$

#### Schemas statique:



#### - charges permanentes :

$$\times \text{ plancher} = 1,341 \times 0,528 = 0,708 \text{ t}$$

$$\times \text{ poids propre du linteau} = 0,15 \times 2,25 \times 2,5 \times 0,7 = 0,669 \text{ t}$$

$$\Rightarrow G = 1,377 \text{ t}$$

#### - Surcharge :

$$\times P = 1,341 \times 0,25 = 0,335 \text{ t}$$

$$\Rightarrow G + P = 1,712 \text{ t} \Rightarrow q_s = 0,761 \text{ t/m.}$$

#### Effort sollicitant le linteau:

- sous  $G+P$  on a :  $\times$  moment en appui =  $-2 M_t = 0,321 \text{ t.m}$

$\times$  moment en travé =  $q \frac{l^2}{12} = 0,161 \text{ t.m}$

$\times$  effort tranchant max =  $q \frac{l}{2} = 0,856 \text{ t.}$

- sous Seisme on a : le seisme provoque un effort tranchant supplémentaire égal à  $T_{max}$  et un moment  $m = \pm \pi \cdot a$  ( $a = \frac{l}{2}$ ) et ce au niveau 3 :

$$T_{max} = 13,59 \text{ t} \quad \text{d'où } m = \pi \cdot a = 15,289 \text{ t.m.}$$

### a/ calcul des aciers longitudinaux

on a :

$$\gamma T = 1,4 \times 17,218 = 20,03 t$$

$$h_t = 70 \text{ cm}$$

$$b = 15 \text{ cm}$$

$$\gamma M = 1,4 \times 15,61 = 21,85 \text{ t.m}$$

$$h = h_t - d$$

le calcul se fera par la méthode de M<sup>2</sup> P. CHARON

$$\mu = \frac{15 M}{\bar{\sigma}_a \cdot b \cdot h^2} = \frac{15 \times 21,85 \text{ t.m}}{4200 \times 15 \times 65^2} = 0,1159 \Rightarrow \begin{cases} E = 0,8667 \\ k = 22,5 \end{cases}$$

$$\Rightarrow \bar{\sigma}_b' = \frac{\bar{\sigma}_a}{k} = \frac{4200}{22,5} = 186,67 \text{ kg/cm}^2 < \bar{\sigma}_b' = 202,5 \text{ kg/cm}^2$$

allors les d'aciers comprimés

la section d'aciers tendus sera :  $A = \frac{M}{\bar{\sigma}_a \cdot E \cdot h} = 8,96 \text{ cm}^2$

on prendra  $A_i = A_d = 6 \text{ T14}$  ( $9,24 \text{ cm}^2$ )

- condition de non fragilité:

$$\text{on a } A \geq 0,63 \cdot b \cdot h \cdot \frac{\bar{\sigma}_b}{\bar{\sigma}_{en}} = 0,63 \times 15 \times 65 \times \frac{5,9}{4200} = 0,945 \text{ cm}^2$$

$$\text{on a bien } A_i = A_d = 9,24 \text{ cm}^2 > 0,945 \text{ cm}^2$$

### b/ évaluation de répartition

Le RPA 81 prévoit que les armatures de répartition dans les linteau doivent vérifier :

$$A_r \geq 0,002 \cdot b \cdot h_t = 0,002 \times 15 \times 70 = 2,1 \text{ cm}^2$$

$$\Rightarrow A_r = 8 \text{ T6} (2,24 \text{ cm}^2)$$

### c/ calcul des aciers transversaux

on a  $T_{max} = 20,23 t$ , on a choisi des cadres et stiers en T8 telle que  $A_t = 4 \times 8 = 2,01 \text{ cm}^2$  ce qui donne comme espacement :

$$t = \frac{3 \cdot \bar{\sigma}_{at}}{T} A_t \quad \text{avec } z = \frac{3}{8} h$$

$\Rightarrow t = 24,46 \text{ cm}$ , or le RPA 81 dans l'article 4.3.3.13 concernant la disposition des armatures donne une limite à cet espacement

$$t \leq \frac{h_t}{4} = 17,5 \text{ cm.}$$

on prendra  $t = 15 \text{ cm}$

-/ verification au cisaillement du béton.

$$\tau_b = \frac{T}{b \cdot z} = \frac{20,23 \cdot 10^3}{15 \times \frac{7}{8} 65} = 23,71 \text{ k}$$

$$\bar{\tau}_b = 0,12 \sigma'_{28} = 0,12 \times 270 = 32,4 \text{ bars} = 33,05 \text{ kg/cm}^2 \quad (\text{RPA 81})$$

on a bien  $\tau_b < \bar{\tau}_b$ .

e/ armature d'angle :

on a  $A_x \geq 0,0015 \cdot b \cdot h_t$ . Si  $\tau_b \geq 0,06 \sigma'_{28}$  art 4.3.3.13 (RPA 81)  
les armatures d'angle sont disposées en diagonales suivant toute la longueur du梁.

$$\text{on a } \tau_b = 23,71 > 0,06 \sigma'_{28} = 16,2 \text{ kg/cm}^2$$

$$A_x \geq 0,0015 \cdot 15 \cdot 70 = 1,575 \text{ cm}^2 \Rightarrow A_x = 4 \text{ T 10} \quad (3,18 \text{ cm}^2)$$

-/ arret des armatures d'angle:

$$l_0 \geq \frac{h_t}{4} + 50\phi = 67,5 \text{ cm} \Rightarrow l_0 = 68 \text{ cm.}$$

--/ longueur de la barre:

$$L = \sqrt{l^2 + h_t^2} + 2x\left(\frac{l_0}{\cos\alpha}\right) = \sqrt{225^2 + 70^2} + 2x\left(\frac{68}{\cos 45^\circ}\right)$$

$$\Rightarrow L = 377 \text{ cm.}$$

ff/ verification des contraintes

$$- w = 100 \cdot \frac{A}{b \cdot h} = 0,9477 \rightarrow \begin{cases} \varepsilon = 0,8634 \\ k = 21,6 \end{cases}$$

$$\Rightarrow \sigma_a = \frac{M}{A \cdot \varepsilon \cdot h} = 4087,83 \text{ kg/cm}^2 < 4200 \text{ kg/cm}^2 \quad (\text{verified})$$

$$\sigma'_b = \frac{\sigma_a}{k} = 194,2 \text{ kg/cm}^2 < 202,5 \text{ kg/cm}^2 \quad (\text{verified})$$

g/  vérification à la fissuration.

$$\text{avec } \bar{\sigma}_1 = \frac{k_n}{\phi} \frac{w_f}{1+10w_f} \quad \bar{\sigma}_2 = 2,4 \sqrt{\frac{k_n}{\phi} \bar{\sigma}_b} \quad \text{et } \bar{w}_f = \frac{A}{L \cdot z}$$

$$\text{donc } \bar{\sigma}_1 = 1,5 \cdot 10^6 \cdot \frac{1,6}{14} \cdot \frac{0,1232}{1+10 \cdot 0,1232} = 9462,37 \text{ kg/cm}^2$$

$$\bar{\sigma}_2 = 2,4 \cdot \sqrt{1,5 \cdot 10^6 \cdot 1,6 \cdot \frac{1}{14} \cdot 8,85} = 2956,14 \text{ kg/cm}^2$$

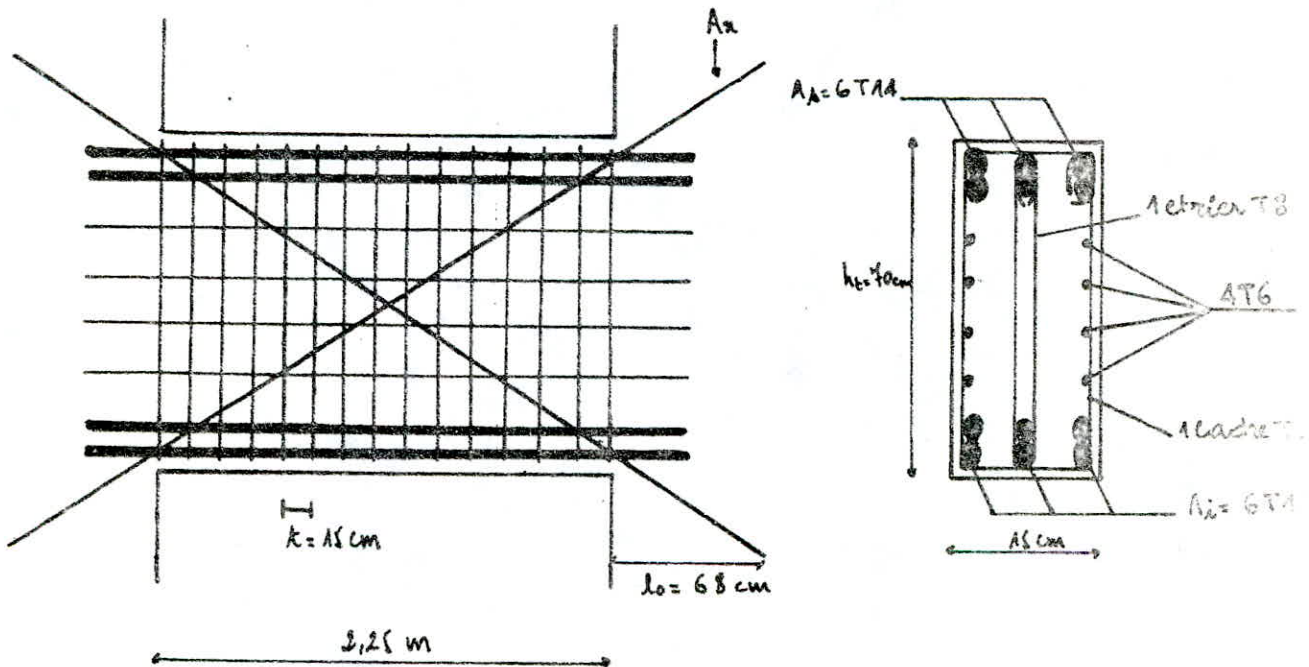
$\bar{\sigma}_1 < \max(\bar{\sigma}_1, \bar{\sigma}_2) = 9462,37 \text{ kg/cm}^2 \Rightarrow \text{pas de risque de fissuration.}$

h/ Contrainte d'adhérence adm pour l'entraînement des armatures.

$$\bar{\tau}_{ad} = \delta \cdot \gamma_d \cdot \bar{\sigma}_b \\ \Rightarrow \bar{\tau}_{ad} = 26,6 \text{ kg/cm}^2 \quad \text{avec } \gamma_d = 1,5 \quad (\text{HA})$$

$$\bar{\tau}_{ad} = \frac{T}{n.P.z} = \frac{20,23 \cdot 10^3}{6 \times 3,14 \cdot 1,4 \times 3/8 \cdot 65} = 13,48 \text{ kg/cm}^2 < \bar{\tau}_{ad} \text{ (vérifié)}$$

i/ Représentation du ferrailage.



### B/ l'intérieur du voile V<sub>T6</sub>

#### - charges permanentes:

$$\ast \text{ plancher} = 0,589 \times 1,566 = 0,827 \text{ t}$$

$$\ast \text{ poids propre du l'intérieur} = 0,15 \times 0,7 \times 2,5 \times 1,77 = 0,465 \text{ t}$$

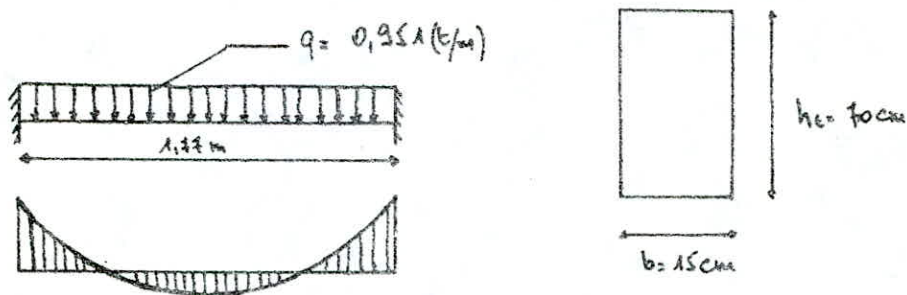
$$\Rightarrow G_1 = 1,292 \text{ t}$$

#### - Surcharge:

$$\ast P = 0,25 \times 1,566 = 0,391 \text{ t}$$

$$\Rightarrow G_1 + P = 1,683 \text{ t} \Rightarrow q_a = 0,951 \text{ t/m}$$

#### - schéma statique:



#### Effets sollicitant le l'intérieur:

- sous  $G_1 + P$  on a :

$$\checkmark \text{ moment en appui} = -2m_f = -0,248 \text{ t.m}$$

$$\checkmark \text{ moment en travée} = q_1 \frac{l^2}{24} = 0,124 \text{ t.m}$$

$$\checkmark \text{ Effet tranchant max} = q_1 \frac{l}{2} = 0,842 \text{ t.}$$

- le séisme provoque un effet tranchant supplémentaire égal à  $\pi_{\max}$  et un moment  $m = \pm \pi \cdot a$  ( $a = \frac{l}{2}$ ) et ce au niveau 4 :

$$\pi_{\max} = 9,68 \text{ t} \quad \text{d'où } m = \pi \cdot a = 8,56 \text{ t.m}$$

#### a/ Calcul des efforts longitudinaux:

$$10 \pi \alpha / T = 1,4 \times 10,562 = 14,73 \text{ t}$$

$$h_6 = 70 \text{ cm}$$

$$\therefore M = 1,4 \times 8,818 = 12,34 \text{ t.m}$$

$$b = 15 \text{ cm}$$

$$h = h_6 - d$$

Calcul sera par la méthode de M<sup>e</sup> P. CHARON

$$\frac{15M}{\bar{\sigma}_a \cdot b \cdot h^2} = \frac{15 \cdot 16,34 \text{ t}}{4200 \cdot 15 \cdot 67^2} = 0,0655 \Rightarrow \left\{ \begin{array}{l} E = 0,8945 \\ k = 32,4 \end{array} \right.$$

$$= \frac{\bar{\sigma}_a}{k} = \frac{4200}{32,4} = 129,63 \text{ kg/cm}^2 < 202,6 \text{ kg/cm}^2$$

ne pas d'aciers comprimés

Section d'aciers tendus sera :  $A = \frac{M}{\bar{\sigma}_a \cdot E \cdot h} = 4,91 \text{ cm}^2$

rendra alors  $A_t = A_s = 6T12 (6,78 \text{ cm}^2)$

Condition de non-fragilité

$$A > 0,69 \cdot b \cdot h \cdot \frac{\bar{\sigma}_a}{\sigma_{en}} = 0,945 \text{ cm}^2 \Rightarrow A_t = A_s = 6,78 \text{ cm}^2 > 0,945 \text{ cm}^2$$

(vérifié)

b/ Armature de répartition.

RPA 81 prévoit que les armatures de répartition dans le linteau doivent être vérifiées.

$$A_r \geq 0,002 \cdot b \cdot h_t = 2,1 \text{ cm}^2$$

$$\Rightarrow A_r = 8T6 (2,24 \text{ cm}^2)$$

c/ Calcul des aciers transversaux

on a  $T_{max} = 14,73 \text{ t}$  on a  $A_t = 4T8 (2,01 \text{ cm}^2)$  (choisi) il donne comme espacement :

$$t = \frac{3 \cdot \bar{\sigma}_{at}}{T} \cdot A_t \quad \text{avec } z = \frac{3}{8} h \Rightarrow t = 32,6 \text{ cm}$$

d'après l'art. 4.3.3.13 du RPA 81 concernant la disposition des armatures donne une limite à cet espacement.

$$t \leq \frac{h_t}{4} = 17,5 \text{ cm} \quad \text{on prendre } t = 16 \text{ cm}$$

Vérification au cisaillement du béton

$$\tau_b = \frac{T}{b \cdot z} = 17,27 \text{ kg/cm}^2 < \bar{\tau}_b = 0,125 \cdot 8 = 33,08 \text{ kg/cm}^2 (\text{RPA 81})$$

(vérifié)

d/ Armature d'angle

on a  $A_u \geq 0,0025 \cdot b \cdot h_t$  si  $\tau_b \geq 0,065 \cdot 8 = 16,2 \text{ kg/cm}^2$ .

les armatures sont disposées en diagonale

$$\text{on a } \tau_b = 17,27 \text{ kg/cm}^2 > 16,2 \text{ kg/cm}^2$$

$$\Rightarrow A_u \geq 0,015 \cdot 15 \cdot 70 = 1,575 \text{ cm}^2 \quad \text{d'où } A_u = 4T8 (2,01 \text{ cm}^2)$$

/ arret des armature d'angle :  $l_o \geq \frac{h_t}{4} + 50\phi = 67,5 \text{ cm}$

$$\Rightarrow l_o = 68 \text{ cm}$$

/ Longueur de la barre :  $L = 337 \text{ cm}$

f/ verification des contraintes:

$$w = 100 \frac{A}{b \cdot h} = 0,6746 \Rightarrow \left\{ \begin{array}{l} \epsilon = 0,8801 \\ k = 26,7 \end{array} \right.$$

$$- \sigma_a = \frac{M}{A \cdot E \cdot h} = 3181,56 \text{ kg/cm}^2$$

$$\Rightarrow \sigma_a < 4200 \text{ kg/cm}^2 \text{ (vérifié)}$$

$$- \sigma_b' = \frac{\sigma_a}{k} = 119,16 \text{ kg/cm}^2 < 202,8 \text{ kg/cm}^2 \text{ (vérifié)}$$

g/ verification à la fissuration:

$$\text{on a } \sigma_1 = 3495,80 \text{ kg/cm}^2, \quad \sigma_2 = 3192,99 \text{ kg/cm}^2$$

$\bar{\sigma}_a < \max(\sigma_1, \sigma_2) = 3495,80 \text{ kg/cm}^2 \rightarrow$  on prend le risque de fissuration.

h/ Contrainte d'adhérence adm pour l'entraînement des armatures:

$$\bar{\chi}_d = 2 \chi_d \bar{\sigma}_b \quad (\text{pour les poutres})$$

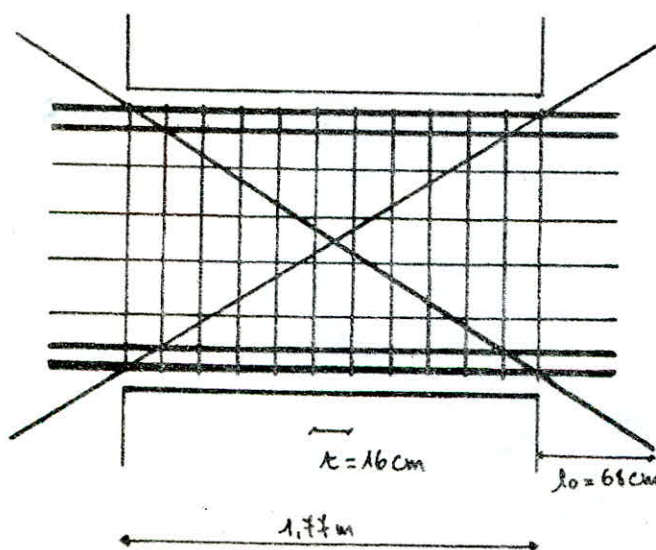
on a

$$\bar{\chi}_d = 2 \times 1,5 \times 8,85 = 26,6 \text{ kg/cm}^2$$

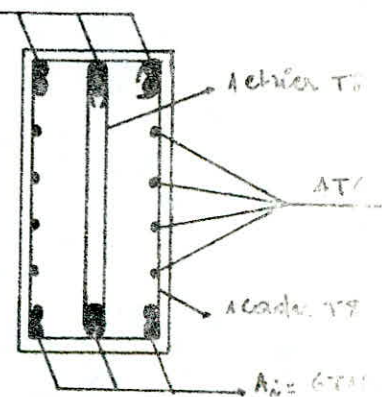
$$\chi_d = \frac{T}{h \cdot P \cdot z} = \frac{14,73 \cdot 10^3}{6 \cdot \pi \cdot 1,2 \times 78,65} = 11,45 \text{ kg/cm}^2$$

$$\chi_d = 11,45 \text{ kg/cm}^2 < \bar{\chi}_d = 26,6 \text{ kg/cm}^2 \text{ (vérifié)}$$

i/ Représentation du ferrailage:



$A_B = 6712 \text{ mm}^2$



$A_B = 6712 \text{ mm}^2$

C/ l'intégral du voile V<sub>T4(a)</sub>:

- charges permanentes:

$$\begin{aligned} * \text{ plancher} &= 0,628 \times 2,61 = 1,639 \text{ t} \\ * \text{ point propre du linteau} &= - \end{aligned}$$

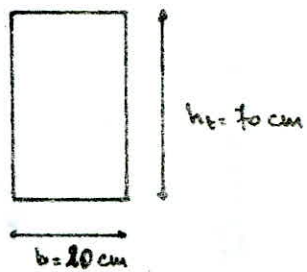
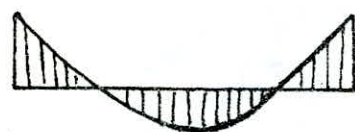
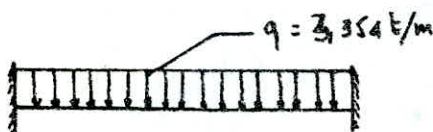
$$\Rightarrow G_1 = 1,639 \text{ t.}$$

- Surcharge:

$$* P = 0,4 \times 2,61 = 1,044$$

$$\Rightarrow G_1 + P = 2,683 \Rightarrow q_1 = 3,3538 \text{ t/m.}$$

- schéma statique:



- Effort sollicitant le linteau:

- \* Sous  $G+P$  on a : / moment en appui  $= -2M_E = -0,179 \text{ t.m}$
- / moment en travée  $= q_1 \frac{f^2}{24} = 0,099 \text{ t.m}$
- / Effort tranchant max  $= q_1 \frac{f}{2} = 1,342 \text{ t}$

\* Le séisme provoque un effort tranchant supplémentaire égal à  $\Pi_{\max}$  et un moment  $M = \pm \Pi \cdot a$  ( $a = \frac{f}{2}$ ) et ce au niveau RDC :

$$\Pi_{\max} = 17,43 \text{ t} \quad \text{d'où } M = \Pi \cdot a = 6,972 \text{ t.m}$$

1/ calcul des aciers longitudinaux:

$$\text{on a} \quad / T = 1,4 \times 18,772 = 26,28 \text{ t.} \quad h_E = 70 \text{ cm}$$

$$/ M = 1,4 \times 7,151 = 10,01 \text{ t.m} \quad b = 20 \text{ cm}$$

$$/ h = h_E - d \quad h = 70 - d$$

Le calcul se fera par la méthode de M. P. CHARON.

$$M = \frac{15M}{\sigma_a \cdot b \cdot h^2} = \frac{15 \cdot 10,01 \cdot 10^3}{4200 \cdot 20 \cdot 67^2} = 0,0398 \rightarrow \begin{cases} E = 0,9153 \\ k = 44 \end{cases}$$

$$\Rightarrow \sigma'_b = \frac{\sigma_a}{k} = \frac{4200}{44} = 95,45 \text{ kg/cm}^2 < 202,5 \text{ kg/cm}^2$$

donc pas d'aciers complémentaires

ction d'aciérs tendus sera :

$$A = \frac{M}{\bar{\sigma}_a \cdot E \cdot h} = 3,89 \text{ cm}^2$$

$$A_i = A_d = 6 \text{ T10 } (4,68 \text{ cm}^2)$$

- Condition de non-frétilite

$$A \geq 0,69 b \cdot h \cdot \frac{\bar{\sigma}_b}{\bar{\sigma}_{en}} = 1,26 \text{ cm}^2$$

$$\text{mais } A_i = A_d = 4,68 \text{ cm}^2 > 1,26 \text{ cm}^2 \text{ (vérifié)}$$

b) armature de répartition.

$$A_r \geq 0,002 b \cdot h_t = 2,8 \text{ cm}^2 \Rightarrow A_r = 10 \text{ T6 } (2,8 \text{ cm}^2)$$

c) Calcul des aciers transversaux:

/ On a  $T_{max} = 26,28 t$  on a choisi  $A_t = 4 \text{ T8 } (2,01 \text{ cm}^2)$   
d'après T8 + 1 échelle T8, ce qui donne comme espacement:

$$t = \frac{z \cdot \bar{\sigma}_t}{T} \cdot A_t \text{ avec } z = \frac{3}{2} h \Rightarrow t = 18,27 \text{ cm}$$

$$\text{mais } t \leq \frac{h_t}{4} = 17,5 \text{ cm } \text{ voir 4.3.3.13 RPA81.}$$

On prendra alors  $t = 16 \text{ cm}$ .

/ Vérification du débordement du béton:

$$\bar{\sigma}_b = \frac{T}{b \cdot z} = \frac{26,28 \cdot 10^3}{20 \cdot \frac{3}{2} \cdot 65} = 23,10 \text{ kg/cm}^2$$

$$\text{donc } \bar{\sigma}_b < \bar{\sigma}_b = 33,05 \text{ kg/cm}^2 \text{ (vérifié)}$$

d) armature d'angle:

on a  $A_u \geq 0,0015 b h_t$  et  $\bar{\sigma}_b \geq 0,06 T_{28} = 16,2 \text{ kg/cm}^2$   
alors  $\bar{\sigma}_b = 23,1 \text{ kg/cm}^2 > 16,2 \text{ kg/cm}^2$  donc on a besoin  
d'autre d'angle donc la section 8V:

$$A_u \geq 0,0015 \cdot 20 \cdot 70 = 2,1 \text{ cm}^2 \Rightarrow A_u = 4 \text{ T10 } (3,12 \text{ cm}^2)$$

/ arrêt d'armature d'angle:

$$l_0 \geq \frac{h_t}{4} + 50 \phi \quad (\text{RPA 81})$$

$$l_0 = 68 \text{ cm.}$$

/ longueur de la barre:

$$L = \sqrt{l^2 + h_t^2} + 2 \times \left( \frac{l_0}{cos\alpha} \right) = \sqrt{0,8^2 + 0,7^2} + 2 \times \left( \frac{0,68}{cos\alpha} \right) = 2,87 \text{ m.}$$

f/ réification des contrainte :

$$w = 100 \cdot \frac{A}{b \cdot h} = 0,96 \Rightarrow \begin{cases} E = 0,9071 \\ k = 38,8 \end{cases}$$

$$\Rightarrow \sigma_a = \frac{M}{A \cdot E \cdot h} = 3573,24 \text{ kg/cm}^2 < 4200 \text{ kg/cm}^2 \text{ (vérifiée)}$$

$$\times \sigma_b = \frac{\sigma_a}{k} = 92,09 \text{ kg/cm}^2 < 202,5 \text{ kg/cm}^2 \text{ (vérifiée)}$$

g/ réification à la fissuration :

$$\text{on a } \sigma_1 = 7651,23 \text{ kg/cm}^2, \quad \sigma_2 = 3497,75 \text{ kg/cm}^2$$

d'où  $\bar{\sigma}_e < \min(\sigma_1, \sigma_2) = 7651,23 \text{ kg/cm}^2$  donc pas de risque de fissuration.

h/ Contrainte d'adhérence adm pour l'entraînement de structure:

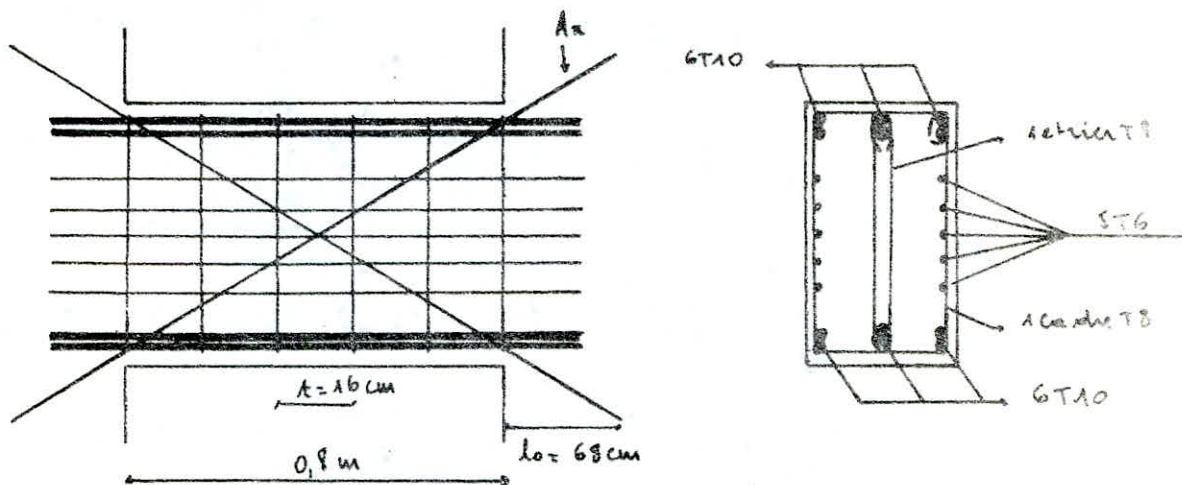
$$\bar{\tau}_d = 2 \cdot 4d \cdot \bar{\sigma}_b \quad (\text{poutre})$$

$$\text{on a } \bar{\tau}_d = 26,6 \text{ kg/cm}^2$$

$$\tau_d = \frac{T}{n \cdot P \cdot z} = \frac{26,28 \cdot 10^3}{6 \times \pi \cdot 1 \cdot 78 \cdot 65} = 24,5 \text{ kg/cm}^2$$

$$\text{d'où } \tau_d = 24,5 < \bar{\tau}_d = 26,6 \text{ kg/cm}^2$$

i/ Représentation du ferrailage.



j/ Linteau "2" du voile V<sub>T2</sub>

nous ferrailons ce linteau de la manière que le linteau "1" du voile V<sub>T4(1)</sub> fait précédemment.

### E) L'INTEAU "I" du voile V<sub>T2</sub>

- charges permanentes:

$$\begin{aligned} \text{+ plancher} &= 0,628 \times 2,23 = 1,4 \text{ t} \\ \text{+ poids propre du linteau} &= - \end{aligned}$$

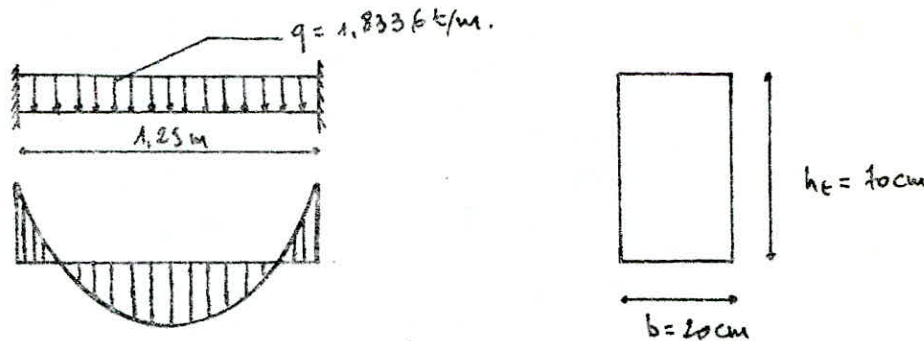
$$\Rightarrow G_t = 1,40 \text{ t}$$

- Surcharge:

$$P = 0,4 \times 2,23 = 0,892 \text{ t}$$

$$\Rightarrow G_t + P = 2,292 \text{ t} \Rightarrow q_1 = 1,8336 \text{ t/m}$$

- Schéma statique:



- Effets sollicitant le linteau:

- sans  $G_t + P$  on a :

$$\begin{aligned} / \text{ moment en appui} &= -2M_t = 0,2338 \text{ t.m} \\ / \text{ " " " " brasée} &= q_1 \frac{l^2}{8} = 0,119 \text{ t.m} \\ / \text{ effort tranchant max} &= q_1 \frac{l}{2} = 1,146 \text{ t} \end{aligned}$$

- De plus le séisme provoque un effort tranchant supplémentaire égal à  $\Pi_{max}$  et un moment  $m = \pm \pi \cdot \alpha$  ( $\alpha = \frac{\theta}{2}$ ) et ce au niveau RDC.

$$\Pi_{max} = 17,53 \text{ t} \quad \text{d'où } m = \pi \cdot \alpha = 10,956 \text{ t.m}$$

/ Calcul des aciers longitudinaux:

$$\begin{aligned} \text{on a : } / T &= 1,4 \cdot 17,676 = 26,15 \text{ t} & h_t &= 10\text{cm} \\ / M &= 1,4 \cdot 11,195 = 15,67 \text{ t.m} & b &= 20\text{cm} \\ & & h &= h_t - d \end{aligned}$$

Le calcul se fera par la méthode de M<sup>e</sup> P. CHARON.

$$M = \frac{15 \cdot M}{\delta_a \cdot b \cdot h^2} = 0,0623 \rightarrow \begin{cases} E = 0,8967 \\ I_a = 33,4 \end{cases}$$

$$\Rightarrow \sigma_a' = \frac{\bar{F}_a}{A} = 125,75 \text{ kg/cm}^2 < 202,5 \text{ kg/cm}^2$$

d'où pas d'aciers comprimés.

la section d'aciés tendus sera :

$$A = \frac{M}{\bar{\sigma}_e \cdot e \cdot h} = 6,21 \text{ cm}^2$$

$$\Rightarrow A_i = A_s = 6T12 (6,78 \text{ cm}^2)$$

- condition de non fragilité :

$$\text{on a } A \geq 0,69 b \cdot h \frac{\bar{\sigma}_b}{\bar{\sigma}_{en}} = 1,26 \text{ cm}^2 \text{ et on a } A_i = A_s = 6,78 \text{ cm}^2 > 1,26 \text{ cm}^2 \text{ (vraie)}$$

b) armature de répartition.

$$A_r \geq 0,002 b \cdot h_t = 2,8 \text{ cm}^2 \Rightarrow A_r = 10T6 (2,8 \text{ cm}^2)$$

c) calcul des aciers transversaux:

/ on a  $T_{max} = 26,15 \text{ t}$  on a choisir  $A_t = 4T8 (2,01 \text{ cm}^2)$   
1 cadre + 1 étier T8 ce qui donne, comme ci-dessous :

$$t = \frac{3 \cdot \bar{\sigma}_{st}}{T} \cdot A_t \text{ avec } 3 = \frac{f}{f_g} h \Rightarrow t = 18,36 \text{ cm}$$

$$\text{or on a } t \leq \frac{h_t}{4} = 17,5 \text{ cm} \text{ art. 4.3.3.13 RPA 81}$$

on prendra alors  $t = 14 \text{ cm}$ .

/ réification au cisaillement:

$$\bar{\tau}_b = \frac{T}{b \cdot z} = 22,99 \text{ kg/cm}^2 < \bar{\tau}_b = 33,05 \text{ kg/cm}^2 (\text{RPA 81})$$

d) armature d'angle.

on a  $A_u \geq 0,0015 b \cdot h_t$  si  $\bar{\tau}_b \geq 0,065 \bar{\tau}_s = 16,2 \text{ kg/cm}^2$  (R.P.A.)  
or  $\bar{\tau}_b = 22,99 > 16,2 \text{ kg/cm}^2$  donc il faut mettre des armatures d'angle dont la section est :

$$A_u \geq 0,0015 \cdot 20 \cdot 70 = 2,1 \text{ cm}^2 \Rightarrow A_u = 4T10 (3,42 \text{ cm}^2)$$

/ ordre d'armature d'angle.

$$l_0 \geq \frac{h_t}{4} + 50\phi \quad (\text{RPA 81}) \Rightarrow l_0 = 68 \text{ cm}$$

/ longueur de la barre:

$$L = \sqrt{165^2 + 70^2} + 2 \cdot \left( \frac{68}{\cos 45^\circ} \right) = 300 \text{ cm}$$

e/ Verification des contraintes :

$$w = 100 \cdot \frac{A}{b \cdot h} = 0,522 \Rightarrow \begin{cases} \epsilon = 0,8915 \\ k = 31,1 \end{cases}$$

$$\sigma \times \sigma_a = \frac{M}{b \cdot h} = 3988,45 \text{ kg/cm}^2 < 4200 \text{ kg/cm}^2 \text{ (vérifié)}$$

$$\sigma \times \sigma_b' = \frac{\sigma_a}{k} = 135,1 \text{ kg/cm}^2 < 202,5 \text{ kg/cm}^2.$$

f/ verification à la fissuration.

$$\text{on a } \sigma_1 = 8081,05 \text{ kg/cm}^2, \sigma_2 = 3192,99 \text{ kg/cm}^2$$

d'où  $\sigma_a < \min(\sigma_1, \sigma_2) = 8081,05 \text{ kg/cm}^2$   
Donc pas de risque de fissuration.

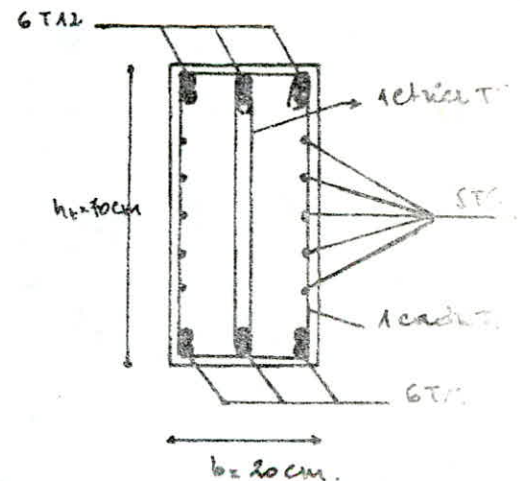
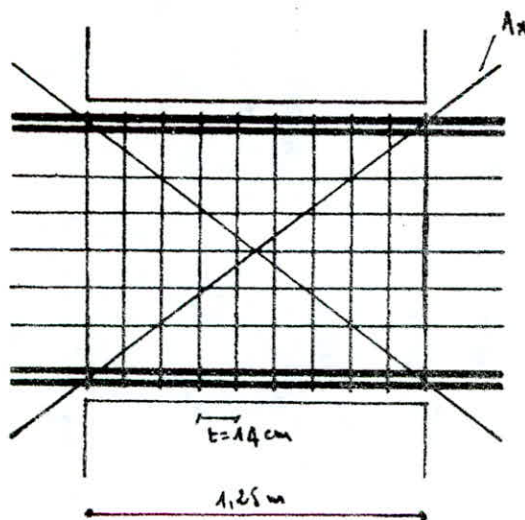
g/ Contrainte d'adhérence adm pour l'entraînement des structures

$$\bar{\sigma}_d = 2,4 \cdot \bar{\sigma}_b \text{ (pontre)} \\ \text{on a } \bar{\sigma}_d = 2 \times 1,5 \times 1,85 = 26,6 \text{ kg/cm}^2$$

$$\bar{\sigma}_d = \frac{T}{n.p.z} = \frac{23,10^3}{6 \cdot \pi \cdot 1,2 \times 78,65} = 17,88 \text{ kg/cm}^2$$

$$\text{d'où } \bar{\sigma}_d = 17,88 \text{ kg/cm}^2 < \bar{\sigma}_d = 26,6 \text{ kg/cm}^2.$$

h/ représentation du ferrailage :



F/ L'ENTAILLAGE du voile V\_{T1(a)} : l = 1,19 m b = 20 cm.

nous ferraillons ce linteau de la même manière que le linteau (1) du voile V\_{T2}.

# G/ L'INTEAU V<sub>T3</sub>:

## - charges permanentes:

$$\begin{aligned} * \text{ Plancher} &= 0,628 \times 1,47 = 0,923 \text{ t} \\ * \text{ Poids propre du linteau} &= / \end{aligned}$$

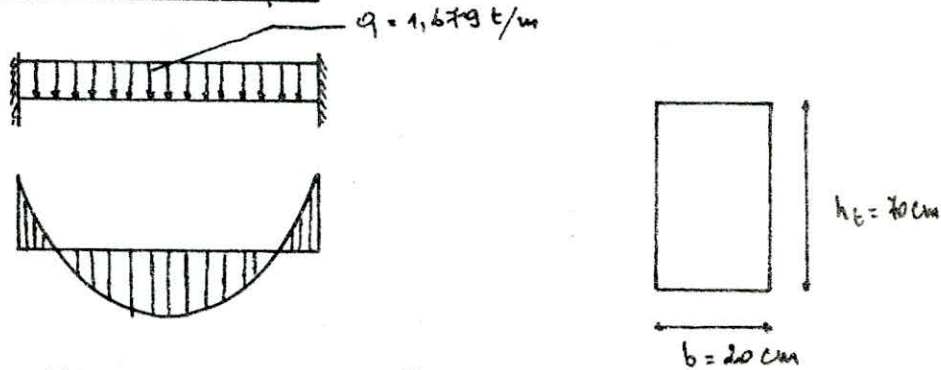
$$\Rightarrow G = 0,923 \text{ t}$$

## - Surcharge:

$$* P = 0,4 \times 1,47 = 0,588 \text{ t}$$

$$\Rightarrow G + P = 1,511 \text{ t} \Rightarrow q_1 = 1,679 \text{ t/m.}$$

## - Schéma statique.



## - Effort sollicitant le linteau:

sous  $G + P$  on a:

$$\begin{aligned} / \text{ moment en appui} &= -2M_t = 0,113 \text{ t.m} \\ / \text{ " " " tranché} &= q_1 \frac{l^2}{24} = 0,057 \text{ t.m} \\ / \text{ effort tranchant max} &= q_1 \frac{l}{2} = 0,456 \text{ t} \end{aligned}$$

\* De plus le réflexe provoque un effort tranchant supplémentaire égal à  $\Pi_{max}$  et un moment  $m = \pm \Pi \cdot a$  (en %) et ce au niveau RDC.

$$\Pi_{max} = 6,01 \text{ t} \quad \text{d'où } m = 2,705 \text{ t.m}$$

## 1/ Calcul des pâchers longitudinaux.

$$\text{on a } \begin{cases} T = 1,4 \times 6,77 = 9,48 \text{ t} \\ \therefore M = 1,4 \times 2,818 = 3,95 \text{ t.m} \end{cases} \quad \begin{matrix} h_t = 70 \text{ cm} \\ b = 20 \text{ cm} \\ h = h_t - d. \end{matrix}$$

Le calcul sera par la méthode de H. P. Cheron.

$$\mu = \frac{15M}{\overline{\sigma}_b \cdot b \cdot h^2} = 0,0157 \Rightarrow \begin{cases} E = 0,9445 \\ d = 75,0 \end{cases}$$

$$\Rightarrow \overline{\sigma}_b = \frac{\overline{\sigma}a}{h} = 56 \text{ kg/cm}^2 < 202,5 \text{ kg/cm}^2$$

d'où on a pas besoin d'acières comprimés.

la section des aciers tendus est:  $A = \frac{M}{\overline{\sigma} \cdot E \cdot h} = 1,43 \text{ cm}^2$   
on prendra  $A_i = A_s = 3710 (2,34 \text{ cm}^2)$

- condition de non fragilité :

on a  $A \geq 0,69 b \cdot h = \frac{5b}{6\pi} = 1,26 \text{ cm}^2$  ou on a  $A_i = A_S = 2,34 \text{ cm}^2 > 1,26 \text{ cm}^2$  (vérifié)

b) armature de répartition :

$$A_r \geq 0,002 \cdot b \cdot h_e = 2,8 \text{ cm}^2 \Rightarrow A_r = 10T6 (2,8 \text{ cm}^2)$$

c) calcul des acciers transversaux :

/ on a  $T_{max} = 3,48 \text{ t}$   $A_t = 4T8 (2,01 \text{ cm}^2)$  déjà  
choisir ce qui donne l'ame également

$$t = \frac{3 \cdot \bar{\sigma}_{et}}{T} \cdot A_t \text{ avec } z = \frac{7}{8} h \Rightarrow t = 50,65 \text{ cm}$$

or  $t \leq \frac{h_e}{4} = 17,5 \text{ cm}$  sur 4.3.3.13 RPA 81.

on prendra alors  $t = 18 \text{ cm}$ .

/ vérification au cisaillement :

$$\bar{\tau}_b = \frac{T}{b \cdot z} = 8,33 \text{ kg/cm}^2 < \bar{\tau}_b = 33,05 \text{ kg/cm}^2 (\text{RPA 81})$$

d) armature d'angle :

on a  $A_u > 0,0018 b \cdot h \cdot t$  si  $\bar{\tau}_b \geq 0,06 \bar{\sigma}_{28} = 16,2 \text{ kg/cm}^2$  (RPA 81)  
or  $\bar{\tau}_b = 8,33 \text{ kg/cm}^2 < 16,2 \text{ kg/cm}^2$  donc il est inutile de mettre  
de l'armature d'angle.

e) vérification des contraintes :

$$w = 100 \cdot \frac{A_m}{b \cdot h} = 0,18 \Rightarrow \begin{cases} \epsilon = 0,9310 \\ h = 57,5 \end{cases}$$

$$\Rightarrow \begin{cases} * \bar{\sigma}_a = \frac{M}{A \cdot \epsilon \cdot h} = 2789,45 \text{ kg/cm}^2 < 4200 \text{ kg/cm}^2 (\text{vérifié}) \end{cases}$$

$$\begin{cases} * \bar{\sigma}'_b = \frac{\sigma_a}{k} = 51,7 \text{ kg/cm}^2 < 202,5 \text{ kg/cm}^2 (\text{vérifié}) \end{cases}$$

f) vérification à la fissuration.

on a  $\sigma_1 = 4551,05 \text{ kg/cm}^2$ ,  $\sigma_2 = 3497,75 \text{ kg/cm}^2$

d'où  $\sigma < \min(\sigma_1, \sigma_2) = 4551,05 \text{ kg/cm}^2$

donc pas de risque de fissuration.

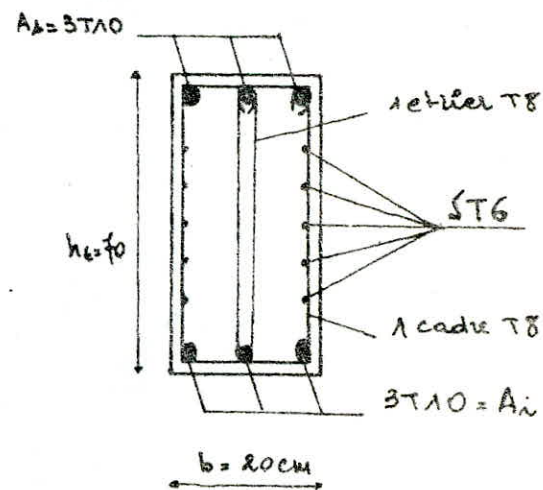
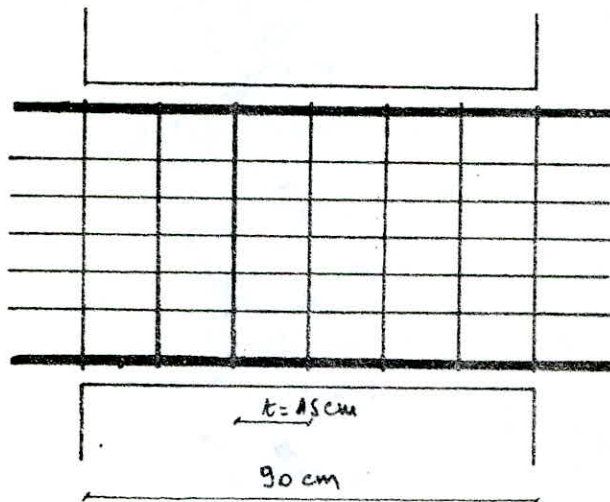
g/ Contrainte d'adhérence adm pour l'entraînement des armatures.

$$\bar{\tau}_d = 2 \cdot 4d \cdot \bar{\sigma}_b \quad (\text{partie})$$

$$\text{mais } \bar{\tau}_d = 2 \times 1,5 \times 8,85 = 26,6 \text{ kg/cm}^2$$

$$\tau_d = \frac{T}{n \cdot P \cdot z} = \frac{9,48 \cdot 10^3}{9 \cdot \pi \cdot 1 \cdot \frac{76}{100} 65} = 17,69 \text{ kg/cm}^2 < 26,6 \text{ kg/cm}^2 \quad (\text{renf.})$$

h/ Représentation du ferrailage.



## H/ L'INTEAU du voile V<sub>T5</sub>

### - Charges permanentes

\* Plancher =  $0,4425 \times 0,528 + 0,524 \times 1,4875 = 1,0131 \text{ t}$   
 \* Poids propre du linéau =  $0,15 \times 0,7 \times 2,5 \times 1,00 = 0,2625 \text{ t}$

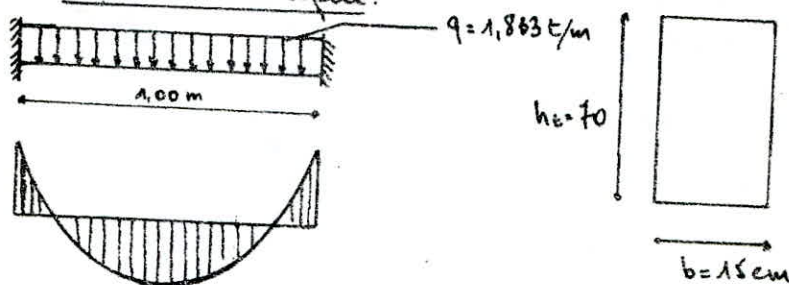
$$\Rightarrow G_1 = 1,276 \text{ t}$$

### - Surcharge

\*  $P = 0,4425 \times 0,25 + 1,4875 \times 0,3 = 0,5575 \text{ t}$

$$\Rightarrow G_1 + P = 1,833 \text{ t} \rightarrow q_a = 1,833 \text{ t/m}$$

### - Schéma statique.



### - Effort sollicitant le linéau:

\* donc  $G_1 + P$  on a : / moment en appui =  $-2M_t = -0,153 \text{ t.m}$   
 / " " " flexion =  $q_1 \frac{l^2}{24} = 0,0764 \text{ t.m}$   
 / effort tranchant max =  $q_1 \frac{l}{2} = 0,916 \text{ t}$

\* le scénario provoque un effort tranchant supplémentaire égal à  $T_{max}$  et un moment  $m = \pm \pi a$  ( $a = \frac{l}{2}$ ) et ce au NIVEAU 3

$$T_{max} = 21,558 \text{ t} \quad \text{d'où } m = 10,773$$

### - Calcul des aciers longitudinaux.

soit /  $T = 1,4 \times 22,474 = 31,46 \text{ t}$        $h_t = 70 \text{ cm}$   
 /  $M = 1,4 \times 10,932 = 15,31 \text{ t.m}$        $b = 15 \text{ cm}$   
 /  $h = h_t - d$ .

Le calcul se fait par la méthode de M. P. Charon.

$$M = \frac{15,31}{\bar{\sigma}_a b \cdot h^2} = 0,0812 \quad \Rightarrow \begin{cases} E = 0,8845 \\ k = 28,3 \end{cases}$$

$$\Rightarrow \bar{\sigma}_b = \frac{\bar{\sigma}_a}{k} = 148,41 \text{ kg/cm}^2 < 202,5 \text{ kg/cm}^2$$

d'où on a pas besoin d'aciers comprimés

la section des aciers tendus sera :  $A = \frac{M}{\bar{\sigma}_a \cdot E \cdot h} = 6,18 \text{ cm}^2$

On prendra  $A_i = A_s = 6 \text{ t} (6,78 \text{ cm}^2)$

- condition de non-fragilité:

on a  $A \geq 0,69 b \cdot h \frac{\sigma_b}{\sigma_{an}} = 0,945 \text{ cm}^2$  or  $A_i = A_d = 678 \text{ cm}^2 > 0,945 \text{ cm}^2$  (vérifié)

b/ armature de répartition:

$$A_r \geq 0,002 b \cdot h_t = 2,1 \text{ cm}^2 \Rightarrow A_r = 8T8 (2,01 \text{ cm}^2)$$

c/ calcul des scies transversaux:

/  $T_{max} = 31,46 t$  on choisit  $A_t = 4T8 (2,01 \text{ cm}^2)$   
c'est à dire 1 étier T8 + 1 cadre T8 ce qui donne comme épaissement

$$t = \frac{g \cdot \bar{G}_t}{T} \cdot A_t \text{ avec } g = \frac{7}{8} h \Rightarrow t = 15,26 \text{ cm}$$

donc  $t = 15,26 \text{ cm} < \frac{h_t}{2} = 17,5 \text{ cm}$

on prendra  $t = 10 \text{ cm}$ .

/ réécriture pour le calcul du béton:

$$\sigma_b = \frac{T_{max}}{b \cdot g} = 32,53 \text{ kg/cm}^2 < 33,05 \text{ kg/cm}^2 \text{ (vérifié)}$$

d) armature d'angle:

on a  $A_x \geq 0,0015 b \cdot h_c$  si  $\sigma_b \geq 0,065 \frac{\sigma_b}{\sigma_{an}} = 16,2 \text{ kg/cm}^2$   
or  $\sigma_b = 32,53 \text{ kg/cm}^2 > 16,2 \text{ kg/cm}^2$  donc il faut mettre des armatures d'angle qui seront disposées en diagonales, dont la section en:

$$A_x \geq 1,575 \text{ cm}^2 \Rightarrow A_x = 4T8 (2,01 \text{ cm}^2)$$

- arrêt des armatures d'angle:

$$l_0 \geq \frac{h_c}{2} + 50 \phi \Rightarrow l_0 = 68 \text{ cm}.$$

- longueur de la barre:

$$L = \sqrt{l_0^2 + l_0^2} + 2 \left( \frac{68}{\cos \alpha} \right) = 288 \text{ cm.}$$

e/ réécriture des contraintes:

$$w = 100 \times \frac{A}{b \cdot h} = 0,6954 \Rightarrow \begin{cases} E = 0,8786 \\ l_0 = 26,2 \end{cases}$$

$$\Rightarrow \times \sigma_a = \frac{M}{A \cdot E \cdot h} = 3954 \text{ kg/cm}^2 < 4200 \text{ kg/cm}^2 \text{ (vérifié)}$$

$$\times \sigma'_b = \frac{\sigma_a}{k} = 150,92 \text{ kg/cm}^2 < 162,5 \text{ kg/cm}^2 \text{ (vérifié)}$$

g/ verification à la fissuration.

$$\sigma_1 = 3495,80 \text{ kg/cm}^2, \quad \sigma_2 = 3192,99 \text{ kg/cm}^2$$

$\bar{\sigma}_a < \max(\sigma_1, \sigma_2) = 3495,80 \text{ kg/cm}^2$   
pas de risque de fissuration.

g/ Contrainte d'adhérence adm pour l'entraînement des armatures.

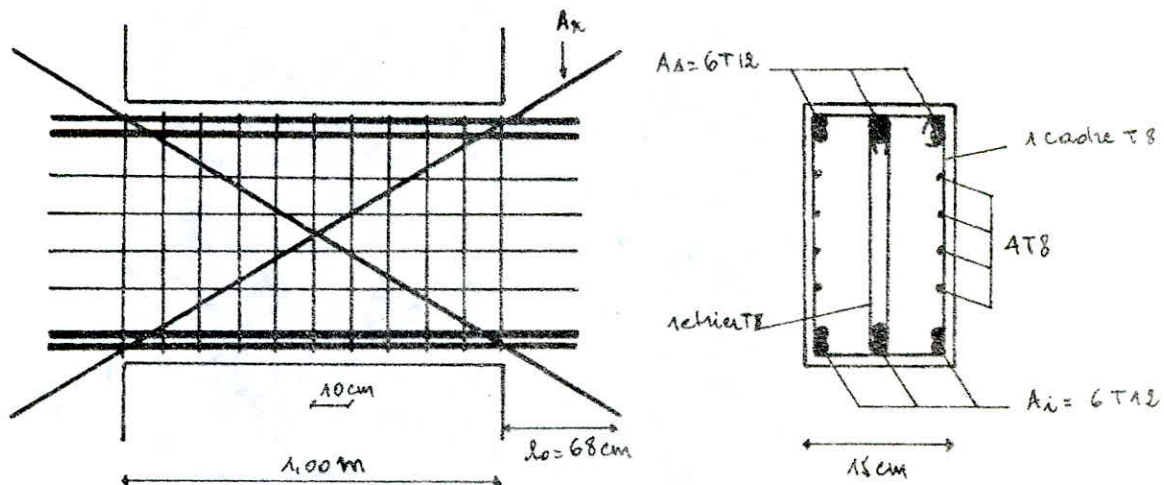
$$\bar{\tau}_d = 2 \cdot t_d \cdot \bar{\sigma}_b \quad (\text{partie})$$

$$\bar{\tau}_d = 26,6 \text{ kg/cm}^2 \text{ car } t_d = 1,3 \text{ (HA)}$$

$$\bar{\sigma}_b = 8,85 \frac{\text{kg}}{\text{cm}^2}$$

$$\tau_d = \frac{T}{n \cdot \pi \cdot r} = \frac{31,46 \cdot 10^3}{6 \cdot \pi \cdot 1,2 \times 7/865} = 24,45 \text{ kg/cm}^2$$

$$\text{mais } \tau_d < \bar{\tau}_d \quad (\text{vérifié})$$

h/ Représentation du ferrailage:

## I/ L'INTEAU du voile $V_{Tz}$

- charge permanente =

$$\# \text{Poids propre du linteau} = 0,15 \times 0,7 \times 2,5 \times 1,77 = 0,265 \text{ t}$$

$$\# \text{Plancher} = 0,528 \times 0,783 + 0,78 = 1,133 \text{ t}$$

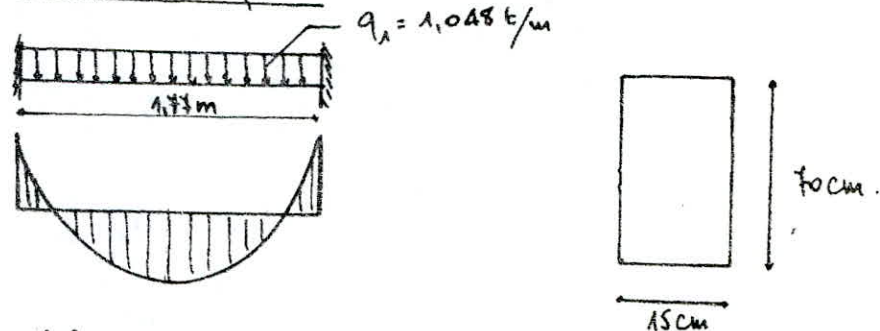
$$\Rightarrow G_1 = 1,658 \text{ t}$$

- Surcharge:

$$\# P = 0,25 \times 0,783 = 0,196 \text{ t}$$

$$\Rightarrow G_1 + P = 1,854 \text{ t} \Rightarrow q_1 = 1,048 \text{ t/m}$$

- Schema statique:



- Effort sollicitant le linteau:

$$\begin{aligned} \# \text{dans } G+P \text{ on a : moment en appui} &= -2 \text{ m.t} = -0,277 \text{ t.m} \\ \# / " " " \text{ trouée} &= q_1 \frac{L^2}{2} = 0,1385 \text{ t.m} \\ \# / \text{effort tranchant max} &= q_1 \frac{L}{2} = 0,923 \text{ t.} \end{aligned}$$

\* le scieuse provoque un effort tranchant supplémentaire égal à  $T_{max}$  et un moment  $M = \pm \pi \cdot Q$  ( $Q = \frac{\theta}{2}$ ) et ce au niveau 3

$$T_{max} = 6,84 \text{ t} \Rightarrow M = 6,053 \text{ t.m}$$

a/ Calcul des acciers longitudinaux:

$$m_{av,T} = 1,4 \times 7,763 = 10,87 \text{ t}$$

$$\therefore M = 1,4 \times 6,33 = 8,86 \text{ t.m}$$

$$ht = 70 \text{ cm}$$

$$b = 15 \text{ cm}$$

$$h = ht - d$$

le calcul se fera par la méthode de M. P. CHARON.

$$M = \frac{15 \cdot M}{\overline{C}_a \cdot b \cdot h^2} = 0,047 \Rightarrow \begin{cases} E = 0,9088 \\ \epsilon_c = 39,8 \end{cases}$$

$$\Rightarrow \sigma'_b = \frac{\overline{C}_a}{b} = 105,53 \text{ kg/cm}^2 < 202,5 \text{ kg/cm}^2 \text{ d'où pas d'acciers comprimés}$$

la section d'acciers tendus est:

$$A = \frac{M}{\overline{C}_a \cdot E \cdot h} = 3,47 \text{ cm}^2 \Rightarrow A_i = A_d = 6710 (4,68 \text{ cm}^2)$$

### - Condition de non-fragilité

$$\text{on a } A \geq 0,69 b \cdot h_t \quad \bar{\sigma}_{\text{car}} = 0,945 \text{ cm}^2$$

$$\text{et } A_t = A_A = 4,68 \text{ cm}^2 > 0,945 \text{ cm}^2 \text{ (vérifié)}$$

### b/ armature de répartition.

$$A_r \geq 0,002 b \cdot h_t = 2,1 \text{ cm}^2 \Rightarrow A_r = 8T6 (2,24 \text{ cm}^2)$$

### c/ calcul des aciers transversaux:

$$\therefore T_{\text{max}} = 10,8 + t \quad A_t = 2,01 \text{ cm}^2 \text{ (choisi)} \\ \text{ce qui donne comme espacement:}$$

$$t = \frac{g \cdot \bar{\sigma}_{\text{car}}}{T} \cdot A_t \Rightarrow t = 44,16 \text{ cm}$$

$$\text{or } t \leq 17,5 \text{ cm} = \frac{h_t}{4} \text{ (RPA 81)} \quad \text{on prendra alors } t = 16 \text{ cm}$$

### / vérification du débordement du béton:

$$\tau_b = \frac{T_{\text{max}}}{b \cdot z} = 12,75 \text{ kg/cm}^2 < 33,05 \text{ kg/cm}^2 \text{ (RPA 81)}$$

### d) armature d'angle

$$\text{on a } A_t \geq 0,0015 b \cdot h_t \text{ si } \tau_b \geq 0,065 \cdot 18 = 16,2 \text{ kg/cm}^2 \text{ (RPA 81)}$$

or  $\tau_b = 12,75 \text{ kg/cm}^2 < 16,2 \text{ kg/cm}^2$  donc il n'est pas nécessaire de mettre des armatures d'angle.

### e/ vérification des contraintes:

$$w = 100 \cdot \frac{A}{b \cdot h} = 0,4657 \Rightarrow \epsilon = 0,8965 \text{ et } f_c = 33,3$$

$$\Rightarrow \left\{ \begin{array}{l} \sigma_{\text{car}} = \frac{M}{A \cdot E \cdot h} = 3151,83 \text{ kg/cm}^2 < 4200 \text{ kg/cm}^2 \text{ (vérifié)} \\ \sigma'_b = \frac{\sigma_a}{k} = 94,65 \text{ kg/cm}^2 < 202,5 \text{ kg/cm}^2 \text{ (vérifié)} \end{array} \right.$$

### f/ vérification à la fissuration:

$$\sigma_1 = 9221,68 \text{ kg/cm}^2, \quad \sigma_2 = 3497,75 \text{ kg/cm}^2$$

$$\bar{\sigma}_a < \text{max}(\sigma_1, \sigma_2) = 9221,68 \text{ kg/cm}^2$$

donc pas de risque de fissuration.

g/ Contrainte d'adhérence adm pour l'entraînement des armatures:

$$\bar{\tau}_d = 2 \cdot 4d \cdot \bar{\sigma}_b \text{ (partie)}$$

$$\bar{\tau}_d = 26,6 \text{ kg/cm}^2$$

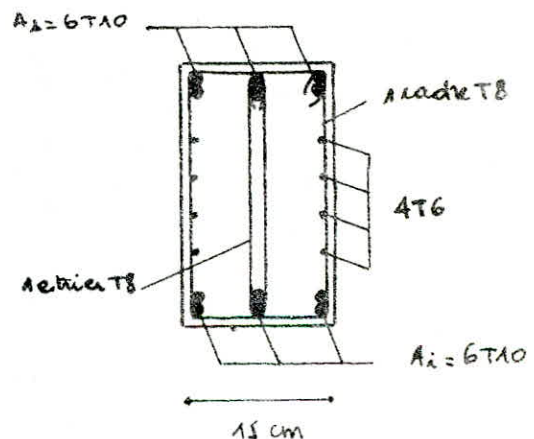
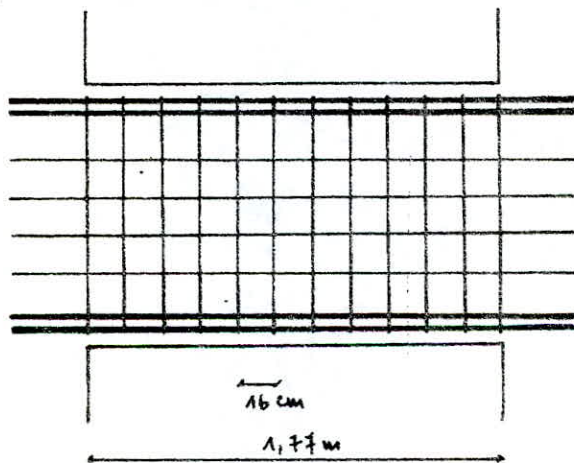
$$4d = 1,5 \text{ (HA)}$$

$$\bar{\sigma}_b = 3,85 \text{ kg/cm}^2 \text{ (SP)}$$

$$\tau_d = \frac{T}{n \cdot P \cdot z} = \frac{10,8 \times 10^3}{6 \times \pi \cdot 1 \times \frac{3}{8} \cdot 65} = 10,14 \text{ cm}^3 \cdot \text{kg}$$

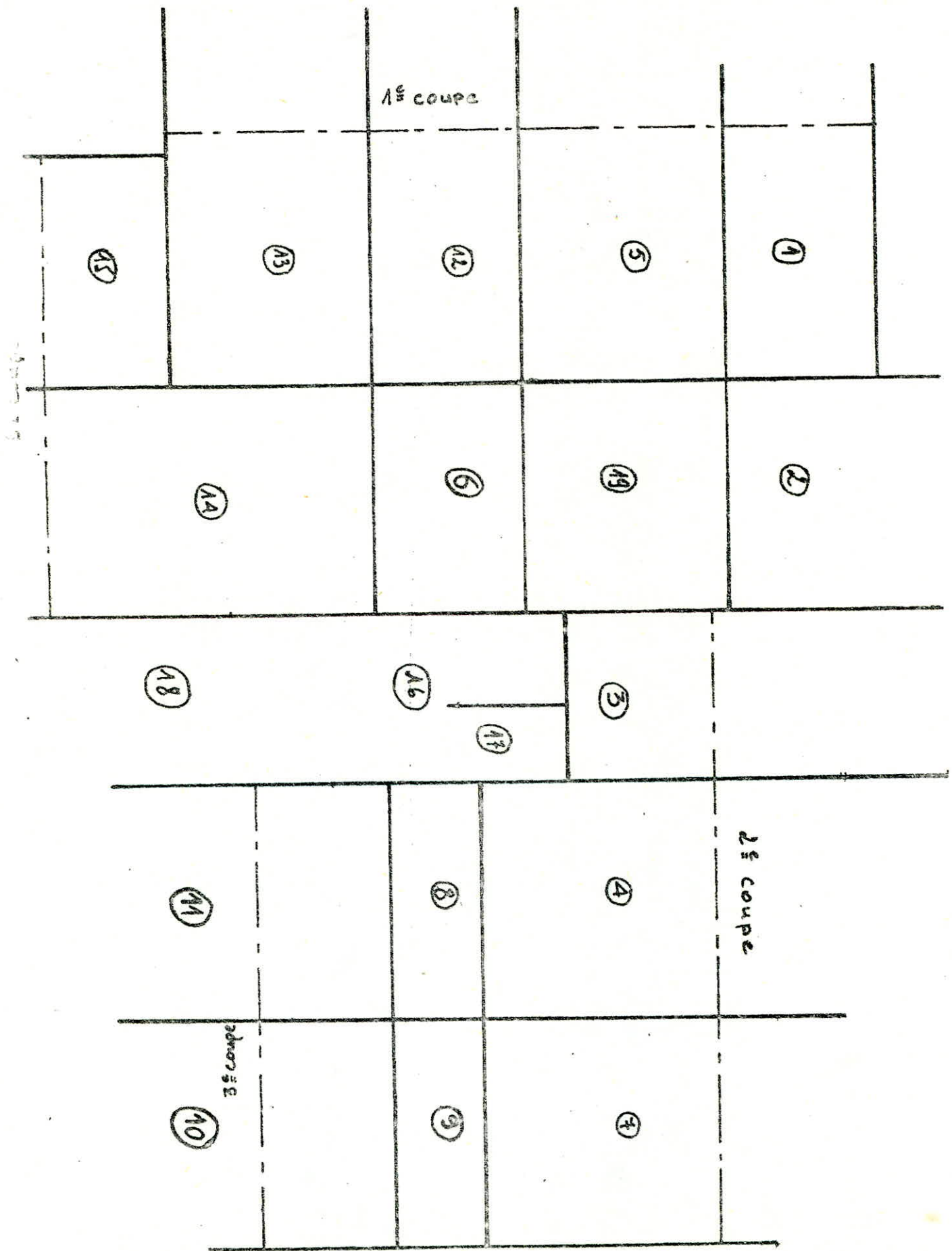
$$\tau_d = \tau_d < \bar{\tau}_d \text{ (vérifié)}$$

h/ Représentation du ferrailage.



CHAP:8

CALCUL DES  
ELEMENTS



## Etude des planchers

La structure voiles porteurs de notre bâtiment présentant une importante rigidité, le plancher adéquat est un plancher à dalle pleine car celui présente une grande rigidité relativement aux plancher d'corps creux.

On a 3 types de planchers qui diffèrent par les charges qui les sollicitent :

- plancher terrasse.
- plancher Courant.
- plancher rez-de-chaussée.

### 1. Plancher terrasse.

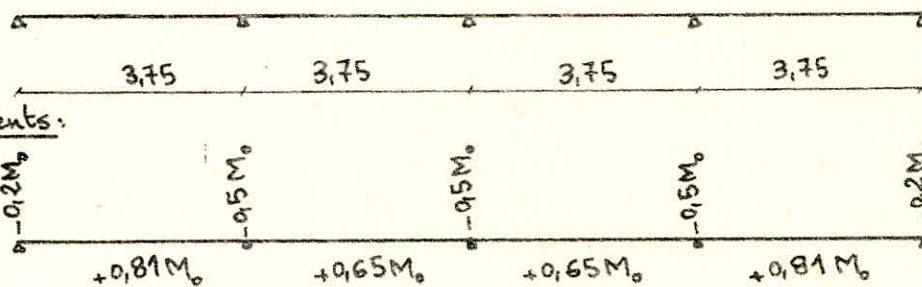
On assimilera la dalle à une poutre continue sur plusieurs appuis, réalisés par les refends, par bande de largeur unité (1 mètre) ; les moments sont obtenus à partir de la méthode l'orfaitaire présente dans l'article 55 du CCBAG 68.

#### a. Poutre transversale unitaire - Coupe 1-1 - Dalles (13;12;5;1).

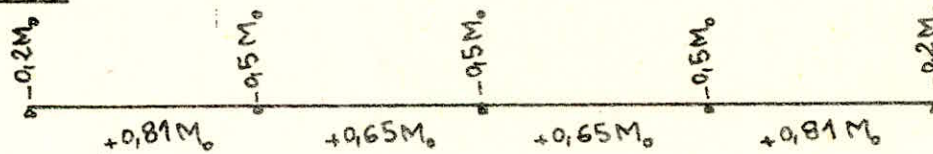
$$W/\text{charge} : Q = G + 1,2 P = 0,801 + 1,2 \times 0,100 = 0,921 \text{ t/m}^2$$

Pour la poutre unitaire  $q = 0,921 \text{ t/m}$ ;

#### b. Schéma statique:



#### c. Valeur des moments:



Ces valeurs représentent les fractions, en appui ou en travée, du moment isostatique  $M_0$ .

$$M_0 = \frac{q \cdot l^2}{8} = \frac{0,921 \times (3,75)^2}{8} = 1618,9 \text{ kg.m.}$$

travées de rive :  $M = 0,81 M_0 = 0,81 \times 1618,9 = 1311,3 \text{ kg.m.}$

travées intermédiaires :  $M = 0,65 M_0 = 0,65 \times 1618,9 = 1052,3 \text{ kg.m.}$

Appuis de rive :  $M = -0,2 M_0 = -323,8 \text{ kg.m.}$

Appuis intermédiaires :  $M = -0,5 M_0 = -809,4 \text{ kg.m.}$

#### d. Ferraillage: (P. charon)

d. travées de rive :  $M = 1311,3 \text{ kg.m.}$

$$b = 1 \text{ m} = 100 \text{ cm} ; h = 16 - 3 = 13 \text{ cm} ; \bar{\sigma}_a = \frac{2}{3} \sigma_{en} = 2800 \text{ kg/cm}^2 ;$$

$$\mu = \frac{15 \cdot M}{\bar{\sigma}_a b h^2} = \frac{15 \times 1311,3 \cdot 10^2}{2800 \times 100 \times (13)^2} = 0,0415 \quad \begin{cases} k = 42,8 \\ E = 0,9135 \end{cases}$$

$$A = \frac{M}{\bar{\sigma}_a \cdot E \cdot h} = 3,94 \text{ cm}^2 \quad \text{On disposera: } ST 10 \text{ p.m.}$$

-145-

- b. Appuis intermédiaires:  $M = 1052,3 \text{ kg.m}$ ;  $\bar{\sigma} = 0,0334$  d'où:  $k = 48,7$  et  $E = 0,9215$ . donc des armatures comprimées ne sont pas nécessaires car  $\frac{\bar{\sigma}_a}{k} = 57,5 \text{ kg/cm}^2 < \bar{\sigma}'_b = 137,5 \text{ kg/cm}^2$   
 $A = \frac{M}{\bar{\sigma}_a E h} = 3,14 \text{ cm}^2$ . On disposera: 5 T 10 p.m

Appuis de rive:  $M = -323,8 \text{ kg.m}$ ;

$$\bar{\sigma} = 0,01026 \text{ d'où: } k = 95,0 \text{ et } E = 0,9545. \text{ on a } \frac{\bar{\sigma}_a}{k} < \bar{\sigma}'_b \text{ (idem).}$$

$$A = \frac{M}{\bar{\sigma}_a E h} = \frac{323,8 \cdot 10^2}{2800 \times 0,9545 \times 13} = 0,93 \text{ cm}^2 \text{ On disposera: 5 T 6 p.m}$$

- c. Appuis intermédiaires:  $M = 809,4 \text{ kg.m}$ ;  
 $\bar{\sigma} = 0,0256$  d'où  $k = 56,7$  et  $E = 0,9303$ ; on a bien  $\frac{\bar{\sigma}_a}{k} = \frac{2800}{56,7} < \bar{\sigma}'_b$ ;  
 $A = \frac{M}{\bar{\sigma}_a E h} = 2,39 \text{ cm}^2$ . On disposera: 4 T 10 p.m

#### Vérification du cisaillement:

Pour les dalles, il est toujours, incommodé de disposer des armatures transversales.  
Il suffit de vérifier que:  $\bar{\tau}_b^{\max} < 1,15 \bar{\sigma}_b$ ;

$$T_0 = \frac{q l}{2} = \frac{921 \times 3,75}{2} = 1726,875 \text{ kg. (effort tranchant isostatique).}$$

$$\text{Pour la poutre continue: } T^{\max} = T_0 - \frac{\Delta M}{l} = -1726,875 - \frac{(0,5M_0 - 0,2M_0)}{3,75} = 1856,9$$

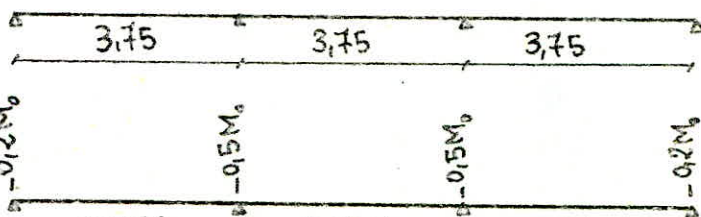
$$\bar{\tau}_b^{\max} = \frac{T^{\max}}{b \cdot z} = \frac{T^{\max}}{b \cdot (Eh)_s} = \frac{1856,9}{100 \times (0,9545 \times 13)} = 1,50 \text{ kg/cm}^2.$$

$\bar{\tau}_b = 1,15 \bar{\sigma}_b = 1,15 \times 5,9 = 6,785 \text{ kg/cm}^2$ ; Nous avons bien:  $\bar{\tau}_b^{\max} \leq 6,785 \text{ kg/cm}^2$ .  
Par conséquent il est inutile de disposer des armatures transversales.

#### b. Poutre Longitudinale unitaire - Coupe 2-2 - Dalles (7; 4; 3).

charge:  $q = 921 \text{ kg/ml}$ ;

schéma statique:



Value of moments:

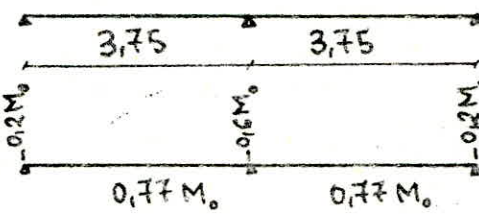
$\Sigma M$	$\Sigma M$	$\Sigma M$
?	0	0

Les résultats sont identiques à la partie a).

C. Seconde poutre longitudinale - Coupe 3-3 - Dalles [(14; 15) ou (10; 11)].

V/ charge :  $q = 921 \text{ kg/m}^2$ ;

VI/ Schéma statique :



VII/ Valeur des moments :

$$M_0 = \frac{q l^2}{8} = 1618,9 \text{ kg.m};$$

travées :  $M = 0,77 M_0 = 1246,55 \text{ kg.m}$ ;

appuis dérivés :  $M = -0,2 M_0 = -323,8 \text{ kg.m}$ ;

appui intermédiaire :  $M = -0,6 M_0 = -971,34 \text{ kg.m}$ ;

VI/ Ferrailage :

X- travée :  $M = 1246,55 \text{ kg.m}$  ;  
 $\mu = \frac{15M}{\bar{\sigma}_a b h^2} = \frac{15 \times 1246,55 \cdot 10^2}{2800 \times 100 \times (13)^2} = 0,0395 \rightarrow \begin{cases} k = 44,2 \\ E = 0,9155. \end{cases}$

$$A = \frac{M}{\bar{\sigma}_a \cdot E \cdot h} = \frac{1246,55 \cdot 10^2}{2800 \times 0,9155 \times 13} = 3,74 \text{ cm}^2.$$

On disposera : 5 T10 p.m

B- appui de rive :  $M = -323,8 \text{ kg.m}$ ;

déjà vu :  $A = 0,93 \text{ cm}^2$ . On disposera : 5 T6 p.m

C- appui intermédiaire :  $M = -971,34 \text{ kg.m}$ ;

$$\mu = 0,0308 \rightarrow \begin{cases} E = 0,9242 \\ k = 51,0 \end{cases} \quad \text{d'où } A = 2,89 \text{ cm}^2$$

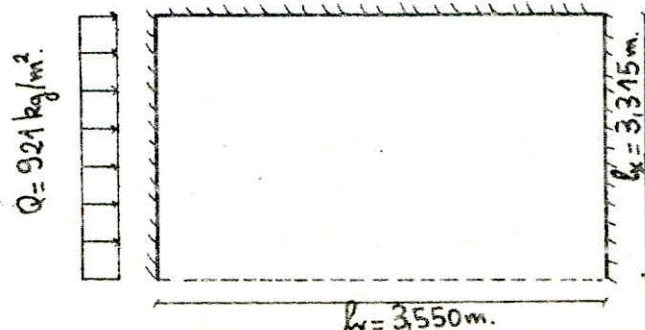
On disposera : 4 T10 p.m

J. Dalles sur trois appuis : Dalles (2; 15; 17).

On ferraillera la dalle la plus défavorable ; les armatures trouvées seront étendues aux deux autres dalles.

La détermination des moments se fera à l'aide du manuel "Reinforced Concrete design handbook" p.98 de M. S. Shaker-el-Behairy.

$$\beta = \frac{l_x}{l_y} = \frac{3,315}{3,550} = 0,934 \rightarrow \begin{cases} M_y \Rightarrow 36,3 \\ M_x \Rightarrow 8,9. \end{cases}$$



- 147 -

On suppose que la dalle est simplement appuyée sur trois côtés puis pour tenir compte de la continuité on prend une fraction, de la manière suivante, des moments trouvés.

$$M_{y\max} = \frac{1}{36,3} \times Ql_x^2 = 278,82 \text{ kg.m/m} ;$$

$$\left\{ M_{x\max} = \frac{1}{8,9} \times Ql_x^2 = 1137,20 \text{ kg.m/m} ; \right.$$

La continuité de la dalle au delà des appuis donne :

X-en travée:

$$M_{tx} = M_{x\max} \times 0,75 = 1137,20 \times 0,75 = 852,9 \text{ kg.m/m} ;$$

$$M_{ty} = M_{y\max} \times 0,75 = 278,82 \times 0,75 = 209,12 \text{ kg.m/m} ;$$

B-sur appui:

$$M_{ax} = M_{x\max} \times 0,5 = 1137,20 \times 0,5 = 568,6 \text{ kg.m/m} ;$$

$$M_{ay} = M_{y\max} \times 0,5 = 278,82 \times 0,5 = 139,41 \text{ kg.m/m} ;$$

Calcul des armatures:

X-en travée:  $M_{tx} = 852,9 \text{ kg.m/m}$ ;

$$\mu = \frac{15 \times 852,9 \cdot 10^2}{2800 \times 100 \times (13)^2} = 0,0270 \longrightarrow \begin{cases} \epsilon = 0,9286 \\ k = 55,0 \end{cases}$$

$$A = \frac{M_{tx}}{\bar{\sigma}_a \epsilon h} = \frac{852,9 \cdot 10^2}{2800 \times 0,9286 \times 13} = 2,52 \text{ cm}^2 ;$$

On disposera: 4 T 10 p.m  
dans le sens de la petite portée

B-sur appui:  $M_{ax} = 568,6 \text{ kg.m/m}$ ;

$$\mu = 0,0180 \longrightarrow \begin{cases} \epsilon = 0,9408 \\ k = 69,5 \end{cases}$$

$$A = 1,68 \text{ cm}^2 . . . . . \quad \text{On disposera: 4 T 8 p.m}$$

X-en travée (grande portée):  $M_{ty} = 209,12 \text{ t.m}$ ;

$$\mu = 0,0066 \longrightarrow \begin{cases} \epsilon = 0,9637 \\ k = 127 \end{cases}$$

d'où:  $A = 0,60 \text{ cm}^2$  On disposera: 5 T 6 p.m  
dans le sens de la grande portée

c- Dalles sur quatre appuis - Dalles (8; 9; 6; 19).

On utilisera la méthode exposée à l'annexe A2 du CCBAG68 pour la dalle la plus défavorable et on tiendra compte de la continuité au delà des appuis à l'aide de coefficients.

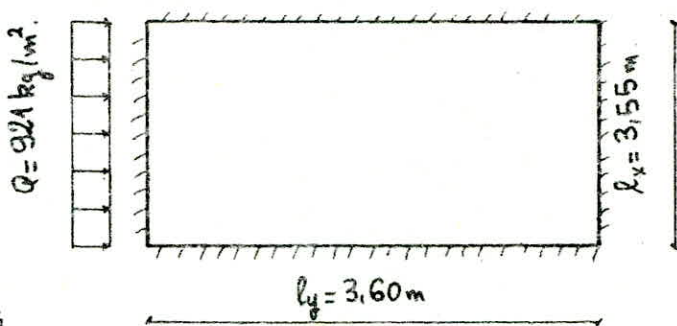
$$\beta = \frac{l_x}{l_y} = \frac{3,55}{3,60} = 0,986 \quad ((0,4 \leq \beta \leq 1) : \text{les deux poutres sont porteuses}).$$

$$\beta = 0,986 \quad \begin{cases} \mu_x = 0,0435 \\ \mu_y = 0,976. \end{cases}$$

- Moments isostatiques:

$$M_x = \mu_x q l_x^2 = 504,9 \text{ kg.m/m};$$

$$M_y = \mu_y M_x = 492,78 \text{ kg.m/m};$$



- Moments compte tenu de la Continuité:

a- en travées:

$$M_{tx} = 0,75 \times 504,9 = 378,67 \text{ kg.m/m};$$

$$M_{ty} = 0,75 \times 492,78 = 369,58 \text{ kg.m/m};$$

b- sur appuis:

$$M_{ax} = 0,50 \times 504,9 = 252,45 \text{ kg.m/m};$$

$$M_{ay} = 0,50 \times 492,78 = 246,39 \text{ kg.m/m};$$

- Ferraillage:

a- en travée (petite portée):  $M_{tx} = 378,67 \text{ kg.m/m}$ .

$$\mu = 0,012 \rightarrow \begin{cases} E = 0,9510. \\ k = 87,0. \end{cases} \text{ d'où } A = 1,09 \text{ cm}^2 \rightarrow 5T6 P.M$$

b- en appui (petite portée):  $M_{ax} = 252,45 \text{ kg.m/m}$ ;

$$\mu = 0,008 \rightarrow \begin{cases} E = 0,9597. \\ k = 109. \end{cases} \text{ d'où } A = 0,72 \text{ cm}^2 \rightarrow 5T6 P.M$$

Condition de non fragilité: (CCBA68. art. 52,2).

$$A_x \geq 0,69 \cdot \frac{\bar{f}_b}{f_{en}} \cdot b \cdot h \cdot \frac{2-\beta}{2} = 0,69 \times \frac{5,9}{4200} \times (100 \times 13) \times \frac{2-0,986}{2} = 0,64 \text{ cm}^2;$$

$$A_y \geq 0,69 \cdot \frac{\bar{f}_b}{f_{en}} \cdot b \cdot h \cdot \frac{1+\beta}{4} = 0,69 \times \frac{5,9}{4200} \times (100 \times 13) \times \frac{1+0,986}{4} = 0,62 \text{ cm}^2;$$

Section strictement minimale: (CCBA68. 19,22 - mise à jour XIV).

$$A \geq \frac{1,2}{f_{en} - 2200} \cdot b \cdot h = \frac{1,2}{4200 - 2200} \times (100 \times 13) = 0,78 \text{ cm}^2;$$

- 149 -

en travée ( grande portée):  $M_{ty} = 369,58 \text{ Nm/m}$  ;

$$\mu = 0,0117 \quad \begin{cases} E = 0,9517 \\ k = 88,5 \end{cases} \quad A = 1,07 \text{ cm}^2$$

On dispose ST6 p.m.

sur appui ( grande portée):  $M_{ay} = 246,39 \text{ tm}$

$$\mu = 0,0078 \quad \begin{cases} E = 0,9600 \\ k = 110 \end{cases} \quad A = 0,705 \text{ cm}^2 < A_o = 0,78 \text{ cm}^2$$

On disposera ST6 p.m.

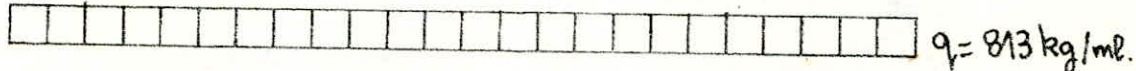
-150-

## 2 - Plancher Courant.

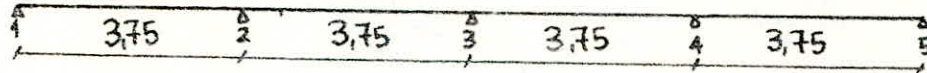
$$\text{charge de Calcul: } Q = G + 1,2P + P_c = 528 + (1,2 \times 175) + 75 = 813 \text{ kg/m}^2;$$

De la même manière que le paragraphe précédent, les mêmes poutres unitaires seront considérées.

a. Poutre transversale unitaire - Coupe A-A. Dalles (13; 12; 5; 1).



$$q = 813 \text{ kg/m}^2$$



$\rightarrow$	1	2	3	4	5	6	7	$\leftarrow$
	1.2		2.3		3.4		4.5	
	1429,1		1429,1		1429,1		1429,1	
-0,2	+0,81	0,5	+0,65	0,5	+0,65	0,5	+0,81	0,2
	1157,6		928,9		928,9		1157,6	
285,8		244,5		244,5		244,5		285,8
	3,46		2,76		2,76		3,46	
0,82		2,10		2,10		2,10		0,82
	5T10 5T6		5T10 5T6		5T10 5T6		5T10 5T6	
4T8		4T8		4T8		4T8		5T6

Condition de non fragilité:

$$A \geq 0,69 \cdot \bar{\sigma}_b \cdot b h = 0,69 \times \frac{5,9}{4200} \times (100 \times 13) = 1,26 \text{ cm}^2.$$

Toutes les sections d'armatures seront choisies supérieures à  $1,26 \text{ cm}^2/\text{m}$ .

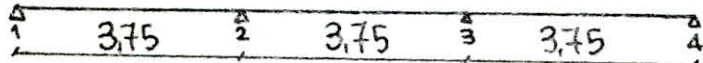
Vérification au cisaillement:

Vérifiée d'après le paragraphe précédent.

- 151 -

b. Poutre Longitudinale unitaire - Coupe 2-2 - Dallas (7; 4; 3).

$$\boxed{\quad \quad \quad \quad \quad \quad \quad} \quad q = 813 \text{ kg/ml.}$$



$\rightarrow$	1	2	3	4	Appui	travée
	1-2	2-3	3-4		Mot (kg/m)	
	14291	14291	14291		Coefficien	(-)
	+0,81	-0,5	+0,65	-0,5	-0,2	$M_t$ (kg.m)
	1157,6		928,9		1157,6	$M_o$ (kg.m)
	285,8		744,5		285,8	appui
	0,82		2,10		0,82	trav.
	3,46		2,76		3,46	appui
	AT8		AT8		AT8	trav.
	5T10		5T10		5T10	appui
	5T6		5T6		5T6	travée

Condition de fragilité :

$$A > 1,26 \text{ cm}^2 \quad (\text{prise en compte dans } A \text{ disposé}).$$

Vérification au cisaillement :

Vérifiée :  $\bar{c}_b \leq \bar{c}_{b_{\max}} = 1,15 \bar{c}_b$ . On ne dispose pas d'armatures transversal.

$$M = 285,8 \text{ kg.m} \xleftarrow{\text{A} = 0,82 \text{ cm}^2 < 1,26 \text{ cm}^2} \xleftarrow{\text{576 p.m}} \text{L'axe de trave}$$

$$B - \text{pur appui intermédiaire: } M = 857,5 \text{ kg.m} \xleftarrow{\text{A} = 2,54 \text{ cm}^2 > 1,26 \text{ cm}^2} \xleftarrow{\text{4710 p.m}} \\ M = 1100,4 \text{ kg.m} \xleftarrow{\text{A} = 3,29 \text{ cm}^2 > 1,26 \text{ cm}^2} \xleftarrow{\text{5710 p.m}} \text{L'axe de trave}$$

d. En trave:

Calcul des armatures:

$$\text{Condition de non fragilité: } A \geq 0,69 \cdot b \cdot h \cdot \frac{f_{ck}}{f_{ck}} = 1,26 \text{ cm}^2$$

$$M = -0,16 M_o = -857,5 \text{ kg.m};$$

Moment pur appuyé intermédiaire:  $M = -0,12 M_o = -285,8 \text{ kg.m};$

Moment pur appuyé revé:  $M = 0,12 M_o = 1100,4 \text{ kg.m};$

Moment en trave:  $M_o = q_{ef} l_e = 813 \times (3,75)^2 = 1429,1 \text{ kg.m};$

$$\text{Moments résistances: } M_o = q_{ef} l_e = 813 \times (3,75)^2 = 1429,1 \text{ kg.m};$$

$$\text{Valeurs des moments: } \begin{array}{c} M_o \\ \hline 0 \\ 0,77 M_o \\ 0,77 M_o \\ +0,77 M_o \\ +0,77 M_o \end{array}$$



$$q = 813 \text{ kg/m}^2$$

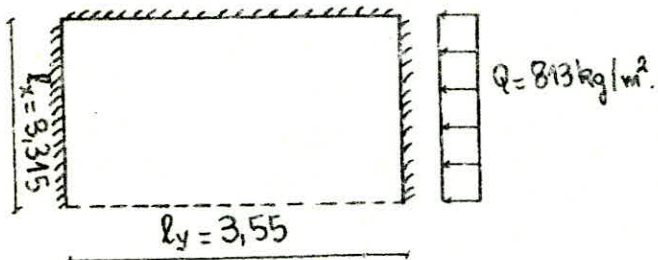
C. Secondes portée longitudinale - Coupe 3-3 - Dalle (14; 15) ou (10; 11)

- 152 -

d. Dalles pur trois appuis.

On s'intéressera à la plus défavorable.

$$g = \frac{l_x}{l_y} = \frac{3,315}{3,550} = 0,934 \longrightarrow \begin{cases} \alpha(M_y) = 36,3 \\ \alpha(M_x) = 8,90 \end{cases}$$



Les moments pour la dalle simplement appuyée par 3 côtés sont:

$$M_y^{\max} = \frac{1}{36,3} \cdot Q \cdot l_x^2 = 246,12 \text{ kg.m/m.}$$

$$M_x^{\max} = \frac{1}{8,9} \cdot Q l_x^2 = 1003,85 \text{ kg.m/m.}$$

La continuité au delà des appuis donne les réductions suivantes :

A - en travée:

$$M_{tx} = M_x^{\max} \cdot 0,75 = 752 \text{ kg.m/m.}$$

$$M_{ty} = M_y^{\max} \cdot 0,75 = 184,59 \text{ kg.m/m.}$$

B - sur appui:

$$M_{ax} = M_x^{\max} \cdot 0,5 = 501,92 \text{ kg.m/m.}$$

$$M_{ay} = M_y^{\max} \cdot 0,5 = 123,06 \text{ kg.m/m.}$$

Calcul des armatures:

A - en travée (1 grande portée).

$$A = 2,40 \text{ cm}^2 \quad \text{On disposera 5T10 p.m.}$$

B - sur appui (1 grande portée).

$$A = 1,49 \text{ cm}^2 \quad \text{On disposera 4T8p.m.}$$

C - Dans l'autre sens le ferrailage calculé est minimum et on adopte 5T6 p.m.

e. Dalles sur quatre appuis. Dalles (8; 9; 6; 19).

En Considérant l'étude en terrasse on trouve un ferrailage minimum.  
On disposera :

puisant la petite portée : 5T6 p.m

" La grande portée : 5T6 p.m

f. Loggias:

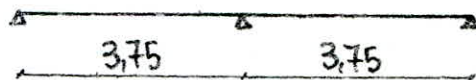
Elles subissent des surcharges d'exploitation de 300 kg/m<sup>2</sup>. L'épaisseur de la dalle de Loggia est conservée 16 cm.

charge de Calcul:  $Q = G + 1,2P = 528 + (1,2 \times 300) = 888 \text{ kg/m}^2$ .

Nous pouvons toujours les formules forfaitaires car :  $G > 1,2P$ .

Nous avons trois couples de Loggia adjacentes aux dalles (1; 5) - (11; 18) et (12; 13).

Schéma statique:



$$M_0 = \frac{q \cdot l^2}{8} = 1560,94 \text{ kg.m};$$

A - en travée:

$$M = 0,77M_0 = 1201,92 \text{ kg.m} \rightarrow A = 3,6 \text{ cm}^2 \rightarrow 5T10 \text{ p.m}$$

B - sur appui intermédiaire:

$$M = -0,6M_0 = 936,56 \text{ kg.m} \rightarrow A = 2,78 \text{ cm}^2 \rightarrow 4T10 \text{ p.m}$$

C - sur appui de rive:

$$M = -0,2M_0 = 312,19 \text{ kg.m} \rightarrow A = 0,96 \text{ cm}^2 \rightarrow 5T6 \text{ p.m}$$

### Poutres noyées

#### I- Poutre ( $V_{T_2} + V_{T_3}$ ).

Cette poutre reprend une surface  $S = 2 \times (2,76 \times 3,60) = 4,97 \text{ m}^2$ .  
Elle est partiellement encastrée au voiles  $V_{T_2}$  et  $V_{T_3}$ .

Dimensions:  $l = 2,76 \text{ m}$ .

$$h_t = 16 \text{ cm}.$$

$$h = 14 \text{ cm}.$$

$$b = 20 \text{ cm}.$$

charge permanente (niveau R.D.C) :  $G = S \times 0,628 = 3,12 \text{ t}$

surcharge d'exploitation ( " ) :  $P = 5 \times 0,400 = 1,99 \text{ t}$

charge de Calcul:  $Q = G + 1,2P = 5,51 \text{ t}$

$$q = \frac{Q}{l} = 2 \text{ t/m}.$$

#### 1. Armatures Longitudinales:

On suppose que le moment est  $M_a = M_b = \frac{q l^2}{12}$  tant pour appui qu'en travée.

$$M = \frac{q l^2}{12} = \frac{2 \times (2,76)^2}{12} = 1,27 \text{ t.m} = 1270 \text{ kg.m};$$

$$\mu = \frac{15M}{F_a b h^2} = \frac{15 \times 1270 \times 10^2}{2800 \times 20 \times (14)^2} = 0,1736 \quad k = 17,05. \quad (\text{P. CHARON}).$$

$$\varepsilon = 0,8440.$$

$\frac{\bar{F}_a}{k} = \frac{2800}{17,05} = 164,2 > \bar{F}'_b = 137,5 \text{ kg/cm}^2$ . Des armatures comprimées sont par conséquent nécessaires.

Dans ce cas on fixe  $k = \frac{\bar{F}_a}{\bar{F}'_b} = \frac{2800}{137,5} = 20,36$  on prend  $k = 18$  pour

lequel on calcule:  $\kappa = 0,4545$ ;  $w = 1,263$ ;  $\mu' = 0,1928$ .

$$\therefore F_a = k \cdot \bar{F}'_b = 18 \times 137,5 = 2475 \text{ kg/cm}^2 < \bar{F}_a.$$

$$\therefore F'_a = 15 \cdot \left( \frac{\kappa - \delta'}{\kappa} \right); \delta' = \frac{d'}{h} = \frac{2}{14} = 0,143.$$

$$F'_a = 15 \cdot \frac{0,4545 - 0,143}{0,4545} = 1413,57 \text{ kg/cm}^2 < \bar{F}_a.$$

$$\therefore M_o = \mu' b h^2 \cdot \bar{F}'_b = 0,1928 \times 20 \times (14)^2 \times 137,5 = 103919,2 \text{ kgcm};$$

$$\Delta M = M - M_o = (1270 - 1039,192) \cdot 10^2 = 23,080 \text{ kg.cm.} 10^3;$$

#### armatures comprimées:

$$A' = \frac{\Delta M}{(h-d') \cdot \bar{F}'_a} = 1,36 \text{ cm}^2. \quad \text{On disposera: 4T8}$$

en nappe supérieure(travée)

#### armatures tendues:

$$A = w \cdot \frac{bh}{100} + \frac{\Delta M}{(h-d') \cdot \bar{F}_a} = 4,31 \text{ cm}^2.$$

On disposera: 4T12.

2. Armatures transversales:

$$\text{à l'appui : } T = \frac{q l}{2} = 2760 \text{ kg.}$$

$$Z_b = \frac{T}{b \cdot z} = \frac{2760}{20 \times (0,87 \times 14)} = 11,33 \text{ kg/cm}^2.$$

$$Z_b = 11,33 < 3,5 \bar{\sigma}_b = 3,5 \bar{\sigma}_0 = 3,5 \times 5,9 = 20,65 \text{ kg/cm}^2.$$

Dans ce cas il suffit de disposer des armatures transversales perpendiculaires à la ligne moyenne ; Elles seront composées de cadres de nuance AdxFe24

Taux de travail admissible de ces armatures :  $\bar{\sigma}_{at} = \left(1 - \frac{Z_b}{9 \bar{\sigma}_b}\right) \cdot \sigma_{en.}$

$$\bar{\sigma}_{at} = \left(1 - \frac{11,33}{9 \times 5,9}\right) \cdot 2400 = 1887,91 \text{ kg/cm}^2 > \frac{2}{3} \times \sigma_{en.} \rightarrow \bar{\sigma}_{at} = \frac{2}{3} \sigma_{en.}$$

On choisit 2 cadres  $\phi 8$  par plan. D'où une section  $A_t = 4\phi 8 = 2,01 \text{ cm}^2$ .

— Espacement des cadres au voisinage de l'appui :

$$t = \frac{A_t \cdot z \cdot \bar{\sigma}_{at}}{T} = 14,7 \text{ cm ; avec } z = 0,87 h = 0,87 \times 14 = 12,2 \text{ cm.}$$

— Espacement maximal réglementaire : (C.C.B.A 68- art. 25,12).

$$t_{max} \leq \left(0,2h ; h \left(1 - \frac{0,3 Z_b}{\bar{\sigma}_b}\right)\right)_{max}$$

$$t_{max} \leq \max(2,8 \text{ cm}; 5,9 \text{ cm}) < t = 14,7 \text{ cm.}$$

Cet article limite l'espacement à 5,9 cm au niveau de la section d'appui.

On peut tolérer un espacement initial de 7 cm.

La Suite de Caquot permet d'augmenter l'espacement comme suit :

$$7; 8; 9; 10; 11; 13; 16; 20; 25; 35; 60 \text{ cm.}$$

Dans notre cas  $h = 14 \text{ cm}$  ; l'espacement  $t = 13$  ne peut être dépasser à mi-travée. Chacun de ces espacements peut être répété autant de fois que la demi-travée comporte de mètres. Dans notre cas :  $\frac{l}{2} = \frac{2,176}{2} = 1,38$ . Chaque espacement sera répété 2 fois.

3. Conditions d'appui :

a. vérification de la section d'armatures.

Les armatures inférieures doivent être suffisantes pour équilibrer l'effort de traction :  $T + \frac{M}{z}$ . Soit :  $A \bar{\sigma}_a > T + \frac{M}{z}$ .

Nous avons  $A = 4T8 = 2,01 \text{ cm}^2$ . Mais il est plus intéressant de prolonger les armatures 4T12 de travée jusqu'à l'appui.  $A = 4T12 = 4,52 \text{ cm}^2$ .

$$A \cdot \bar{\sigma}_a = 4,52 \times 2800 = 5628 \text{ kg.}$$

$$T + \frac{M}{z} = 2760 - \frac{1270 \cdot 10^2}{(0,87 \times 14)} = -7666,9 \text{ kg. (M}<0 \text{ à l'appui).}$$

On a bien:  $A\bar{F}_a > T + \frac{M}{3}$ .

D'autre part:  $T + \frac{M}{3} < 0$ . Donc l'effet de compression du à M dépasse l'effort de traction des barres du à T.

Donc, il n'est pas nécessaire de faire une vérification de l'ancrage des armatures inférieures. Les barres inférieures peuvent être arrêtées au niveau de l'appui.

Longueur d'appui disponible.

Les appuis sont réalisés par des voiles d'épaisseur 15 cm.

Ancrage des armatures supérieures.

Elles sont soumises à l'effort de traction:  $F = \frac{M}{3}$ .

$$F = \frac{M}{3} = \frac{M}{(Eh)} = \frac{1270 \cdot 10^2}{(0,844 \times 14)} = 10748,14 \text{ kg.}$$

Contrainte des armatures tendues:  $A = 4T12 = 4,52 \text{ cm}^2$ .

$$\bar{F}_a = \frac{F}{A} = \frac{10748,14}{4,52} = 2377,9 \text{ kg/cm}^2 < \bar{F}_a = 2800 \text{ kg/cm}^2.$$

1<sup>er</sup> cas: Ancrage normal.

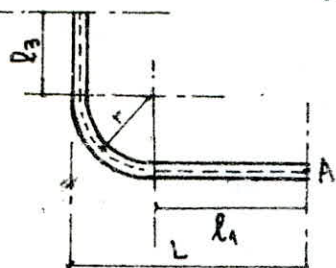
La longueur de pénétration droite permet:  $l_d = \frac{\phi}{4} \cdot \frac{\bar{F}_a}{\bar{F}_d}$ .

$$\bar{F}_d = 1,25 \cdot \psi_d^2. \bar{F}_b = 1,25 \times (1,5)^2 \times 5,9 = 16,6 \text{ kg/cm}^2.$$

$$l_d = \frac{1,2}{4} \cdot \frac{2800}{16,6} = 50,6 \text{ cm} \gg 15 \text{ cm.}$$

Il est donc nécessaire de disposer un ancrage spécial. En premier lieu on peut calculer un dispositif d'ancrage en retour d'équerre.

2<sup>e</sup> cas: Ancrage en retour d'équerre.



Condition de dimensions de l'ancrage pour que l'ancrage soit total en A.

$$l_1 + 1,89 l_3 \geq l_d - 2,21 r.$$

On peut limiter la longueur droite  $l_1$  et le rayon  $r$ .

Pour les barres à haute adhérence, le rayon  $r$  est choisi comme le maximum des valeurs:  $5\phi$ ;  $r$  issue de la condition de non écrasement du béton. On prend  $r = 5\phi$ .

On en déduit:  $L = l_1 + r + \frac{\phi}{2}$ ; Si on tient compte d'un enrobage  $e = 2 \text{ cm}$ , pour la barre au niveau du 2<sup>nd</sup> tronçon  $l_3$  alors:

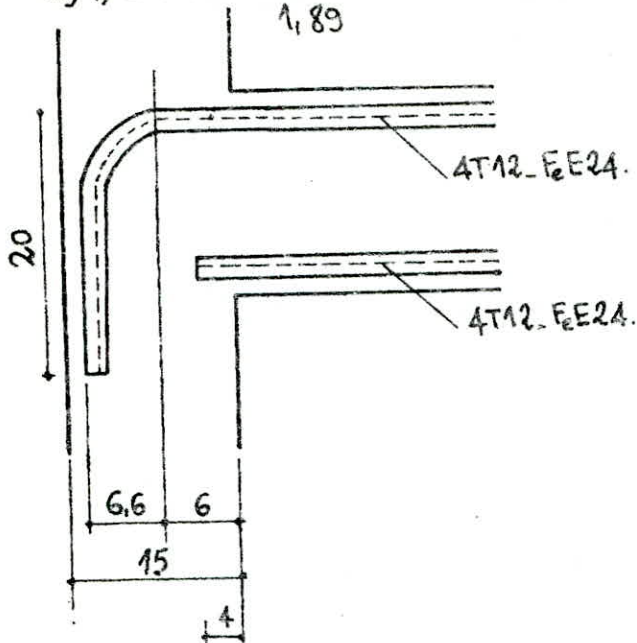
$$L + e = 15 \text{ cm} = \text{longueur disponible d'appui.}$$

$$L + e = e + l_1 + r + \frac{\phi}{2} = 15 \quad l_1 = 15 - r - \frac{\phi}{2} = 15 - 5\phi - \frac{\phi}{2} - e.$$

$$l_1 = 15 - (5 \times 1,2) - \frac{1,2}{2} \cdot 2 = 6,4 \text{ cm.} \quad \text{On prend: } l_1 = 6 \text{ cm.}$$

$$\text{Longueur du tronçon vertical: } l_3 > \frac{l_1 - 2,21 \cdot 5 - l_1}{1,89}$$

$$l_3 > \frac{50,6 - 2,21 \times (5 \times 1,2) - 6}{1,89} = 16,6 \text{ cm.} \quad \text{On prend: } l_3 = 20 \text{ cm.}$$



Condition de non écrasement du béton: (C.C.B.A. 68 - art. 30.62).

$$\text{Le rayon de Courbure doit vérifier: } r > 0,10 \cdot \phi \cdot \frac{f_a}{\sigma_b} \cdot \left(1 + \frac{\phi}{d_1}\right) \cdot D.$$

$d_1$ : distance du Centre de Courbure au Coffrage le plus proche.

$$d_1 = r_0 + \frac{\phi}{2} + e = 5\phi + \frac{\phi}{2} + e = 5,5 \times 1,2 + 2,4 = 9 \text{ cm}$$

$v = 1$  (Barre faisant partie d'un ensemble de barres disposées en un seul lit.)

$$r > 0,10 \times 1,2 \times \frac{2377,9}{68,5} \left(1 + \frac{1,2}{9}\right) \cdot 1 = 4,72 \text{ cm.}$$

Nous adopterons  $r_0 = 5\phi = 5 \times 1,2 = 6 \text{ cm} > 4,72 \text{ cm. Vérifié.}$

#### 4. Arrêt des barres - Chapeaux.

Pour éviter l'étude d'un diagramme d'arrêt des armatures longitudinales et vu la portée faible de la poutre, nous pouvons utiliser une méthode de calcul simplifiée appliquée aux bâtiments donnée par M.M ALBIGES et BOUTIN dans leur article « Applications des règles C.C.B.A 68 au cas des bâtiments courants à usage d'habitation» publié dans les Annales de l'ITBTP de Mai 1969.

Les armatures placées en chapeaux, issues de l'appui peuvent être arrêtées à la distance à partir du nu de l'appui :

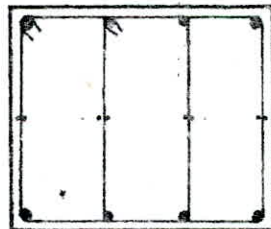
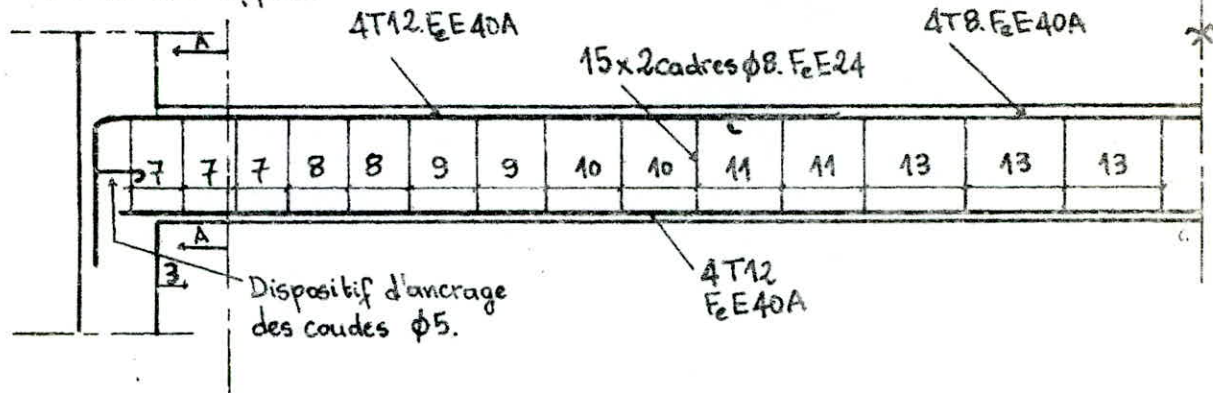
$$l_{ch.} = \frac{2Ma}{G} + \frac{\gamma}{2} \quad \text{avec } l_{ch.} \geq l_d.$$

G = charge permanente.

Ma = moment à l'appui.

$$l_{ch.} = \frac{2 \times 1270 \cdot 10^2}{3,12 \cdot 10^3} + \frac{(0,87 \times 14)}{2} = 87,5 \text{ cm} > l_d = 50,6 \text{ cm} (\text{v.u.})$$

Les barres supérieures seront arrêtées à une distance  $l_{ch.} = 90 \text{ cm}$  au delà du nu des appuis.



## II. Poutre nouée appuyée par $V_{T_4}$ (Linteau supprimé au Contreventement).

Ce Linteau située sur le Voile  $V_{T_4}$  - Le plus pollué dans le sens transversal - a été supprimé au Contreventement en avant projet dans le but de diminuer le moment d'inertie de ce refend initialement pris long de 18,795m (puis toute la longueur du bâtiment). Il a été scindé en deux refends  $V_{T_4}^{(1)}$  et  $V_{T_4}^{(2)}$ . Ce Linteau a été supprimé car il était soumis à de très importants efforts tranchants et sa résistance pour l'action piémique n'a pu être justifiée par le R.P.A 81 qui prévoit une majoration forfaitaire de l'effort tranchant de 40%. Cette conception revient à dire que l'on peut placer en sécurité et que le voile ainsi diminué devra continuer à résister au pire.

Ce Linteau sera par conséquent calculé pour résister uniquement aux charges verticales lui revenant comme une simple poutre.

Surface revenant à la poutre :  $S = 2,05 \times 3,45 = 7,07 \text{ m}^2$ .

Portée Libre :  $l = 80 + 45 + 80 = 210 \text{ m}$ .

épaisseur :  $h_t = 70 \text{ cm}$ .

Largeur :  $b = 20 \text{ cm}$ .

poids propre :  $G_0 = (2,05 \times (0,70 \times 0,20)) \times 2,5 = 0,7175 \text{ t} = 717,5 \text{ kg}$ .

charge permanente :  $G = 7,07 \times 528 = 3732,96 = 3733 \text{ kg}$ .

surcharge d'exploitation :  $P = 175 \times 7,07 = 1237,25 \text{ kg}$ .

$$P_c = 75 \times 7,07 = 530,25 \text{ kg}$$

$$\text{Charge de calcul : } Q = (G_0 + G) + 1,2P + P_c = 6465,45 \text{ kg.}$$

$$\text{Répartition : } q_f = \frac{Q}{l} = \frac{6465,45}{2105} = 3153,9 \text{ kg/m.}$$

Supposons que les appuis ne remplissent plus leur fonction d'enca斯特ment et déterminons les armatures nécessaires en travée.

$$M = \frac{q_f l^2}{8} = \frac{3153,9 \times (2,05)^2}{8} = 1656,8 \text{ kg.m.}$$

$$U = \frac{15 \cdot M}{F_a \cdot b \cdot h^2} = \frac{15 \times 1656,8 \cdot 10^2}{2800 \times 20 \times (68)^2} = 0,0096 \rightarrow \begin{cases} E = 0,9558 \\ k = 98 \end{cases}$$

$$A = \frac{M}{F_a \cdot z} = \frac{M}{F_a \cdot (Eh)} = 0,91 \text{ cm}^2$$

Condition de non fragilité :  $A \geq 0,69 \cdot bh$ .

$$A \geq 0,69 \times (20 \times 68) \times \frac{5,9}{4200} = 1,32 \text{ cm}^2 > 0,91 \text{ cm}^2$$

Dans ce cas on pourra disposer  $A = 378 = 1,50 \text{ cm}^2$ .

Pour plus de sécurité on préfère l'armer comme un linteau à l'aide des périodes minimales données par le R.P.A.

- $A_i, A_s > 0,0015 \cdot b \cdot h_f$  . . . . .  $A_i, A_s > 0,0015 \times 20 \times 70 = 2,1 \text{ cm}^2$ .
- $A_r > 0,0020 \cdot b \cdot h_f$  . . . . .  $A_r > 0,0020 \times 20 \times 70 = 2,8 \text{ cm}^2$ .
- $A_t \geq 0,0025 \cdot b \cdot s$  . . . . .  $s \leq \frac{h_f}{4}$        $s = 15$ .  
 $s \leq \frac{h_f}{4}$   
 $A_t > 0,0025 \times 20 \times 15 = 0,75 \text{ cm}^2$ .
- $A_x = 0$

On adopte :

— Armatures Longitudinales de résistance :

- a- nappe supérieure :  $A_s$ .  
 $2T12$ .
- b- nappe inférieure :  $A_i$ .  
 $2T12$ .

— Armatures Longitudinales de répartition (de peau) :  $A_r$ .

$$A_r = 2,8 \text{ cm}^2 \quad \text{Ou: } 6T8 = 3,01 \text{ cm}^2$$

Donc 6T8 réparties symétriquement.

— Armatures transversales :

$$A_t = 0,75 \text{ cm}^2 \quad \text{On prend un Cadre T8 par plan.}$$

Espacement des cadres :  $s = 15 \text{ cm}$ .

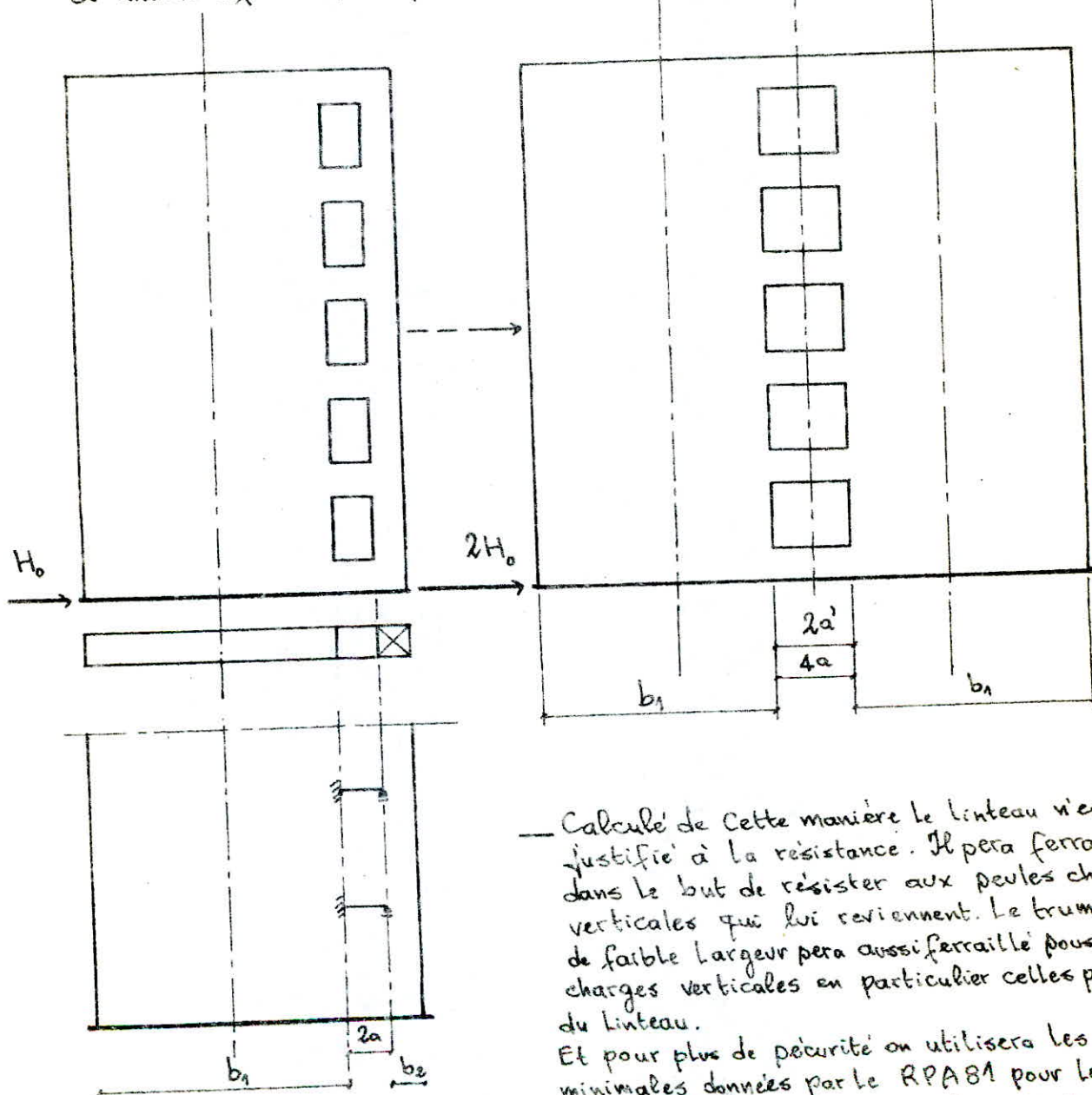
— Ancrage des barres Longitudinales :

$$l_d > \frac{h_f}{4} + 50\phi = \frac{70}{4} + 50 \times 1,2 = 77,5 \text{ cm.}$$

Longueur de poulagement droit :  $l_d = 75 \text{ cm.}$

III. Poutres noyées appartenant aux voiles V<sub>L2</sub>, V<sub>L4</sub>, V<sub>L7</sub>, V<sub>L8</sub>

Cette poutre, initialement, considérée comme un linteau résistant ne pouvait être calculé par la Méthode de M. ALBAGES; car il est polidaire de deux trumeaux dont l'un de faible largeur présente une inertie faible et ne vérifie donc pas l'hypothèse selon laquelle l'inertie du trumeau doit être très grande devant celle du linteau. D'autre part ce trumeau sera parfaite encastrement réduite jusqu'à tendre vers l'articulation. Ceci implique que le point d'inflexion du linteau déformé se déplace vers le trumeau de plus forte inertie.



— Calculé de cette manière le linteau n'est pas justifié à la résistance. Il sera ferraille dans le but de résister aux pevles charges verticales qui lui reviennent. Le trumeau de faible largeur sera aussi ferraille pour les charges verticales en particulier celles provenant du linteau.

Et pour plus de sécurité on utilisera les armatures minimales données par le RPA 81 pour les linteaux sans pour cela compter par la résistance au picisme du moment qu'on accepte la fissure jusqu'à rupture non fragile.

Dimensions :

Ces poutres ont toutes une section (15x70).

$$A_i, A_s \geq 0,0015 b \cdot h_t = 1,58 \text{ cm}^2.$$

$$A_r \geq 0,0020 b \cdot h_t = 2,1 \text{ cm}^2.$$

$$\begin{cases} A_t \geq 0,0025 b \cdot s = 0,56 \text{ cm}^2 \\ s \leq \frac{h_t}{4} = 17,5 \text{ cm} \quad s = 15 \text{ cm.} \end{cases}$$

$$A_x = 0.$$

a. Armatures Longitudinales.

nappe supérieure : 2 T10.

nappe inférieure : 2 T10.

anchage des barres :  $l_g \geq \frac{h_t}{4} + 50\phi = 67,5 \text{ cm}$  on prend :  $l_g = 70 \text{ cm}$

b. Armatures longitudinales de répartition.

$A_r \geq 2,1 \text{ cm}^2$ . On prend 6T6.

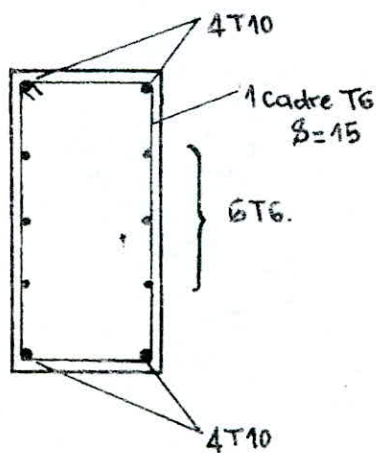
c. Armatures transversales.

$A_t \geq 0,56 \text{ cm}^2$ . On prend un Cadre T6.

espacement des cadres :  $s = 15 \text{ cm}$ .

d. Armatures d'angles.

elles ne sont nécessaires.

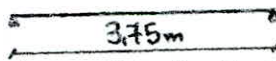


#### IV. Poutres de chainage sous murs en maçonnerie:

Ce sont des poutres noyées de renforcement destinées à pousser les planchers soumis à des charges localisées dues aux murs.

$q = 588 \text{ kg/m}^2$  : charge permanente due au mur.

On considère la travée la plus sollicitée ; celle de plus grande portée.  
 $L = 3,75 \text{ m}$ .

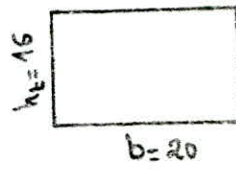


On peut appliquer la méthode forfaitaire et prendre  $M_a = -0,6 M_o$  aux appuis et  $M_f = +0,9 M_o$  en travée.

$$M_o = \frac{q L^2}{8} = 1033,6 \text{ kg.m.}$$

$$M_a = -0,6 \cdot M_o = -0,6 \times 1033,6 = 620,16 \text{ kg.m.}$$

$$M_f = 0,9 \cdot M_o = 0,9 \times 1033,6 = 930,24 \text{ kg.m.}$$



#### a. Calcul des armatures longitudinales:

$$\rho = \frac{15 \cdot M_f}{\bar{\sigma}_a \cdot b \cdot h^2} = 0,1271 \rightarrow \begin{cases} E = 0,8615 \\ k = 21,1 \end{cases} \rightarrow \frac{\bar{\sigma}_a}{k} = 132,7 < 137,5 = \bar{\sigma}'_b.$$

$$A = \frac{M}{\bar{\sigma}_a \cdot E \cdot h} = \frac{93024}{2800 \times 0,8615 \times 14} = 2,8 \text{ cm}^2$$

On disposera 4T12 prolongées aux appuis en deux nappes.

#### b. Calcul des armatures transversales:

à l'appui : maximum  $T = \frac{q L}{2} = 1102,5 \text{ kg.}$

$$\bar{\sigma}_b = \frac{T}{b \cdot z} = \frac{1102,5}{20 \times (0,87 \times 14)} = 4,53 \text{ kg/cm}^2 < 3,5 \bar{\sigma}_b = 3,5 \times 5,9 = 20,65 \text{ kg/cm}^2.$$

Contrainte admissible :  $\bar{\sigma}_{at} = \left(1 - \frac{\bar{\sigma}_b}{3 \bar{\sigma}_b}\right) \bar{\sigma}_{en}$ . Soit des cadres de nuance Adx Fe24.

$$\bar{\sigma}_{at} = \left(1 - \frac{4,53}{3 \times 5,9}\right) \cdot 2400 = 2195 \text{ kg/cm}^2 > \frac{2}{3} \bar{\sigma}_{en} = 1600 \text{ kg/cm}^2.$$

On prend  $\bar{\sigma}_{at} = \frac{2}{3} \bar{\sigma}_{en} = 1600 \text{ kg/cm}^2$ .

Soit 1 cadre Ø6 par plan alors :  $A_t = 2 \phi 6 = 0,56 \text{ cm}^2$ .

L'espacement au voisinage de l'appui sera :

$$t = \frac{A_t \cdot 3 \cdot \bar{\sigma}_{at}}{T} = \frac{0,56 \times (0,87 \times 14) \times 1600}{1102,5} = 9,90 \approx 10 \text{ cm.}$$

Espacement initial maximal :  $t \leq \max(0,2 \cdot h; h(1 - 0,3 \cdot \frac{\bar{\sigma}_b}{\bar{\sigma}_b}))$

$$t \leq \max(2,8 \text{ cm}; 10,8 \text{ cm}) \text{ soit } t_{\max} = 10,8 \text{ cm}$$

On prend :  $t = 10 \text{ cm.}$

## - Les Escaliers.

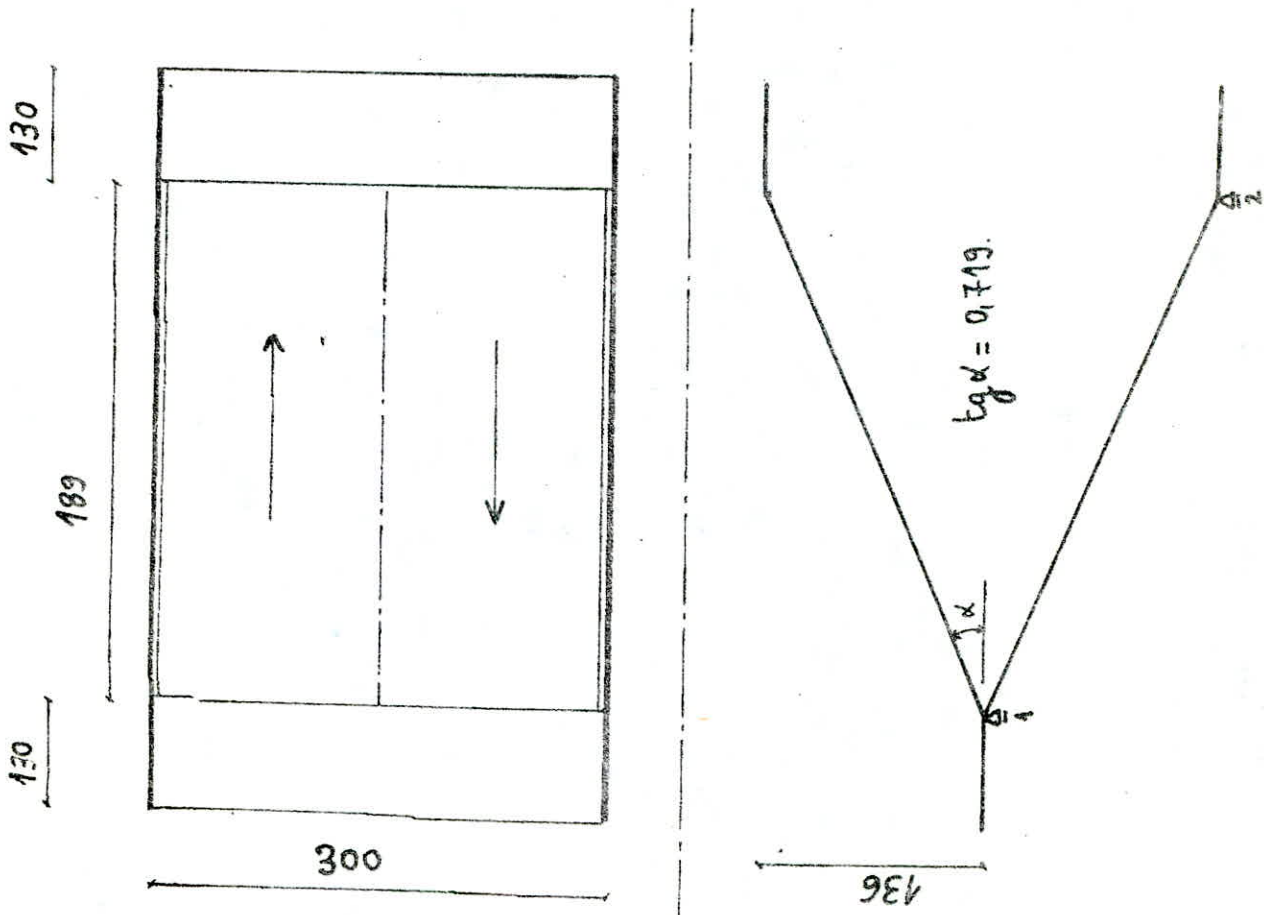
Les escaliers sont conçus de sorte que l'exécution se fasse en deux étapes:

- Coulage des paliers sur place.
- pose des paillasses préfabriquées.

Cette conception présente le danger d'un déboîtement au niveau de la jonction paillasse-palier et ceci peut entraîner, lors d'un faible rebond par exemple, des accidents mortels dont l'impact a entraîné les constructeurs à imposer la mise en place d'armatures filantes entre la paillasse et le palier de porte qu'elles représentent un véritable parachute à la suite d'une éventuelle percussion.

### Système porteur:

Il se compose de deux refends transversaux (murs d'échiffre).



## Recommandations du C.T.C pour les escaliers préfabriqués à paillasse pleine :

- Préfabrication en usine ou sur chantier.
- Les appuis haut et bas aménagés pour celles-ci se composent de bêquets sur toute la Largeur du palier.

## Configuration de la volée :

La vérification de la formule de Confort empirique de Blondet :  $2h+g \approx 62$  conduit à :  $g = 27 \text{ cm}$ .  
 $h = 17 \text{ cm}$ . avec :  $2h+g = 2 \times 17 + 27 = 61$ .

et :  $g$ : Largeur de marche.  
 $h$ : hauteur de contremarche.

## Paillasse

- la paillasse est une dalle inclinée dont la fonction est de joindre le palier intermédiaire (repos) au palier du niveau adjacent.

### a. Dimensionnement de la paillasse.

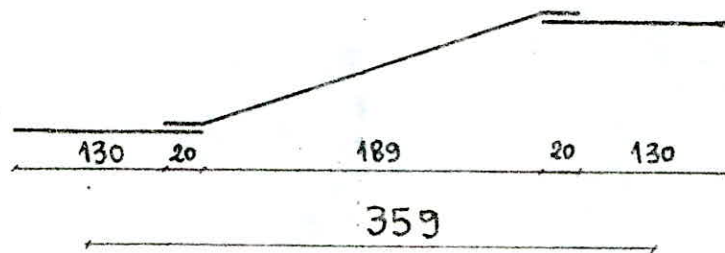
Le dimensionnement est fait à la base d'une longueur entre axes des paliers.

$$l = \frac{1,30}{2} + 1,89 + \frac{1,30}{2} + 0,20 + 0,20 = 3,59 \text{ m.}$$

L'épaisseur  $e$  est choisie entre les limites  $e_1 = \frac{l}{30} = \frac{359}{30} = 12,0 \text{ cm.}$

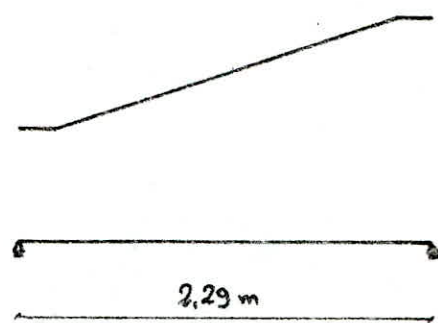
On a pris  $e = 15 \text{ cm.}$

$$\text{et } e_2 = \frac{l}{20} = \frac{359}{20} = 18,0 \text{ cm.}$$



### b. Schéma Statique:

C'est une poutre reposant simplement sur les bêquets. Elle sera calculée pour son propre poids et pour une charge utile de  $300 \text{ kg/m}^2$ .



## 1<sup>e</sup>/ Charges et Surcharges :

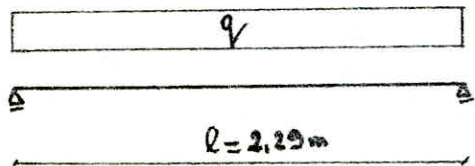
i/ charge permanente (poids propre) :  $q = 869,208 \text{ kg/m}^2$ .

ii/ surcharge d'exploitation :  $P = 300 \text{ kg/m}^2$ .

charge de Calcul:  $q_f = q + 1,2 P = 1229,208 \text{ kg/m}^2$ .

$$q_f = 1229,208 \text{ kg/m}^2$$

Pour le ferrailage on choisit une bande centrale de la paillasse d'un mètre de Large.  $q_f = 1229,208 \text{ kg/m}^2$ .



$A$

$b = 100 \text{ cm}$

$h_f = 15 \text{ cm}$

$d = 1,5 \text{ cm}$

$h = h_f - d = 13,5 \text{ cm}$

## 2<sup>e</sup>/ Armatures Longitudinales :

$$M = \frac{q_f l^2}{8} = \frac{1229,208 \times (2,29)^2}{8} = 805,76 \text{ kg.m.}$$

$$\mu = \frac{15 \cdot M}{\bar{\sigma}_a \cdot b \cdot h^2} = \frac{15 \times 805,76 \cdot 10^2}{2800 \times 100 \times (13,5)^2} = 0,0237 \rightarrow \begin{cases} k = 59,5 \\ E = 0,9329 \end{cases}$$

$$\bar{\sigma}'_b = \frac{\bar{\sigma}_a}{k} = \frac{2800}{59,5} = 47,06 \text{ kg/cm}^2 < \bar{\sigma}'_b = 137,5 \text{ kg/cm}^2: \text{ Il n'est pas nécessaire de disposer des aciers comprimés.}$$

$$A = \frac{M}{\bar{\sigma}_a \cdot E \cdot h} = \frac{805,76 \cdot 10^2}{2800 \times 0,9329 \times 13,5} = 2,285 \text{ cm}^2$$

On prend 5T8 p.m

$$(5T8 = 2,51 \text{ cm}^2)$$

2/ Vérification de la fissuration:

$$i/ \sigma_1 = 1,5 \cdot 10^6 \cdot \frac{1,6}{8} \cdot \frac{8,36 \cdot 10^3}{1 + 10 \cdot 8,36 \cdot 10^3} = 2314,5 \text{ kg/cm}^2.$$

$$ii/ \sigma_2 = 2,4 \sqrt{\frac{1,6 \cdot 1,5 \cdot 10^6 \cdot 5,9}{8}} = 3193 \text{ kg/cm}^2.$$

$$\max(\sigma_1, \sigma_2) = 3193 \text{ kg/cm}^2 > 2800 \text{ kg/cm}^2.$$

3/ Condition de non fragilité:

Il faut que:  $A > A_1 = 0,69 \cdot \frac{\bar{\sigma}_b}{\sigma_{en}} \cdot b \cdot h$

$$A_1 = 0,69 \cdot \frac{5,9}{4200} \cdot 100 \cdot (13,5) = 1,308 \text{ cm}^2. \quad A = 2,51 \text{ cm}^2 > 1,308 \text{ cm}^2.$$

5/ Contraintes de cisaillement:

$$\text{À l'appui: } T = \frac{q \cdot l}{2} = 1407,44 \text{ kg.}$$

$$\tau_b = \frac{T}{b \cdot z} = \frac{8}{b \cdot th} \cdot T = 1,20 \text{ kg/cm}^2.$$

Il n'agit d'une dalle; il suffit que:  $\tau_b \leq 1,15 \bar{\sigma}_b$ .

$$1,15 \bar{\sigma}_b = 1,15 \times 5,9 = 6,785 \text{ kg/cm}^2. \quad \tau_b = 1,20 \text{ kg/cm}^2 < 1,15 \bar{\sigma}_b = 6,785.$$

Il est inutile de disposer des armatures transversales.

6/ Armatures de répartition:

$$\text{Il faut : } \begin{cases} \frac{A}{4} \leq Ar \leq \frac{A}{2} & \text{soit } 0,628 \leq Ar \leq 1,255 \text{ cm}^2 \\ A = 5T8 = 2,51 \text{ cm}^2. \end{cases}$$

$$\text{On prend: } Ar = \underline{AT6 \text{ p.m.}} \quad (AT6 = 1,13 \text{ cm}^2).$$

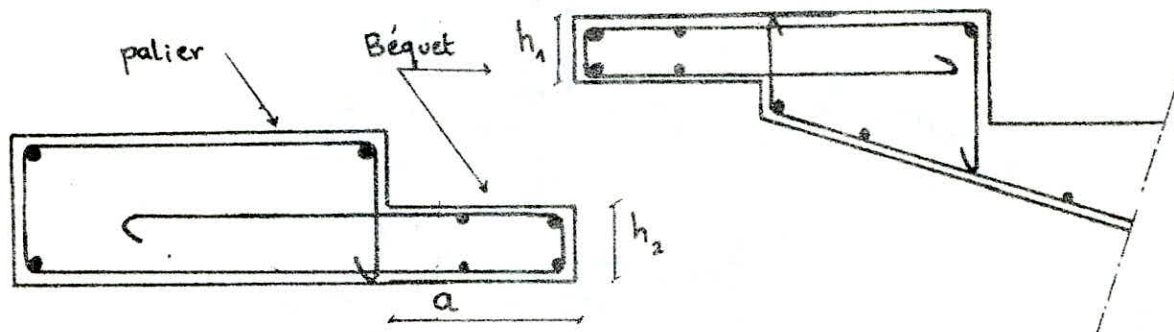
## Calcul des Béquets.

Le béquet constitue un appui pour la paillasse préfabriquée. Il sera donc calculé sous les charges provenant de la paillasse.

Le béquet doit être calculé à la résistance pour qu'il puisse transmettre les efforts vers le palier.

### Dispositions particulières des armatures:

Les armatures principales des béquets de paillasse et de palier doivent être réalisés au moyen de boucles ou de cadres fermés.



Dimensions: On doit avoir:  $a \geq 10\text{ cm}$ . On a pris  $a = 20\text{ cm}$ .  
et  $h_2 \geq 7\text{ cm}$ . On a pris  $h_2 = 8\text{ cm}$ .

### 1<sup>e</sup>/ charges et surcharges:

i/ charge provenant de la paillasse:

$$Q_0 = \frac{1}{2} (2,29 \times 3,00) \cdot (869,208 + 1,2 \times 300) = 4222,33 \text{ kg.}$$

ii/ poids propre du béquet:

$$Q_1 = 0,080 \times 0,20 \times 3,00 \times 2500 = 120 \text{ kg.}$$

Pondération: La charge revenant au béquet doit être frappée par un coefficient  $\delta q$ , dépendant et tenant compte des conditions de pose et de ferrailage.

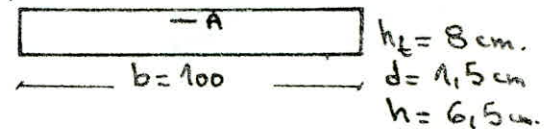
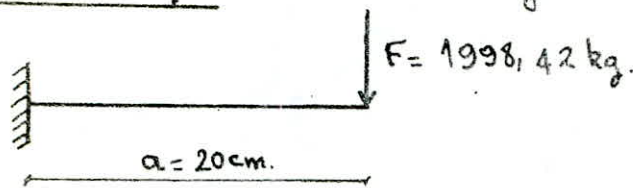
Dans notre cas : pose à bain de mortier on a:  $\delta q = 1,4$ .

Le calcul se fera sur une largeur de 1m de console d'où les charges:

$$F = \left[ \frac{Q_0}{3,00} + \left( \frac{Q_1}{3,00} \right) \frac{1}{0,20} \right] \times 1,40 = 1998,42 \text{ kg.}$$

N.B: On peut placer en sécurité en supposant une rotation (possible) de la poutre autour de la ligne d'emmarchement. Cette hypothèse conduit à considérer la charge  $F$  placée à l'extrémité de la console.

2<sup>e</sup>/ Schéma statique: Console de longueur  $a = 20\text{cm}$  encastrée au palier.



3<sup>e</sup>/ Armatures longitudinales:

$$M = F \cdot a = 1998,42 \times 0,20 = 399,684 \text{ kg.m};$$

$$\nu = \frac{15M}{\bar{\sigma}_a b h^2} = \frac{15 \times 399,684 \cdot 10^2}{2800 \times 100 \times (6,5)^2} = 0,0507 \rightarrow \begin{cases} k = 38,0 \\ \varepsilon = 0,9057. \end{cases}$$

$$\sigma'_b = \frac{\bar{\sigma}_a}{k} = \frac{2800}{38,0} = 73,68 \text{ kg/cm}^2 < \bar{\sigma}'_b = 137,5 \text{ kg/cm}^2.$$

$$A = \frac{M}{\bar{\sigma}_a \varepsilon h} = 2,425 \text{ cm}^2. \quad \text{On peut prendre: } A = 6T8 \text{ p.m;} \quad (6T8 = 3,01 \text{ cm})$$

4<sup>e</sup>/ Vérification à la fissuration:

$$i/ \sigma_1 = K \cdot \frac{M}{\phi} \cdot \frac{W_F}{1 + 10 \nu \chi} = 1,5 \cdot 10^6 \cdot \frac{1,6}{8} \cdot \frac{0,01}{1 + 10 \times 0,01} = 2723,3 \text{ kg/cm}^2.$$

$$ii/ \sigma_2 = 2,4 \left( \frac{K M \bar{\sigma}_b}{\phi} \right)^{1/2} = 3163,76 \text{ kg/cm}^2$$

5<sup>e</sup>/ Condition de non fragilité:

Il faut  $A \geq A_1$ ;  $A_1 = 0,69 \cdot \bar{\sigma}_b \cdot b h$

$$A_1 = 0,69 \cdot \frac{5,9}{4200} \cdot 100 \cdot 6,5 = 0,63 \text{ cm}^2 < A = 3,01 \text{ cm}^2.$$

6<sup>e</sup>/ Contrainte de cisaillement:

$$\tau_b = \frac{T}{b \cdot z}; \quad T = F = 1998,42 \text{ kg}$$

$$\tau_b = \frac{1998,42 \times 8}{100 \times 7 \times 6,5} = 3,513 \text{ kg/cm}^2;$$

Pour  $\sigma'_b = 73,68 \text{ kg/cm}^2$  telle que:  $\bar{\sigma}'_{b_0} \leq \sigma'_b \leq 2\bar{\sigma}'_{b_0}$ .

Il faut vérifier:  $Z_b = \frac{T}{b.z} \leq (4,5 - \frac{\sigma'_b}{\bar{\sigma}'_{b_0}}) \cdot \bar{\sigma}'_b$ .

$$\bar{Z}_b = (4,5 - \frac{73,68}{67,5}) \times 5,9 = 20,109 \text{ kg/cm}^2.$$

On a bien:  $Z_b = 3,513 \text{ kg/cm}^2 < 20,109 \text{ kg/cm}^2$ .

D'autre part:  $Z_b < 1,15 \cdot \bar{\sigma}'_b = 1,15 \times 5,9 = 6,785 \text{ kg/cm}^2$  alors il n'est pas nécessaire de disposer des armatures transversales.

#### 7°/ Armatures de répartition:

On doit choisir leur section de façon à ce que cette condition soit vérifiée:

$$\frac{A}{4} \leq A_r \leq \frac{A}{2} \quad \text{soit} \quad \frac{3,01}{4} \leq A_r \leq \frac{3,01}{2}; \quad 0,75 \leq A_r \leq 1,505 \text{ cm}^2$$

On disposera: 6T6.

## Calcul des paliers

### I. Palier intermédiaire.

Le palier est une dalle encastrée sur deux côtés dans les murs d'échiffré.

#### 1. Charges et Surcharges:

a. poids propre:  $g = 524 \text{ kg/m}^2$  (Dalle B.A de 16 cm (w)).

b. surcharge d'exploitation:  $p = 300 \text{ kg/m}^2$ .

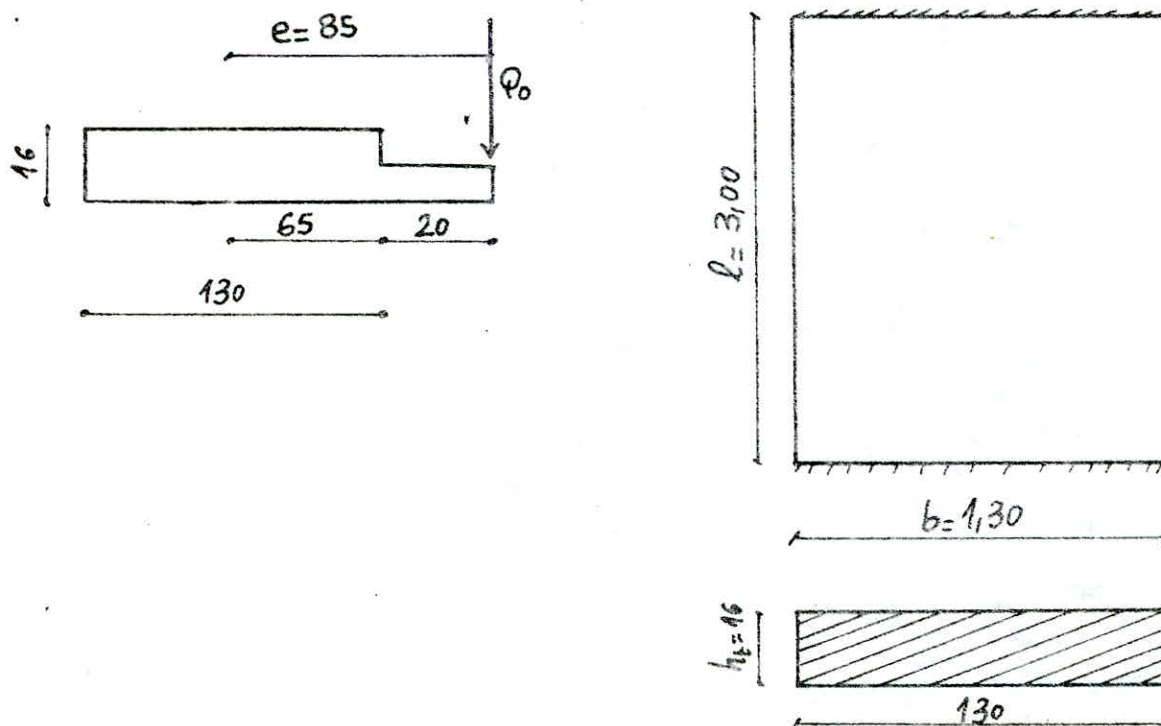
c. charge provenant de la paillasse à travers le biquet (excentré).

$$Q_0 = \frac{1}{2} \cdot S_v \cdot (G_v + 1,2 P_v) = \frac{1}{2} \cdot (2,29 \times 3,00) \times (869,208 + 1,2 \times 300) = 4222,33 \text{ kg.}$$

Cette charge peut se réduire à une charge uniformément répartie  $q = \frac{Q_0}{l}$  centrée le long de la ligne moyenne de la dalle et un moment de torsion dont la valeur totale est  $M_{T_0} = Q_0 \cdot e$ .

$$\left\{ q_0 = \frac{Q_0}{l} = \frac{4222,33}{3,00} = 1407,44 \text{ kg/m.} \right.$$

$$\left. M_{T_0} = Q_0 \cdot e = 4222,33 \times 0,85 = 3588,98 \text{ kg.m.} \right.$$



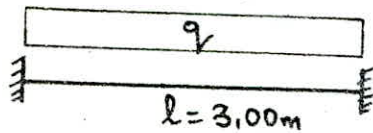
## 2. charge de Calcul:

i/ charge propre à la dalle:  $q_1 = (g + 1,2p) \times 1,30 = (524 + 1,2 \times 300) \times 1,30 = 1149,2$   
 $q_1 = 1149,2 \text{ kg/m}^2$

ii/ charge venant des voltees:  $q_0 = \frac{Q_0}{3,00} = 1407,44 \text{ kg/m}^2$

charge de Calcul:  $q = q_1 + q_0 = 1149,2 + 1407,44 = 2556,64 \text{ kg/m}^2$

## 3. Schéma Statique:



$h_t = 16 \text{ cm}$ ,  
 $d = 2 \text{ cm}$ ,  
 $b = 130 \text{ cm}$ ,  $h = 14 \text{ cm}$ .

La R.D.M Conduit à:  $M_t = \frac{q_1 l^2}{24}$  en travée et  $M_a = -\frac{q_1 l^2}{12}$  sur appui et ce dans le cas de parfait encastrement. Mais pour mieux s'approcher de la pratique on prend:  $M_t = \frac{q_1 l^2}{10}$  et  $M_a = -\frac{q_1 l^2}{20}$  en supposant que les encastrements ne sont que partiels et que les sections d'appui se déformeront et se déchargeront au détriment des sections en travée. Les déformations des sections d'appui peuvent s'inscrire dans le domaine élasto-plastique.

## A. Ferrailage en travée:

$$M_t = \frac{q_1 l^2}{10} = \frac{2556,64 \times (3,00)^2}{10} = 2300,976 \text{ kg.m.}$$

$$\mu = \frac{15 \cdot M_t}{\bar{\sigma}_a \cdot b \cdot h^2} = \frac{15 \times 2300,976 \times 10^2}{2800 \times 130 \times (14)^2} = 0,0484 \rightarrow \begin{cases} k = 39,0 \\ E = 0,9074 \end{cases}$$

$\bar{\sigma}_a = \frac{2800}{39,0} = 71,80 \text{ kg/cm}^2 < 137,5 \text{ kg/cm}^2 = \bar{\sigma}_b'$ : Il n'est pas nécessaire de disposer des armatures comprimées.

Section d'armatures:  $A = \frac{M}{\bar{\sigma}_a \cdot E \cdot h} = \frac{2300,976 \cdot 10^2}{2800 \times 0,9074 \times 14} = 6,47 \text{ cm}^2$

On disposera: GT 10. avec un espace t = 15,5 cm.

a. Vérification à la fissuration:

$$i/ \sigma_1 = K \cdot \frac{\eta}{\phi} \cdot \frac{w_f}{1 + 10w_f} = 1,5 \cdot 10^6 \cdot \frac{1,6}{10} \cdot \frac{0,0135}{1 + 0,135} = 2855,6 \text{ kg/cm}^2.$$

$$w_f = \frac{A}{2dx} = \frac{7,02}{(2 \times 2) \times 130} = 0,0135$$

$$ii/ \sigma_2 = 2,4 \cdot \left( \frac{\eta \cdot K \cdot \bar{\sigma}_b}{\phi} \right)^{1/2} = 2,4 \cdot \left( \frac{1,6 \times 1,5 \cdot 10^6 \times 5,9}{10} \right)^{1/2} = 2855,9 \text{ kg/cm}^2.$$

$$\max(\sigma_1, \sigma_2) = 2855,9 < 2800. \text{ (Vérifiée).}$$

b. Vérification de la Condition de non fragilité:

Les armatures tendues doivent vérifier:  $A \geq A_1 = 0,69 \cdot \frac{\bar{\sigma}_b}{\sigma_{en}} \cdot b \cdot h$ .

$$A_1 = 0,69 \times \frac{5,9}{4200} \times (130 \times (16 - 2)) = 1,76 \text{ cm}^2.$$

$$\text{On a bien } A = 9T10 = 7,02 \text{ cm}^2 > 1,76 \text{ cm}^2.$$

5. Armatures de répartition:

Dans le pess répartiteur nous devons disposer des armatures longitudinales comprises en 25% et 50% de la section des armatures principales.

$$\begin{cases} 25\% A = 25\% \times 7,02 = 1,755 \text{ cm}^2 \\ 50\% A = 50\% \times 7,02 = 3,51 \text{ cm}^2. \end{cases} \text{ on prend: 5T8.}$$

6. Ferraillage en section d'appui:

$$M_a = -\frac{q l^2}{20} = -1150,50 \text{ kg.m.}$$

$$\mu = \frac{15 M_a}{\bar{\sigma}_a b h^2} = 0,0242 \rightarrow \begin{cases} k = 58,75 \\ \varepsilon = 0,9322. \end{cases}; \quad \frac{\bar{\sigma}_a}{k} = \frac{2800}{5875} = 47,66 \text{ kg/cm}^2 < \bar{\sigma}_b$$

$$A = \frac{M_a}{\bar{\sigma}_a \cdot E \cdot h} = \frac{1150,50 \cdot 10^2}{2800 \times 0,9322 \times 14} = 3,15 \text{ cm}^2.$$

On disposera: 9HAB,  $t = 15,5 \text{ cm.}$

## 7. Résistance à la torsion.

### Prescriptions relatives:

- a. Si La section étudiée est soumise, en même temps qu'à la torsion, à une sollicitation ( $M, T, N$ ), Les armatures destinées à résister à la torsion devront s'ajouter à celles destinées à résister aux autres sollicitations.
- b. Dans ce cas il faut superposer les Contraintes de cisaillement de torsion avec celles d'effort tranchant au point le plus solicité et faire la vérification à la Contrainte admissible.

C.C.B.A 68- Annexe 5 : Cet article définit les pourcentages :

$$w_p = \frac{\text{Section des armat. longitudinales}}{\text{Section du béton de la pièce}} = \frac{A_p}{B}$$

$$w_t = \frac{\text{Volume des armat transversales}}{\text{Volume du béton de la pièce}}$$

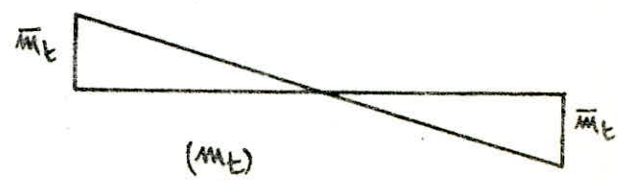
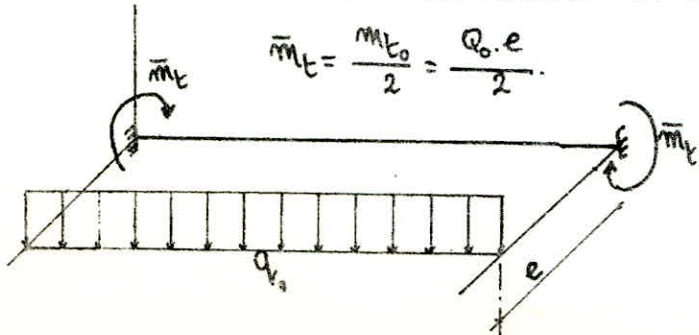
Le rapport  $w_p = w_t$  dépend de la forme de section de la pièce et du rapport de ses dimensions.

$$\left. \begin{array}{l} b = 130 \text{ cm} \\ h_t = 16 \text{ cm} \end{array} \right\} \Rightarrow \frac{b}{h_t} = \frac{130}{16} = 8,125$$

$$\therefore \frac{b}{h_t} = 8,125 > 3,5 \text{ et section rectangulaire } (b \times h_t) \text{ alors la Contrainte de cisaillement due à la torsion s'écrit: } \tau_{bm} = \frac{K \cdot \bar{M}_t}{(h_t)^2 \cdot b} \text{ et le rapport } w_p = w_t = \frac{3}{7} \times \frac{\tau_{bm}}{\tau_a}$$

### i/ Diagramme de variation du moment de torsion.

La charge  $q_0$  plus haut définie étant uniformément répartie et excentrée, elle va créer un moment de torsion dont la répartition est linéaire.



$$\bar{M}_t = \frac{M_{t0}}{2} = \frac{q_0 \cdot e}{2}$$

- Le coefficient K fonction de la forme et des dimensions de la section se calcule pour une section rectangulaire à l'aide du rapport:  $\frac{b}{ht} = 8,125$ . On obtient  $K = 3,26$  obtenu par interpolation sur les valeurs:  $\frac{b}{ht}$

$b/ht$	6,00	10,0	$\infty$
K	3,34	3,20	3,00

- La contrainte de cisaillement de torsion est maximale à l'enca斯特rement:

$$\Sigma_{bm} = \frac{K \cdot M_t}{(ht)^2 \cdot b}; \quad M_t = \frac{Q_o \cdot e}{2} = \frac{M_{to}}{2} = \frac{3588,98}{2} = 1794,50 \text{ kg.m};$$

$$\Sigma_{bm} = \frac{3,26 \times 1794,50 \cdot 10^2}{(16)^2 \times 130} = 17,578 \text{ kg/cm}^2.$$

$$\Sigma_{bm} = 17,578 \text{ kg/cm}^2.$$

- Le pourcentage volumique des armatures transversales destinées à résister à la torsion périphérique est:

$$w_t = \frac{3}{7} \cdot \frac{\Sigma_{bm}}{\bar{\sigma}_a}. \quad \text{Si on choisit des cadres de nuance FeE40A à H.A et de diamètre } \phi 8. \quad \bar{\sigma}_a = \frac{2}{3} \sigma_{en} = 2800 \text{ kg/cm}^2.$$

$$\text{on a: } w_t = \frac{3}{7} \times \frac{17,578}{2800} = 0,0027.$$

### ii) Armatures transversales.

- a- le volume des armatures transversales par centimètre est:

$$(w_t \cdot B') \times 1\text{cm} = (0,0027 \times 16 \times 130) \times 1 = 5,616 \text{ cm}^3.$$

- b- Le volume d'un cadre HA8, supposé cernant toute la section ( $130 \times 16$ ) tout en prenant en compte les distances d'embûche, est:

$$0,50 \times [(16-4) + (130-4)] \times 2 = 138 \text{ cm}^3 \quad \text{avec } 0,50 \text{ cm}^2 = 1 \phi 8.$$

- c- L'espacement des cadres sera alors :

On prend  $t = 24 \text{ cm}$ .

$$t = \frac{138}{5,616} = 24,57 \text{ cm} < 30 \text{ cm}.$$

### iii) Armatures longitudinales:

$$A_L = w_t \cdot B' = 0,0027 \times (130 \times 16) = 5,616 \text{ cm}^2.$$

On disposera  $2 \times (4T10)$  au renforcement aux extrémités et  $2 \times (4T10) = 624 \text{ cm}^2$ . faisant toutes parties moyennes plates.

## 8. Vérification des contraintes de cisaillement du béton - Cumul des contraintes.

### a. Effort tranchant:

A la section d'enca斯特rement l'effort tranchant est maximal et la Contrainte uniforme de cisaillement vaut:  $\tau_b(T) = \frac{I}{b.z}$ .

$$T = T^{\max} = \frac{q_l}{2} = \frac{2556,84 \times 3,00}{2} = 3834,96 \text{ kg.}$$

$$\tau_b(T) = \frac{T}{b \cdot (0,87h)} = \frac{3834,96}{130 \times (0,87 \times 14)} = 2,422 \text{ kg/cm}^2.$$

### b. Moment de torsion:

La Contrainte maximale de cisaillement par torsion n'obtient au milieu des grands côtés de la section d'enca斯特rement pour laquelle le moment de torsion est maximal.

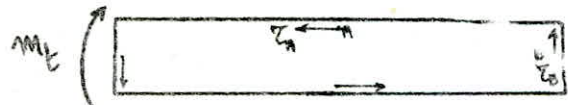
$$\rightarrow \tau_{b_m}(M_t) = \tau_A(M_t) = 17,578 \text{ kg/cm}^2 \text{ (vu) (au point A)}$$

..) Au point B :  $\tau_B(M_t)$  est une fraction de la Contrainte maximale :

$$\tau_B(M_t) = K_1 \cdot \tau_A(M_t) = 0,74 \times 17,578 = 13,008 \text{ kg/cm}^2.$$

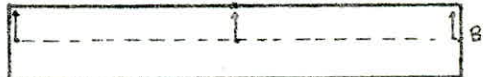
N.B : pour  $\frac{b}{ht} = 8,125$  on obtient  $K_1 = 0,74$ .

effet de  $M_t$



$$\tau_b(M_t)$$

effet de  $T$



$$\tau_b(T) = \frac{I}{b.z}$$

### c. Superposition des contraintes.

Au point B :  $\tau_b(B) = \tau_B(M_t) + \tau_B(T) = 13,008 + 2,422 = 15,43 \text{ kg/cm}^2$ .  
au paragraphe 6 nous avons  $\sigma'_b \approx 47,66 \text{ kg/cm}^2 < \sigma'_{b_0} = 67,5 \text{ kg/cm}^2$ . Donc il faut vérifier  $\tau_b(B)$  à la Contrainte  $\tau_b$  telle que

$$\bar{\tau}_b = 3,5 \cdot \bar{\sigma}_b = 3,5 \times 5,9 = 20,65 \text{ kg/cm}^2.$$

Donc  $\tau_b(B) = 15,43 \text{ kg/cm}^2 < \bar{\tau}_b = 20,65 \text{ kg/cm}^2$ .

Au point A :  $\tau_b(A) = \tau_A(M_t) = 17,578 \text{ kg/cm}^2 < 20,65 \text{ kg/cm}^2$  (Vérifiées).

## 9- Disposition Constructives des armatures :

La pection d'armatures longitudinales destinées à résister à la torsion ne peuvent être dissociées de celles de flexion car en réalité elles travaillent ensemble aux deux sollicitations. Et comme les armatures longitudinales doivent être disposées sur tout le pourtour de la pection de béton alors on peut trouver une nouvelle pection mixte comme suit:

### a- Armatures Longitudinales supérieures:

$$A_s = 315 + \frac{5,616}{2} = 5,96 \text{ cm}^2 \quad \text{On prend } 12T8. \quad (t=11,5 \text{ cm})$$

### b- Armatures Longitudinales inférieures:

$$A_i = 6,474 + \frac{5,616}{2} = 9,28 \text{ cm}^2 \quad \text{On prend } 12T10. \quad (t=11,5 \text{ cm}).$$

### c- Armatures transversales :

$$A_t = 1 \text{ cadre T6.} \quad (t=15 \text{ cm}).$$

### d- Armatures de répartition:

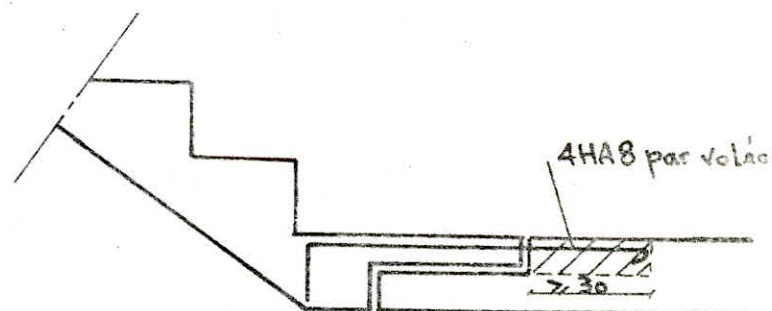
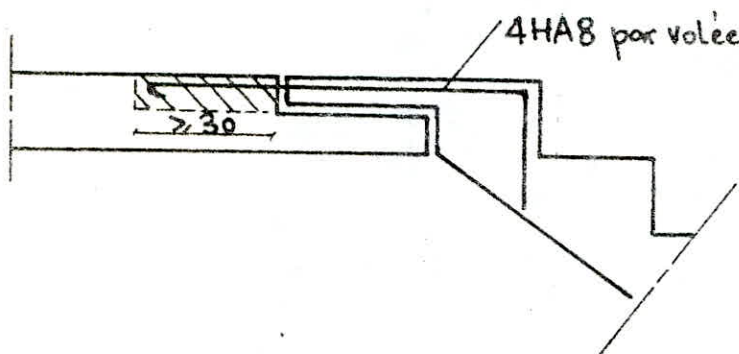
$$A_r = 5T8.$$

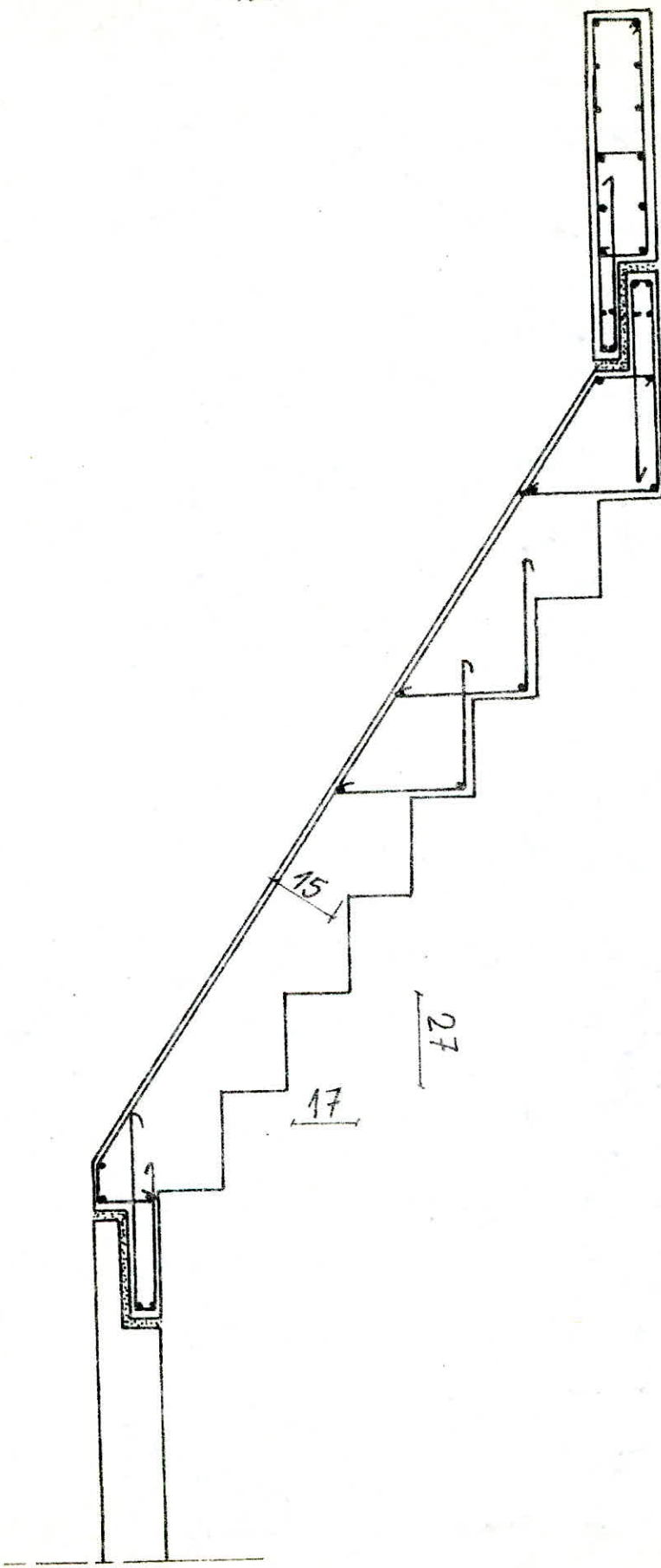
## II- Palier d'étage.

Calculé de la même manière, il présentera le même ferrailage.

## Liaison: Palier. Paillasse.

Ce type d'escalier est un élément important permettant de réduire considérablement la durée du projet car l'opération ferrailage-coffrage-décoffrage des volées se trouve supprimée. Cependant il faut d'après le règlement du C.T.C prévoir des armatures formant parachutes pour assurer une garantie contre le risque d'effondrement de la paillasse sous l'action des secousses et des charges verticales. Ces armatures seront en acier doux ou bien en acier à haute adhérence. On disposera 4 HA8 par volée pour garder le même type d'armatures. Elles joueront pleinement leur rôle si elles sont ancrées à pas moins de 30 cm dans le béton du palier.





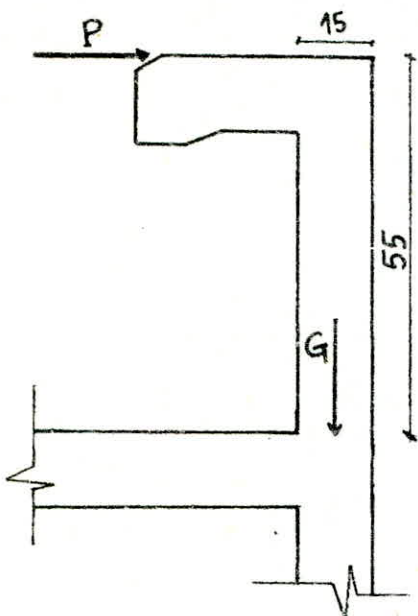
Généralités sur le ferrailage:

### L'acrotère.

L'acrotère peut être assimilée à une console encastrée dans le plancher. Pour l'exécution l'acrotère sera coulée sur place ou posée des voiles continus, et sera préfabriqué dans le cas contraire.

Pour le calcul on détache une bande de 1m de longueur.

#### 1<sup>e</sup>/ Dimensions de l'acrotère :



#### 2<sup>e</sup>/ Charges et Surcharges :

i. Poids propre :  $G = (0,55 \times 0,15 \times 1,00) \times 2,5 \cdot 10^3$  ;  
 $G = 206,25 \text{ kg.}$

ii. Surcharge d'exploitation:

Elle représente la main courante appliquée horizontalement :  $P = 100 \text{ kg/m.l.}$

iii. Charge de calcul:

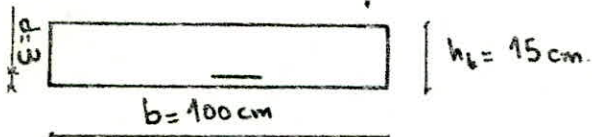
$G = 206,25 \text{ kg}$  (effort de compression).  
 $1,2P = 120 \text{ kg}$  (effort tranchant).

#### 3<sup>e</sup>/ Schéma statique :

C'est une console donc la section dangereuse se trouve à l'enca斯特rement.

La réduction des efforts à cette section :  $N = G = 206,25 \text{ kg.}$

$$M = 1,2P \times h_a = 120 \times 0,55 = 66 \text{ kg.m.}$$



L'acrotère étant un élément extérieur, on considère un enrobage de 2,5 cm. La distance au centre de gravité des armatures sera prise  $d = e + 0,5 = 3 \text{ cm.}$

#### 4<sup>e</sup>/ Armatures longitudinales : (P. Charon).

$$\left. \begin{aligned} e_0 &= \frac{M}{N} = \frac{66 \cdot 10^2}{206,25} = 32 \text{ cm.} \\ e_1 &= \frac{h_t}{6} = \frac{15}{6} = 2,5 \text{ cm.} \end{aligned} \right\} e_0 > e_1 : \begin{aligned} &\text{Le centre de pression tombe à l'extérieur du noyau central.} \\ &\text{La section est donc partiellement comprimée.} \end{aligned}$$

Moment fictif :  $M_f = N \cdot f = N (e_0 + \frac{h_t - d}{2})$ .

$$M_f = 206,25 \cdot \left( 32 + \frac{15}{2} - 3 \right) = 7631,25 \text{ kg/cm};$$

$$\mu = \frac{15 \cdot M_f}{\bar{\sigma}_a \cdot b \cdot h^2} = \frac{15 \times 7631,25}{2800 \times 100 \times (12)^2} = 0,0026 \rightarrow \begin{cases} E = 0,9765 \\ k = 198 \end{cases}$$

$$A_1 = \frac{M_f}{\bar{\sigma}_a \cdot E \cdot h} = \frac{7631,25}{2800 \times 0,9765 \times 12} = 0,23 \text{ cm}^2.$$

$$A = A_1 - \frac{N}{\bar{\sigma}_a} = 0,23 - \frac{206,25}{2800} = 0,16 \text{ cm}^2.$$

Le calcul donne donc une pécion de  $0,16 \text{ cm}^2$  très faible.

### Condition de non fragilité (CCBAG8, art. 52).

Les armatures tendues d'une pécion de béton ( $b \times h$ ) utile doivent dépasser la pécion:

$$A_0 = 0,69 \cdot \frac{\bar{\sigma}_b}{\bar{\sigma}_{ben}} \cdot b \cdot h;$$

$$A_0 = 0,69 \times \frac{5,9}{4200} \times (100 \times 12) = 1,22 \text{ cm}^2.$$

La pécion adoptée est limitée par cette condition. On disposera: soit une pécion:  $5T6 = 1,41 \text{ cm}^2$ .  $5T6 \text{ p.m.}$

### 5° Vérification au cisaillement du béton.

A l'enca斯特rement on a:  $T = 1,2P = 120 \text{ kg.}$

La contrainte tangente est:  $\tau_b^{\max} = \frac{T}{b \cdot z}$  ;

$$\tau_b^{\max} = \frac{120}{100 \times (0,87 \times 12)} = 0,12 \text{ kg/cm}^2.$$

Dans son ensemble, l'acrotière présentant la configuration d'une dalle; il est inutile de disposer des armatures transversales et par là même le cisaillement est vérifié si:  $\tau_b^{\max} \leq 1,15 \bar{\tau}_b = 1,15 \times 5,9 = 6,8 \text{ kg/cm}^2$  (largement vérifié).

### 6° armatures de répartition:

On disposera:  $25\%A \leq A_r \leq 50\%A$  soit  $A_r = 3T6 \text{ p.m.}$

### 7° Vérification à la fissuration:

On suppose que la fissuration est préjudiciable:  $K = 1,10^6$ . (exposé aux intempéries).

On a disposé des TG pour  $\eta = 1,6$  (aciéres H.A) et  $\Phi = 6$ .

$$\omega_x = \frac{A}{B_x} = \frac{1,41}{100 \times 6} = 2,35 \cdot 10^{-3}.$$

$$\sigma_1 = \frac{K \eta}{\Phi} \cdot \frac{\sigma_f}{1 + 10 \omega_x} = 612,28 \text{ kg/cm}^2; \quad \sigma_2 = 2,4 \cdot \sqrt{\frac{K \cdot \eta \cdot \bar{\tau}_b}{\Phi}} = 3010,4 \text{ kg/cm}^2.$$

$\max(\sigma_1, \sigma_2) \geq \frac{2}{3} \bar{\sigma}_{ben}.$

CHAP:9

FONDATION

## Etude des Fondations

### Introduction:

Si on envisageait la solution poutrelles filantes sous murs porteurs on prend Compte à partir d'essais locaux que cette variante doit être écartée pour plusieurs raisons. Une première raison tient Compte du nombre relativement élevé de voiles introduisant des entre-axes assez faibles et non réguliers. On aura ainsi une distance entre les branchements de chaque poutrelle trop faible par rapport à la distance réglementaire. Une seconde raison issue du Calcul des poutrelles voisines sous deux refends voisins a aboutit à l'espace de 40cm entre les poutrelles. Une troisième raison tient compte de l'existence d'un plancher sous-sol à usage commercial subissant des surcharges fortes de 400 kg/m<sup>2</sup> et dont la réalisation selon la première solution nécessite la mise en place de dalles sur remblai de sable et gravier compacté (dalles flottantes simplement posées). Il est donc plus économique sur le plan technique de décider que la plateforme supérieure d'un radier général, sur laquelle on coulera une chape de béton de 5cm, fera office de plancher sous-sol.

### Simplifications admises:

Pour notre étude, on suppose que le radier sera constitué d'une dalle très épaisse, d'épaisseur constante. On suppose que le radier est infiniment rigide donc indéformable ; c'est ainsi que l'on admet une réaction du sol uniforme sous le radier (par le sous-sol) due aux charges et surcharges du bâtiment.

### Difficultés du Calcul exact:

Le calcul exact ne peut être mené manuellement car, plus local, il consiste à vérifier la statique pour toute section ou coupure totale du radier par un plan vertical parallèle aux axes principaux du radier.

## Caractéristiques géométriques du radier.

### a. Centre de masse.

i	$S_i (m^2)$	$l_x (m)$	$l_y (m)$	$x (m)$	$y (m)$	$X (m)$	$Y (m)$
1	5,18	0,85	6,095	-9,20	6,49	-9,20	-3,256
2	12,9	3,75	3,44	-5,625	1,72	-5,625	8,024
3	69,4015	5,02	13,825	-6,26	10,35	-6,26	0,606
4	70,293	3,75	18,745	-1,875	9,473	-1,875	-0,271
5	48,714	3,15	15,465	1,575	11,113	1,575	1,369
6	50,98	3,75	13,595	5,025	10,078	5,025	0,334
7	40,48	3,75	10,795	8,775	10,078	8,775	0,334
$S = 297,95 m^2$							

$$x_G = \frac{\sum S_i x_i}{S} = \frac{-1,6655}{297,95} = -0,005 \text{ m.}$$

$$y_G = \frac{\sum S_i y_i}{S} = \frac{2903,08}{297,95} = 9,745 \text{ m.}$$

$\rightarrow C_{M10} = (0,005 ; 9,745) \text{ m.}$

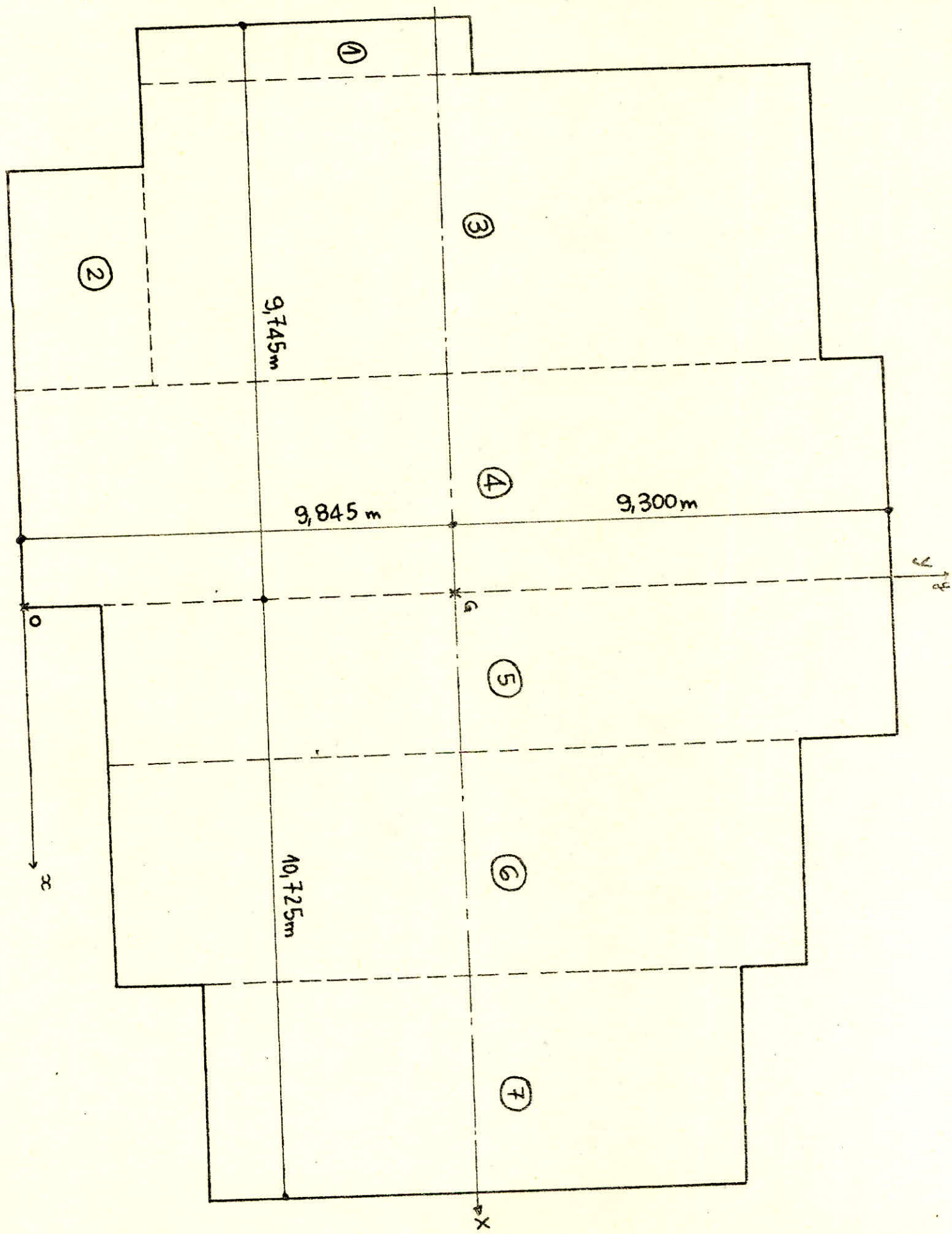
### b. Moments d'inertie.

i	$S_i (m^2)$	$I_{X_i} (m^4)$	$I_{Y_i} (m^4)$
1	5,18	70,954	429,739
2	12,9	843,282	410,324
3	69,4015	1130,883	2865,423
4	70,293	2063,45	329,502
5	48,714	1063,75	161,124
6	50,98	790,90	1347,021
7	40,48	397,63	3164,424
$I_x = 6360,85 m^4$		$I_y = 8707,56 m^4$	

$$S = 297,95 m^2.$$

$$I_x = 6360,85 m^4.$$

$$I_y = 8707,56 m^4.$$



## 2% Charges et Surcharges.

- 1) poids permanent en terrasse :  $G_T = 256,43 \text{ t}$ .
- 2) " " " d'un niveau Courant :  $G_C = 337,216 \text{ t}$ .
- 3) " " " en RDC :  $G_{RDC} = 358,58 \text{ t}$ .
- 4) " " " en S/Sol :  $G_{S/S} = 37,24 \text{ t}$  (charge de Béton de 5cm).

### a. Poids des Voiles périphériques (Infrastructure).

VPI	b(cm)	L(m)	$G_{Op_i} (\text{t})$
1	20	7,05	9,87
2	"	6,70	9,38
3	"	7,65	10,71
4	"	3,15	4,41
5	"	3,75	5,25
6	"	3,75	5,25
7	"	3,75	5,25
8	"	3,75	5,25
9	"	7,05	9,87

$$G_{Op} = 65,24 \text{ t}$$

### b. Poids des Voiles en Continuité (Infrastructure).

$V_{L_i}$	$G_{Op_L} (\text{t})$	$V_{T_i}$	$G_{Op_{T_i}} (\text{t})$
1	9,22	1	6,064
2	10,91	2	15,728
3	5,818	3	8,234
4	12,768	4	28,18
5	8,508	5	22,505
6	8,82	6	17,454
7	10,668	7	13,324
8	7,59	8	3,22

$$G_{Op_L} = 74,302 \text{ t} \quad G_{Op_T} = 114,709 \text{ t}$$

Charge totale due aux voiles d'infrastructure:

$$G_o = G_{Op} + G_{Op_L} + G_{Op_T} = 65,24 + 74,302 + 114,709 = 254,251 \text{ t.}$$

Poids Permanent de toute la Construction:

$$G = G_T + (G_C \times 9) + G_{RDC} + G_{S/S} + G_o = 3904,205 \text{ t.}$$

Surcharges d'exploitation :

Niveau	$P_c(t)$	$P_o(t)$	$P_c(t)$ degr.	$P_o(t)$ degr.	$1,2 P_c(t)$
T	0	32,2	0	32,32	38,64
9	21,21	65,65	21,21	65,65	28,78
8	"	"	19,10	59,10	70,92
7	"	"	16,97	52,52	63,024
6	"	"	14,85	45,96	55,152
5	"	"	12,73	39,39	47,27
4	"	"	10,605	32,825	39,39
3	"	"	"	"	"
2	"	"	"	"	"
1	"	"	"	"	"
RDC	23,70	90,22	11,85	45,11	54,132
S/Sol	23,70	90,22	11,85	45,11	54,132

Surcharge d'exploitation totale non pondérée :  $(P) = 667,32 \text{ t.}$

$$-(P_c + P_o)$$

" " " pondérée :  $(1,2P) = 770,59 \text{ t.}$

$$-(1,2P_c + 1,2P_o)$$

Sollicitation du premier genre.

$$G + (1,2P) = 3904,205 + 770,59 = 4674,795 \text{ t.}$$

N.B : La sollicitation normale du 1<sup>er</sup> genre introduit un moment très faible car l'excentrement entre le centre de masse du radier et la ligne d'action de la résultante des efforts normaux est faible.

e. Sollicitation du second genre:

Au niveau du R.D.C on avait : un moment  $M_o = 5477,568 \text{ t.m}$  et un effort tranchant  $H_o = 285,26 \text{ t.}$

- Le moment global de renversement de la structure est :  $M = M_o + H_o \cdot h_e$ .

$$M = 5477,568 + 285,26 \times 2,8 = 6276,296 \text{ m.t.}$$

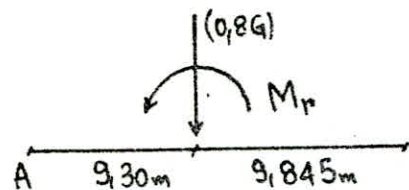
$$M = 6276,296 \text{ t.m.}$$

3°/ Vérification de la stabilité global au renversement.

Le renversement doit être vérifié sous la sollicitation  $(0,8G \pm E)$  qui renferme implicitement un peisme horizontal et un peisme ascendant.

Moment renversant :  $M_r = 6276,296 \text{ t.m.}$

Moment stabilisant :  $M_s = (0,8G) \times J_{\min}$ ;  $J$  : écart entre la fibre extrême du radier et le centre de masse.



$J_{\min} = 9,30 \text{ m}$ : c'est le bras de levier le plus défavorable sachant que le peisme peut venir selon deux sens pouvant chacune des deux directions.

$$\frac{M_s}{M_r} = \frac{(0,8 \times 3904,205) \times 9,30}{6276,296} = 4,62 > 1,5.$$

Le bâtiment est donc assuré contre le risque de global renversement.

## Surface de radier nécessaire.

Elle est fixée par la contrainte admissible du sol de fondation.

$$\bar{\sigma}_s > \frac{N}{S_{nec}} ; N = G + 1,2 P = 4674,795 \text{ t}$$

$$\bar{\sigma}_s = 18 \text{ t/m}^2$$

$$S_{nec} > \frac{N}{\bar{\sigma}_s} = \frac{4674,795}{18} = 259,71 \text{ m}^2$$

Or, nous disposons d'une surface  $S_{disp} = 297,95 \text{ m}^2 > S_{nec}$ .

Si nous tenons compte de la diffusion oblique à 45° aux extrémités, dans le béton armé pur le feuillet moyen, alors nous devons prévoir un débord de largeur égale à la mi. épaisseur du radier et à un minimum réglementaire de 30 cm. L'existence d'un joint de faible largeur entre les deux tours conduit à couler un radier général sous ces deux identiques bâtiments. Le débord a pour rôle, mise à part la surface qu'il procure, de pousser le dernier appui (voiles d'extrémités) pour éviter que le voile subisse un moment important.

Nous avons opté pour un débord de 30 cm de large. D'où les nouvelles caractéristiques du radier.

$$S = 297,95 + 18,25 = 316,20 \text{ m}^2$$

$$I_x = 6360,85 + 479,77 = 6840,62 \text{ m}^4$$

$$I_y = 8707,56 + 861,6 = 9569,16 \text{ m}^4$$

## Pression sur la sous-face du radier.

$$p = \frac{N}{S} = \frac{4674,795}{316,2} = 14,78 \text{ t/m}^2 < \bar{\sigma}_s = 18 \text{ t/m}^2$$

C'est la pression uniforme que subit le radier sous la sollicitation du premier genre.

## Predimensionnement du radier.

Sachant qu'il est toujours incommodé de disposer des armatures transversales dans le radier, comme c'est le cas des dalles, alors son épaisseur sera déterminée en l'assurant contre les contraintes de cisaillement du béton. Ce genre d'armatures est inutile si :  $\bar{\tau}_b \leq 1,15 \bar{\sigma}_b$  pour les dalles.

$$\bar{\tau}_b = \frac{T_{max}}{b \cdot z} \leq \bar{\tau}_b = 1,15 \cdot \bar{\sigma}_b ; \bar{\tau}_b = 1,15 \times 5,9 = 6,785 \text{ kg/cm}^2$$

On peut placer dans le cas du panneau n° 2 dont le pourcentage de portée  $\alpha_x = 0,826 = 82,6\%$  de la charge  $q$  appliquée.

Pour le prédimensionnement, on choisit une bande unitaire dans cette même dalle de largeur  $b = 100 \text{ cm}$  et de longueur libre  $l_x = 360 \text{ m}$ . Cette poutre sera sollicitée par la réaction  $q = 14,78 \text{ t/m}^2$  du sol.

$$T_{\max} = \frac{(\alpha_x q) l_x}{2} = \frac{(0,826 \times 14,78) \times 3,60}{2} = 21,92 \text{ t.}$$

Le bras de levier  $z$  peut être pris :  $z = \frac{7}{8} h$ .

$$\text{D'où } Z_b = \frac{T_{\max}}{b \cdot z} \leq \bar{Z}_b \Rightarrow h \geq \frac{8 T_{\max}}{7 b \bar{Z}_b}$$

$$h_{\min} = \frac{8 \times 21,92 \cdot 10^3}{7 \times 100 \times 6,785} = 36,8 \text{ cm.}$$

On prend une épaisseur de  $h_t = 40 \text{ cm}$  pour le radier.

### Stabilité du radier.

#### a - Sollicitation du 1<sup>er</sup> genre :

$$N = [G + (1,2P)]_{\text{struct.}} + G_{\text{rad.}} = 4674,795 + 319,1 = 4993,90 \text{ t.}$$

$$\sigma_S = \frac{N}{S} = \frac{4993,90}{316,20} = 15,79 \text{ t/m}^2 < \bar{\sigma}_S = 18 \text{ t/m}^2. \quad (\text{vérifié})$$

#### b - Sollicitation du 2<sup>e</sup> genre :

Sous les sollicitations introduisant un moment de renversement nous devons vérifier que les extrémités du radier ne sont pas sujettes à la traction (soulèvement); Ce cas est très probable sous la sollicitation  $(0,8G \pm E)$  donnée par le RPA 81. D'autre part nous devons vérifier les fortes compressions sous la sollicitation  $(G + P + E)$ .

#### b-1: Sollicitation $(0,8G \pm E)$ :

$$N = (0,8G) = 0,8 \cdot (3904,205 + 319,1) = 3378,64 \text{ t.}$$

#### a/- rotation autour de l'axe ( $x-x$ )

$$\sigma_{x_{1,2}} = \frac{N}{S} \pm \frac{M}{I_x} \cdot \bar{x}_{\max} ; \quad \bar{x}_{\max} = \text{distance entre le centre de gravité et le point extrême du radier.}$$

$$\sigma_{x_{1,2}} = \frac{3378,64}{316,2} \pm \frac{6276,296 \times 10,725}{6840,62} \quad \bar{x}_{\max} = 10,725 \text{ m.}$$

$$\sigma_{x_{1,2}} = 10,69 \pm 9,84 = \begin{cases} \sigma_{x_2} = 20,53 \text{ t/m}^2 \\ \sigma_{x_1} = 0,85 \text{ t/m}^2 \end{cases}$$

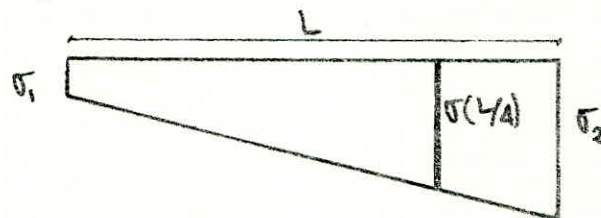
$$\begin{cases} \sigma_{x_2} = 20,53 \text{ t/m}^2 < 1,5 \bar{\sigma}_s = 1,5 \times 18 = 27 \text{ t/m}^2 \\ \sigma_{x_1} = 0,85 \text{ t/m}^2 > 0. \quad (\text{pas de risque de poulement}). \end{cases}$$

N.B: Sous les sollicitations du deuxième genre le poteau peut supporter une contrainte au plus égale à la limite admissible pour les charges verticales ( $\bar{\sigma}_{S_1} = 18 \text{ t/m}^2$ ) majorée de 50% ; soit  $\bar{\sigma}_{S_2} = 1,5 \times 18 = 27 \text{ t/m}^2$ .

La contrainte réduite au quart le plus sollicité est:  $\sigma_x(L/4) = \frac{3\sigma_{x_2} + \sigma_{x_1}}{4}$ .

$$\sigma_x(L/4) = \frac{3 \times 20,53 + 0,85}{4} = 15,61 \leq 1,33 \bar{\sigma}_s = 1,33 \times 18 = 23,94 \text{ t/m}^2.$$

N.B: La contrainte réduite  $\sigma(L/4) = \sigma_m$  doit rester inférieure à la contrainte admissible majorée de 33% ; valeur découlant de:  $\sigma(L/4) \leq \frac{4}{3} \bar{\sigma}_s$ .



b/. rotation autour de l'axe (y-y).

$$\sigma_{y_{1,2}} = \frac{N}{S} \pm \frac{M_y}{I_y} \cdot \sigma_y^{\max}$$

$$\sigma_{y_{1,2}} = \frac{3378,64}{316,2} \pm \frac{6276,296}{9569,16} \times 9,845 = 10,69 \pm 6,46 = \begin{cases} \sigma_{y_2} = 17,15 \text{ t/m}^2 \\ \sigma_{y_1} = 4,23 \text{ t/m}^2 \end{cases}$$

$$\sigma_{y_2} = 17,15 \text{ t/m}^2 < 27 \text{ t/m}^2.$$

$\sigma_{y_1} = 4,23 \text{ t/m}^2 > 0$ . (pas de risque de poulement).

$$\sigma(L/4) = \frac{3 \times 17,15 + 4,23}{4} = 13,92 \text{ t/m}^2 < 23,94 \text{ t/m}^2.$$

## b.2 : Sollicitation (G + P + E).

### a. rotation autour de l'axe (x-x).

$$N = (G + P)_{\text{str.}} + G_{\text{red.}} = (3904,205 + 667,32) + 319,1 = 4890,625 \text{ t.}$$

$$\sigma_{x_{1,2}} = \frac{N}{S} \pm \frac{M_x}{I_x} \cdot J_{x_{\max.}}$$

$$\sigma_{x_{1,2}} = \frac{4890,625}{316,2} \pm \frac{6276,296}{6840,62} \cdot 10,725 = 15,46 \pm 9,84 = \begin{cases} \sigma_{x_2} = 25,30 \text{ t/m}^2 \\ \sigma_{x_1} = 5,62 \text{ t/m}^2 \end{cases}$$

$$\left\{ \begin{array}{l} \sigma_{x_2} = 25,30 \text{ t/m}^2 < 1,5 \bar{\sigma}_s = 27 \text{ t/m}^2 \\ 0 < \sigma_{x_1} = 5,62 \text{ t/m}^2 < 27 \text{ t/m}^2 \end{array} \right.$$

$$\sigma_x(L/4) = \frac{3\sigma_{x_2} + \sigma_{x_1}}{4} = 20,38 \text{ t/m}^2 < 1,33 \bar{\sigma}_s = 23,94 \text{ t/m}^2.$$

### b. rotation autour de l'axe (y-y).

$$\sigma_{y_{1,2}} = \frac{N}{S} \pm \frac{M_y}{I_y} \cdot J_{y_{\max.}}$$

$$\sigma_{y_{1,2}} = \frac{4890,625}{316,2} \pm \frac{6276,296}{9569,16} \cdot 9,845 = \begin{cases} \sigma_{y_2} = 21,92 \text{ t/m}^2 \\ \sigma_{y_1} = 9,00 \text{ t/m}^2 \end{cases}$$

$$\left\{ \begin{array}{l} \sigma_{y_2} = 21,92 \text{ t/m}^2 < 1,5 \bar{\sigma}_s = 27 \text{ t/m}^2 \\ 0 < \sigma_{y_1} = 9,00 \text{ t/m}^2 < 1,5 \bar{\sigma}_s = 27 \text{ t/m}^2 \end{array} \right.$$

$$\sigma_y(L/4) = \frac{3\sigma_{y_2} + \sigma_{y_1}}{4} = 18,70 \text{ t/m}^2 < 1,33 \bar{\sigma}_s = 23,94 \text{ t/m}^2.$$

Conclusion: Tous les diagrammes des Contraintes vérifient les conditions réglementaires.

### Détermination de la sollicitation la plus défavorable.

#### i/ Sollicitation du premier genre.

$$N_h = (G + (1,2P))_{\text{str.}} = 4674,795 \text{ t} \quad (\text{radier non compris}).$$

Sous cet effort la poussée face du radier subira une contrainte uniforme.  $\sigma_{s1} = \frac{N_h}{S} = \frac{4674,795}{316,20} = 14,78 \text{ t/m}^2.$

## II/ Sollicitations du second genre.

Dans ce cas on peut déterminer un effort normal central  $N_2$  dont l'effet sera de produire la même contrainte moyenne que dans le cas le plus défavorable du second genre, soit  $(G+P+E)$  pour lequel :  $\frac{f_m}{f_a} = 20,38 - \frac{319,1}{316,2} = 19,37 \text{ t/m}^2$ .

$$N_2 = 19,37 \times 316,2 = 6124,794 \text{ t.}$$

La résistance du béton et des aciers étant majorées de 50% sous SP2 on compare le rapport  $\frac{N_2}{N_1}$  au rapport de majoration  $\frac{f_{en}}{f_a} = 1,5$  est suffisant.

$$\frac{N_2}{N_1} = \frac{6124,794}{4674,795} = 1,31 < 1,5.$$

On en déduit que le radier sera ferrailleé sous la charge (pression des terres) uniformément répartie  $q$ , agissant sur la poutre-face lors de SP2.

$$q = \frac{N_1}{S} = 14,78 \text{ t/m}^2.$$

### Vérification au poinçonnement :

Conformément à l'article 39,54 du CCBA 68 on doit vérifier le poinçonnement pour tous les refends ou éléments de refend acheminant des charges verticales qui peuvent être considérées comme "forces localisées", au sens de l'article 39,53 du CCBA 68, vis-à-vis du poinçonnement.

### Article 39,53: CCBA 68:

Une force est considérée comme "force localisée" vis-à-vis du poinçonnement si le rectangle d'influence ( $l \times b$ ) élargi à ( $l' \times b'$ ), par diffusion à 45° dans le feuillet moyen, vérifie :

$$0,4 < \frac{l'}{b'} < 2,5.$$

D'après l'article 39,54 la condition de non poinçonnement s'écrit :  $1,5 \cdot \frac{Q}{P_c} < 1$

$P_c$ : périmètre du contour cisaillé au niveau du feuillet moyen.

$P_c \cdot h_t$

$h_t$ : hauteur totale du radier.

$f_b$ : Contrainte de traction de référence du béton.

Le cas le plus défavorable est obtenu pour le voile  $V_{T_2}$  car son trumeau central présente la plus grande valeur de contrainte :

$P_c$

À la surface du radier ce trumeau a les dimensions :  $l = 60 \text{ cm}$  et  $b = 25 \text{ cm}$ . Il achemine une charge  $Q = 33,15 \text{ t}$ .

Au niveau du feuillet moyen la surface d'influence a pour dimensions :

$$l' = 60 + 40 = 100 \text{ cm.}$$

$$b' = 25 + 40 = 65 \text{ cm.}$$

Il s'agit bien d'une force localisée car :

$$0,4 < \frac{l'}{b'} = \frac{100}{65} = 1,54 < 2,5$$

$$\text{Vérification: } 1,5 \cdot \frac{Q}{P_c \cdot h_t} = 1,5 \cdot \frac{33,15 \cdot 10^3}{2(100+65) \times 40} = 3,78 \text{ kg/cm}^2 < \bar{f}_b = 5,9 \text{ kg/cm}^2.$$

## Méthode de détermination des efforts dans le radier.

Sur le calcul des efforts ( $M, T$ ) dans le radier, plusieurs points sont à considérer

- Le radier est considéré comme un ensemble de panneaux de dalles chargé par la réaction du sol.
- L'irrégularité et l'absence de parfaites symétries des plans nécessitent la connaissance de la répartition d'une charge  $q$  uniformément répartie en posant l'hypothèse d'uniformité de la réaction du sol, — pour une dalle selon chacun des deux pôns porteurs (cas où  $\beta = l_x/l_y \geq 0,4$ ). Pour résoudre ce point deux méthodes sont proposées :

- C'est une méthode proposée par Nachtergal (IBN). Elle consiste à écrire que la flèche en un point reste identique, que la flexion soit dans un pôle ou dans l'autre, selon chaque portée. La charge se répartira en  $q_{lx}$  et  $q_{ly}$  telles que :  $q = q_{lx} + q_{ly}$ .

$$f = \frac{q_{lx} \cdot l_x^4}{384 EI_x} = \frac{q_{ly} \cdot l_y^4}{384 EI_y}, \quad (0,4 \leq l_x \leq 1).$$

Cette méthode priviliege particulièrement le pôle porteur  $l_x$  au détriment de la grande portée  $l_y$  de portance moindre. Car nous choisissons deux bandes unitaires dans la dalle alors on peut écrire :

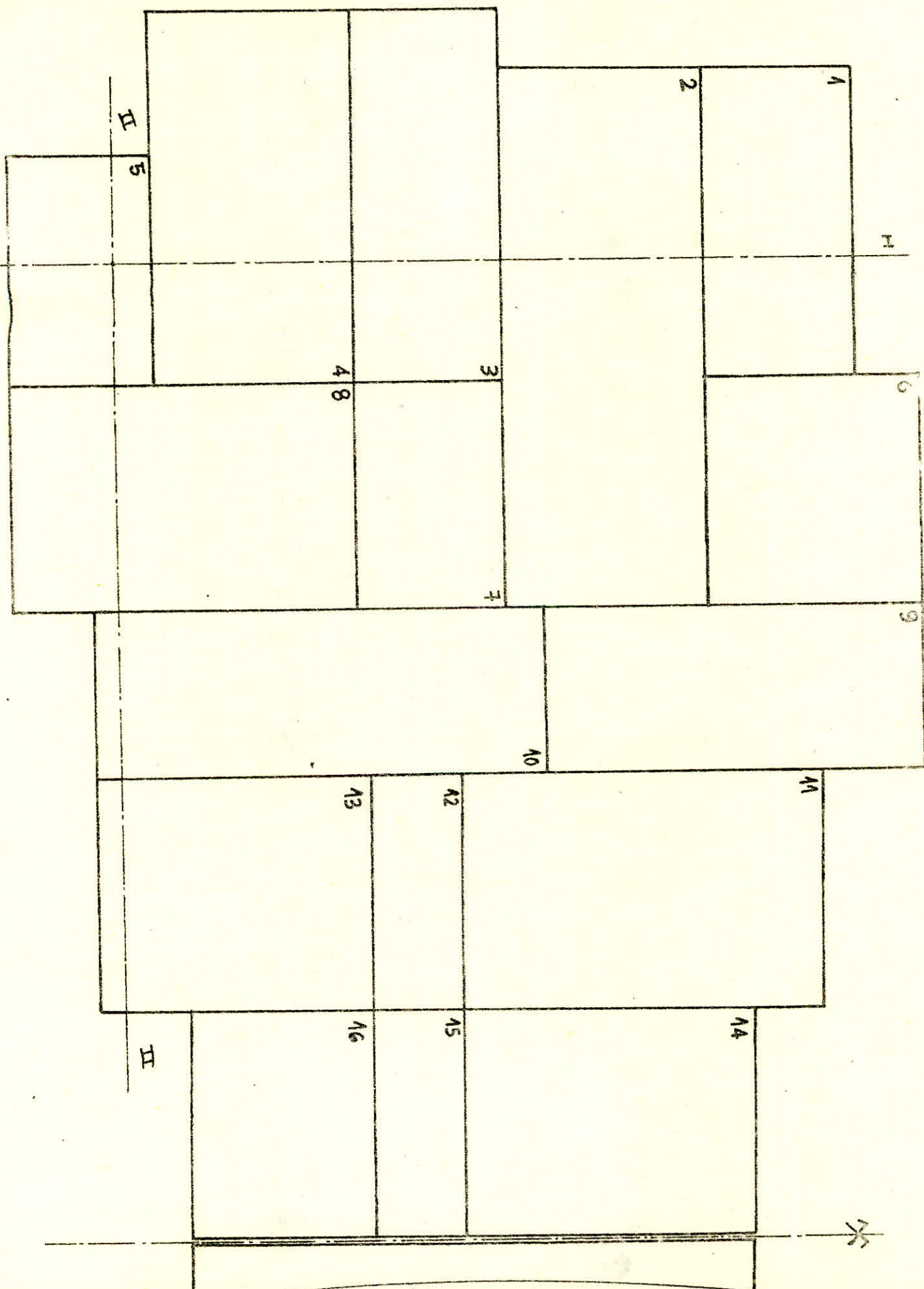
$I_x = I_y$  (en négligeant les armatures) et on trouve :

$$q_{lx} = \frac{1}{\beta^4 + 1} q \quad \text{et} \quad q_{ly} = \frac{\beta^4}{\beta^4 + 1} \cdot q$$

La remarque ci-dessus provient du fait que l'on suppose implicitement que toute la flèche est pivotee sur les bandes centrales. Elle s'applique très bien aux dalles de côtés pas trop importants.

- Une deuxième méthode consiste à supposer la dalle indépendante des autres, calculer les efforts tranchants maxima par la méthode de M. Pigeaud en supposant la charge uniformément répartie et déterminer ainsi les distributions  $q_{lx}$  et  $q_{ly}$  pour chacun des deux pôns.

- A partir de la répartition des charges justifiée de manière sécuritaire par les efforts tranchants, on pourra pratiquer une section transversale et une section longitudinale dans le radier, obtenir deux poutres continues et charger chaque travée par la charge lui revenant. De cette manière on pourra tenir compte de la continuité en calculant une poutre continue par autant d'appuis que la section transversale de voiles par la méthode de Cayet adaptée aux poutres à inertie constante.



Distribution d'une charge  $q$  suivant les deux pôles porteur de chaque panneau de dalle.

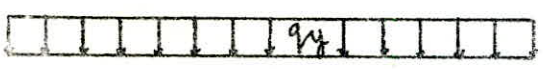
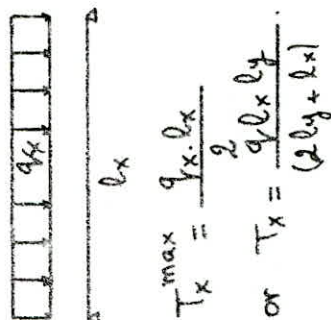
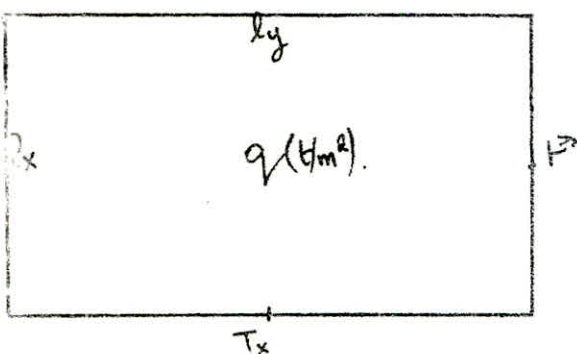
Panneau	$b_y$ (m)	$b_x$ (m)	$\beta = b_x/b_y$	$> 0,4 <$	$\alpha_x = \frac{2}{2+\beta}$	$\alpha_y = \frac{2}{3} \beta$
1	484,5	300	0,62	>	0,763	0,413
2	859,5	360	0,42	>	0,826	0,280
3	569,5	300	0,526	>	0,792	0,350
4	569,5	360	0,63	>	0,760	0,420
5	357,5	326,5	0,913	>	0,686	0,608
6	448	357,5	0,79	>	0,717	0,526
7	355	300	0,845	>	0,703	0,563
8	701,5	355	0,506	>	0,798	0,337
9	755,5	295	0,39	<	1,00	0,00
10	796,5	295	0,37	<	1,00	0,00
11	671,5	360	0,536	>	0,788	0,357
12	360	177	0,49	>	0,803	0,326
13	461	360	0,78	>	0,719	0,52
14	531,5	355	0,668	>	0,745	0,50
15	355	177	0,49	>	0,803	0,326
16	355	336	0,94	>	0,680	0,626

## Distribution d'une charge $q$ .

Soit une dalle de petit côté  $l_x$  et de grand côté  $l_y$ . Les efforts tranchants maxima pour une charge répartie  $q$ , sont selon la méthode de M. Pigeaud :

$$T_x = \frac{q l_x l_y}{(2l_y + l_x)} . \text{ au milieu de } l_y \text{ et par mètre.}$$

$$\text{et } T_y = \frac{q l_x l_y}{3l_y} = q \frac{l_x}{3} . \text{ au milieu de } l_x \text{ et par mètre.}$$



$l_y$

$$T_y^{\max} = \frac{q_y \cdot l_y}{2} = \frac{q l_x}{3} \Rightarrow q_y = \frac{2}{3} q \frac{l_x}{l_y} = \left(\frac{2}{3} \beta\right) q .$$

$$\text{avec } \beta = \frac{l_x}{l_y} . \\ (0,4 \leq \beta \leq 1)$$

Pour la petite portée on a :

$$T_x^{\max} = \frac{q_x \cdot l_x}{2} = \frac{q_x l_x l_y}{(2l_y + l_x)} \Rightarrow q_x = \frac{2q l_y}{(2l_y + l_x)} = \left(\frac{2}{2+\beta}\right) q .$$

Conclusion :

- { La petite portée  $l_x$  reprend la fraction  $\alpha_x = \left(\frac{2}{2+\beta}\right)$  d'une charge  $q$  ( $t/m^2$ ) .
- { La grande portée  $l_y$  reprend la fraction  $\alpha_y = \left(\frac{2}{3} \beta\right)$  d'une charge  $q$  ( $t/m^2$ ) .

Vérifications :

• On a toujours  $\alpha_x > \alpha_y$  car la petite portée reprend plus que la grande.

• Pour une dalle carrée  $l_x = l_y$  on a :  $\alpha_x = \alpha_y = 2/3$  .

Méthode de Caquot appliquée aux poutres d'inertie constante (Art. A.11-2038A60).

Cette méthode permet de résoudre une Poutre Continue issue d'une bande de 1m détachée du plancher renversé qui est le radier.

Cette méthode considère : - qu'un noeud i n'est influencé que par les charges appliquées sur les travées adjointes reliant les noeuds (i-1, i) et (i, i+1).  
- qu'une travée (i, i+1) n'est influencée que par les noeuds i et (i+1).

Moments négatifs d'appui.

A. Noeud supportant une Console  $\Delta_{W_1}$ .



$$q_{w1} \quad | \quad q_{e1} = q_{w2} \quad | \quad q_{e2} = q_{w3} \quad | \quad q_{e3} = q_{w4} \quad | \quad q_{e4} = q_{w5} \quad | \quad q_{e5} = q_{w6} \quad | \quad q_{e6}$$

$$l_{w1} \quad | \quad l_{e1} = l_{w2} \quad | \quad l_{e2} = l_{w3} \quad | \quad l_{e3} = l_{w4} \quad | \quad l_{e4} = l_{w5} \quad | \quad l_{e5} = l_{w6} \quad | \quad l_{e6}$$

$$M_{w1} = M_{e1} = \frac{q_{w1} l_{w1}^2}{2} \quad (\text{c'est le moment isostatique de la Console}).$$

B. Noeud "2" voisin d'un noeud du type noeud "1" (ci dessus) de rive.

On définit deux travées fictives l'w<sub>2</sub> et l'e<sub>2</sub> de part et d'autre du noeud. Le noeud "1" étant de rive alors : l'w<sub>2</sub> = l<sub>w3</sub> et le noeud "3" étant intermédiaire duquel aboutit au noeud "2" une travée intermédiaire (3-2) alors l'e<sub>2</sub> = 0,8 l<sub>e2</sub>.

$$\text{On obtient alors deux moments fictifs: } M'_{w2} = \frac{q_{w2} l'_{w2}^2}{8,5} \text{ et } M'_{e2} = \frac{q_{e2} l'_{e2}^2}{8,5}.$$

Le moment pour appui "2" sera:

$$M_{e2} = M_{w2} + \frac{l'_{e2}}{l'_{e2} + l_{w2}} + \left( M'_{w2} - \frac{1}{2,125} M_{w1} \right) \cdot \frac{l_{w2}}{l_{w2} + l'_{e2}}.$$

C. Noeud "3" intermédiaire.

$$l'_{w3} = 0,8 l_{w3} ; \quad l'_{e2} = 0,8 l_{e2}.$$

$$M_{e3} = M_{w3} = \frac{q_{w3} l'_{w3}^2 + q_{e3} l'_{e3}^2}{8,5 \cdot (l'_{w3} + l'_{e3})}.$$

D. Noeud "5" voisin d'un noeud de rive du type "1".

Relativement au noeud "2" peuvent les orientations changer.

$$l'_{w5} = 0,8 l_{w5} ; \quad l'_{e5} = l_{e5}.$$

$$M_{w5} = M_{e5} = M_{w5} \frac{l'_{w5}}{l_{w5} + l_{e5}} + \left( M'_{e5} - \frac{1}{2,125} M_{e6} \right) \cdot \frac{l_{e5}}{l_{w5} + l_{e5}}.$$

## Moments positifs en travée.

Soit une travée de portée  $l$ , chargée par une charge uniformément répartie  $q$  et pour laquelle on connaît les moments par appuis  $M_w$  et  $M_e$ .

Sachant que le moment maximum en travée n'est pas nécessairement à mi-travée on calcule  $\xi_0 = \frac{x_0}{l}$  point où  $M$  est maximum  
on calcule  $M(\xi_0) = \psi(x_0) - [M_w(1-\xi_0) + M_e\xi_0]$  : moment max.

$$\psi(x_0) = \frac{q}{2}lx_0 - \frac{qx_0^2}{2} : \text{moment isostatique}$$

$$\text{a- } \xi_0 = \frac{1}{2} - \frac{M_e - M_w}{8M_0}, \quad \text{avec } M_0 = \frac{ql^2}{8}.$$

$$\text{b- } M(x_0) = \psi(x_0) - [M_w(1-\xi_0) + M_e\xi_0].$$

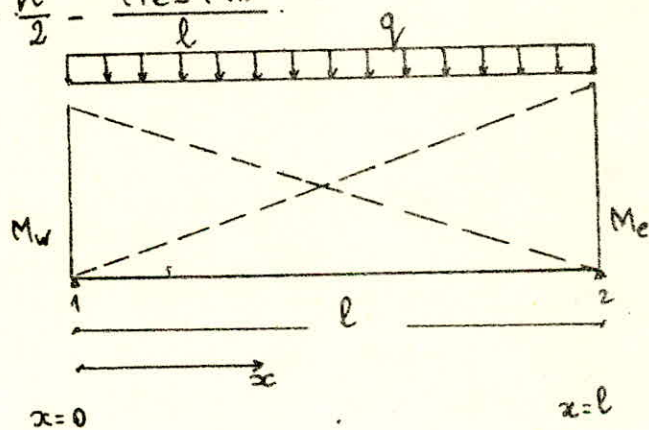
$$\text{Si } M_w \approx M_e \text{ alors } M^{\max} = M_0 - \frac{M_w + M_e}{2};$$

## Efforts tranchants.

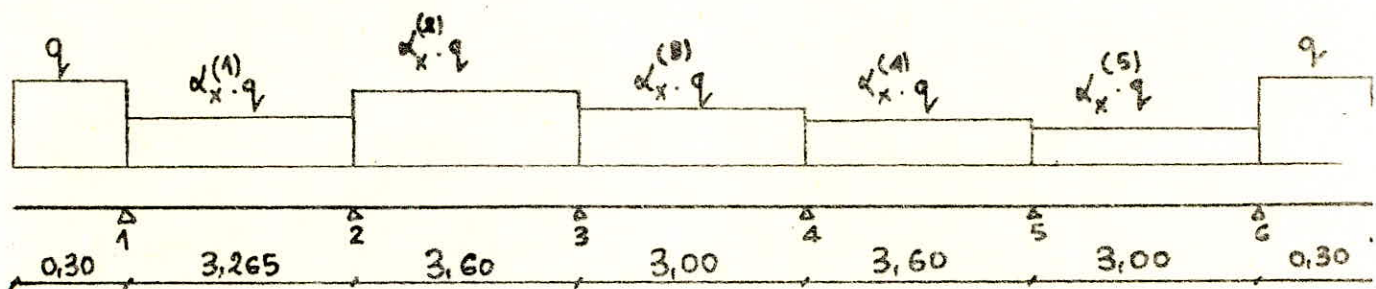
Au point  $x$  on a:  $T(x) = \tau(x) - \frac{M_e - M_w}{l}$  avec  $\tau(x)$ : effort tranchant au point  $x$  lorsque la travée est indépendante.

$$T(0) = T_w = \frac{ql}{2} - \frac{M_e - M_w}{l}.$$

$$T(l) = T_e = -\frac{ql}{2} - \frac{M_e - M_w}{l}.$$



Butre transversale. ( panneaux de dalle 1; 2; 3; 4; 5).



#### A. Moments aux noeuds.

##### 1. Nœud 1. (nœud de rive supportant une console).

$$M_{W_1} = M_{e_1} = \frac{q_{W_1} \cdot l_{W_1}^2}{2} = \frac{14,78 \times (0,30)^2}{2} = 0,66 \text{ t.m.}$$

##### 2. Nœud 2. (nœud voisin de nœud de rive).

$$l'_{W_2} = l_{W_2} = 3,265 \text{ m} ; \quad q_{W_2} = 0,763 \times 14,78 = 11,277 \text{ t/m.}$$

$$l'e_2 = 0,8 l_{e_2} = 0,8 \times 3,60 = 2,88 \text{ m} ; \quad q_{e_2} = 0,826 \times 14,78 = 12,208 \text{ t/m.}$$

$$M'_{W_2} = \frac{q_{W_2} \cdot l'_{W_2}^2}{8,5} = 14,14 \text{ t.m.} ; \quad M'_{e_2} = \frac{q_{e_2} \cdot l'e_2^2}{8,5} = 11,913 \text{ t.m.}$$

$$M_{W_2} = M_{e_2} = 11,913 \cdot \frac{2,88}{3,265 + 2,88} + \left( 14,14 - \frac{1}{2,125} 0,66 \right) \cdot \frac{3,265}{3,265 + 2,88} = 12,94 \text{ t.m.}$$

##### 3. Nœud 3. (intermédiaire).

$$l'_{W_3} = 0,8 l_{W_3} = 0,8 \times 3,60 = 2,88 \text{ m} ; \quad q_{W_3} = q_{e_2} = 12,208 \text{ t/m.}$$

$$l'e_3 = 0,8 l_{e_3} = 0,8 \times 3,00 = 2,40 \text{ m} ; \quad q_{e_3} = 0,792 \times 14,78 = 11,706 \text{ t/m.}$$

$$M_{W_3} = M_{e_3} = \frac{12,208 \times (2,88)^3 + 11,706 \times (2,40)^3}{8,5 (2,88 + 2,40)} = 10,104 \text{ t.m.}$$

##### 4. Nœud 4. (intermédiaire).

$$l'_{W_4} = l'e_4 = 2,40 \text{ m} ; \quad q_{W_4} = 0,792 \times 14,78 = 11,706 \text{ t/m.}$$

$$l'e_4 = 0,8 l_{e_4} = 0,8 \times 3,60 = 2,88 ; \quad q_{e_4} = 0,760 \times 14,78 = 11,233 \text{ t/m.}$$

$$M_{e_4} = M_{W_4} = \frac{11,706 \times (2,40)^3 + 11,233 \times (2,88)^3}{8,5 (2,40 + 2,88)} = 9,69 \text{ t.m.}$$

5. Noeud 5. (Voisin de noeud de rive).

$$l'_{W5} = l'_{e4} = 2,88 \text{ m} ; q_{W5} = q_{e4} = 11,233 \text{ t/m}.$$

$$l'_{e5} = l_{e5} = 3,00 \text{ m} ; q_{e5} = 0,686 \times 14,78 = 10,14 \text{ t/m}.$$

$$M'_{W5} = \frac{q_{W5} \cdot l'^2}{8,5} = 10,96 \text{ t.m} ; M'_{e5} = \frac{q_{e5} \cdot l'^2}{8,5} = 10,736 \text{ t.m} ;$$

$$M_{W5} = M_{e5} = 10,96 \cdot \frac{2,88}{2,88 + 3,00} + \left( 10,736 - \frac{0,66}{2,125} \right) \frac{3,00}{2,88 + 3,00} = 10,687 \text{ t.m} ;$$

6. Noeud 6. (idem au noeud 1).

$$M_{e6} = M_{W6} = \frac{q \cdot l'^2}{2} = 0,66 \text{ t.m} ;$$

B. Moments maximum en travée et efforts tranchants.

0. travée en Console.

$$T_{W1} = -\frac{q \cdot l_{W1}}{2} = -\frac{14,78 \times 0,30}{2} = -2,22 \text{ t}$$

2. travée (1-2).

$$q_h = q_{e1} = 11,277 \text{ t/m} ; l_1 = l_{e1} = 3,265 \text{ m}.$$

$$\begin{aligned} M_W &= M_{W1} = 0,66 \text{ t.m} ; & M_o &= \frac{q_1 \cdot l_1^2}{8} = 15,03 \text{ t.m} ; \\ M_e &= M_{e2} = 12,94 \text{ t.m} ; \end{aligned}$$

$$\xi_0 = \frac{1}{2} - \frac{M_e - M_W}{8 \cdot M_o} = \frac{1}{2} - \frac{12,94 - 0,66}{8 \times 15,03} = 0,40 \rightarrow x_0 = \xi_0 l_1 = 1,306 \text{ m} ;$$

$$M(\xi_0) = \frac{11,277 \times 3,265}{2} \times 1,306 - \frac{11,277 \times (1,306)^2}{2} [0,66(1-0,4) + 12,94 \times 0,4] ;$$

$$M(\xi_0) = 8,86 \text{ t.m} ;$$

$$T_{e1} = T(0) = \frac{q_h l_1}{2} - \frac{M_e - M_W}{l_1} = 14,65 \text{ t}$$

$$T_{W1} = T(l_1) = -\frac{q_h l_1}{2} - \frac{M_e - M_W}{l_1} = -22,175 \text{ t}.$$

3. travée (2-3).

$$q_2 = 12,208 \text{ t/m} ; l_2 = 3,60 \text{ m}.$$

$$M_0 = 19,78 \text{ t.m}$$

$$\xi_0 = 0,518 \quad x_0 = \xi_0 l_2 = 1,865 \text{ m}.$$

$$M(\xi_0) = 8,28 \text{ t.m} ; \quad T(0) = T_{e2} = 22,76 \text{ t} ; \quad T(l) = T_{W3} = -21,19 \text{ t}.$$

### 1. travée (3-4).

$$q_3 = q_{ve_3} = 11,706 \text{ t/ml}; \quad l_3 = 3,00 \text{ m.}$$

$$M_0 = 13,17 \text{ t.m.};$$

$$M_W = M_{W3} = 10,104 \text{ t.m.};$$

$$M_e = M_{e4} = 9,69 \text{ t.m.};$$

$$\ell_0 = 0,5 \quad x_0 = 1,50 \text{ m.}$$

$$M(x_0) = \frac{q_3 l_3 \cdot x_0 - q_3 \cdot (x_0)^2}{2} - [M_W(1 - \ell_0) + M_e \cdot \ell_0] = 3,273 \text{ t.m.};$$

$$T_{e3} \approx T_{W4} = \frac{q_3 \cdot l_3}{2} = 17,55 \text{ t.}$$

### 5. travée (4-5).

$$q_4 = q_{ve_4} = 11,233 \text{ t/ml}; \quad l_4 = 3,60 \text{ m.}$$

$$M_0 = \frac{q_4 \cdot l_4^2}{8} = 18,20 \text{ t.m.};$$

$$\ell_0 = \frac{1}{2} - \frac{M_e - M_W}{8 \cdot M_0} = 0,493 \quad x_0 = \ell_0 \cdot l_4 = 1,78 \text{ m.}$$

$$M(\ell_0) = \frac{q_4 \cdot l_4 \cdot x_0 - q_4 \cdot x_0^2}{2} - [M_W(1 - \ell_0) + M_e \cdot \ell_0] = 8,014 \text{ t.m.};$$

$$T(0) = T_{e4} = 19,94 \text{ t.} \quad ; \quad T(l) = T_{W5} = -20,5 \text{ t.}$$

### 6. travée (5-6).

$$q_5 = 10,14 \text{ t/m}; \quad l_5 = 3,00 \text{ m.}; \quad M_W = 10,687 \text{ t.m.}; \quad M_e = 0,66 \text{ t.m.}$$

$$M_0 = 11,408 \text{ t.m.}; \quad \ell_0 = 0,61 \quad x_0 = \ell_0 \cdot l_5 = 1,83 \text{ m.}$$

$$M(\ell_0) = 6,285 \text{ t.m.}$$

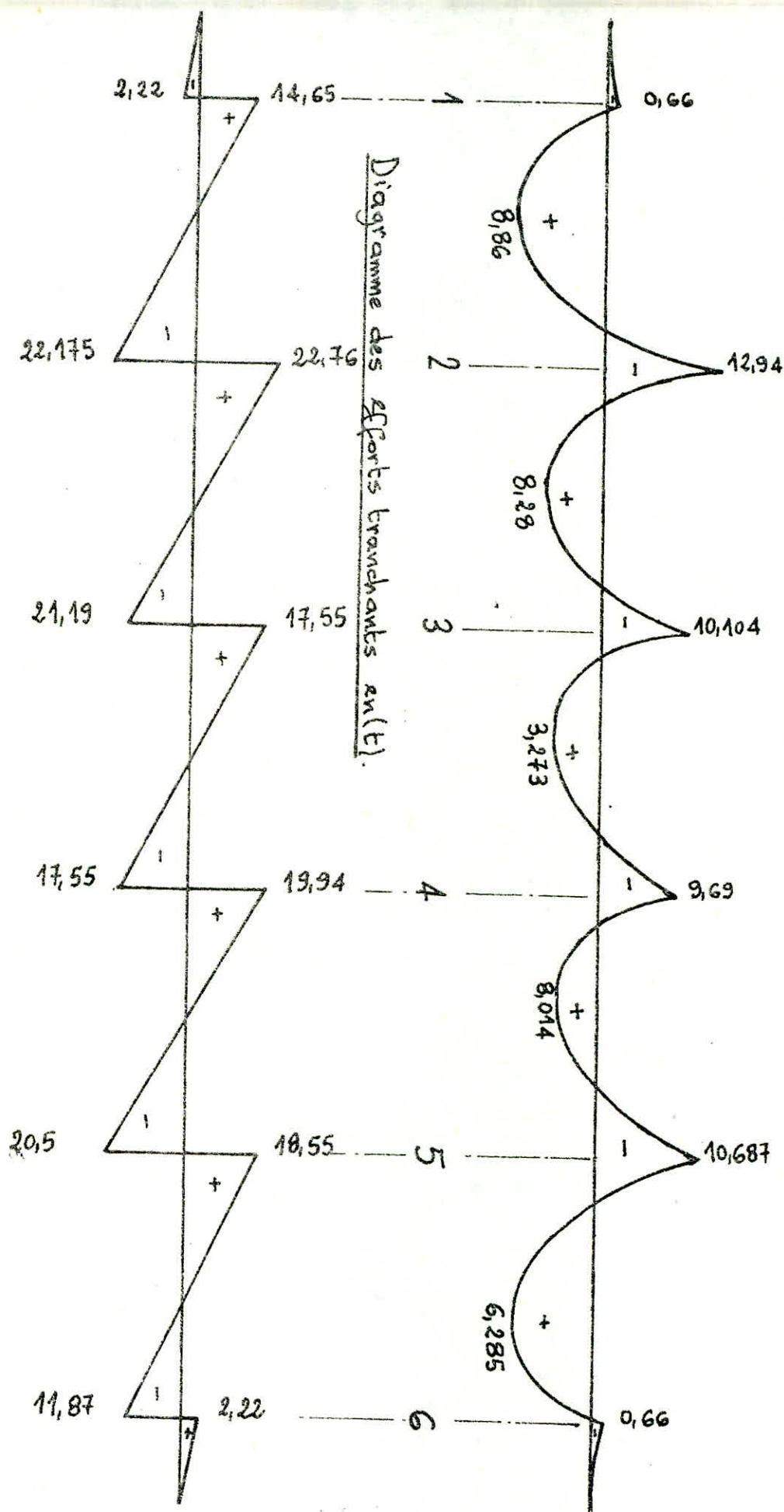
$$T(0) = T_{e5} = 18,55 \text{ t.} \quad ; \quad T(l) = T_{W6} = -11,87 \text{ t.}$$

### 7. travée en console.

$$T_{e6} = \frac{q \cdot l_{e6}}{2} = 2,22 \text{ t.}$$

Diagramme des moments fléchissants en (kNm).

Diagramme des efforts tranchants en (kN).



## Ferraillage en travée.

Comme il est toujours incommodé d'avoir un radier à armatures très différentes alors le radier sera armé à l'aide du moment maximum en travée.

$$M_t^{\max} = \max(8,86; 8,28; 3,273; 8,014; 6,285) = 8,86 \text{ t.m.}$$

$$\mu = \frac{15 \cdot M_t}{\bar{F}_a \cdot b \cdot h^2}; \quad \bar{F}_a = 2800 \text{ kg/cm}^2. \\ b = 100 \text{ cm} \text{ (poutre de largeur unitaire)} \\ h = h_f - d = 40 - 4 = 36 \text{ cm.}$$

$$\mu = \frac{15 \times 8,86 \cdot 10^5}{2800 \times 100 \times (36)^2} = 0,0366 \quad \begin{cases} E = 0,9183 \\ k = 46,2. \end{cases}$$

$$\frac{\bar{F}_a}{k} = \frac{2800}{46,2} = 60,6 \text{ kg/cm}^2 < \bar{F}'_b = 137,5 \text{ kg/cm}^2.$$

$$A = \frac{M_t}{\bar{F}_a \cdot Eh} = \frac{8,86 \cdot 10^5}{2800 \times 0,9183 \times 36} = 9,572 \text{ cm}^2.$$

On disposera : FT14 p.m. ( $A = 10,77 \text{ cm}^2$ ).

## Vérification de la section minimale d'acières - (CCBA 68 art. 52).

Pour toute valeur de  $\beta$  on doit vérifier :

$$\frac{Ax}{bh_x} \geq \frac{\Psi_4}{2} \cdot (2-\beta) \cdot \frac{\bar{F}_b}{\bar{F}_a} \cdot \left(\frac{h_0}{h_x}\right)^2$$

$$\frac{Ax}{bh_x} = \frac{10,77}{100 \times 36} = 0,003.$$

$$\frac{\Psi_4}{2} \cdot (2-\beta) \cdot \frac{\bar{F}_b}{\bar{F}_a} \cdot \left(\frac{h_0}{h_x}\right)^2 = \frac{0,54}{2} \cdot (2-0,42) \cdot \frac{5,9}{2800} \cdot \left(\frac{40}{36}\right)^2 = 0,001, \text{ (vérifié).}$$

N.B: on se place dans le panneau n°2 dont  $\beta = 0,42$ ; c'est le cas où le deuxième membre est maximum.

rrailage en section d'appui.

$$M_a^{\max} = -12,94 \text{ t.m.}$$

$$\mu = \frac{15 \times 12,94 \cdot 10^5}{2800 \times 100 \times (36)^2} = 0,0535 \quad \left\{ \begin{array}{l} E = 0,9033 \\ k = 36,6 \end{array} \right.$$

$$\frac{\sigma_a}{k} = \frac{2800}{36,6} = 76,50 \text{ kg/cm}^2 < \sigma_b' = 137,5 \text{ kg/cm}^2.$$

$$A = \frac{12,94 \cdot 10^5}{2800 \times 0,9033 \times 36} = 14,21 \text{ cm}^2$$

On disposera: FT16 p.m

axe Longitudinale ( panneaux 5; 8; 10; 13).

7.30  $\frac{1}{1}$  3,575  $\frac{2}{2}$  3,55  $\frac{3}{3}$  2,975  $\frac{4}{4}$  3,60  $\frac{5}{5}$  0.30

Poutre Longitudinale ( Résultat par méthode de coquai).

## Ferraillage en travée.

Le tableau précédent montre que le moment maximum en travée est atteint dans la travée 4.5 (représentatrice d'une bande unitaire choisie dans le panneau n°13 dans son sens de petite portée).  $M_{f\max} = 10,74 \text{ t.m.}$

$$\mu = \frac{15 \cdot M_{f\max}}{\bar{\sigma}_a \cdot b \cdot h^2} = \frac{15 \times 10,74 \cdot 10^5}{2800 \times 100 \times (36)^2} = 0,0444 \rightarrow \begin{cases} E = 0,9110 \\ k = 41,2 \end{cases}$$

$$\frac{\bar{\sigma}_a}{k} = \frac{2800}{41,2} = 67,96 \text{ kg/cm}^2 < \bar{\sigma}'_b = 137,5 \text{ kg/cm}^2 \text{ (armatures comprimées non nécessaires).}$$

$$A = \frac{M_{f\max}}{\bar{\sigma}_a \cdot E \cdot h} = \frac{10,74 \cdot 10^5}{2800 \times 0,9110 \times 36} = 11,70 \text{ cm}^2$$

Dans le sens longitudinal du radier on disposera: 8T14 p.m.  
en travée comme nappe supérieure. ( $12,31 \text{ cm}^2$ ).

## Vérification de la section minimale d'acières (CCBA68-Art.52).

Comme pour le cas de la poutre transversale on peut placer dans le panneau ayant la plus petite valeur de  $\beta = l_x/l_y$  et compris dans la poutre. Soit donc le panneau n°10 dont  $\beta = 0,37$ ; il n'a qu'un seul sens porteur.

$$\frac{A_x}{b \cdot h_x} = \frac{12,31}{100 \times 36} = 0,0034.$$

$$\frac{\Psi_4}{2} \cdot (2 - \beta) \cdot \frac{\bar{\sigma}_b}{\bar{\sigma}_a} \cdot \left( \frac{h_o}{h_x} \right)^2 = \frac{0,54}{2} \cdot (2 - 0,37) \cdot \frac{5,9}{2800} \cdot \left( \frac{40}{36} \right)^2 = 0,001.$$

On vérifie bien:

$$\frac{A_x}{b \cdot h_x} = 0,0034 > \frac{\Psi_4}{2} \cdot (2 - \beta) \cdot \frac{\bar{\sigma}_b}{\bar{\sigma}_a} \cdot \left( \frac{h_o}{h_x} \right)^2 = 0,001.$$

## Ferraillage en section d'appui (poussoirs).

$$M_{f\max} = -13,49 \text{ t.m.}$$

$$\mu = 0,0557 \longrightarrow (E = 0,9016; k = 35,8).$$

$$\frac{\bar{\sigma}_a}{k} = 78,2 \text{ kg/cm}^2 < \bar{\sigma}'_b = 137,5 \text{ kg/cm}^2. \text{ Il n'est pas nécessaire de disposer des aciers comprimés.}$$

$A = 14,84 \text{ cm}^2$ . On disposera 8T16 p.m au niveau des appuis dans le sens longitudinal.

## Dimensionnement du Joint Parasismique de l'assemblage

### Introduction:

Sous l'action des secousses, tous les joints doivent permettre aux blocs voisins le libre déplacement dans contact préjudiciable.

Les matériaux de remplissage des joints ne doivent pas transmettre d'efforts d'un bloc à l'autre.

La Largeur du joint est déterminée par la plus grande des valeurs suivantes:

- Largeur minimale admissible : 2 cm.
- Largeur minimale : 4 à 5 cm
- Largeur égale à la hauteur du bloc (le moins haut) divisée par 300.
- Largeur déterminée par l'amplitude des oscillations dans le sens perpendiculaire au plan du joint (étude dynamique exacte).
- Largeur déterminée approximativement par la flèche au pommet du voile le plus proche perpendiculairement au plan du joint.

### Dimensionnement:

- Les deux blocs étant de même hauteur  $H = 28m$ . La valeur forfaitaire et sécuritaire donnée par le RPA

$$d = \frac{H}{300} = \frac{28 \times 100}{300} = 9,33 \text{ cm} ; \text{ Soit } d = 9,5 \text{ cm.}$$

Cette valeur est sécuritaire car la possibilité d'oscillation en opposition de phase des deux blocs pourrait constituer un réel danger si on avait décidé que la largeur soit minimale.

- Une flèche approximative au pommet du voile  $V_{L_4}$  (le plus proche dans le sens longitudinal) en le considérant comme une console est :

$$f = \frac{11}{60} \cdot \frac{H_0 Z^3}{E_i I_e} ; \quad H_0 = 88,8t \quad (\text{due à la distribution de la force } V) \\ I_e = I = 7,73 m^4 \\ Z = H = 28 m.$$

$$f = \frac{11}{60} \cdot \frac{88,8 \times 10^3 \times (2800)^3}{345000 \times 7,73 \cdot 10^8} = 1,34 \text{ cm}$$

Ce calcul approximatif conduit à une largeur :  $d = 2f = 2,70 \text{ cm}$ .  
Cette largeur reste inférieure à  $d = 9,5 \text{ cm}$ .

Conclusion : On pourra pratiquement opter pour un joint parasismique de largeur  $d = 10 \text{ cm}$  après avoir tenu compte de la hauteur des accotières adjacentes pour le refend  $V_{T_7}$  parallèle au plan du joint.

- 210 -

### Voile Périphérique

Le voile périphérique doit être continu tout autour du bâtiment. Il peut être continu sur toute la hauteur de l'ouvrage ou bien s'élever uniquement du niveau de fondation jusqu'à la hauteur du premier plancher. Mis à part le chainage qui il assure, il forme - par la grande rigidité qu'il crée en infrastructure - un caisson rigide et très indéformable avec le premier plancher supérieur et les fondations.

Dans notre cas le voile périphérique n'est pas continu sur toute la hauteur dans son ensemble. Il s'élève jusqu'au niveau du premier plancher (RDC) d'une hauteur  $h = 2,80\text{m}$  à partir du niveau de fondation. Nous avons adopté une épaisseur de 20 cm.

Ce voile sera armé constructivement d'après le Complément C.T.B.-81.

— Armatures longitudinales filantes supérieures et inférieures :

$A \geq 20\%$  de la section transversale totale du béton.

$A \geq 20\% (20) = 4 \text{ cm}^2 \text{ p.m}$  On disposera: 6T10 p.m;

— Armatures longitudinales de peau:

$A \geq 2 \text{ cm}^2$  par face et par ml de hauteur.

— Armatures transversales:

On adoptera 4 épingles /  $\text{m}^2$ .

BIBLIOGRAPHIQUE  
-o-o-o-o-o-o-

- Réglément parasismique Algérien (RPA 81) ..... C.T.C.  
Règles parasismiques et annexes P.S 69 ..... SOCOTEC.  
Contreventement des Batiments.....ALBAGES - GOULET.  
Calcul des Tours en Béton armé//.....M. DIVER.  
Aide mémoire de R.D.M. .....DUNOD.  
Calcul et vérification des ouvrages en B.A.....(P. CHARBON).  
Exercices.....(P. CHERRON).  
Structures résistantes au Séisme .....R.PETROVICI.  
Règles C.C.S.A. 68.....  
Règles N.V. 65.....  
Traité de Béton armé (T.A.).....GUERRIN.  
Calcul Structuréler ou diafragme in Béton armat R. AGENT T. POSTELNICU.  
Renforced Concret design handbook..... S.E. REHARRY.  
Règles I.R.N. NACHTERGAI.

